

รายงานการถ่ายทอดวิถีความเชื่อสานร่ายในม้าพูร์ขันบางแหลม  
ในเบื้องภาคเหนืออีสานบนพื้นที่ประเทศไทย

สุคณลักษณ์ ศรีพาณิช

วิจัยทางด้านมนุษยศาสตร์

จุฬาลงกรณ์มหาวิทยาลัย

บัณฑิตวิทยาลัย

มหาวิทยาลัยขอนแก่น

ปีการ 2544

PK 7

[-7 ก.m.A. 2546



โครงการพัฒนาองค์ความรู้และศึกษาเรียนรู้การจัดการทรัพยากริเวกพาในประเทศไทย  
c/o ศูนย์พันธุ์วิเคราะห์และเทคโนโลยีริเวกพาแห่งชาติ  
สถาบันวิจัยพัฒนาวิทยาศาสตร์และเทคโนโลยีแห่งชาติ  
73/1 ถนนพระรามที่ 6 เมืองราชเทวี  
กรุงเทพฯ 10400

# **ความหลากหลายทางชีวภาพของสاحาร่ายในน้ำพุร้อนบางแหล่ง<sup>๑</sup> ในเขตภาคเหนือตอนบนของประเทศไทย**

**อุดมลักษณ์ สมพงษ์**

**วิทยานิพนธ์นี้เสนอต่อบัณฑิตวิทยาลัยเพื่อเป็นส่วนหนึ่ง  
ของการศึกษาตามหลักสูตรปริญญา  
วิทยาศาสตรมหาบัณฑิต  
สาขาวิชาชีววิทยา**

**บัณฑิตวิทยาลัย  
มหาวิทยาลัยเชียงใหม่  
มีนาคม 2544**

ความหลักหลาຍทางชีวภาพของสาหร่ายในน้ำพื้อนบางแหล่ง<sup>†</sup>  
ในเขตภาคเหนือตอนบนของประเทศไทย

อุดมลักษณ์ สมพงษ์

วิทยานิพนธ์นี้ได้รับการพิจารณาอนุมัติให้นับเป็นส่วนหนึ่งของการศึกษา<sup>‡</sup>  
ตามหลักสูตรปริญญาวิทยาศาสตรมหาบัณฑิต  
สาขาวิชาชีววิทยา

คณะกรรมการสอบวิทยานิพนธ์

.....

ประธานกรรมการ

ผู้ช่วยศาสตราจารย์ ดร. ยุวดี พิรพรพิศาล

.....

กรรมการ

รองศาสตราจารย์ ดร. สมพร ชุนห์ลือชานนท์

.....

กรรมการ

รองศาสตราจารย์ วันชัย สนธิไชย

27 มีนาคม พ.ศ. 2544

© ลิขสิทธิ์ของบัณฑิตวิทยาลัย มหาวิทยาลัยเชียงใหม่

## กิตติกรรมประกาศ

วิทยานิพนธ์นี้สำเร็จลงได้ด้วยความกรุณาจาก ผู้ช่วยศาสตราจารย์ ดร.อุวัดี พิรพารพิศาล  
อาจารย์ที่ปรึกษาวิทยานิพนธ์ ผู้ซึ่งกรุณาให้ความรู้ คำปรึกษา แนะนำแนวทางในการทำวิจัยและ  
ตรวจสอบแก้ไขจนวิทยานิพนธ์เสร็จสมบูรณ์ โอกาสันนี้ ผู้เขียนขอกราบขอบพระคุณเป็นอย่างสูง

ขอขอบพระคุณรองศาสตราจารย์ ดร.สมพร ชุนห์ลือชานนท์ รองศาสตราจารย์ วันชัย  
สนธิไชย และผู้ช่วยศาสตราจารย์มรภต สุกโขติรัตน์ ที่ได้กรุณาให้คำแนะนำแก้ไขปัญหาในการทำ  
วิจัยให้ถูกต้องยิ่งขึ้น ขอขอบคุณ Assoc. Prof. Dr. Eugen Rott แห่งมหาวิทยาลัยอินส์บูร์กส์  
ประเทศออสเตรีย ที่ได้ให้ความกรุณาตรวจสอบการวินิจฉัยนิดของสาหร่ายให้ถูกต้องมากยิ่งขึ้น

ขอขอบคุณ คุณสาวรุ่งพรหมขิตแก้ว และสามารถห้องปฏิบัติการสาหร่ายทุกคนที่ได้ให้  
ความช่วยเหลือและในการทำงานทั้งภาคสนามและในห้องปฏิบัติการอีกทั้งให้กำลังใจอยู่เสมอทุก  
ช่วงของการทำงาน

ขอขอบคุณ คุณนุญสม บุญบรรพ์ ที่ให้ความช่วยเหลือในการวิเคราะห์ข้อมูลทางสถิติ คุณ  
อาทิตย์ นันทขว้าง และคุณวัชรพล มณีโชค ที่ช่วยจัดทำรูปเล่มวิทยานิพนธ์ฉบับนี้

ขอกราบขอบพระคุณ คุณพ่อ คุณแม่ที่ให้ความห่วงใย และเป็นกำลังใจตลอดเวลาในการ  
ศึกษา

สุดท้ายนี้ ผู้วิจัยขอขอบคุณ โครงการพัฒนาองค์ความรู้และศึกษา นโยบายการจัดการ  
ทรัพยากรชีวภาพในประเทศไทย (BRT) ที่ได้เลี้งเห็นถึงความสำคัญของการศึกษาความหลากหลาย  
ของสาหร่ายน้ำพุร้อนและได้ให้ทุนสนับสนุนการวิจัย งานงานวิจัยสำเร็จลงได้ด้วยดี

อุดมลักษณ์ สมพงษ์

## กิตติกรรมประกาศ

วิทยานิพนธ์นี้สำเร็จลงได้ด้วยความกรุณาจาก ผู้ช่วยศาสตราจารย์ ดร.ยุวดี พิรพารพศาลา  
อาจารย์ที่ปรึกษาวิทยานิพนธ์ ผู้ซึ่งกรุณาให้ความรู้ คำปรึกษา แนะนำแนวทางในการทำวิจัยและ  
ตรวจสอบแก่ไขจนวิทยานิพนธ์เสร็จสมบูรณ์ โอกาสันนี้ ผู้เขียนขอกราบขอบพระคุณเป็นอย่างสูง

ขอขอบพระคุณรองศาสตราจารย์ ดร.สมพร ชุนหลือชานนท์ รองศาสตราจารย์ วันชัย  
สนธิไชย และผู้ช่วยศาสตราจารย์มรภต สุกโฉติรัตน์ ที่ได้กรุณาให้คำแนะนำแก่ไขปัญหาในการทำ  
วิจัยให้ถูกต้องยิ่งขึ้น ขอขอบคุณ Assoc. Prof. Dr. Eugen Rott แห่งมหาวิทยาลัยอนซ์บูร์กส์  
ประเทศออสเตรีย ที่ได้ให้ความกรุณาตรวจสอบการวินิจฉัยนิดของสาหร่ายให้ถูกต้องมากยิ่งขึ้น

ขอขอบคุณ คุณสารร พรมขัดแก้ว และสมาชิกห้องปฏิบัติการสาหร่ายทุกคนที่ได้ให้  
ความช่วยเหลือและการทำงานทั้งภาคสนามและในห้องปฏิบัติการอีกทั้งให้กำลังใจอยู่เสมอทุก  
ช่วงของการทำงาน

ขอขอบคุณ คุณบุญสม บุญบรรณ์ ที่ให้ความช่วยเหลือในการวิเคราะห์ข้อมูลทางสถิติ คุณ  
อาทิตย์ นันทขว้าง และคุณวชรพล ณิชาติ ที่ช่วยจัดทำฐานข้อมูลวิทยานิพนธ์ฉบับนี้

ขอกราบขอบพระคุณ คุณพ่อ คุณแม่ที่ให้ความห่วงใย และเป็นกำลังใจตลอดเวลาในการ  
ศึกษา

สุดท้ายนี้ ผู้วิจัยขอขอบคุณ โครงการพัฒนาองค์ความรู้และศึกษานโยบายการจัดการ  
ทรัพยากรชีวภาพในประเทศไทย (BRT) ที่ได้เลี้งเห็นถึงความสำคัญของการศึกษาความหลากหลาย  
ของสาหร่ายน้ำพื้นเมืองและได้ให้ทุนสนับสนุนการวิจัย งานนนวิจัยสำเร็จลงได้ด้วยดี

อุดมลักษณ์ สมพงษ์

ชื่อเรื่องวิทยานิพนธ์

ความหลากหลายทางชีวภาพของสาหร่ายในน้ำพุร้อนบางแหล่งในเขตภาคเหนือตอนบนของประเทศไทย

ชื่อผู้เขียน

นางสาวอุดมลักษณ์ สมพงษ์

วิทยาศาสตรมหาบัณฑิต สาขาวิชาชีววิทยา

คณะกรรมการสอบวิทยานิพนธ์

ผู้ช่วยศาสตราจารย์ ดร.ยุวดี พิรพารพิศาด

ประธานกรรมการ

รองศาสตราจารย์ ดร.สมพร ชุมหลีอชานนท์

กรรมการ

รองศาสตราจารย์วันชัย สนธิไชย

กรรมการ

### บทคัดย่อ

การศึกษาความหลากหลายของสาหร่ายในน้ำพุร้อนจาก 9 แหล่งในเขตภาคเหนือตอนบนของประเทศไทย ในระหว่างเดือนกุมภาพันธ์ 2542 ถึงสิงหาคม 2543 โดยเก็บตัวอย่างจากน้ำพุร้อน สันกำแพง กิ่งอำเภอแม่อ่อน น้ำพุร้อนโป่งเค็ด อำเภอแม่แตง น้ำพุร้อนเทพนน อ่าอกอแม่เงิน น้ำพุร้อนแม่ฟาง อ่าอกอฟาง และโป่งน้ำร้อนดอยสะเก็ต อ่าอกดอยสะเก็ต จังหวัดเชียงใหม่ น้ำพุร้อนแล้วซ้อน อ่าอกเมืองปาน จังหวัดลำปาง น้ำพุร้อนท่าปาย อ่าอกปาย จังหวัดแม่ฮ่องสอน โป่งน้ำร้อนแม่จัน อ่าอกแม่จัน และน้ำพุร้อนห้วยมากเดี่ยม อ่าอกเมือง จังหวัดเชียงราย ในถุดู่ฝน และถุดู่แสง ยกเว้นน้ำพุร้อนแม่ฟาง และน้ำพุร้อนห้วยมากเดี่ยม เก็บตัวอย่างเฉพาะถุดู่ฝน โดยเก็บตัวอย่างในช่วงอุณหภูมิ 30-80°C รวมทั้งศึกษาคุณสมบัติทางกายภาพและเคมีของน้ำด้วย พบสาหร่ายทั้งหมด 48 genera 78 species สาหร่ายที่พบส่วนใหญ่เป็นพวงสาหร่ายสีเขียวแกมน้ำเงินใน Division Cyanophyta พบทั้งหมด 21 genera 39 species รองลงมาคือ ไดอะตومใน Division Bacillariophyta 19 genera 29 species สาหร่ายสีเขียวใน Division Chlorophyta 7 genera 9 species และสาหร่ายใน Division Euglenophyta 1 species ชนิดของสาหร่ายสีเขียวแกมน้ำเงินที่พบมากที่สุดคือ *Phormidium boryanum* (Bory ex Gom.) Anagn. et Kom. และ *Synechococcus lividus* Nägeli ที่อุณหภูมิ 55-57°C และ *Synechococcus* sp. ที่อุณหภูมิ 65-

72°C ชนิดของไคอะตومที่พบมากที่สุดคือ *Diatomella balfouriana* Grev. และ *Rhopalodia gibberrula* (Ehrenberg) O. Müller ที่อุณหภูมิ 30-59°C

ในช่วงอุณหภูมิ 30-39°C มีจำนวนชนิดสาหร่ายมากที่สุดคือ 47 genera 75 species รองลงมาคือช่วง 40-49 °C พบราก 38 genera 65 species ช่วงอุณหภูมิ 50-59°C พบราก 18 genera 28 species ช่วงอุณหภูมิ 60-69°C พบราก 3 genera 5 species และช่วงอุณหภูมิ 70 -80°C พบราก 1 genus 3 species สาหร่ายในน้ำพร้อมเพียงมีความหลากหลายมากที่สุด ความหลากหลายของสาหร่ายที่พบมีความสัมพันธ์เชิงบวกกับปริมาณออกซิเจนที่ละลายน้ำ และมีความสัมพันธ์เชิงลบกับอุณหภูมิ และปริมาณซัลไฟด์ที่พบในน้ำ อย่างมีนัยสำคัญที่ระดับความเชื่อมั่น 99%

**Thesis Title**                    Biodiversity of Algae in Some Hot Spring Areas in the Upper Part of Northern Thailand

**Author**                         Miss Udomluk Sompong

**M.S.**                          Biology

**Examining Committee**

|                          |                |                    |
|--------------------------|----------------|--------------------|
| Asst. Prof. Dr. Yuwadee  | Peerapornpisal | <b>Chairperson</b> |
| Assoc. Prof. Dr. Somporn | Chunluechanon  | <b>Member</b>      |
| Assoc. Wanchai           | Sonthichai     | <b>Member</b>      |

**Abstract**

The biodiversity of algae in some hot springs in 9 areas of the upper part of northern Thailand was investigated between February 1999 and August 2000. Samples were taken from San Kampaeng in Mae Orn sub-district, Pong Deud in Mae Tang district, Theppanom in Mae Chaem district, Mae Fang in Fang district and Pong Nam Ron Doi Saket in Doi Saket district, Chiang Mai province; Jae Son in Muang Pan district, Lampang province; Tha Pai in Pai district, Mae Hong Son province; and Pong Nam Ron Mae Jan in Mae Jan district and Huay Mak Lium in Muang district, Chiang Rai province. Algal samples were collected in rainy and dry seasons, except in Mae Fang and Huay Mak Lium hot springs where the samples were taken only in rainy season. The water temperature ranged from 30 to 80 °C. The physico - chemical properties of water were also examined. Forty – three genera and seventy - eight species of algae were found. The majority was blue green algae in the Division Cyanophyta comprising, 21 genera 39 species followed by diatoms in the Division Bacillariophyta, 19 genera 29 species; green algae in the Division Chlorophyta, 7 genera 9 species and the Division Euglenophyta 1 species. The dominant species of blue green algae were *Phormidium boryanum* (Bory ex Gom.) Anagn. et Kom. and *Synechococcus lividus* Nägeli which were found at the temperature between 55 to 57 °C and *Synechococcus* sp. at the temperature between 65 to 72 °C. The dominant species of diatoms were *Diatomella balfouriana* Grev. and *Rhopalodia gibberrula* (Ehrenberg) O. Müller. at the temperature between 30 to 59 °C.

At the temperature range of 30-39 °C, 40-49 °C, 50-59 °C, 60-69 °C and 70-80 °C, the groups of algae found were 47 genera 75 species, 38 genera 65 species, 18 genera 28 species, 3 genera 5 species and 1 genus 3 species respectively. The most diversity of algae could be found in Theppanom hot spring. The biodiversity of algae found in every sampling site was positively correlated with the dissolved oxygen, and negatively correlated with temperature and sulfide content in the water at 99% level of significance.

**สารบัญ****หน้า**

|                             |          |
|-----------------------------|----------|
| กิตติกรรมประกาศ             | ๑        |
| บทคัดย่อภาษาไทย             | ๒        |
| บทคัดย่อภาษาอังกฤษ          | ๓        |
| <b>สารบัญ</b>               | <b>๔</b> |
| สารบัญตาราง                 | ๕        |
| สารบัญภาพ                   | ๖        |
| บทที่ 1 บทนำและวัตถุประสงค์ | ๑        |
| บทที่ 2 บททวนเอกสาร         | ๓        |
| บทที่ 3 วิธีการวิจัย        | ๑๒       |
| บทที่ 4 ผลการวิจัย          | ๒๔       |
| บทที่ ๕ อภิปรายผลการวิจัย   | ๙๐       |
| บทที่ ๖ สรุปผลการวิจัย      | ๙๕       |
| บรรณานุกรม                  | ๙๖       |
| ภาคผนวก ก                   | ๑๐๐      |
| ภาคผนวก ข                   | ๑๑๒      |
| ประวัติผู้วิจัย             | ๑๑๗      |

## สารบัญตาราง

| ตาราง   | หน้า |
|---|------|
| 1. ชนิด และปริมาณสาหร่ายที่พบในน้ำพุร้อนทั้ง 9 แหล่งในเขตภาคเหนือตอนบน<br>ของประเทศไทยตั้งแต่เดือน กุมภาพันธ์ 2542 ถึง สิงหาคม 2543 | 27   |
| 2. ชนิด และปริมาณสาหร่ายที่พบในน้ำพุร้อนสันกำแพงในฤดูแล้ง และฤดูฝน  | 34   |
| 3. ชนิด และปริมาณสาหร่ายที่พบในน้ำพุร้อนปोเปงเดือดในฤดูแล้ง และฤดูฝน  | 35   |
| 4. ชนิด และปริมาณสาหร่ายที่พบในน้ำพุร้อนเทพนมในฤดูแล้ง และฤดูฝน   | 37   |
| 5. ชนิด และปริมาณสาหร่ายที่พบในน้ำพุร้อนแม่ฟ้างในฤดูฝน  | 39   |
| 6. ชนิด และปริมาณสาหร่ายที่พบในปองน้ำร้อนดอยสะเก็ตในฤดูแล้ง และฤดูฝน  | 41   |
| 7. ชนิด และปริมาณสาหร่ายที่พบในน้ำพุร้อนแจ้ช้อนในฤดูแล้ง และฤดูฝน   | 43   |
| 8. ชนิด และปริมาณสาหร่ายที่พบในน้ำพุร้อนท่าปายในฤดูแล้ง และฤดูฝน  | 44   |
| 9. ชนิด และปริมาณสาหร่ายที่พบในปองน้ำร้อนแม่จันสันกำแพงในฤดูแล้ง และฤดูฝน   | 46   |
| 10. ชนิด และปริมาณสาหร่ายที่พบในน้ำพุร้อนห้วยหมากเลี้ยงในฤดูฝน  | 47   |
| 11. คุณภาพน้ำทางด้านกายภาพ และเคมีบางประการของน้ำพุร้อนสันกำแพง (SKP)<br>อุณหภูมิ 30-80 °C ในฤดูแล้ง และฤดูฝน                       | 101  |
| 12. คุณภาพน้ำทางด้านกายภาพ และเคมีบางประการของน้ำพุร้อนปोเปงเดือด (PD) อุณหภูมิ<br>30-80 °C ในฤดูแล้ง และฤดูฝน                      | 101  |
| 13. คุณภาพน้ำทางด้านกายภาพ และเคมีบางประการของน้ำพุร้อนเทพนม (TPN) อุณหภูมิ<br>30-80 °C ในฤดูแล้ง และฤดูฝน                          | 102  |
| 14. คุณภาพน้ำทางด้านกายภาพ และเคมีบางประการของน้ำพุร้อนแม่ฟ้าง (MF)<br>อุณหภูมิ 30-80 °C ในฤดูฝน                                    | 102  |
| 15. คุณภาพน้ำทางด้านกายภาพ และเคมีบางประการของปองน้ำร้อนดอยสะเก็ต (DSK)<br>อุณหภูมิ 30-80 °C ในฤดูแล้ง และฤดูฝน                     | 103  |
| 16. คุณภาพน้ำทางด้านกายภาพ และเคมีบางประการของน้ำพุร้อนแจ้ช้อน (JS)<br>อุณหภูมิ 30-80 °C ในฤดูแล้ง และฤดูฝน                         | 103  |
| 17. คุณภาพน้ำทางด้านกายภาพ และเคมีบางประการของน้ำพุร้อนท่าปาย (TP)<br>อุณหภูมิ 30-80 °C ในฤดูแล้ง และฤดูฝน                          | 104  |

| ตาราง  | หน้า |
|--|------|
| 18. คุณภาพน้ำทางด้านกายภาพ และเคมีบางประการของปูปันน้ำพุร้อนแม่จัน (MJ) อุณหภูมิ 30-80 °C ในถุงแล้ง และถุงฝน                                       | 104  |
| 19. คุณภาพน้ำทางด้านกายภาพ และเคมีบางประการของน้ำพุร้อนหัวหมากเลื่อน(HML) อุณหภูมิ 30-80 °C ในถุงฝน  | 105  |
| 20. การวิเคราะห์ข้อมูลชนิดสาหร่ายตามระดับอุณหภูมิ เปรียบเทียบกับถุงกาลโดยใช้ Non parametric Statistics โดยใช้การเปรียบเทียบแบบ Kruskal Wallis Test | 106  |
| 21. การวิเคราะห์ข้อมูลชนิดสาหร่ายตามระดับอุณหภูมิ เปรียบเทียบกับถุงกาลโดยใช้ Non parametric Statistics โดยใช้การเปรียบเทียบแบบ Mann-Whitney Test   | 107  |
| 22. การวิเคราะห์ข้อมูลชนิดสาหร่ายตามระดับอุณหภูมิ เปรียบเทียบกับถุงกาลโดยท่าความสัมพันธ์แบบ Correlations Analysis                                  | 108  |
| 23. การวิเคราะห์ข้อมูลชนิดสาหร่าย เปรียบเทียบกับปัจจัยทางกายภาพ และเคมีที่ทำการศึกษา โดยท่าความสัมพันธ์แบบ Correlations Analysis                   | 110  |

## สารบัญภาพ

รูป

หน้า

|  |    |
|--|----|
| 1. การเกิดน้ำพุร้อนทางภาคเหนือของประเทศไทย   | 3  |
| 2. แหล่งน้ำพุร้อนที่ทำการเก็บตัวอย่างทั้ง 9 แหล่ง  | 16 |
| 3. น้ำพุร้อนสันกำแพง   | 17 |
| 4. น้ำพุร้อนโป่งเดีด   | 18 |
| 5. น้ำพุร้อนเทพนม  | 19 |
| 6. โป่งน้ำร้อนดอยสะเก็ต  | 20 |
| 7. น้ำพุร้อนแจ้ซ้อน  | 21 |
| 8. น้ำพุร้อนท่าปาย   | 22 |
| 9. เปอร์เซ็นต์ชนิดสาหร่ายที่พบในแหล่งน้ำพุร้อนในเขตภาคเหนือตอนบน<br>ทั้ง 9 แหล่ง                   | 30 |
| 10. เปอร์เซ็นต์ชนิดสาหร่ายที่พบตามช่วงระดับอุณหภูมิตั้งแต่ 30-80°C                                 | 30 |
| 11. จำนวนชนิดสาหร่ายที่พบตามช่วงระดับอุณหภูมิตั้งแต่ 30-80°C                                       | 30 |
| 12. จำนวนชนิดสาหร่ายทั้งหมด ที่พบในแต่ละแหล่งน้ำพุร้อนทั้ง 9 แหล่ง                                 | 33 |
| 13. จำนวนชนิดสาหร่ายที่พบในน้ำพุร้อนแต่ละแหล่งในฤดูแล้ง และฤดูฝน                                   | 33 |
| 14 ก. สาหร่ายสีเขียวแกรมบวกน้ำเงินที่พบในน้ำพุร้อนบางแหล่งในเขตภาคเหนือตอนบน<br>ทั้ง 9 แหล่ง       | 57 |
| 14 ข. ภาพวัดสาหร่ายสีเขียวแกรมบวกน้ำเงินที่พบในน้ำพุร้อนบางแหล่งในเขตภาคเหนือ<br>ตอนบนทั้ง 9 แหล่ง | 58 |
| 15 ก. สาหร่ายสีเขียวแกรมบวกน้ำเงินที่พบในน้ำพุร้อนบางแหล่งในเขตภาคเหนือตอนบน<br>ทั้ง 9 แหล่ง       | 59 |
| 15 ข. ภาพวัดสาหร่ายสีเขียวแกรมบวกน้ำเงินที่พบในน้ำพุร้อนบางแหล่งในเขตภาคเหนือ<br>ตอนบนทั้ง 9 แหล่ง | 60 |
| 16 ก. สาหร่ายสีเขียวแกรมบวกน้ำเงินที่พบในน้ำพุร้อนบางแหล่งในเขตภาคเหนือตอนบน<br>ทั้ง 9 แหล่ง       | 61 |
| 16 ข. ภาพวัดสาหร่ายสีเขียวแกรมบวกน้ำเงินที่พบในน้ำพุร้อนบางแหล่งในเขตภาคเหนือ<br>ตอนบนทั้ง 9 แหล่ง | 62 |

|   |    |
|---|----|
| 17 ก. สาหร่ายสีเขียวแกมน้ำเงินที่พบในน้ำพุร้อนบางแหล่งในเขตภาคเหนือตอนบน<br>ทั้ง 9 แหล่ง                      | 63 |
| 17 ข. ภาพวัวดสาหร่ายสีเขียวแกมน้ำเงินที่พบในน้ำพุร้อนบางแหล่งในเขตภาคเหนือ<br>ตอนบนทั้ง 9 แหล่ง               | 64 |
| 18 ก. สาหร่ายสีเขียวแกมน้ำเงินที่พบในน้ำพุร้อนบางแหล่งในเขตภาคเหนือตอนบน<br>ทั้ง 9 แหล่ง                      | 65 |
| 18 ข. ภาพวัวดสาหร่ายสีเขียวแกมน้ำเงินที่พบในน้ำพุร้อนบางแหล่งในเขตภาคเหนือ<br>ตอนบนทั้ง 9 แหล่ง               | 66 |
| 19 ก. ไดอะตومที่พบในน้ำพุร้อนบางแหล่งในเขตภาคเหนือตอนบนทั้ง 9 แหล่ง   | 71 |
| 19 ข. ภาพวัวดไดอะตอมที่พบในน้ำพุร้อนบางแหล่งในเขตภาคเหนือตอนบนทั้ง 9 แหล่ง                                    | 72 |
| 20 ก. ไดอะตอมที่พบในน้ำพุร้อนบางแหล่งในเขตภาคเหนือตอนบนทั้ง 9 แหล่ง   | 73 |
| 20 ข. ภาพวัวดไดอะตอมที่พบในน้ำพุร้อนบางแหล่งในเขตภาคเหนือตอนบนทั้ง 9 แหล่ง                                    | 74 |
| 21. ภาพถ่าย SEM ไดอะตอมที่พบในน้ำพุร้อนบางแหล่งในเขตภาคเหนือตอนบน<br>ทั้ง 9 แหล่ง                             | 75 |
| 22 ก. สาหร่ายสีเขียว และสาหร่ายพวกยูกลีนอยค์ที่พบในน้ำพุร้อนบางแหล่งในเขต<br>ภาคเหนือตอนบนทั้ง 9 แหล่ง        | 78 |
| 22 ข. ภาพวัวดสาหร่ายสีเขียว และสาหร่ายพวกยูกลีนอยค์ที่พบในน้ำพุร้อนบางแหล่ง<br>ในเขตภาคเหนือตอนบนทั้ง 9 แหล่ง | 79 |
| 23. ความเป็นกรด-ด่าง (pH) ของน้ำพุร้อนทั้ง 9 แหล่งในช่วงอุณหภูมิ 30-80°C<br>ในฤดูแล้ง                         | 82 |
| 24. ความเป็นกรด-ด่าง (pH) ของน้ำพุร้อนทั้ง 9 แหล่งในช่วงอุณหภูมิ 30-80°C<br>ในฤดูฝน                           | 82 |
| 25. ค่าการนำไฟฟ้า ( $\mu\text{s.cm}^{-1}$ ) ของน้ำพุร้อนทั้ง 9 แหล่งในช่วงอุณหภูมิ 30-80°C<br>ในฤดูแล้ง       | 83 |
| 26. ค่าการนำไฟฟ้า ( $\mu\text{s.cm}^{-1}$ ) ของน้ำพุร้อนทั้ง 9 แหล่งในช่วงอุณหภูมิ 30-80°C<br>ในฤดูฝน         | 83 |
| 27. ค่าความเป็นด่าง ( $\text{mg.l}^{-1}$ ) ของน้ำพุร้อนทั้ง 9 แหล่งในช่วงอุณหภูมิ 30-80°C<br>ในฤดูแล้ง        | 84 |

|  |     |
|--|-----|
| 28. ค่าความเป็นค่าง ( $\text{mg.l}^{-1}$ ) ของน้ำพุร้อนทั้ง 9 แหล่งในช่วงอุณหภูมิ $30-80^{\circ}\text{C}$ ในถุงฟัน             | 84  |
| 29. ปริมาณออกซิเจนที่ละลายน้ำ ( $\text{mg.l}^{-1}$ ) ของน้ำพุร้อนทั้ง 9 แหล่งในช่วง อุณหภูมิ $30-80^{\circ}\text{C}$ ในถุงแล้ง | 85  |
| 30. ปริมาณออกซิเจนที่ละลายน้ำ ( $\text{mg.l}^{-1}$ ) ของน้ำพุร้อนทั้ง 9 แหล่งในช่วง อุณหภูมิ $30-80^{\circ}\text{C}$ ในถุงฟัน  | 85  |
| 31. ปริมาณซัลไฟต์ ( $\text{mg.l}^{-1}$ ) ของน้ำพุร้อนทั้ง 9 แหล่งในช่วงอุณหภูมิ $30-80^{\circ}\text{C}$ ในถุงแล้ง              | 86  |
| 32. ปริมาณซัลไฟต์ ( $\text{mg.l}^{-1}$ ) ของน้ำพุร้อนทั้ง 9 แหล่งในช่วงอุณหภูมิ $30-80^{\circ}\text{C}$ ในถุงฟัน               | 86  |
| 33. ปริมาณ SRP ( $\text{mg.l}^{-1}$ ) ของน้ำพุร้อนทั้ง 9 แหล่งในช่วงอุณหภูมิ $30-80^{\circ}\text{C}$ ในถุงแล้ง                 | 87  |
| 34. ปริมาณ SRP ( $\text{mg.l}^{-1}$ ) ของน้ำพุร้อนทั้ง 9 แหล่งในช่วงอุณหภูมิ $30-80^{\circ}\text{C}$ ในถุงฟัน                  | 87  |
| 35. ปริมาณไนเตรท-ไนโตรเจน ( $\text{mg.l}^{-1}$ ) ของน้ำพุร้อนทั้ง 9 แหล่งในช่วงอุณหภูมิ $30-80^{\circ}\text{C}$ ในถุงแล้ง      | 88  |
| 36. ปริมาณไนเตรท-ไนโตรเจน ( $\text{mg.l}^{-1}$ ) ของน้ำพุร้อนทั้ง 9 แหล่งในช่วงอุณหภูมิ $30-80^{\circ}\text{C}$ ในถุงฟัน       | 88  |
| 37. ปริมาณแอมโมเนียม-ไนโตรเจน ( $\text{mg.l}^{-1}$ ) ของน้ำพุร้อนทั้ง 9 แหล่งในช่วงอุณหภูมิ $30-80^{\circ}\text{C}$ ในถุงแล้ง  | 89  |
| 38. ปริมาณแอมโมเนียม-ไนโตรเจน ( $\text{mg.l}^{-1}$ ) ของน้ำพุร้อนทั้ง 9 แหล่งในช่วงอุณหภูมิ $30-80^{\circ}\text{C}$ ในถุงฟัน   | 89  |
| 39. การวิเคราะห์ข้อมูลชนิดสาหร่ายตามระดับอุณหภูมิ เปรียบเทียบกับถุงฟันโดยใช้ การเปรียบเทียบแบบ Cluster Analysis                | 111 |

## บทที่ 1

### บทนำและวัตถุประสงค์

มนุษย์รักน้ำพุร้อน และใช้ประโยชน์ของน้ำพุร้อนกันมานานแล้ว โดยเฉพาะคุณประโยชน์ที่มนุษย์นำมาใช้อาบ และใช้รักษาโรคทางการแพทย์แผนโบราณ เช่น โรคปอดตามข้อกล้ามเนื้ออักเสบ โรคผิวหนัง เป็นต้น นอกจากนี้ยังเป็นแหล่งพลังงานได้พิเศษที่สำคัญ โดยสามารถนำไปผลิตกระแสไฟฟ้า นำไปใช้กับเครื่องบ่มแห้งผลิตผลทางการเกษตร และใช้ในโรงงานอุตสาหกรรมต่างๆ อีกมากมาย น้ำร้อนที่ผ่านการใช้ประโยชน์ต่างๆ จนมีอุณหภูมิต่ำลงซึ่งสามารถดูดซึ่งสู่เปล่งเพาะปลูก เป็นประโยชน์ต่อการเกษตรได้โดยตรงอีกด้วย

จากรายงานการสำรวจแหล่งพลังงานความร้อนได้พิจารณาภาคเหนือของประเทศไทย โดยกรมทรัพยากรธรรมี (2529) พบว่าน้ำพุร้อนทางภาคเหนือของประเทศไทยเกิดจากการที่น้ำผิวดินไหลซึมลงมาผ่านรอยแตกของเปลือกโลก เกิดการถ่ายเทของความร้อนของหินหนังร้อนให้ผิวโลกทำให้กล้ายเป็นน้ำร้อนพุ่งขึ้นตามรอยแตก และรอยเลื่อนของหินกล้ายเป็นน้ำพุร้อน ซึ่งพบแหล่งน้ำพุร้อนบริเวณภาคเหนือทั้งหมดมีประมาณ 50 แหล่ง อุณหภูมิของน้ำพุร้อนบนผิวดินอยู่ในช่วงตั้งแต่  $40-100^{\circ}\text{C}$

เมื่อน้ำร้อนได้พื้นดินไหลขึ้นสู่ผิวดิน ทำให้เกิดการละลายของแร่ธาตุตามชั้นหิน ทำให้น้ำพุร้อนมีปริมาณสารอาหารที่จำเป็นต่อการเจริญเติบโตของจุลินทรีย์ชนิดต่างๆ ซึ่งบางชนิดสามารถสร้างอาหารจากการสังเคราะห์แสง ได้เอง และเมื่อสิ่งมีชีวิตเหล่านั้นได้รับแสงอย่างเพียงพอจะทำให้สามารถสังเคราะห์แสงได้ดี ซึ่งมีผลต่อการเพิ่มผลผลิตเบื้องต้นของระบบวิเคราะห์

ในจำนวนจุลินทรีย์ต่างๆ ที่สามารถเจริญได้ในที่ๆ มีสภาพแวดล้อมพิเศษ เช่น ในน้ำพุร้อนนี้มีหลายประเภท สาหร่าย เป็นสิ่งมีชีวิตประเภทหนึ่งที่สามารถเจริญได้ในน้ำพุร้อนเหล่านี้ เราเรียกสาหร่ายเหล่านี้ว่า สาหร่ายทนร้อน หรือ thermophilic algae ซึ่งเป็นกลุ่มสิ่งมีชีวิตที่เกิดมาเป็นกลุ่มแรกๆ กับแนวคิดที่เรียนรู้ในแวดวงวิทยาศาสตร์ กระบวนการ กระบวนการทั่วไป จึงเป็นกลุ่มสิ่งมีชีวิตชนิดอื่นๆ สาหร่ายกลุ่มนี้มีความพิเศษกว่าสาหร่ายอื่นๆ โดยพบว่าโครงสร้างของเซลล์มีลักษณะพิเศษ โดยมีเยื่อหุ้มเซลล์ที่หนาและแข็งมีเมือกหุ้มอยู่ภายนอก รวมทั้งยังมีไขมันจำนวนมาก ทำให้มีลักษณะคล้ายฉนวนป้องกันอุณหภูมิที่สูงเกินไป นอกจากนี้กลุ่มของเอนไซม์ในสาหร่ายเหล่านี้ยังมีคุณสมบัติพิเศษที่สามารถทำงานได้หรือไม่เสียสภาพเมื่อยู่ในช่วงอุณหภูมิสูงๆ จัดได้ว่าสาหร่ายกลุ่มนี้สามารถปรับตัวให้เข้ากับสภาพแวดล้อมที่ไม่เหมาะสมได้ดี จากคุณสมบัติพิเศษดังกล่าวของสาหร่ายกลุ่มนี้ หากมีการศึกษาค้นคว้าอย่างจริงจัง ก็ย่อมสามารถนำมาใช้ให้เกิดประโยชน์ต่อมนุษย์ได้เช่นกัน

ส่วนใหญ่ของสาหร่ายในน้ำพุร้อนเป็นพวงสาหร่ายสีเขียวแกมน้ำเงิน ซึ่งบางชนิดสามารถนำมาใช้ให้เกิดประโยชน์ทางด้านอุตสาหกรรม โดยมีความสามารถในการผลิตเอนไซม์ สารปฏิชีวนะ และเนื้องจากสาหร่ายประเภทนี้สามารถเจริญได้ในอุณหภูมิที่สูง จึงก่อให้เกิดข้อได้เปรียบในการนำสาหร่ายทบทร้อนเหล่านี้ไปใช้ในการอุตสาหกรรมที่ต้องใช้ระบบทำความเย็น ถ้าใช้สิ่งมีชีวิตที่เจริญอยู่ในอุณหภูมิปกติ ไม่จำเป็นต้องใช้ระบบดังกล่าว อันเป็นการลดต้นทุนในการผลิตได้มาก

ได้มีการนำเอาสาหร่ายในน้ำพุร้อนนี้มาใช้แก้ไขปัญหาสิ่งแวดล้อม โดยศึกษาถึงชนิดที่สามารถตรึงคาร์บอนไดออกไซด์ได้มาก ซึ่งเป็นการลดก๊าซcarbonไดออกไซด์ที่มีปริมาณมากเกินจากสิ่งแวดล้อมในขณะเดียวกันในกระบวนการเมटานอลซึ่งก็จะได้สารอินทรีย์หลายชนิดที่มีประโยชน์ จากกระบวนการคัดกรองล่าwiększึ่งเป็นแนวทางหนึ่งที่จะช่วยปรับปรุงสภาพแวดล้อมให้ดียิ่งขึ้น นอกจากนี้ยังสามารถนำสาหร่ายสีเขียวแกมน้ำเงินในกลุ่มคัดกรองมาผลิตก๊าซไฮโดรเจนที่เป็นพลังงานบริสุทธิ์ได้อีกด้วย

การศึกษาความหลากหลายของสาหร่ายในน้ำพุร้อนในประเทศไทย มีการศึกษากันอย่างประป้ายและไม่ต่อเนื่อง ทั้งๆที่เป็นทรัพยากรที่น่าจะนำมาใช้ให้เป็นประโยชน์ได้อย่างมีประสิทธิภาพ ดังนั้นในงานวิจัยนี้จึงมีจุดประสงค์ที่จะสำรวจความหลากหลายของสาหร่ายในน้ำพุร้อนในเขตภาคเหนือตอนบน ซึ่งมีอุณหภูมิและลักษณะที่แตกต่างกัน รวมทั้งชนิดและปริมาณของสาหร่ายในน้ำพุร้อน คาดว่าผลจากการวิจัยจะทราบถึงความหลากหลายของสาหร่ายในน้ำพุร้อนแต่ละแหล่ง ซึ่งถือได้ว่าเป็นทรัพยากรธรรมชาติที่สำคัญอีกประเภทหนึ่ง และยังอาจพบชนิดที่มีประโยชน์ที่สามารถประยุกต์ใช้ในด้านอุตสาหกรรม สิ่งแวดล้อม การแพทย์ และการเกษตร ต่อไปได้ในอนาคต

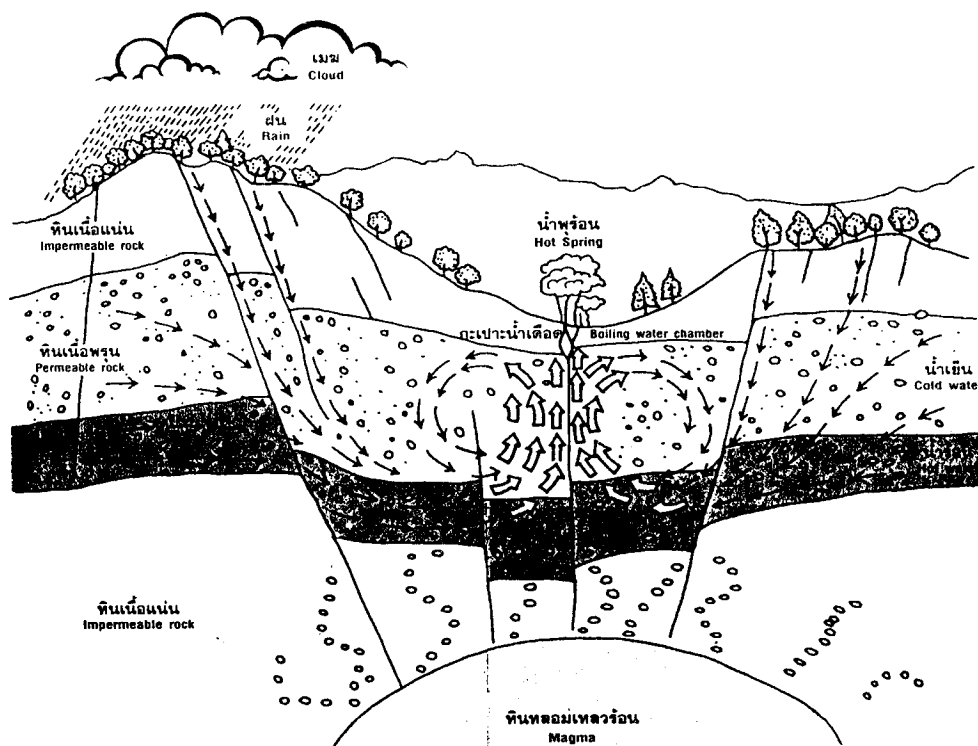
## วัตถุประสงค์การศึกษา

1. ศึกษาความหลากหลาย และปริมาณของสาหร่ายในน้ำพุร้อน
2. ศึกษาการเปลี่ยนแปลง species composition ของสาหร่าย ในช่วงหน้าแล้ง และฤดูฝน และนิเวศวิทยาที่เกี่ยวข้อง เพื่อศึกษาความสัมพันธ์ระหว่างคุณภาพน้ำ และการกระจายของสาหร่าย

## บทที่ 2

### ทบทวนเอกสาร

น้ำพุร้อน (hot spring) เป็นแหล่งพลังงานได้พิเศษที่สำคัญ ซึ่งในปัจจุบันสามารถนำมานำใช้ให้เกิดประโยชน์แก่นุชนได้มากมาย โดยสามารถนำไปผลิตกระแสไฟฟ้า นำไปใช้กับเครื่องบิน แห้งผลิตผลทางการเกษตร และใช้ในโรงงานอุตสาหกรรมต่างๆ มากมาย ในประเทศไทยมีแหล่งน้ำพุร้อนจำนวนมากและบริเวณที่มีน้ำพุร้อนมากที่สุดคือบริเวณภาคเหนือ จากการสำรวจของกรมทรัพยากรธรรมชาติ (2530) รายงานว่าแหล่งพลังงานความร้อนได้พิเศษในภาคเหนือบางแห่งเกิดในบริเวณที่หินเกิดรอยเลื่อนและรอยแตกซึ่งมีขนาดใหญ่และการเคลื่อนที่ ทำให้เกิดการแผ่ความร้อนระหว่างรอยเลื่อนและรอยแตกของหิน จากนั้นเกิดการถ่ายเทความร้อนของหินหนึ่นครรภ์ให้โลกล ไปยังน้ำเย็นจากผิวดินซึ่งไหลซึมลงไปใต้ผิวโลก ทำให้น้ำเย็นเปลี่ยนสภาพเป็นน้ำร้อนแล้วทุ่งขึ้นมาตามรอยแตก และรอยเลื่อนของหิน มักจะเกิดในบริเวณที่น้ำจะต้องไหลออกตามธรรมชาติ ปริมาณน้ำพุร้อนที่ไหลขึ้นมาหรือถูกปล่อยออกตามธรรมชาติจะมากหรือน้อยต่างกันในแต่ละบริเวณ (ภาพ 1) ปกติแล้วปริมาณของน้ำที่ไหลออกจะสม่ำเสมอไม่ขึ้นกับฤดูกาล อุณหภูมิของน้ำพุร้อนที่ขึ้นมาตามผิวดินมี ตั้งแต่  $45 - 100^{\circ}\text{C}$  (สารบุรี, 2523 อ้างถึง Castenholz, 1973)



ภาพ 1 การเกิดน้ำพุร้อนทางภาคเหนือของประเทศไทย

ทางด้านชีววิทยาได้มีผู้สนใจ และศึกษาค้นคว้าเกี่ยวกับสิ่งมีชีวิตที่อาศัยอยู่ในน้ำพุร้อน ทั้งชนิด จำนวน และสรีรวิทยา เพื่อนำมาวิเคราะห์หาประโยชน์ และไทยจากสิ่งมีชีวิตเหล่านี้ สิ่งมีชีวิตที่สามารถเจริญได้ในบริเวณน้ำพุร้อน ซึ่งมีสภาพผิดปกติจากแหล่งน้ำธรรมชาติอื่น ๆ มีหลายชนิด หนึ่งในจำนวนสิ่งมีชีวิตเหล่านี้ได้แก่ สาหร่าย ซึ่งจะเป็นประเภทหนึ่งของการร้อนซึ่งเรียกว่า *thermophilic algae* สาหร่ายประเภทนี้เกิดมาเป็นกลุ่มแรก ๆ ถูกกับแบคทีเรียในชุดพรีแคมเบรียน จนจนกระทั่งปัจจุบันสาหร่ายกลุ่มนี้ก็ยังคงลักษณะทางสัณฐานวิทยาแบบเดิมอยู่มาก ไม่ได้วิวัฒนาการไปไกลเหมือนสิ่งมีชีวิตชนิดอื่น ๆ (ขวaid, 2542) ตามปกติจุลินทรีย์ที่เจริญในบริเวณที่มีอุณหภูมิสูงจะผลิต *bioactive compound* บางชนิด เช่นเอนไซม์ ซึ่งมีความสามารถในการทำงานที่อุณหภูมิสูง คุณสมบัติของการคงความสามารถในการทำงานที่อุณหภูมิสูง (*thermostability*) เป็นคุณสมบัติที่สำคัญของการหนึ่งของเอนไซม์ที่จะวิจัยเพื่อการผลิตในระดับอุตสาหกรรม ทั้งนี้ เพราะนักวิจัยสามารถเลือกใช้อุลินทรีย์ที่อุณหภูมิสูง และสกัดเอนไซม์มาทำให้บริสุทธิ์ได้ที่อุณหภูมิห้องโดยที่เอนไซม์ไม่แปรสภาพพร้อมกับสูญเสียความสามารถในการทำงาน (*denature*) การเลือกใช้อุลินทรีย์ที่อุณหภูมิสูงยังเป็นการประหยัดต้นทุนการผลิต เพราะไม่ต้องใช้ระบบความเย็นควบคุมอุณหภูมิ (*cooling system*) และอุณหภูมิสูงยังป้องกันการเจริญของจุลินทรีย์ชนิดอื่น (*กาญาจนา และ สุทธิรักษ์, 2535*)

สาหร่ายที่ทนร้อนที่เจริญได้น้ำพุร้อนเหล่านี้ กลุ่มที่พบมากที่สุดทั้งชนิดและจำนวนคือสาหร่ายสีเขียวแกนน้ำเงิน (*cyanobacteria*) ซึ่งเป็นกลุ่มจุลินทรีย์ที่นำสู่การดำเนินการในประเทศไทย เช่นจุลินทรีย์ประเภทนี้ทำการสังเคราะห์แสงเพื่อให้ได้พลังงานในการเจริญ และแพร่พันธุ์ ดังนั้นการเลือกสาหร่ายสีเขียวแกนน้ำเงินในระดับอุตสาหกรรมจะลดต้นทุนการผลิตในส่วนของอาหารเลือกเชื้อ เพราะสาหร่ายประเภทนี้ใช้คาร์บอนไดออกไซด์ เป็นแหล่งคาร์บอนในการสังเคราะห์แสง (Round, 1975)

### แหล่งกำเนิด และคุณสมบัติของน้ำพุร้อน และน้ำร้อนในประเทศไทย

กรมทรัพยากรธรรมชาติ (2530) ได้ทำการสำรวจแหล่งน้ำพุร้อนในภาคเหนือ ภาคกลาง ภาคตะวันออก และภาคใต้ ในปี พ.ศ. 2526-2529 พบร่วมประเทศไทยมีแหล่งพลังงานความร้อนได้พิภพมากกว่า 90 แหล่ง ซึ่งการเกิดน้ำพุร้อนโดยทั่วไปจะต้องมีองค์ประกอบที่สำคัญ 3 ประการ คือแหล่งความร้อนได้ดิน น้ำได้ดิน และแหล่งเก็บกักหรือชั้นหินอุ่นน้ำในดิน แหล่งพลังงานความร้อนได้พิภพในภาคเหนือบางแหล่งเกิดจากการถ่ายเทความร้อนของหินหนี่ดร้อนได้ผิวโลกไปยังน้ำเย็นจากผิวดินซึ่งไหลลงไปได้โลกล ทำให้น้ำเย็นเปลี่ยนสภาพเป็นน้ำร้อน แล้วพุ่งขึ้นตามรอยแยก

และรอยเลื่อนของหิน แหล่งน้ำพุร้อนในภาคเหนือของประเทศไทย แบ่งออกเป็น 3 ระบบ คือ ระบบแรกคือ ระบบน้ำพุร้อน (hot spring system) อุณหภูมิของน้ำพุอยู่ระหว่าง  $50-100^{\circ}\text{C}$  และ มีปริมาณสารละลายน้ำสูง ได้แก่ แหล่งสันกำแพง ฝาง จังหวัดเชียงใหม่ เป็นต้น ระบบที่ 2 คือระบบน้ำพุอุ่น (warm spring system) คือระบบที่อุณหภูมิของน้ำพุร้อนต่ำกว่า  $50^{\circ}\text{C}$  และมี ปริมาณสารละลายน้ำต่ำ เมื่อเทียบกับระบบแรก ได้แก่แหล่งบ้านแม่อี้ และแหล่งบ้านแม่นะ อำเภอปาย จังหวัดแม่ฮ่องสอน เป็นต้น ระบบสุดท้ายคือ ระบบน้ำพุร้อนไกเซอร์ (Geyser System) คือระบบน้ำพุร้อนที่มีอุณหภูมิและแรงดันสูงมาก น้ำพุร้อนจะพุ่งขึ้นเหนือระดับพื้นดิน ตลอดเวลา หรือเป็นครั้งคราว แหล่งน้ำพุร้อนระบบนี้ได้แก่ แหล่งโปงเดือด จังหวัดเชียงใหม่

น้ำพุร้อนตามสภาพความเป็นกรด-ด่างและมวลชีวภาพของสาหร่ายแบ่งออกเป็น 3 ประเภทคือ ประเภทที่ 1 Alkaline springs pH ประมาณ 9 มวลชีวภาพของสาหร่ายมีมากที่สุด ประเภทที่ 2 Calcium carbonate springs มี calcium carbonate ทับถมเป็นชั้น ๆ มวลชีวภาพ ของสาหร่ายมีน้อยกว่าประเภทที่ 1 ประเภทสุดท้ายคือ Acid springs pH ตั้งแต่ 2.1 – 6.0 ไม่มี สาหร่าย สีเขียวแกมน้ำเงิน แต่มีสาหร่ายเซลล์เดียว เช่น สาหร่ายสีแดง *Cyanidium* sp. เป็น จำนวนมาก Fogg, et al. (1973)

ส่วน Ramingwong, et al. (1980) ได้แบ่งน้ำพุร้อนตามลักษณะที่ปรากฏออกเป็น 3 ชนิดคือ ชนิดแรก Seep springs มีลักษณะเป็นอ่างน้ำเล็ก ๆ มีน้ำขังหรือเป็นร่องเล็ก ๆ ที่มีน้ำไหล ชนิดที่สอง Pool springs มีลักษณะเป็นบ่อหรือแอ่ง ซึ่งอาจเป็นบ่อที่มีน้ำใสหรือมีโคลนผสมอยู่ ชนิดที่สาม Geyser มีลักษณะเป็นบ่อหรือแอ่ง มีน้ำพุพุ่งขึ้นมาจากบริเวณเหนือผิวดินซึ่งน้ำพุร้อน บริเวณภาคเหนือของประเทศไทยส่วนใหญ่จะมีลักษณะเป็นแบบ alkaline springs และ แบบ pool springs อุณหภูมิจะอยู่ในช่วง  $45 - 100^{\circ}\text{C}$

### ความรู้ทั่วไปเกี่ยวกับสาหร่ายทนร้อน

สาหร่ายทนร้อนมักเจริญอยู่ในบริเวณน้ำพุร้อนซึ่งจะมีการไหลของน้ำพุร้อนไปยังลำธาร คลอง ทำให้มีระดับความร้อนแตกต่างกัน ปัจจัยต่างๆ ก็ย่อมแตกต่างกันไปด้วย สิ่งมีชีวิตที่อาศัยอยู่ ในน้ำพุร้อนจะมีการปรับตัว (adaptation) ให้สามารถอยู่ในที่มีอุณหภูมิสูง ๆ ได้ รวมทั้งสาหร่าย เหล่านี้ด้วยซึ่งแต่ละชนิดจะเจริญได้ในแต่ละระดับของอุณหภูมิที่ต่างกัน และแต่ละชนิดย่อมมีความ ทนต่อสภาพแวดล้อมที่แตกต่างกันในปริมาณไม่เท่ากัน (ยุวดี, 2542)

การที่สิ่งมีชีวิตเหล่านี้สามารถเจริญได้นั้นขึ้นอยู่กับปัจจัยต่าง ๆ ได้แก่ ปัจจัยทางกายภาพ (physical factor) ปัจจัยทางเคมี (chemical factor) และปัจจัยทางชีวภาพ (biological factor)

ซึ่งปัจจัยทางกายภาพที่มีผลต่อการเจริญของสิ่งมีชีวิตในน้ำพุร้อนที่สำคัญได้แก่ อุณหภูมิ สารร้ายสี เขียวแกรมบวก เกินสามารถปรับตัวให้ทนต่ออุณหภูมิและสภาพแวดล้อมที่ไม่เหมาะสมได้ดี บาง species สามารถอยู่ในโตรเรนได้ เช่น *Mastigocladus laminosus* ซึ่งจัดเป็นพวก polythermal organism (Odum , 1971) เมื่อวัดการเจริญของสาหร่ายสีเขียวแกรมบวกในน้ำพุร้อนที่อุณหภูมิต่าง ๆ โดยใช้ปริมาณคลอโรฟิลล์ โปรตีน และ RNA เป็นเครื่องบ่งชี้โดยกำหนดให้สิ่งแวดล้อมอื่นๆ คงที่ ซึ่งสามารถสรุปได้ว่าอุณหภูมิเป็นตัวควบคุมการเจริญของสาหร่ายในน้ำพุร้อน และอุณหภูมิที่เหมาะสมต่อการเจริญคือ  $54^{\circ}\text{C}$  (Brock, 1966) ปัจจัยต่อมาที่มีความสำคัญคือ แสงสว่าง เป็นปัจจัยที่สำคัญที่ควบคุมการผลิต ความเข้มของแสงสว่างจะมีผลต่อผู้ผลิตขั้นปฐมภูมิ (primary producer) Odum (1971) กล่าวว่าในน้ำพุร้อนขนาดใหญ่ที่มีอุณหภูมิกองที่เช่น น้ำพุร้อนที่ประเทศไทยซึ่งแอลกอฮอล์มีอุณหภูมิกองที่ในช่วงฤดูหนาวซึ่งเหมาะสมแก่การเจริญของสาหร่าย แต่เมื่อแสงสว่างเพียงเล็กน้อยในการสังเคราะห์ ทำให้สาหร่ายมีความหนาแน่นน้อยลง ปัจจัยสุดท้ายคือความเป็นกรด-ด่าง (pH) ซึ่งการเจริญของจุลินทรีย์ในน้ำพุร้อนจะถูกจำกัดด้วยค่าความเป็นกรดแก่หรือด่างแก่ ในน้ำพุร้อนที่มีสภาพเป็นกรดแก่จะมีการออกซิไซซ์ไฮโดรเจนซัลไฟล์เป็นกรดกำมะถัน น้ำพุร้อนที่มีสภาพเป็นกรดแก่จะจำกัดการกระจายของสิ่งมีชีวิต สาหร่ายที่สามารถมีชีวิตอยู่ได้ เช่น สาหร่ายสีแดง *Cyanidium caldarium* พบริ่นในน้ำพุร้อนที่มีสภาพเป็นกรด (Castenholz, 1973) น้ำพุร้อนที่มีสภาพเป็นด่างซึ่งมีอุณหภูมิระหว่าง  $51 - 56^{\circ}\text{C}$  จะพบ *Mastigocladus laminosus*, *Phormidium laminosum* และ *Synechococcus* spp. เป็นจำนวนมาก (Fogg, 1973)

ส่วนปัจจัยทางเคมีที่มีผลต่อการเจริญของสิ่งมีชีวิตในน้ำพุร้อนซึ่งระบุไว้ (2523) อ้างถึง Lynch and Poole (1979) ได้แก่การละลายของออกซิเจนในน้ำ ปริมาณการละลายของออกซิเจนในน้ำจะแปรผันตามอุณหภูมิ เมื่ออุณหภูมิสูงขึ้นปริมาณการละลายของออกซิเจนในน้ำจะลดลง ซึ่งมีผลต่อชนิดและจำนวนของสิ่งมีชีวิตในน้ำพุร้อน ปัจจัยที่สำคัญคือความเข้มข้นของสารอินทรีย์ ในน้ำพุร้อนส่วนใหญ่จะมีความเข้มข้นของสารอินทรีย์ต่ำจึงเป็นปัจจัยจำกัดชนิดของจุลินทรีย์ แต่พบว่ามีผลต่อสาหร่ายน้อย

ปัจจัยทางชีวภาพที่มีผลต่อการเจริญของสิ่งมีชีวิตในน้ำพุร้อนนั้น Odum (1971) กล่าวว่า ความสมดุลทางชีวภาพในน้ำพุร้อนขนาดใหญ่จะมีความสมดุลของมวลทางชีวภาพเนื่องจากมีการเปลี่ยนแปลงการแทนที่ของสิ่งมีชีวิตอยู่เสมอ จึงทำให้สิ่งมีชีวิตอยู่ในสภาพแวดล้อม ซึ่ง Campbell and Pace (1968) กล่าวว่าจุลินทรีย์พวก thermophile สามารถมีชีวิตอยู่รอดและเจริญได้ดีที่อุณหภูมิสูงเนื่องจากประเภทแรกเรือนไชม์ และโครงสร้างที่มีโปรตีนเป็นองค์ประกอบ มีคุณสมบัติทนต่อความร้อนสูง เอนไซม์ของจุลินทรีย์ที่ชอบอุณหภูมิสูงแบ่งได้เป็น 3 กลุ่มคือ กลุ่มแรกเป็นกลุ่มเรือนไชม์ที่ทำงานได้ในช่วงอุณหภูมิไม่เกิน  $55 - 60^{\circ}\text{C}$  เช่น malic dehydrogenase,

adenosine triphosphatase, inorganic pyrophosphatase, aldolase และ peptidase กลุ่มที่สองคือ กลุ่มเอนไซม์ที่จะทำงานเมื่อมีสารเริ่มต้นในปฏิกิริยาเท่านั้น เช่น asparagine deaminase, catalase, pyruvic acid oxidase และ isocitrate lyase กลุ่มสุดท้ายคือ กลุ่มเอนไซม์และโปรตีนที่ต้านทานต่อความร้อนสูง เช่น  $\alpha$ -amylase, protease, glyceraldehyde - 3 - phosphate dehydrogenase และเอนไซม์ที่กระตุ้นการทำงานของกรดอะมิโน

นอกจากนี้จุลินทรีย์กลุ่มนี้มีเยื่อหุ้มเซลล์คงตัวเมื่อความร้อนสูง เนื่องจากพวก thermophile จะมีลิปิด (lipid) ที่ละลายในกรดไขมัน (fatty acid) จำนวนมาก การที่ลิปิดละลายในกรดไขมันทำให้เยื่อหุ้มเซลล์คงตัวจึงสามารถทำงานได้ดีที่อุณหภูมิสูง ตรงข้ามกับพวก psychrophile ที่ลิปิดไม่ละลายในกรดไขมันจึงทำงานได้เฉพาะที่อุณหภูมิต่ำและไม่คงตัวในสภาพที่มีอุณหภูมิสูง นอกจากนี้จุลหลอมเหลวของลิปิดของพวก thermophile จะสูง เมื่อหุ้มเซลล์ยึดหยุ่นได้บ้างเมื่อได้รับความร้อน รูนีขนาดใหญ่ขึ้น และเอนไซม์สามารถทำงานได้ดีจึงยอมให้สารผ่านได้และทนต่อ osmotic shock ทั้งยังสามารถสร้างส่วนประกอบของเซลล์ขึ้นใหม่ได้อย่างรวดเร็ว เซลล์จะมีอัตราเมตาโบลิซึมสูงในสภาพที่อุณหภูมิสูง ทำให้มีการขนส่ง substrate และของเสียเข้าออกเซลล์ได้อย่างรวดเร็ว

นอกจากนี้ยังสามารถปรับตัวทางสีรีวิทยาให้ทำงานได้ดีในอุณหภูมิสูง จุลินทรีย์ส่วนใหญ่ที่อาศัยอยู่ในน้ำพุร้อนจะปรับตัวทางสีรีวิทยาให้ทำงานได้ดีในสีงวดล้อมที่อาศัยอยู่ และมีบางชนิดที่สามารถปรับตัวให้ทำงานได้ดีมากกว่าสีงวดล้อมที่อาศัยอยู่ เช่น สาหร่ายสีแดง *Cyanidium caldarium* โดย Roberts (1998) ศึกษาพบว่าสามารถอาศัยอยู่ได้ในอุณหภูมิสูง และในที่ๆ มี pH ต่ำโดยอุณหภูมิที่เหมาะสมคือ 45 °C และสามารถอาศัยอยู่ได้ถึงอุณหภูมิ 57 °C

### การศึกษาสาหร่ายในน้ำพุร้อนทั้งในประเทศไทยและต่างประเทศ

ในประเทศไทยมีนักวิจัยได้ทำการสำรวจความหลากหลายของสาหร่ายในน้ำพุร้อนไม่นักนัก สำหรับในภาคเหนือ สารบุรี (2523) ได้ทำการสำรวจจุลินทรีย์ในน้ำพุร้อนไปช่อง ดำเนล่อน หลวย อำเภอสันกำแพง จังหวัดเชียงใหม่ พนสาหร่าย 10 species ได้แก่ *Anacystis* sp., *Chroococcus turgidus*, *Anabaena* sp., *Navicula* sp., *Oscillatoria* spp., *Scenedesmus dimorphus*, *Closterium* sp., *Spirogyra* sp. และ *Stigeoclonium* sp. ต่อมากัญจนานะ และคณะ (2532) ได้ทำการสำรวจและศึกษาสาหร่ายสีเขียวแกมน้ำเงินในน้ำพุร้อนในภาคเหนือ ได้แก่ น้ำพุร้อนแม่ฟ้าง อำเภอฟ้าง น้ำพุร้อนไปช่อง อำเภอสันกำแพง จังหวัดเชียงใหม่ และน้ำพุร้อนบ้านท่าไม้แดง อำเภอเมือง จังหวัดกำแพงเพชร พนสาหร่ายชนิดเด่น ได้แก่ *Calothrix* sp., *Oscillatoria*

*terebriformis* และ *Synechococcus* sp. ศึกษาโครงสร้างของเซลล์โดยทำการตีริงเซลล์ของ *Synechococcus* sp. และ *Oscillatoria terebriformis* ด้วยวิธีของ DeVecchi ก่อนนำมาตัด thin sections และศึกษาด้วยกล้องจุลทรรศน์อิเลคตรอน พบร่วมกับการเรียงตัวของ thylakoids ติดกัน และเห็น nuclear fibrils ชัดเจน ต่อมาประวิทัย (2533) ทำการศึกษาสาหร่ายในน้ำพุร้อนบ้านโป่ง ช่อง อ. สันกำแพง จ. เชียงใหม่ ระหว่างเดือนพฤษภาคม 2530 ถึงเดือนเมษายน 2531 โดยศึกษาจากบ่อน้ำร้อนธรรมชาติ 5 บ่อ และบ่อร้อน 1 แห่ง พบร่วมกับอุณหภูมิระหว่าง  $31 - 77^{\circ}\text{C}$  พบสาหร่ายทั้งหมด 98 species เช่น *Oscillatoria* spp., *Diploneis mauleri*, *Epithemia cistula*, *Synechococcus aeruginosus* และ *Navicula* spp. เป็นต้น โดยพบว่าคุณสมบัติทางกายภาพและเคมีของน้ำ เช่น อุณหภูมิ ความเป็นกรดค้าง และปริมาณแร่ธาตุ มีอิทธิพลต่อการกระจายของสาหร่ายในน้ำพุร้อน

ส่วนบริเวณภาคกลาง กาญจนฯ และ สุโขทัย (2535) ได้ทำการสำรวจชนิดของสาหร่ายสีเขียวแกมน้ำเงินในบ่อน้ำร้อนที่นิดา อ. ทองผาภูมิ จ. กาญจนบุรี และบ่อร้อนท่าไม้แดง จังหวัดกำแพงเพชร ซึ่งมีอุณหภูมิประมาณ  $40 - 49^{\circ}\text{C}$  pH 6.0-8.0 พบ *Oscillatoria* spp. เป็นชนิดเด่นนอกจากนั้นยังพบ *Mastigocladus* sp., *Synechococcus* sp. และ *Calothrix* sp.

ในระยะเวลาใกล้ๆกัน ได้มีการสำรวจสาหร่ายดังกล่าวในภาคใต้โดย วิรัชนีย์ (2534) ศึกษาชนิดและนิเวศวิทยาของสาหร่ายในน้ำพุร้อนที่ อ. เข้าร่อง จ. พัทลุง ระหว่างเดือนกรกฎาคม 2534 ถึงเดือนกุมภาพันธ์ 2535 โดยเก็บตัวอย่างสาหร่ายที่ขึ้นตามขอบบ่อ กันบ่อและสาหร่ายที่ลอยอยู่ในน้ำ พบร่วมน้ำพุร้อนมีอุณหภูมิ  $53 - 59^{\circ}\text{C}$  มี pH เท่ากับ 7.3 พบสาหร่ายทั้งหมด 14 species ตัวอย่างเช่น *Synechococcus elongatus*, *Synechococcus aquatilis*, *Phormidium ambiguum*, *Dermocarpa sphaerica* และ *Stigonema hormoides* เป็นต้น นอกจากนี้ยังได้ทำการแยกตัวอย่างสาหร่ายที่พบ ซึ่งสามารถแยกได้ทั้งหมด 5 species ได้แก่ *Chroococcus* sp., *Phormidium ambiguum*, *Stigonema hormoides*, *Synechococcus elongatus* และ *Synechocystis aquatilis*

ในต่างประเทศมีการศึกษากันในหลายภูมิภาค เริ่มจากเขตร้อนซึ่งมีภูมิอากาศคล้ายประเทศไทย โดย Round (1975) ได้ทำการสำรวจสาหร่ายในน้ำพุร้อน On Sunda ประเทศอินโดนีเซีย พบนิดสาหร่ายแตกต่างกันตามช่วงระดับอุณหภูมิ โดยที่อุณหภูมิ  $45-55^{\circ}\text{C}$  พบสาหร่าย *Mastigocladus laminosus*, *Phormidium laminosum*, *Pleurocapsa fluvialis*, *Plectonema notatum* v. *africanum*, *Scytonema coactile* v. *thermale* ที่อุณหภูมิ  $55-60^{\circ}\text{C}$  พบสาหร่าย *Synechococcus elongatus* f. *thermalis*, *Synechocystis aquatilis*, *Phormidium laminosum*, *Onconema thermale*, *O. compactum*, *Phormidium tenue*, *P. cebennese* f. *thermale*, *Mastigocladus laminosus* ที่อุณหภูมิสูงกว่า  $60^{\circ}\text{C}$  พบสาหร่าย *Synechococcus elongatus* f. *thermalis*, *Synechosystis aquatilis*, *Phormidium*

*laminosum* ต่อมา Leghari and Thebo (1983) ศึกษาสาหร่ายสีเขียวแกมน้ำเงินในน้ำพุร้อน Laki Shah Sadar ประเทศปากีสถาน อุณหภูมิของน้ำอยู่ในช่วง  $32 - 42^{\circ}\text{C}$  pH อยู่ในช่วง 6.6–8.2 พบสาหร่ายสีเขียวแกมน้ำเงินทั้งหมด 12 genera 21 species ซึ่งจัดอยู่ในกลุ่ม Chroococcales และ Nostocales สาหร่ายชนิดที่เด่นคือ *Oscillatoria* spp., *Phormidium* spp. และ *Synechococcus* spp. ซึ่งพบทุกช่วงอุณหภูมิ และ Compère and Delmotte (1986) ทำการสำรวจและเก็บรวบรวมตัวอย่างของสาหร่ายในน้ำพุร้อน 2 แหล่งในประเทศเซเชลส์ ทวีปแอฟริกาซึ่งมีอุณหภูมิอยู่ในช่วง  $54 - 84^{\circ}\text{C}$  แตกต่างกันไปตามฤดูกาล พบได้อีก 120 species และ สาหร่ายสีเขียวแกมน้ำเงินหลาย species ได้แก่ *Scytonema figuratum*, *Oscillatoria* spp., *Lyngbya angustissima*, *Synechococcus lividus*, *Rhopalodia gibberula*, *Pinnularia appendiculata*, *Cocconeis pediculus*, *Cymbella minuta* และ *Navicula cuspidata* เป็นต้น

ในเขตตอบอุ่นและเขตหนาวมีการศึกษามากกว่าภูมิภาคอื่นๆ โดย Castenholz (1973) ศึกษาสาหร่ายสีเขียวแกมน้ำเงิน ในน้ำพุร้อน Hunter รัฐไอริกลอน และน้ำพุร้อน Yellowstone ในสหรัฐอเมริกา พบ *Synechococcus lividus* ในน้ำที่อุณหภูมิ  $73 - 74^{\circ}\text{C}$  และ *Oscillatoria terebriformis* ที่อุณหภูมิ  $35 - 38^{\circ}\text{C}$  ศึกษาน้ำพุร้อนในประเทศไทย ไอซ์แลนด์ และนิวซีแลนด์ พบ *Mastigocladus laminosus* ที่อุณหภูมิ  $63 - 64^{\circ}\text{C}$  สองปีต่อมา Sperling (1975) ศึกษาระบบนิเวศของสาหร่ายในน้ำพุร้อน โดยทำการสำรวจสาหร่ายในน้ำพุร้อนทางตอนใต้ของประเทศไทย ไอซ์แลนด์ ในช่วงฤดูหนาวระหว่างธันวาคม 1968 ถึงมกราคม 1969 ในขณะเดียวกันที่ทำการวัดผลผลิตเบื้องต้นโดยใช้ C-14 พบว่าผลผลิตเบื้องต้นมีค่าไม่เท่ากัน โดยในน้ำอุ่น พบ *Mastigocladus laminosus* ที่อุณหภูมิสูง  $55^{\circ}\text{C}$  และในธารน้ำร้อนที่มีอัตราไหลปานกลางถึงแรงพบ *Phormidium corium* และ *Lyngbya martensiana* ที่อุณหภูมิ  $31 - 41^{\circ}\text{C}$  หลังจากนั้น Brock (1978) ทำการศึกษาความหลากหลายของชนิด และจำนวนของสาหร่ายสีเขียวแกมน้ำเงินตามระดับอุณหภูมิที่แตกต่างกัน คือ  $10 - 75^{\circ}\text{C}$  จากน้ำพุร้อนหลาย ๆ แหล่ง พบว่าที่ช่วงอุณหภูมิ  $30 - 35^{\circ}\text{C}$  มีจำนวนและชนิดของสาหร่ายสีเขียวแกมน้ำเงินมากที่สุดถึง 90 species ช่วงอุณหภูมิ  $65 - 70^{\circ}\text{C}$  และ  $70 - 75^{\circ}\text{C}$  มีจำนวนและชนิดของสาหร่ายสีเขียวแกมน้ำเงินน้อยที่สุดคือ 1 species จากรายงานของ Brock (1978) ซึ่งได้อ้างถึง Peary and Castenholz (1964) ซึ่งศึกษาอุณหภูมิที่เหมาะสมต่อการเจริญของสาหร่าย สีเขียวแกมน้ำเงิน *Synechococcus lividus* ที่เก็บมาจากอุณหภูมิต่าง ๆ ในน้ำพุร้อน Hunter รัฐไอริกลอน พบว่าสามารถแบ่งอุณหภูมิที่เหมาะสมต่อการเจริญได้เป็น 4 กลุ่ม โดยกลุ่มที่ 1 เป็น species ที่เก็บมาจากอุณหภูมิ 45, 48 และ  $53^{\circ}\text{C}$  อุณหภูมิที่เหมาะสมต่อการเจริญคือ  $45^{\circ}\text{C}$  กลุ่มที่ 2 เป็น species ที่เก็บมาจากอุณหภูมิ 55 และ  $60^{\circ}\text{C}$  อุณหภูมิที่เหมาะสมต่อการเจริญคือ

50 °C กลุ่มที่ 3 เป็น species ที่เก็บมาจากอุณหภูมิ 66 และ 71 °C อุณหภูมิที่เหมาะสมต่อการเจริญคือ 55 °C และกลุ่มสุดท้ายเป็น species ที่เก็บมาจากอุณหภูมิ 75 °C อุณหภูมิที่เหมาะสมต่อการเจริญคือ 65 °C

หลายปีต่อมา Dell'Uomo (1986) ทำการศึกษาโดยอะตอมและสารร่ายจากน้ำพุร้อน Tripionzo เมืองเปรูเจี้ย ในตอนกลางของประเทศอิตาลี ซึ่งนำมาจากแหล่งอาบน้ำร้อนแบบโรมัน อุณหภูมิประมาณ 28 °C น้ำพุร้อนแห่งนี้มีไฮโดรเจนซัลไฟด์ และซัลเฟอร์ในรูปปอดคลอยด์มาก พนสารร่ายสีเขียวแกมน้ำเงินชนิดเด่น คือ *Oscillatoria okenii* รองลงมาคือ *Phormidium spp.* และ *Aphanocapsa spp.* พนสารร่ายไฟคือ *Chara vulgaris* พนโดยอะตอม 44 ชนิด ชนิดเด่นคือ *Navicula cryptocephala* var. *veneta* และ *Navicula gregaria* ซึ่งเป็นชนิดที่เจริญในบริเวณที่มีความเค็มสูง (halophiles) โดยพบว่าโดยอะตอมจะไวต่อปริมาณของ NaCl และ MgCl<sub>2</sub> นอกจากนั้นยังไวต่อปริมาณซัลไฟด์ งานวิจัยในเรื่องนี้ใช้ชนิดและปริมาณของโดยอะตอมมาจัดคุณภาพของน้ำซึ่งข้อบัญญัติในประเภท  $\beta$ -mesosaprobiic

สำหรับปัจจัยจำกัดเกี่ยวกับอุณหภูมิต่อการเจริญของจุลินทรีย์ในน้ำพุร้อนนั้น Brock (1994) ทำการศึกษาพบว่าอุณหภูมิเป็นปัจจัยทางสิ่งแวดล้อมที่สำคัญต่อการดำรงชีวิตของ จุลินทรีย์ ซึ่งระดับอุณหภูมิสูงสุดสำหรับการเจริญของสิ่งมีชีวิตชนิดต่าง ๆ มีค่าไม่เท่ากัน พนว่าสิ่งมีชีวิตประเภท eucaryotes จะมีความทนต่ออุณหภูมิสูงสุดต่ำกว่าสิ่งมีชีวิตพวก procaryotes โดยแบคทีเรียมีระดับความทนต่ออุณหภูมิสูงที่สุดคือ ประมาณ 115 °C รองลงมาเป็นกลุ่มสารร่ายสีเขียวแกมน้ำเงินและแบคทีเรียสังเคราะห์แสง ในช่วงอุณหภูมิ 70-73 °C ปีต่อมา Pentecost (1995) ทำการศึกษาสารร่ายสีเขียวแกมน้ำเงินในน้ำพุร้อน 3 แหล่ง ในประเทศอังกฤษ พนว่าที่น้ำพุร้อน Bath Spa พนจำนวนชนิดของสารร่ายสีเขียวแกมน้ำเงินมากที่สุด สารร่ายชนิดที่เด่นคือ *Phormidium spp.* เมื่อทำการศึกษาการใช้ C-14 เปรียบเทียบในแต่ละอุณหภูมิ พนว่า *P. luridum* และ *P. ambiguum* มีช่วงอุณหภูมิที่เจริญเติบโตคือที่ 30 และ 40 °C ตามลำดับ แต่ไม่สามารถเจริญได้ที่ อุณหภูมิเกิน 47 °C การศึกษาได้ผลเช่นเดียวกับ Brock (1978) ซึ่งศึกษาความหลากหลายของสารร่ายสีเขียวแกมน้ำเงินพบว่ามีความสัมพันธ์กับอุณหภูมิ โดยพบว่าที่อุณหภูมิ 30 – 35 °C มีจำนวนและชนิดของสารร่ายมากและลดลงเมื่ออุณหภูมิเพิ่มขึ้น โดยที่อุณหภูมิ 70 – 75 °C มีสารร่ายสีเขียวแกมน้ำเงินเพียงชนิดเดียวคือ *Synechococcus sp.* ที่สามารถเจริญได้

มีการศึกษาความสัมพันธ์ระหว่างปัจจัยทางกายภาพและเคมีบางประการที่มีผลต่อการเจริญของสารร่ายสีเขียวแกมน้ำเงิน เช่น Castenholz (1976) ศึกษาผลผลกระทบของซัลไฟด์ที่มีต่อสารร่าย สีเขียวแกมน้ำเงินในน้ำพุร้อนประเทศไทยและออสเตรเลีย พนว่าความเข้มข้นของซัลไฟด์ที่คล้ายน้ำจะเป็นตัวกำหนดชนิดของสารร่าย นอกจานี้ยังมีผลต่อปัจจัยทางเคมีในน้ำ

ยกเว้นค่า pH การศึกษา *Mastigocladus laminosus* ในประเทคนิวซีแลนด์พบว่าสาหร่าย species นี้จะไวต่อปริมาณชัลไฟฟ์เกิน 0.15 mg/l ส่วนในประเทศไทยและจะไวต่อปริมาณชัลไฟฟ์เกิน 0.25 mg/l และพบว่าไม่สามารถทนสาหร่ายชนิดนี้ในน้ำที่มีชัลไฟฟ์สูงมากๆ

ในแง่ของการเพาะเลี้ยงที่ต้องการผลผลิตต่าง ๆ และการประยุกต์เพื่อนำไปใช้มีการวิจัยกันมากมาย ซึ่ง Hayashi et al. (1994) ทำการแยกสายพันธุ์ของสาหร่ายสีเขียวแกมน้ำเงิน 3 สายพันธุ์ จากน้ำพุร้อนบ้านโป่งช่อน อำเภอสันกำแพง จังหวัดเชียงใหม่ พบร่วมกับ *Chroococcidiopsis* sp. สายพันธุ์ TS - 821 สามารถเจริญได้ในอาหารเพาะเลี้ยงในสภาพอุณหภูมิที่เหมาะสมคือ 50°C , pH ประมาณ 8 พบร่วมกับ *Chlorella* สามารถตรึงไนโตรเจนได้ ทนต่อในไตรท์ ชัลไฟฟ์และการรบอนไดออกไซด์ที่ความเข้มข้นสูง ๆ ได้ ปีเดียวกันนี้ Fish and Codd (1994) ศึกษาการผลิตสารต่อต้านแบคทีเรียซึ่งผลิตจาก สาหร่ายสีเขียวแกมน้ำเงินที่ร้อน *Phormidium* sp. โดยเดี่ยวแบบ batch culture โดยสามารถยับยั้งการเจริญของ heterotrophic bacteria ชนิดกรัมบวก และกรัมลบหลายชนิดพร้อมกันนั้นยังสามารถยับยั้งเชื้อยีสต์และรา เช่น *Candida albicans* และ *Cladosporium resinae* ปีต่อมา Sakamoto et. al. (1995) ศึกษาสาหร่ายสีเขียว *Chlorella* จากน้ำพุร้อนในประเทศไทยญี่ปุ่น ซึ่งสามารถทนอุณหภูมิ และปริมาณการรบอนไดออกไซด์สูงๆ ได้ โดยสาหร่ายชนิดนี้สามารถเจริญได้ที่ อุณหภูมิ 42°C และสามารถเจริญได้ในชุดการทดลองที่มีการรบอนไดออกไซด์ 40% ซึ่งสามารถแสดงให้เห็นว่าสาหร่ายชนิดนี้มีความเหมาะสมในการตรึงกําชาร์บอนไดออกไซด์จากการระบุ การผลิตในโรงงานอุตสาหกรรมได้ เช่นเดียวกันกับงานวิจัยของ Hefley (2000) รายงานว่าทีมวิศวกรจากมหาวิทยาลัย Ohio ประเทศสหรัฐอเมริกา ได้สร้างตัวกรองแบบใหม่ที่ทำจากสิ่งมีชีวิต (new living filter) ซึ่งทำมาจาก culture ของสาหร่ายในน้ำพุร้อน Yellowstone National Park ซึ่งมีคุณสมบัติในการลดปริมาณการรบอนไดออกไซด์จากโรงงานได้ โดยตัวกรองจะบีดติดกับระบบเพาใหม่ของโรงงานเพาถ่านหิน สามารถดูดซับการรบอนไดออกไซด์ได้ประมาณ 20% ซึ่งมีความเหมาะสมในการบำบัดกําชาร์บอนไดออกไซด์ในระดับหนึ่งและทนต่ออุณหภูมิสูงได้ นอกจากนี้ ยังมีงานวิจัยในแนวทางเดียวกันเกี่ยวกับงานวิจัยที่มุ่งแก้ไขสภาพแวดล้อมดังที่กล่าวมาโดย Miyake et al. (1999) ได้ทำการศึกษาการผลิตกําชาร์ไทรโตรเจน จากสาหร่ายสีเขียวแกมน้ำเงินและแบคทีเรียสังเคราะห์แสงในระดับห้องปฏิบัติการ เพื่อนำไปประยุกต์ใช้ในระดับอุตสาหกรรมต่อไป

## บทที่ 3

### อุปกรณ์และวิธีการวิจัย

#### การสำรวจแหล่งน้ำพุร้อนในเขตภาคเหนือตอนบน

สำรวจแหล่งน้ำพุร้อนในเขตภาคเหนือตอนบน ที่มีสภาพแวดล้อมที่เป็นธรรมชาติและมีอุณหภูมิแตกต่างกันซักเจนในแต่ละจุดเก็บตัวอย่าง ในน้ำพุร้อนแต่ละแหล่งทำการกำหนดจุดเก็บตัวอย่างโดยแบ่งตามอุณหภูมิ และสิ่งแวดล้อมรอบๆจุดเก็บตัวอย่าง กำหนดแหล่งน้ำพุร้อนที่ทำการศึกษาออกได้ดังนี้

แหล่งที่ 1 น้ำพุร้อนสันกำแพง อำเภอแม่อ่อน จังหวัดเชียงใหม่

แหล่งที่ 2 น้ำพุร้อนโป้งเดือด อำเภอแม่แตง จังหวัดเชียงใหม่

แหล่งที่ 3 น้ำพุร้อนเทพนม อำเภอแม่แจ่ม จังหวัดเชียงใหม่

แหล่งที่ 4 โป้งน้ำร้อนดอยสะเก็ต อำเภอดอยสะเก็ต จังหวัดเชียงใหม่

แหล่งที่ 5 น้ำพุร้อนแม่ฟ้าง อำเภอฟ้าง จังหวัดเชียงใหม่

แหล่งที่ 6 น้ำพุร้อนแจ้ซ้อน อำเภอเมืองปาน จังหวัดลำปาง

แหล่งที่ 7 น้ำพุร้อนท่าปาย อำเภอปาย จังหวัดแม่ฮ่องสอน

แหล่งที่ 8 โป้งน้ำร้อนแม่จัน อำเภอแม่จัน จังหวัดเชียงราย

แหล่งที่ 9 น้ำพุร้อนห้วยมากเลี้ยม อำเภอเมือง จังหวัดเชียงราย

เก็บตัวอย่างแต่ละแหล่งที่กำหนดไว้ ในช่วงฤดูแล้ง และฤดูฝน โดยน้ำพุร้อนสันกำแพง ทำการเก็บตัวอย่างในฤดูแล้งวันที่ 14 มกราคม 2543 และฤดูฝนวันที่ 21 พฤษภาคม 2543 น้ำพุร้อนโป้งเดือด ทำการเก็บตัวอย่างในฤดูแล้งวันที่ 10 มีนาคม 2542 และฤดูฝนวันที่ 3 มิถุนายน 2543 น้ำพุร้อนเทพนม ทำการเก็บตัวอย่างในฤดูแล้งวันที่ 2 เมษายน 2542 และฤดูฝนวันที่ 4 มิถุนายน 2543 โป้งน้ำร้อนดอยสะเก็ต ทำการเก็บตัวอย่างในฤดูแล้งวันที่ 19 กุมภาพันธ์ 2542 และหน้าฝนวันที่วันที่ 19 มิถุนายน 2542 น้ำพุร้อนแม่ฟ้าง ทำการเก็บตัวอย่างในหน้าฝนวันที่ 27 พฤษภาคม 2542 น้ำพุร้อนแจ้ซ้อน ทำการเก็บตัวอย่างในฤดูแล้งวันที่ 29 มกราคม 2543 และฤดูฝนวันที่ 18 มิถุนายน 2542 น้ำพุร้อนท่าปาย ทำการเก็บตัวอย่างวันที่ 7 มกราคม 2543 และฤดูฝนวันที่ 13 สิงหาคม 2542 โป้งน้ำร้อนแม่จัน ทำการเก็บตัวอย่างในฤดูแล้งวันที่ 21 ธันวาคม 2542 และฤดูฝนวันที่ 31 พฤษภาคม 2543 น้ำพุร้อนห้วยมากเลี้ยมทำการเก็บตัวอย่างในฤดูฝน วันที่ 31 พฤษภาคม 2543

ในแต่ละแหล่งกำเนินคุณภาพเก็บตัวอย่าง ตามระดับของอุณหภูมิดังนี้

|            |          |
|------------|----------|
| ระดับที่ 1 | 30-39 °C |
| ระดับที่ 2 | 40-49 °C |
| ระดับที่ 3 | 50-59 °C |
| ระดับที่ 4 | 60-69 °C |
| ระดับที่ 5 | 70-80 °C |

## อุปกรณ์

### 1. อุปกรณ์ในการศึกษาคุณภาพน้ำ และสาหร่าย

#### 1.1 อุปกรณ์เก็บตัวอย่างน้ำ

- ขวดโพลีเอธิลีน
- ขวด BOD
- กระบอก หรือขันตักน้ำ
- กระติกน้ำร้อน
- ช้อน
- คีมคีบ (Forceps)
- แปรงสีฟัน
- ภาชนะที่มีฝาปิด และทนความร้อน
- ถุงพลาสติก และยางรัด

#### 1.2 อุปกรณ์วิเคราะห์คุณภาพน้ำ

- เทอร์โมมิเตอร์
- เครื่องวัดความสูงจากระดับน้ำทะเล (altimeter)
- เครื่อง pH meter ของบริษัท GmH Weriheim ประเทศเยอรมัน
- เครื่อง turbidity meter ของบริษัท Cole Parmer
- เครื่อง conductivity meter ของบริษัท Ciba Corning
- สารเคมีที่ใช้วิเคราะห์ความเป็นค่า ได้แก่ พินอล์ฟราลีน เมチลօอเรนจ์ และ  $H_2SO_4$  0.02 N
- สารเคมีที่ใช้ในการวิเคราะห์หาปริมาณออกซิเจนที่ละลายในน้ำ (Dissolved oxygen, DO) ได้แก่  $MnSO_4$ , Alkaline iodide azide reagent (AIA),  $H_2SO_4$ conc. และ

$\text{Na}_2\text{S}_2\text{O}_3$  0.025 N

- Spectrophotometer รุ่น DR 2000 ของบริษัท Hach ประเทศสหราชอาณาจักร

### 1.3 อุปกรณ์ศึกษาชนิด และปริมาณสาหร่าย

- กล้องจุลทรรศน์เลนส์ประกอบชนิดถ่ายภาพได้ และมีอุปกรณ์ในการวัดภาพ ของ บริษัท Olympus รุ่น B201
- กล้องจุลทรรศน์อิเลคตรอนแบบส่องกราด (Scanning electron microscope)
- สไลเดอร์ และกระจากปิดสไลเดอร์
- หนังสือในการจัดจำแนกชนิดสาหร่าย

## 2. ศึกษาคุณภาพน้ำทางด้านกายภาพ และเคมีบางประการของน้ำพื้นที่

2.1 ศึกษาลักษณะของแหล่งน้ำ และท้องน้ำ

2.2 วัดอุณหภูมิของน้ำและอากาศ โดยใช้เทอร์โมมิเตอร์

2.3 วัดค่าความสูงจากระดับน้ำทะเล (altitude) โดยใช้ altimeter

2.4 วัดค่าการนำไฟฟ้า (conductivity) โดยใช้ Conductivity meter ชุด electrode kit

2.5 วัด pH ของน้ำ โดยใช้ pH meter ชุด electrode kit

2.6 วัดค่าความขุ่น โดยใช้ turbidity meter

2.7 หาค่าความเป็นด่าง (alkalinity) โดยใช้วิธี Phenolphthalein methyl orange indicator (APHA, AWWA and WPCF, 1992)

2.8 หาปริมาณออกซิเจนที่ละลายในน้ำด้วยวิธีไตรเตրโดยใช้ Azide modification method (APHA, AWWA and WPCF, 1992)

2.9 หาปริมาณสารอาหารในตัวเรื่อง ในตัวเรื่อง แอมโนเนียม ในตัวเรื่อง Soluble reactive phosphorus (SRP) และไออกไซด์ ( $\text{H}_2\text{S}$ ) โดยใช้เครื่อง Spectrophotometer รุ่น DR 2000 ของบริษัท Hach ประเทศสหราชอาณาจักร

## 3. เก็บตัวอย่างสาหร่ายมาศึกษาในห้องปฏิบัติการ

3.1 สาหร่ายพอกที่เกาะอยู่บนหิน บุคลด้วยมือหรือปีกด้วยแปร์ ให้ตัวอย่างไหลลงในภาชนะ ที่มีฝาปิดและทนความร้อน

3.2 สาหร่ายที่อยู่บริเวณท้องน้ำหรือผิวน้ำ ค่อยๆ เอาช้อนตักที่ผิว ใส่ในภาชนะที่ทนความร้อน

3.3 สาหร่ายขนาดใหญ่ หรือสาหร่ายพอกเส้นสาย โดยเก็บสาหร่ายที่เกาะอยู่บน substrate

ต่างๆ ใส่ในถุงพลาสติก หรือภาชนะที่ทนความร้อน  
ทำการเก็บรักษาหาร่ายด้วย formalin 5 % หรือ glutaraldehyde 2% (วิรัชนีย์, 2534  
และ Dell'Uomo, 1986)

#### 4. วินิจฉัยชนิด และปริมาณสาหร่ายที่สำรวจพบ

4.1 วินิจฉัยชนิดของสาหร่ายสีเขียวแกมน้ำเงินที่สำรวจพบจากหนังสือและเอกสารที่เกี่ยวข้อง  
ตัวอย่างเช่น

- Huber-Pestalozzi (1938)
- Desikachary (1959)
- Anagnostidis, Economou-Amilli and Makris (1988)
- Anagnostidis and Komarek (1985; 1988; 1990)
- Hoffmann (1988)
- Kováčik (1988)
- Komarek and Anagnostidis (1989)
- Komarek and Anagnostidis (1999)

4.2 วินิจฉัยชนิดของไดอะตومที่สำรวจพบจากหนังสือและเอกสารที่เกี่ยวข้อง

ตัวอย่างเช่น

- Huber-Pestalozzi (1942)
- Compère and Delmote (1986)
- Krammer and Lange-Bertalot (1986; 1988; 1991a; 1991b)
- Anna and Azevedo (1995)

4.3 วินิจฉัยชนิดของสาหร่ายกลุ่มอื่นๆ ที่สำรวจพบจากหนังสือและเอกสารที่เกี่ยวข้อง

ตัวอย่างเช่น

- Prescott (1970)
- Huber-Pestalozzi (1955)
- Huber-Pestalozzi (1983)
- Croasdale and Flint (1986; 1988)

4.4 วัสดุปูและถ่ายรูปสาหร่าย จากกล้องจุลทรรศน์ชนิด compound microscope ส่วน  
ไดอะตอมบางชนิดถ่ายด้วย scanning electron microscope เพื่อทำการวินิจฉัยถึงระดับ  
species ต่อไป

4.5 คำนวณค่า relative abundance เพื่อหาปริมาณสาหร่ายโดยแสดงชนิดที่พบบ่อย  
(frequency species) = +++ ชนิดที่พบปานกลาง (moderate species) = ++ ชนิดที่  
พบน้อย (rare species) = + และชนิดที่ไม่พบเลย (non detectable) = - (Compère  
and Dellmotte, 1986 ; Dell'Uomo, 1986)

## 5. การวิเคราะห์ข้อมูล

นำข้อมูลทางด้านชนิด ปริมาณสาหร่าย และคุณภาพน้ำทางด้านกายภาพและเคมี มาวิเคราะห์ความสัมพันธ์ด้วยสถิติด้านนิเวศวิทยา ด้วยวิธีการวิเคราะห์แบบ Non parametric statistic เพื่อหาองค์ประกอบทางด้านกายภาพ และเคมีของน้ำพื้นที่ที่มีต่อการเปลี่ยนแปลง species composition ของสาหร่าย โดยใช้วิเคราะห์แบบ Kruskal Wallis Test, Mann Whitney Test, Correlations Analysis และ Cluster Analysis

## 6. สถานที่ที่ใช้ในการดำเนินการวิจัยและรวบรวมข้อมูล

6.1 แหล่งน้ำพื้นที่กำหนดไว้ในเขตภาคเหนือตอนบนของประเทศไทย

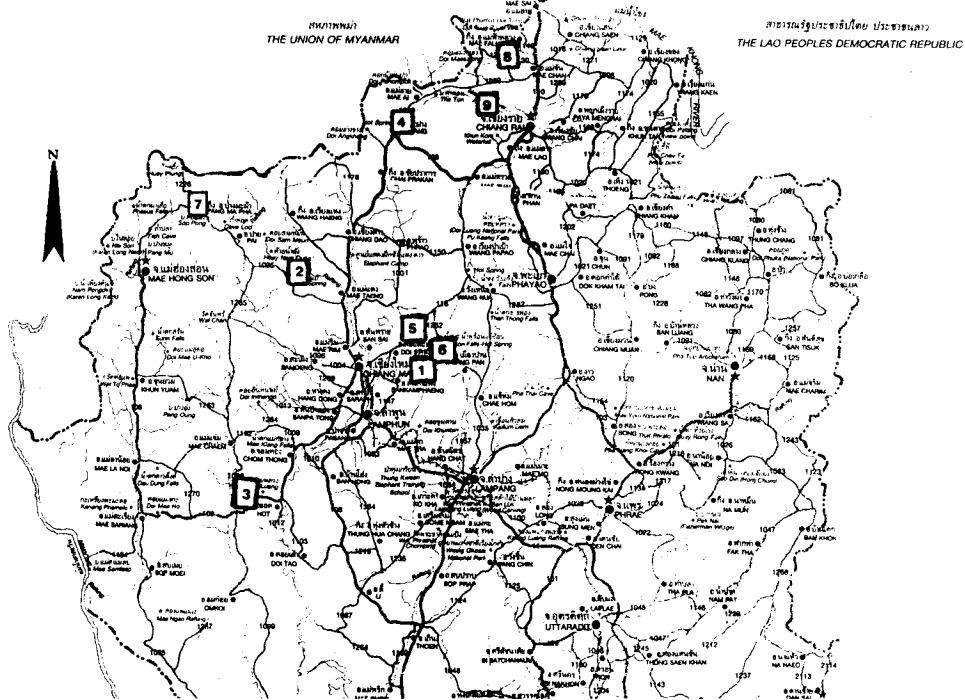
6.2 ห้องปฏิบัติการวิจัยสาหร่ายประยุกต์ ภาควิชาชีววิทยา คณะวิทยาศาสตร์ มหาวิทยาลัยเชียงใหม่

## 7. ระยะเวลาในการดำเนินงาน

18 เดือน ตั้งแต่เดือน กุมภาพันธ์ 2542 ถึง สิงหาคม 2543

### แหล่งน้ำพื้นที่ทำการศึกษา

น้ำพื้นที่ทำการศึกษาอยู่บริเวณภาคเหนือตอนบนของประเทศไทย (ภาพ 2)



ภาพ 2 แหล่งน้ำพื้นที่ทำการเก็บตัวอย่างทั้ง 9 แหล่ง

### 1. น้ำพุร้อนสันกำแพง

ตั้งอยู่ที่หมู่ที่ 7 ตำบลสหกรณ์ กิ่งอำเภอแม่อ่อน จังหวัดเชียงใหม่ ห่างจากตัวเมืองประมาณ 23 กิโลเมตร ตั้งอยู่บริเวณเส้นรุ้ง  $18^{\circ}48'52''$  เหนือ และเส้นแรง  $99^{\circ}13'48''$  ตะวันออก แหล่งที่ตั้งอยู่ในที่ราบของแม่น้ำแควเข้า ความสูงจากระดับน้ำทะเลประมาณ 400 เมตร แต่เดิมมีน้ำพุร้อนจำนวนมากกว่า 20 บ่อ เกิดตามแนวลักษณะเป็นระยะทาง 1 กิโลเมตร อุณหภูมน้ำที่ผิด din  $99^{\circ}\text{C}$  น้ำพุร้อนเป็นพอก hot pool type และ seep type เป็นแหล่งพลังงานความร้อนได้พิเศษที่สำคัญเพื่อใช้ผลิตกระแสไฟฟ้า นอกจากนี้ยังเป็นแหล่งท่องเที่ยวที่สำคัญ ใช้ในงานเกษตรกรรม และงานอุตสาหกรรมขนาดเล็ก เช่นการอบใบยาสูบ เป็นต้น (โครงการสำรวจแหล่งพลังงานความร้อนได้พิเศษ กรมทรัพยากรธรรมี, 2529; สุจิตร และ พินิจ, 2522; เกียรติศักดิ์ และคณะ, 2534; Ramingwong *et al.*, 1979; Ramingwong *et al.*, 1980; Ramingwong *et al.*, 1985) (ภาพ 3) โดยทำการเก็บตัวอย่างในฤดูแล้งวันที่ 14 มกราคม 2543 และฤดูฝนวันที่ 21 พฤษภาคม 2543



ภาพ 3 น้ำพุร้อนสันกำแพง

### 2. น้ำพุร้อนโป่งเดือด

ตั้งอยู่ที่หมู่ที่ 5 บ้านแม่แตะ ตำบลป่าเปี๊ยะ อำเภอแม่แตง จังหวัดเชียงใหม่ ในพื้นที่ของอุทยานแห่งชาติห้วยน้ำดัง เส้นรุ้ง  $19^{\circ}18'$  เหนือ และเส้นแรง  $98^{\circ}42'$  ตะวันออก ความสูงจากระดับน้ำทะเลประมาณ 500 เมตร เป็นบ่อน้ำพุร้อนธรรมชาติขนาดใหญ่ที่เดือดพล่าน และพวยพุ่ง

ขึ้นมาด้วยแรงดันได้พิกัดตลอดเวลา (geyser type) และ hot pool type อุณหภูมน้ำผิวดินประมาณ 90-99 °C เกิดในบริเวณที่ร้านเล็กๆ ระหว่างภูเขา น้ำพุร้อนบ่อใหญ่พุ่งขึ้นสูงประมาณ 2 เมตร ทุกๆ 30 วินาที ประกอบด้วยบ่อใหญ่ 3 บ่อ และบ่อเล็กๆ กระจายอยู่ทั่วบริเวณ เป็นแหล่งพลังงานความร้อนได้พิกพที่สำคัญ (โครงการสำรวจแหล่งพลังงานความร้อนได้พิกพ กรมทรัพยากรธรรมี, 2529; สุจิตร และ พินิจ, 2522; Ramingwong *et al.*, 1985) (ภาพ 4) ทำการเก็บตัวอย่างในฤดูแล้ววันที่ 10 มีนาคม 2542 และฤดูฝนวันที่ 3 มิถุนายน 2543



ภาพ 4 น้ำพุร้อนโป่งเดือด

### 3. น้ำพุร้อนเทพนน

ตั้งอยู่ในเขตอุทยานแห่งชาติออบหลวง ในตำบลล้อมกุด อำเภอแม่แจ่ม จังหวัดเชียงใหม่ ช่องยู่บริเวณเส้นรุ้งที่  $19^{\circ} 18'$  เหนือ และเส้นแรง 98° 36' ตะวันออก ความสูงจากระดับน้ำทะเล 470 เมตร มีจำนวนบ่อน้ำมากกว่า 15 บ่อ เป็นชนิด hot pool type อุณหภูมน้ำที่ผิวดินประมาณ 98°C เป็นแหล่งพลังงานความร้อนได้พิกพที่สำคัญ และยังเป็นแหล่งท่องเที่ยว พักผ่อนหย่อนใจที่สำคัญแห่งหนึ่ง (โครงการสำรวจแหล่งพลังงานความร้อนได้พิกพ กรมทรัพยากรธรรมี, 2529; เกียรติศักดิ์ และคณะ, 2534; Ramingwong *et al.*, 1985) (ภาพ 5) ทำการเก็บตัวอย่างในฤดูแล้ววันที่ 2 เมษายน 2542 และฤดูฝนวันที่ 4 มิถุนายน 2543



ภาพ 5 น้ำพุร้อนเทพนม

#### 4. ไป่น้ำร้อนดอยสะเก็ด

ตั้งอยู่ที่บ้านไป่นกุ่ม ตำบลป่าเมียง อำเภอคอ邑สะเก็ด เชียงใหม่ อยู่ห่างจากจังหวัดเชียงใหม่ตามเส้นทางเชียงใหม่-ดอยสะเก็ด-เชียงราย ประมาณ 28 กิโลเมตร บริเวณเส้นรุ้ง  $18^{\circ} 50'$  เหนือ และเส้นแรง  $99^{\circ} 17'$  ตะวันออก ความสูงจากระดับน้ำทะเล 420 เมตร แหล่งน้ำพุร้อนมีอุณหภูมิน้ำที่ผิดนิประมาณ  $85^{\circ}\text{C}$  แหล่งน้ำพุร้อนเกิดในนาข้าวบนที่ราบระหว่างหุบเขา มีลักษณะเป็น hot pool type ต่อมามีการสร้างขอบบ่อสีน้ำสูนย์กลาง ประมาณ 2-3 เมตร มีห้องอาบน้ำแร่สำหรับชาวบ้าน และนักท่องเที่ยว นอกจากนั้นในช่วงฤดูฝนชาวบ้านมักนำห่านอ่อนมาปีต้มในบ่อ่นร้อน (โครงการสำรวจแหล่งพลังงานความร้อนใต้พิภพ กรมทรัพยากรธรรมชาติ, 2529; สุจิตรและพินิจ, 2522; เกียรติศักดิ์ และคณะ, 2534) (ภาพ 6) ทำการเก็บตัวอย่างในฤดูแล้งวันที่ 19 กุมภาพันธ์ 2542 และฤดูฝนวันที่ 19 มิถุนายน 2542

#### 5. น้ำพุร้อนแม่ฟ้าง

ตั้งอยู่ที่ตำบลม่อนปืน อำเภอฟ้าง จังหวัดเชียงใหม่ อยู่ห่างจากตัวจังหวัดประมาณ 150 กิโลเมตร และห่างจากตัวอำเภอฟ้างไปทางทิศตะวันตกประมาณ 10 กิโลเมตร บริเวณเส้นรุ้ง  $19^{\circ} 57'$  เหนือ และเส้นแรง  $99^{\circ} 11'$  ตะวันออก ความสูงจากระดับน้ำทะเลประมาณ 500 เมตร เป็น

แหล่งน้ำพุร้อนที่มีอุณหภูมน้ำที่ผิวดินประมาณ  $99^{\circ}\text{C}$  มีจำนวนน้ำพุร้อนมาก มีลักษณะเป็น hot pool type และ seep type อยู่บริเวณที่ร่วนคลุ่น้ำแม่ใจ เป็นแหล่งพลังงานความร้อนได้พิภพที่สำคัญ มีโรงงานผลิตกระแสไฟฟ้าโดยใช้น้ำพุร้อน นอกจากนี้ใช้ในการอบแห้ง และห้องเย็นสำหรับรักษาพืชผลทางการเกษตร ใช้ในการเพื่อกายภาพบำบัด และการท่องเที่ยว (โครงการสำรวจแหล่งพลังงานความร้อนได้พิภพ กรมทรัพยากรธรรมชาติ, 2529; เกียรติศักดิ์ และคณะ, 2534; Ramingwong *et al.*, 1979; Ramingwong *et al.*, 1980; Ramingwong *et al.*, 1985) ทำการเก็บตัวอย่างในฤดูฝนวันที่ 27 พฤษภาคม 2542



ภาพ 6 โป่งน้ำร้อนค่ายสะเก็ด

#### 6. น้ำพุร้อนแจ็ซชอน

ตั้งอยู่ในอุทยานแห่งชาติแจ็ซชอน อำเภอเมืองปาน จังหวัดลำปาง บริเวณเส้นรุ้ง  $18^{\circ} 47'$  เมื่อ และเส้นแบ่ง  $99^{\circ} 30'$  ตะวันออก ความสูงจากระดับน้ำทะเลประมาณ 450 เมตร เป็นแหล่งน้ำพุร้อนที่มีอุณหภูมน้ำที่ผิวดินสูงสุดประมาณ  $80^{\circ}\text{C}$  ประกอบไปด้วยน้ำพุร้อนหลายบ่อ มีลักษณะเป็น hot pool type และ seep type พบริเวณที่ร่วนระหว่างเขา ใกล้กับน้ำแม่นอง น้ำพุร้อนส่วนใหญ่จะไหลรวมกันลงน้ำแม่นอง เป็นแหล่งท่องเที่ยวที่สำคัญ โดยมีแหล่งอาบน้ำแร่สำหรับนักท่อง

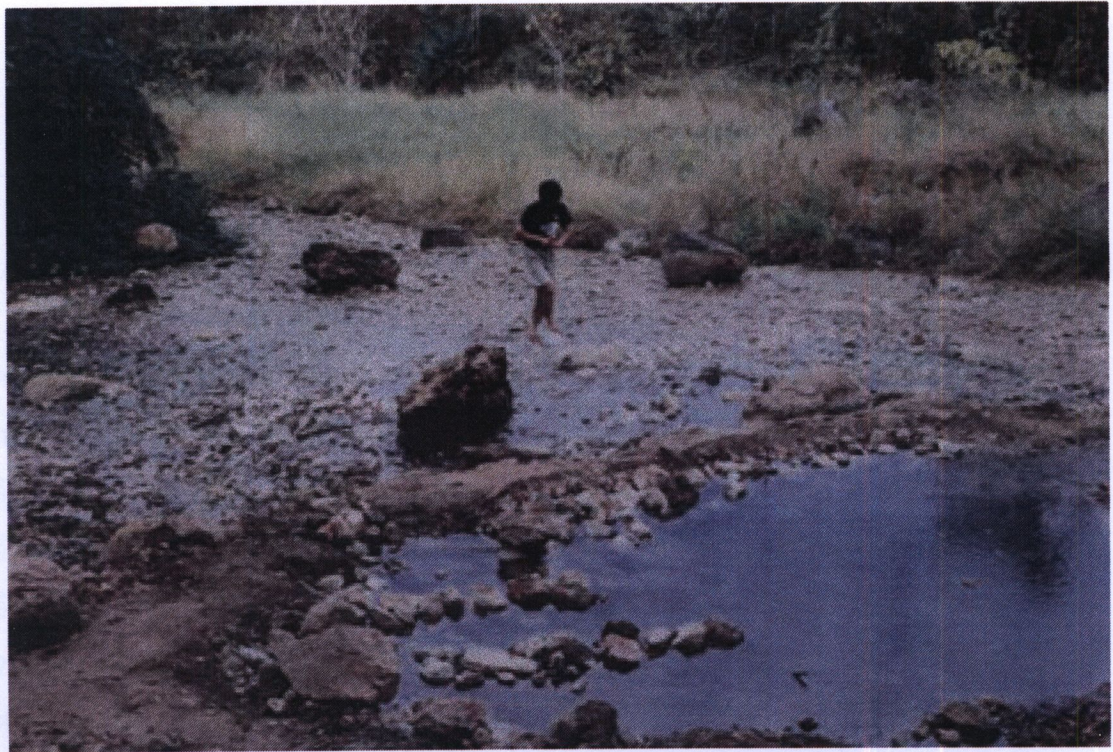
เที่ยว (โครงการสำรวจแหล่งพลังงานความร้อนใต้พิภพ กรมทรัพยากรธรรมี, 2529; Ramingwong *et al.*, 1979) (ภาพ 7) ทำการเก็บตัวอย่างในถ้ำแล้งวันที่ 29 มกราคม 2543 และถูกผนวันที่ 18 มิถุนายน 2542



ภาพ 7 น้ำพุร้อนแจ็ซชอน

#### 7. น้ำพุร้อนท่าปาย

ตั้งอยู่ที่อำเภอปาย จังหวัดแม่ฮ่องสอน บริเวณเส้นรุ้ง  $19^{\circ} 18' 24''$  เหนือ และเส้นแรง  $98^{\circ} 28' 34''$  ตะวันออก ความสูงจากระดับน้ำทะเลประมาณ 480 เมตร เป็นแหล่งน้ำพุร้อนที่มีอุณหภูมิน้ำที่ผิดคนสูงสุดประมาณ  $76^{\circ}\text{C}$  เป็นแบบ hot pool type และ seep type ครอบคลุมพื้นที่ประมาณ  $150 \times 50$  ตารางเมตร น้ำร้อนจะไหลลงสู่ห้วยโป่งใหม่จนเป็นธารน้ำร้อน (โครงการสำรวจแหล่งพลังงานความร้อนใต้พิภพ กรมทรัพยากรธรรมี, 2529; Ramingwong *et al.*, 1979) (ภาพ 8) ทำการเก็บตัวอย่างในถ้ำแล้งวันที่ 7 มกราคม 2543 และถูกผนวันที่ 13 สิงหาคม 2542



ภาพ 8 น้ำพุร้อนท่าปาย

#### 8. โป่งน้ำร้อนแม่จัน

ตั้งอยู่ที่อำเภอแม่จัน จังหวัดเชียงราย บริเวณเส้นรุ้ง  $20^{\circ} 10'$  เหนือ และเส้นแบ่ง  $99^{\circ} 53'$  ตะวันออก ความสูงจากระดับน้ำทะเลประมาณ 420 เมตร อยู่ห่างจากตัวเมืองเชียงรายประมาณ 30 กิโลเมตร เป็นแหล่งน้ำพุร้อนที่มีอุณหภูมน้ำที่ผิดนิสัยสูงสุดประมาณ  $93^{\circ}\text{C}$  เป็นแบบ hot pool และ seep type เป็นแหล่งพลังงานความร้อนให้พิกพที่สำคัญ ใช้ผลิตกระแสไฟฟ้าจากน้ำพุร้อนได้ (โครงการสำรวจแหล่งพลังงานความร้อนให้พิกพ กรมทรัพยากรธรรมชาติ, 2529; Ramingwong *et al.*, 1979; Ramingwong *et al.*, 1980; Ramingwong *et al.*, 1985) ทำการเก็บตัวอย่างในฤดูแล้งวันที่ 21 ธันวาคม 2542 และฤดูฝนวันที่ 31 พฤษภาคม 2543

#### 9. น้ำพุร้อนห้วยมากเลี้ยม

ตั้งอยู่ในอำเภอเมือง จังหวัดเชียงราย บริเวณเส้นรุ้ง  $19^{\circ} 56'$  เหนือ และเส้นแบ่ง  $99^{\circ} 50'$  ตะวันออก ความสูงจากระดับน้ำทะเลประมาณ 420 เมตร เป็นแหล่งน้ำพุร้อนที่มีอุณหภูมน้ำที่ผิดนิสัยสูงสุดประมาณ  $67^{\circ}\text{C}$  เป็นแหล่งน้ำพุร้อนขนาดเล็กที่เกิดไกลๆ กับแม่น้ำกอก มีลักษณะเป็นแบบ hot pool type น้ำพุร้อนจะไหลลงไปรวมกับแม่น้ำกอก (โครงการสำรวจแหล่งพลังงานความร้อนให้พิกพ กรมทรัพยากรธรรมชาติ, 2529; Ramingwong *et al.*, 1979) ทำการเก็บตัวอย่างในฤดูฝนวันที่ 31 พฤษภาคม 2543

## บทที่ 4

### ผลการวิจัย

จากการสำรวจสาหร่ายและคุณภาพน้ำบางประการของแหล่งน้ำพุร้อนในเขตภาคเหนือตอนบนได้แก่ น้ำพุร้อนสันกำแพง กิ่งอำเภอแม่อ่อน น้ำพุร้อนโป่งเดือด อำเภอแม่แตง น้ำพุร้อนเทพนม อำเภอแม่แจ่ม น้ำพุร้อนแม่ฟ้าง อำเภอฝาง และโป่งน้ำร้อนดอยสะเก็ต อำเภอดอยสะเก็ต จังหวัดเชียงใหม่ น้ำพุร้อนแข็งช้อน อำเภอเมืองปาน จังหวัดลำปาง น้ำพุร้อนท่าปาย อำเภอปาย จังหวัดแม่ฮ่องสอน โป่งน้ำร้อนแม่จัน อำเภอแม่จัน และน้ำพุร้อนห้วยหมากเลี้ยม อำเภอเมือง จังหวัดเชียงราย ในช่วงระหว่างเดือนกุมภาพันธ์ 2542 ถึง สิงหาคม 2543 ศึกษาน้ำพุร้อนแต่ละแห่ง 2 ครั้ง ในฤดูแล้งและฤดูฝนยกเว้นน้ำพุร้อนแม่ฟ้างและน้ำพุร้อนห้วยหมากเลี้ยมที่เก็บเฉพาะในฤดูฝนเท่านั้น ปรากฏผลดังนี้

#### 1. สภาพ แวดล้อมของแต่ละแหล่งน้ำพุร้อนที่ทำการศึกษา

1.1 น้ำพุร้อนสันกำแพง กิ่งอำเภอแม่อ่อน จังหวัดเชียงใหม่ (ภาพ 3) เป็นแหล่งน้ำพุร้อนขนาดใหญ่ซึ่งก่อนที่จะมีการพัฒนาเป็นแหล่งท่องเที่ยว มีบ่อน้ำพุร้อนจำนวนมาก แต่ปัจจุบันมีการปรับปรุงสร้างเป็นบ่อซีเมนต์และอุโมงค์ลอกภารน้ำอยู่เสมอเพื่อให้เป็นแหล่งท่องเที่ยวที่สวยงาม ทำให้ความหลากหลายของสาหร่ายลดลงเนื่องจากพื้นที่ถูกครอบครองจากมนุษย์เพิ่มขึ้น (ประวิทย์, 2533) สภาพทั่วไปของน้ำพุร้อนโดยทั่วไปพบว่าในบ่อน้ำมีสีใส ส่วนธารน้ำร้อนมีสาหร่ายปกคลุมอยู่ทั่วไป ยกเว้นบ่อที่มีน้ำพุ่งขึ้นมาเป็นระยะๆ ซึ่งมีอุณหภูมิสูงเกินกว่าที่สาหร่ายจะทนได้ ส่วนบริเวณบ่อน้ำร้อนซึ่งมีอุณหภูมิประมาณ  $95^{\circ}\text{C}$  มีกลิ่นกำมะถันมาก ส่วนธารน้ำร้อน อุณหภูมิต่ำลง พบว่ามีกลิ่นกำมะถันน้อยลง

1.2 น้ำพุร้อนโป่งเดือด อำเภอแม่แตง จังหวัดเชียงใหม่ (ภาพ 4) เป็นแหล่งน้ำพุร้อนขนาดใหญ่ที่ขึ้นชื่อมีลักษณะเป็นธรรมชาติอยู่มากไม่มีการรบกวนของมนุษย์มากนักถึงแม้จะพัฒนาเป็นแหล่งท่องเที่ยวได้ตาม จะมีลักษณะเป็นบ่อน้ำพุ่งขึ้นมาตลอดเวลา น้ำมีอุณหภูมิสูง มีการปักคลุมของต้นไม้โดยรอบมีก้อนหินขนาดต่าง ๆ เรียงรายอยู่ในแหล่งน้ำ จำนวนบ่อน้ำพุร้อนมีปริมาณมาก มีกลิ่นกำมะถันมาก พื้นที่ด้านล่างน้ำมีลักษณะเป็นพื้นกรวดทราย ซึ่งไม่มีสาหร่ายจริง บริเวณที่สายน้ำไหลลงมาตามลำธารจากต้นน้ำของแหล่งน้ำ จะพบสาหร่ายสีเขียวแกมน้ำเงินปรากฏอยู่เป็นจำนวนมาก น้ำตกลงสู่เบื้องล่าง กระแสน้ำไหลแรงในช่วงหน้าฝน

1.3 น้ำพุร้อนเทพนม อยู่ในอุทยานแห่งชาติออบหลวง อำเภอแม่แจ่ม จังหวัดเชียงใหม่ (ภาพ 5) เป็นแหล่งน้ำพุร้อนธรรมชาติที่ปัจจุบันได้รับการพัฒนาให้เป็นแหล่งท่องเที่ยวแต่ไม่ค่อยมีการรบกวนจากภายนอกมาก มีบ่อน้ำพุร้อนหลายแหล่งอยู่ในบริเวณห่าง ๆ กันส่วนใหญ่เป็นบ่อ

ขนาดเล็ก โดยทั่วไปจะอยู่กลางแจ้ง ไม่มีร่ม ไม่ปักคุณ และมีกิจกรรมกำมะถัน หารน้ำพุร้อนหลายสาย พื้นน้ำจะเป็นกรวด ดิน และหินขนาดเล็ก พื้นท้องน้ำตื้น น้ำมีสีใส มีสาหร่ายปักคุณอยู่ทั่วไป

1.4 น้ำพุร้อนแม่ฟาง อำเภอฟ่าง จังหวัดเชียงใหม่ เป็นแหล่งพัฒนาความร้อนให้พิพพ ที่สำคัญชื่นในปัจจุบันเป็นแหล่งท่องเที่ยวที่สำคัญ น้ำพุติดน้ำอุณหภูมิสูง มีกิจกรรมกำมะถันมาก มีบ่อ น้ำร้อนหลายบ่ออุณหภูมิแตกต่างกัน ในหน้าฝนจะมีหารน้ำเย็นจากบ้านเรือนไทยเข้ามา ทำให้ อุณหภูมิของหารน้ำลดลงเล็กน้อยและเนื่องจากพื้นที่ไม่มีการระบุจากมนุษย์มากนักทำให้สภาพ แวดล้อมไม่ค่อยเปลี่ยนแปลงไปจากเดิมมากนัก พื้นที่ส่วนใหญ่อยู่กลางแจ้ง ไม่มีร่ม ไม่ปักคุณ พื้น หารน้ำจะมีลักษณะเป็นดินร่วนปนทราย บริเวณพื้นท้องน้ำ และหารน้ำร้อนพบสาหร่ายป่ากุญช์ ทั่วไป

1.5 โปงน้ำร้อนดอยสะเก็ต อำเภอดอยสะเก็ต จังหวัดเชียงใหม่ (ภาค6) เป็นแหล่งน้ำพุ ร้อนขนาดเล็กมีบ่อน้ำพุร้อนเพียงเล็กน้อยอุณหภูมน้ำไม่สูงมากนักมีกิจกรรมกำมะถันเล็กน้อย น้ำมีสีใส พื้นหารน้ำเป็นกรวดหินและดิน ปัจจุบันได้เปิดเป็นแหล่งท่องเที่ยวพร้อมกันนี้มีประชาชนและ ชาวบ้านนำหาน่อ ไม้ม้าต้นในบ่อน้ำร้อนทำให้คุณสมบัติของน้ำเปลี่ยนแปลงไปจากเดิม บริเวณหาร น้ำร้อนจะมีสาหร่ายป่ากุญช์ทั่วไป สภาพแวดล้อมดังอยู่กลางแจ้ง ไม่มีร่ม ไม่ปักคุณ

1.6 น้ำพุร้อนแจ้ซ้อน อำเภอเมืองปาน จังหวัดลำปาง (ภาค7) ตั้งอยู่ในอุทยานแห่งชาติ แจ้ซ้อนเป็นแหล่งท่องเที่ยวที่สำคัญมากท่องเที่ยวจำนวนมาก น้ำพุร้อนตั้งอยู่กลางแจ้งรอบ ๆ มีต้น ไม่ปักคุณ สภาพแหล่งน้ำจะมีก้อนหินขนาดใหญ่มากน้ำ พื้นท้องน้ำมีก้อนหินขนาดต่างๆ กรวด ดิน ตะกอนพื้นท้องน้ำจะมีสีเทา น้ำมีสีใสและมีกิจกรรมกำมะถัน อุณหภูมิของน้ำไม่สูงมากนัก มีหาร น้ำพุร้อนหลายแห่งกระแสน้ำไหลคลื่นขึ้นข้างเรือและมีสาหร่ายปักคุณอยู่ทั่วไป

1.7 น้ำพุร้อนท่าปาย อำเภอปาย จังหวัดแม่ฮ่องสอน (ภาค 8) เป็นบ่อน้ำพุร้อนขนาดไม่ ใหญ่มากนัก มีบ่อน้ำพุร้อนขนาดใหญ่ 2 บ่อ เส้นผ่านศูนย์กลางประมาณ 3-4 เมตร น้ำพุ่งขึ้นมาบน แอ่งตลอดเวลา ซึ่งอยู่ในบริเวณใกล้เคียงกัน น้ำดังกล่าวไหลลงสู่ลำธารด้านล่าง กระแสน้ำไหลคลื่น ขึ้นข้างเรือ ปริมาณน้ำที่ไหลออกมาก บริเวณรอบๆ ถูกปักคุณไปด้วยต้นไม้และร่มไม้ พื้นท้องน้ำ มีลักษณะเป็นก้อนหินและกรวดทราย มีสาหร่ายปักคุณอยู่ทั่วไป

1.8 โปงน้ำร้อนแม่จัน อำเภอแม่จัน จังหวัดเชียงราย มีบ่อน้ำพุร้อนขนาดเล็กหลาย ๆ บ่อ ไหลลงสู่แอ่งน้ำเย็นเบื้องล่าง ลักษณะพื้นท้องน้ำมีตะกอนสีเทาดำ อุณหภูมิสูง น้ำมีลักษณะใส ไม่มีสี มีกิจกรรมกำมะถันมาก ไม่ค่อยถูกคนรับจากภายนอกมากนัก ต่อมากายหลังได้พัฒนาเป็น แหล่งท่องเที่ยว มีการสร้างบ่อซึ่งมีเครื่องดื่มและอาหารขาย แหล่งน้ำส่วนใหญ่ตั้งอยู่กลาง แจ้งได้รับแสงเต็มที่ไม่ค่อยมีร่ม ไม่ปักคุณ กระแสน้ำไหลปานกลางถึงค่อนข้างเร็ว โดยทั่วไปพบ สาหร่ายบริเวณพื้นท้องน้ำ และบริเวณหารน้ำร้อน

1.9 น้ำพุร้อนหัวยามากเฉี่ยม อำเภอเมือง จังหวัดเชียงราย มีบ่อ่น้ำพุร้อนขนาดใหญ่ เพียงบ่อเดียวตั้งอยู่กลางแจ้งในล่องสู่แม่น้ำกอก น้ำใสไม่มีสี พื้นท้องน้ำเป็นดินและกรวดขนาดเล็ก รอบ ๆ บ่อมีสาหร่ายคลอประกอบกับลูบผิวน้ำ

## 2. การกระจายของสาหร่ายในแหล่งน้ำพุร้อนที่ทำการศึกษา

จากการสำรวจสาหร่ายกลุ่มต่าง ๆ ในแหล่งน้ำพุร้อนบริเวณภาคเหนือตอนบนจำนวน 9 แหล่ง พบสาหร่ายทั้งหมด 48 genera 78 species (ตาราง 1) แบ่งออกเป็น 4 Divisions คือ Cyanophyta, Bacillariophyta, Chlorophyta และ Euglenophyta (ภาพ 9) สาหร่ายที่เป็นกลุ่มเด่นคือสาหร่ายใน Division Cyanophyta (สาหร่ายสีเขียวแกมน้ำเงิน) พบทั้งหมด 21 genera 39 species คิดเป็น 50 เปอร์เซ็นต์ รองลงมาคือ สาหร่ายในกลุ่ม Bacillariophyta (ไคลอตอม) พบทั้งหมด 19 genera 29 species คิดเป็น 37 เปอร์เซ็นต์ สาหร่ายในกลุ่ม Chlorophyta พบ 7 genera 9 species คิดเป็น 12 เปอร์เซ็นต์ และ สาหร่ายพวงษุกลินอยด์ ในกลุ่ม Euglenophyta พบเพียง 1 species คิดเป็น 1 เปอร์เซ็นต์ เมื่อศึกษาการกระจายของสาหร่ายตามช่วงอุณหภูมิตั้งแต่ 30-80°C โดยแบ่งเป็น 5 ระดับคือ 30-39, 40-49, 50-59, 60-69 และ 70-80°C พบสาหร่ายในแต่ละช่วง อุณหภูมิ ดังในตาราง 1 ภาพ 10

### 2.1 ความหลากหลายของสาหร่าย

ในช่วงอุณหภูมิ 30-39°C มีจำนวนชนิดสาหร่ายมากที่สุดคือ 47 genera 75 species คิดเป็น 46 เปอร์เซ็นต์ ซึ่งพบชนิดสาหร่ายสีเขียวแกมน้ำเงินมากที่สุดคือ 20 genera 36 species รองลงมาคือไคลอตอม 19 genera 29 species สาหร่ายสีเขียว 7 genera 9 species และสาหร่ายพวงษุกลินอยด์ 1 species ตามลำดับ รองลงมาคือช่วง 40-49 °C พบสาหร่าย 38 genera 65 species คิดเป็น 32 เปอร์เซ็นต์ โดยพบสาหร่ายสีเขียวแกมน้ำเงิน 20 genera 38 species รองลงมาคือ ไคลอตอม 16 genera 25 species และสาหร่ายสีเขียว 2 genera 2 species ตามลำดับ ช่วงอุณหภูมิ 50-59°C พบสาหร่าย 18 genera 28 species คิดเป็น 17 เปอร์เซ็นต์ โดยพบสาหร่ายสีเขียวแกมน้ำเงิน 13 genera 23 species และไคลอตอม 5 genera 5 species ช่วงอุณหภูมิ 60-69°C พบสาหร่าย 3 genera 5 species คิดเป็น 3 เปอร์เซ็นต์ โดยสาหร่ายที่พบเป็นสาหร่ายสีเขียวแกมน้ำเงินทุกชนิด และช่วงอุณหภูมิ 70-80°C พบสาหร่าย 1 genus 3 species คิดเป็น 2 เปอร์เซ็นต์ โดยสาหร่ายที่พบเป็นสาหร่ายสีเขียวแกมน้ำเงินทุกชนิด เช่นกัน (ภาพ 11) ซึ่งพบว่าอิ่งอุณหภูมิสูงขึ้นจำนวนชนิดสาหร่ายยิ่งลดลง

ตาราง 1 ชนิด และปริมาณสาหร่ายที่พบในน้ำพุร้อนทั้ง 9 แหล่ง ในเขตภาคเหนือตอนบนของประเทศไทย

( frequency species = +++, moderate species = ++, rare species = +, non detectable = - )

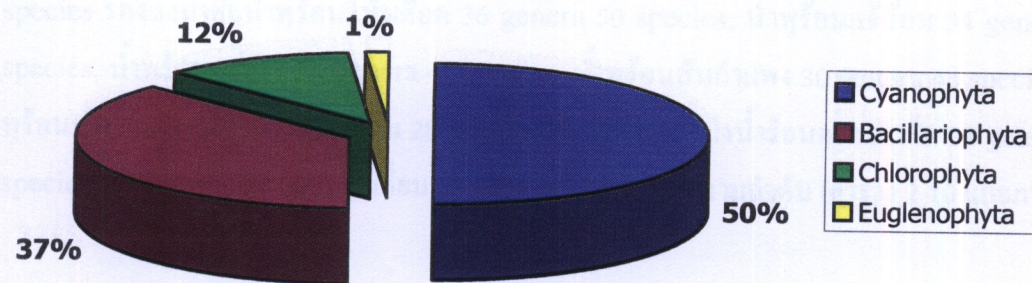
| ชนิดสาหร่าย   | ช่วงอุณหภูมิ ( °C) |       |       |       |       |
|---|--------------------|-------|-------|-------|-------|
|   | 30-39              | 40-49 | 50-59 | 60-69 | 70-80 |
| <b>Cyanophyta</b>   |                    |       |       |       |       |
| <i>Aphanothece bullosa</i> (Meneghini) Rabenhorst           | +                  | +     | +     | -     | -     |
| <i>Bacularia thermalis</i> Frémy                            | +                  | +     | -     | -     | -     |
| <i>Calothrix thermalis</i> (Schmidle) Hansg.                | +                  | ++    | -     | -     | -     |
| <i>Calothrix</i> sp.  | +                  | +     | -     | -     | -     |
| <i>Chroococcidiopsis thermalis</i> Geitler                  | +                  | ++    | ++    | -     | -     |
| <i>Chroococcus globosus</i> (Elenkin) Hindák                | ++                 | ++    | +     | -     | -     |
| <i>C. minor</i> ( Kützing) Nägeli                           | ++                 | ++    | -     | -     | -     |
| <i>C. minutus</i> ( Kützing) Nägeli                         | ++                 | ++    | -     | -     | -     |
| <i>C. thermalis</i> (Meneghini) Kováčik                     | ++                 | ++    | -     | -     | -     |
| <i>Cyanobacterium minervae</i> (Copeland) Komarek           | +                  | ++    | +     | +     | -     |
| <i>Cyanosarcina gelatinosa</i> (Emoto et Yoneda)<br>Kováčik | +                  | ++    | ++    | -     | -     |
| <i>C. spectabilis</i> (Geitler) Kováčik                     | +                  | +     | +     | -     | -     |
| <i>C. thermalis</i> (Hindák) Kováčik                        | +                  | ++    | ++    | -     | -     |
| <i>Gloeocapsa gelatinosa</i> Kützing                        | ++                 | +     | -     | -     | -     |
| <i>Homoeothrix</i> sp.                                      | +                  | +     | -     | -     | -     |
| <i>Lyngbya majuscula</i> Harvey ex Gomont                   | ++                 | ++    | +     | -     | -     |
| <i>L. parelegans</i> Lemmermann                             | +                  | ++    | ++    | -     | -     |
| <i>Lyngbya</i> sp.  | ++                 | ++    | ++    | -     | -     |
| <i>Mastigocladius laminosus</i> Cohn                        | +                  | ++    | ++    | +     | -     |
| <i>Merismopedia</i> sp.                                     | +                  | -     | -     | -     | -     |
| <i>Onkonema compactum</i> Geitler                           | +                  | +     | -     | -     | -     |
| <i>Oscillatoria chlorina</i> Kützing ex Gomont              | +                  | +     | +     | -     | -     |
| <i>O. limosa</i> Ag. Ex Gomont                              | +                  | +     | -     | -     | -     |
| <i>O. sancta</i> (Kützing) Gomont                           | +                  | +     | -     | -     | -     |
| <i>O. splendida</i> Grev. Ex Gomont                         | +                  | +     | +     | -     | -     |

ตาราง 1 (ต่อ)

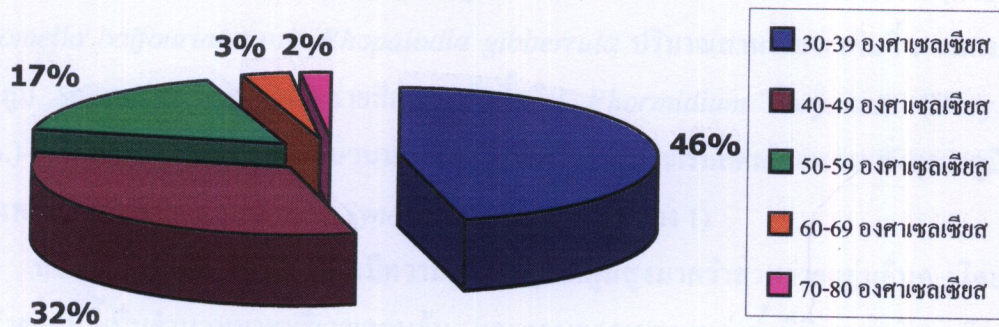
| ชนิดสาหร่าย  | ช่วงอุณหภูมิ ( °C) |       |       |       |       |
|--|--------------------|-------|-------|-------|-------|
|  | 30-39              | 40-49 | 50-59 | 60-69 | 70-80 |
| <i>O. terebriformis</i> Ag.                                | +                  | ++    | ++    | -     | -     |
| <i>O. willei</i> Gardner em. Drouet                        | +                  | ++    | +     | -     | -     |
| <i>Phormidium boryanum</i> (Bory ex Gom.) - Anagn. Et Kom. | +                  | +++   | +++   | -     | -     |
| <i>P. laminosum</i> Gomont                                 | +                  | ++    | -     | -     | -     |
| <i>Pseudanabaena catenata</i> Lauterb                      | +                  | ++    | ++    | -     | -     |
| <i>Ps. galeata</i> sensu Anagnostidis                      | +                  | ++    | ++    | -     | -     |
| <i>Rivularia dura</i> Roth                                 | +                  | +     | -     | -     | -     |
| <i>Scytonema coactile</i> Mont.                            | ++                 | ++    | -     | -     | -     |
| <i>S. mirabile</i> (Dillw.) Born.                          | ++                 | ++    | -     | -     | -     |
| <i>Symploca thermalis</i> (Kützing) Gomont                 | +                  | ++    | +     | -     | -     |
| <i>Synechococcus bigranulatus</i> Skuja                    | -                  | +     | ++    | ++    | +     |
| <i>Sy. lividus</i> Copeland                                | -                  | ++    | ++    | +++   | +     |
| <i>Synechococcus</i> sp.                                   | -                  | +     | ++    | +++   | +++   |
| <i>Synechocystis minuscula</i> Voronichin                  | +                  | ++    | ++    | -     | -     |
| <b>Bacillariophyta</b>                                     |                    |       |       |       |       |
| <i>Achnanthes exigua</i> Grunow                            | ++                 | +     | +     | -     | -     |
| <i>A. lanceolata</i> (Brébisson) Grunow                    | +                  | +     | -     | -     | -     |
| <i>Achnanthes</i> sp.                                      | +                  | +     | -     | -     | -     |
| <i>Amphora</i> sp.   | +                  | +     | -     | -     | -     |
| <i>Anomoeoneis sphaerophora</i> (Ehrenberg) Pfitzer        | +                  | ++    | ++    | -     | -     |
| <i>Caloneis</i> sp.  | +                  | +     | -     | -     | -     |
| <i>Cymbella tumida</i> (Brébisson) Van Heurck              | +                  | -     | -     | -     | -     |
| <i>Diatomella balfouriana</i> Grev.                        | ++                 | ++    | ++    | -     | -     |
| <i>Diploneis elliptica</i> (Kützing) Cleve                 | ++                 | ++    | -     | -     | -     |
| <i>Diploneis</i> sp.                                       | +                  | +     | -     | -     | -     |
| <i>Epithemia zebra</i> (Ehrenberg) Kützing                 | +                  | +     | -     | -     | -     |
| <i>Eunotia</i> sp.   | +                  | +     | -     | -     | -     |
| <i>Fragilaria</i> sp.                                      | +                  | -     | -     | -     | -     |

ตาราง 1 (ต่อ)

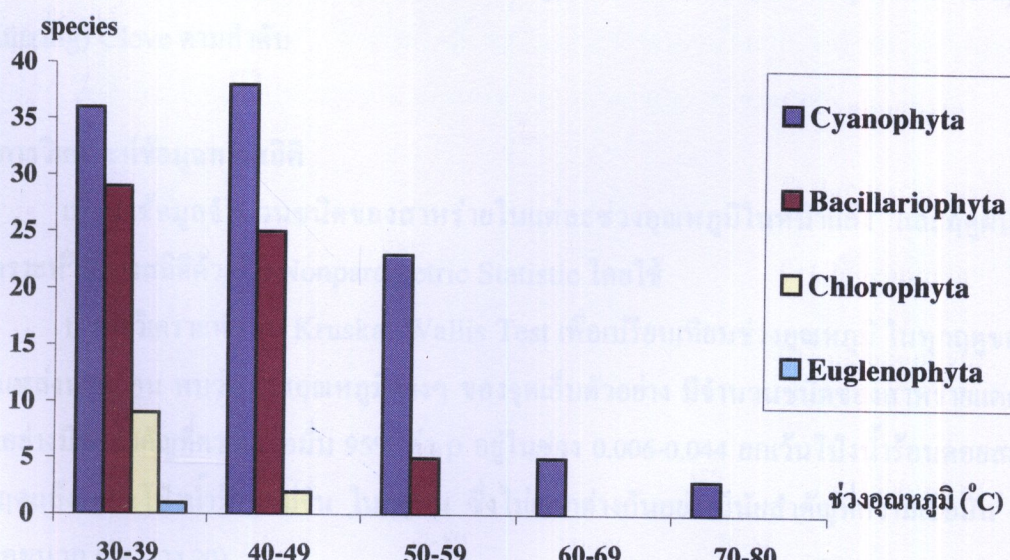
| ชนิดสาหร่าย                                       | ช่วงอุณหภูมิ ( °C ) |       |       |       |       |
|---|---------------------|-------|-------|-------|-------|
|   | 30-39               | 40-49 | 50-59 | 60-69 | 70-80 |
| <i>Gomphonema augur</i> Ehrenberg                 | +                   | +     | -     | -     | -     |
| <i>G. gracile</i> Ehrenberg                       | +                   | -     | -     | -     | -     |
| <i>Hantzschia</i> sp.                             | +                   | +     | -     | -     | -     |
| <i>Navicula</i> sp.                               | +                   | +     | -     | -     | -     |
| <i>Nitzschia ignorata</i> Krásske                 | +                   | +     | -     | -     | -     |
| <i>N. scalpelliformis</i> (Grunow) Grunow         | +                   | +     | -     | -     | -     |
| <i>N. thermalis</i> Kützing                       | +                   | +     | +     | -     | -     |
| <i>Pinnularia divergens</i> W. Smith              | +                   | +     | -     | -     | -     |
| <i>Pi. viridis</i> (Nitzsch) Ehrenberg            | ++                  | +     | -     | -     | -     |
| <i>Pinnularia</i> sp. 1                           | ++                  | +     | -     | -     | -     |
| <i>Pinnularia</i> sp. 2                           | +                   | +     | -     | -     | -     |
| <i>Rhopalodia gibberrula</i> (Ehrenberg) O.Müller | ++                  | ++    | ++    | -     | -     |
| <i>Rhopalodia</i> sp.                             | +                   | +     | -     | -     | -     |
| <i>Stauroneis</i> sp.                             | +                   | +     | -     | -     | -     |
| <i>Surirella biseriata</i> Brébisson              | ++                  | ++    | -     | -     | -     |
| <i>Synedra ulna</i> (Nitzsch) Ehrenberg           | +                   | -     | -     | -     | -     |
| <b>Chlorophyta</b>                                |                     |       |       |       |       |
| <i>Chlorella vulgaris</i> Beyerinck               | +                   | -     | -     | -     | -     |
| <i>Cladophora glomerata</i> Kützing               | ++                  | -     | -     | -     | -     |
| <i>Closterium ehrenbergii</i> Meneghini           | ++                  | -     | -     | -     | -     |
| <i>Cosmarium</i> sp. 1                            | +                   | -     | -     | -     | -     |
| <i>Cosmarium</i> sp. 2                            | +                   | -     | -     | -     | -     |
| <i>Cosmarium</i> sp. 3                            | +                   | -     | -     | -     | -     |
| <i>Oedogonium areolatum</i> Lagerheim             | ++                  | +     | -     | -     | -     |
| <i>Pleurotaenium</i> sp.                          | +                   | -     | -     | -     | -     |
| <i>Spirogyra</i> sp.                              | ++                  | +     | -     | -     | -     |
| <b>Euglenophyta</b>                               |                     |       |       |       |       |
| <i>Trachelomonas</i> sp.                          | +                   | -     | -     | -     | -     |



ภาพ 9 เปอร์เซ็นต์ชนิดสาหร่ายที่พบในแหล่งน้ำพื้นที่ในเขตภาคเหนือตอนบน ทั้ง 9 แหล่ง



ภาพ 10 เปอร์เซ็นต์ชนิดสาหร่ายที่พบตามช่วงระดับอุณหภูมิ ตั้งแต่ 30-80 °C



ภาพ 11 ชนิดสาหร่ายที่พบตามช่วงอุณหภูมิ 30-39 °, 40-49 °, 50-59 °, 60-69 ° และ 70-80 °C

น้ำพุร้อนเทพนมีความหลากหลายของสาหร่ายมากที่สุด โดยพบทั้งหมด 38 genera 56 species รองลงมาคือน้ำพุร้อนโป่งเดือด 36 genera 50 species, น้ำพุร้อนแจ็ชอน 34 genera 49 species, น้ำพุร้อนแม่ฟ้าง 30 genera 46 species, น้ำพุร้อนสันกำแพง 30 genera 44 species, น้ำพุร้อนท่าปาย และ โป่งน้ำร้อนแม่จัน 28 genera 37 species, โป่งน้ำร้อนคอขยะเกิด 28 genera 33 species, และน้ำพุร้อนห้วยหมากเลี้ยม 22 genera 32 species ตามลำดับ (ตาราง 2-10 และภาพ 12)

## 2.2 ประชาราษฎร์

อุณหภูมิ 30-39°C พบสาหร่ายในปริมาณไม่นักนัก ส่วนใหญ่จะเป็นสาหร่ายสีเขียวที่เป็นเส้นสาย เช่น *Spirogyra* sp. และ *Oedogonium areolatum* และมีสาหร่ายสีเขียวแกมน้ำเงินบางชนิด เช่น *Chroococcus* sp. และ *Lyngbya* spp. รวมทั้งสาหร่ายพวก ไดอะตอมชนิดต่างๆด้วย เช่น *Diatomella balfouriana* และ *Rhopalodia gibberrula* ปริมาณสาหร่ายจะเพิ่มขึ้น จนกระทั่ง อุณหภูมิ 50-59 °C โดยพบสาหร่ายสีเขียวแกมน้ำเงิน *Phormidium boryanum* (Bory ex Gom.)-Anagn.Et Kom. เป็นจำนวนมากที่สุด และปริมาณก็จะเริ่มลดลง จนกระทั่งอุณหภูมิ 80 °C ซึ่งพบสาหร่ายเพียงกลุ่มเดียวคือ *Synechococcus* spp. (ตาราง 1)

สาหร่ายสีเขียวแกมน้ำเงินจะมีความทนต่ออุณหภูมิสูงมากกว่าสาหร่ายกลุ่มอื่นๆ โดยพบสาหร่ายกลุ่มนี้เป็นจำนวนมากบริเวณตอนต้น และตอนกลางของแหล่งน้ำที่มีอุณหภูมิสูง ในช่วงปลายธารน้ำร้อนจะพบสาหร่ายกลุ่มอื่นๆมากขึ้น โดยเฉพาะ ไดอะตอม ซึ่งสามารถพบได้ใน อุณหภูมิ 20- 49°C ไดอะตอมที่เป็น dominant species คือ *Diatomella balfouriana* Grev. รองลงมาคือ *Rhopalodia gibberrula* (Ehrenberg) O. Müller และ *Diploneis elliptica* (Kützing) Cleve ตามลำดับ

## 3. การวิเคราะห์ข้อมูลทางสถิติ

เมื่อนำข้อมูลจำนวนชนิดของสาหร่ายในแต่ละช่วงอุณหภูมิในหน้าแล้ง และฤดูฝน มาวิเคราะห์ทางสถิติคัวชิวิชี Nonparametric Statistic โดยใช้

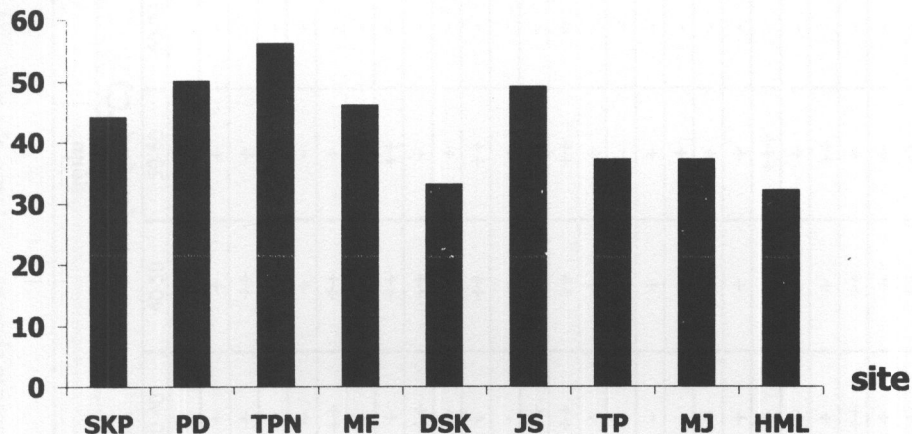
- การวิเคราะห์แบบ Kruskal Wallis Test เพื่อเปรียบเทียบช่วงอุณหภูมิ ในทุกฤดูของแต่ละแหล่งน้ำพุร้อน พบว่า ช่วงอุณหภูมิต่างๆ ของจุดเก็บตัวอย่าง มีจำนวนชนิดของสาหร่ายแตกต่าง กันอย่างมีนัยสำคัญที่ความเชื่อมั่น 95% ค่า  $\rho$  อยู่ในช่วง 0.006-0.044 ยกเว้น โป่งน้ำร้อนคอขยะเกิด ในฤดูแล้ง และ โป่งน้ำร้อนแม่จัน ในฤดูฝน ซึ่งไม่แตกต่างกันอย่างมีนัยสำคัญที่ความเชื่อมั่น 95% (ภาคผนวก ก ตาราง 20)

2. เมื่อวิเคราะห์โดยใช้ Mann Whitney Test เปรียบเทียบความแตกต่างของจำนวนชนิดในแต่ละฤดู พบว่าทุกช่วงอุณหภูมิในแต่ละแหล่ง จำนวนชนิดของสาหร่ายไม่มีความแตกต่างกันที่ระดับความเชื่อมั่น 95% ยกเว้นที่น้ำพุร้อนเทพนมในช่วงอุณหภูมิ 40-49°C พบว่าจำนวนชนิดสาหร่ายมีความแตกต่างกันที่ระดับความเชื่อมั่น 95 % ค่า  $\rho$  เท่ากับ 0.034 (ภาคผนวก ก ตาราง 21 และภาพ 13)

เมื่อวิเคราะห์ข้อมูลด้วยวิธี Correlation Analysis โดยวิธีของ Pearson ระหว่างช่วงอุณหภูมิ และฤดู กับจำนวนชนิดสาหร่ายพบว่ามีความสัมพันธ์กับอุณหภูมิที่ความเชื่อมั่น 99 % ค่า  $\rho$  อยู่ในช่วง 0.00-0.06 และที่ความเชื่อมั่น 95% ค่า  $\rho$  เท่ากับ 0.037 ที่จุดเก็บตัวอย่างไป่น้ำร้อนดอยสะเก็คในฤดูแล้ง  $\rho$  โดยอุณหภูมิจะส่งผลต่อจำนวนสาหร่ายในทุกฤดู อุณหภูมิที่สูงขึ้นจะทำให้จำนวนชนิดลดลง (ภาคผนวก ก ตาราง 22) และเมื่อเปรียบเทียบปัจจัยทางกายภาพ และเคมีอื่นๆ คือ pH, Conductivity, Alkalinity, DO, ชัลไฟค์, SRP,  $\text{NO}_3^-$ ,  $\text{NH}_3$  และ Turbidity ที่ระดับความเชื่อมั่น 99 % พบว่าจำนวนสาหร่ายมีความสัมพันธ์กับ DO, ชัลไฟค์, SRP,  $\text{NO}_3^-$  และ  $\text{NH}_3$  โดยสาหร่ายมีความสัมพันธ์เชิงบวกกับ DO และมีความสัมพันธ์เชิงลบกับชัลไฟค์, SRP,  $\text{NO}_3^-$  และ  $\text{NH}_3$  ซึ่งมีค่า  $\rho$  เท่ากับ 0.00 (ภาคผนวก ก ตาราง 23)

นอกจากอุณหภูมิที่มีความสัมพันธ์กับจำนวนชนิดของสาหร่ายแล้วพบว่า ค่า DO, ชัลไฟค์, SRP,  $\text{NO}_3^-$ ,  $\text{NH}_3$  และ turbidity มีความสัมพันธ์กับจำนวนชนิดของสาหร่าย โดยท่า DO, ชัลไฟค์, SRP,  $\text{NO}_3^-$ ,  $\text{NH}_3$  จะมีความสัมพันธ์เชิงลบกับปริมาณสาหร่าย ที่ระดับความเชื่อมั่น 99% และ ค่า turbidity มีความสัมพันธ์เชิงบวกกับจำนวนชนิดของสาหร่าย ที่ระดับความเชื่อมั่น 95%

และเมื่อวิเคราะห์ด้วยวิธี Cluster Analysis พบว่าจำนวนชนิดสาหร่ายที่พบในช่วงอุณหภูมิ 60-69°C และ 70-80°C มีความใกล้เคียงกัน และจำนวนชนิดสาหร่ายที่พบในช่วงอุณหภูมิ 30-39°C มีความใกล้เคียงกับที่ 40-49°C และ 50-59°C (ภาคผนวก ก ภาพ 39)

**species**

ภาพ 12 จำนวนชนิดสาหร่ายทั้งหมดที่พบในแต่ละแหล่งน้ำพุรื้อ ทั้ง 9 แหล่ง

SKP = น้ำพุรื้อสันกำแพง

PD = น้ำพุรื้อโนปิงเดื่อค

TPN = น้ำพุรื้อเทพนม

MF = น้ำพุรื้อแม่ฟ้าง

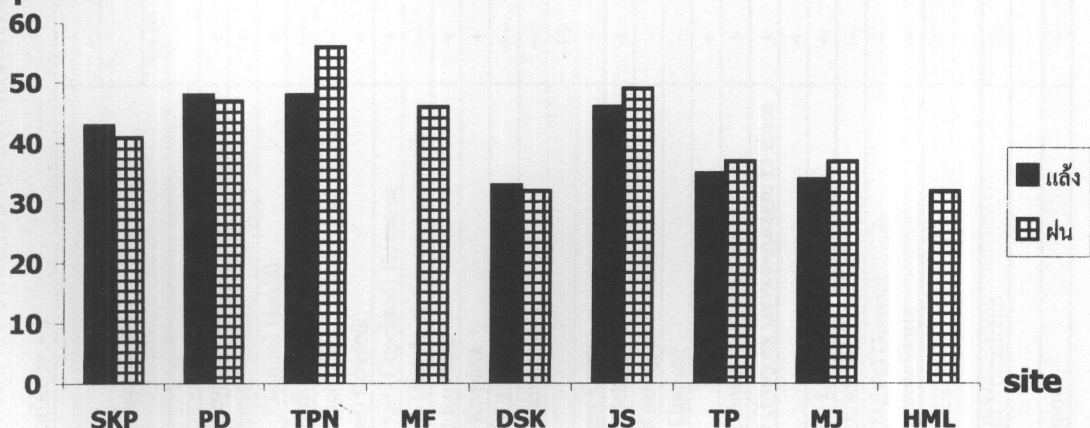
DSK = โนปิงน้ำร้อนดอยสะเก็ด

JS = น้ำพุรื้อแจ้ช้อน

TP = น้ำพุรื้อท่าปาย

MJ = โนปิงน้ำร้อนแม่จัน

HML = น้ำพุรื้อห้วยหมากเลี้ยม

**species**

ภาพ 13 จำนวนชนิดสาหร่ายที่พบในน้ำพุรื้อแต่ละแหล่งในฤดูแล้งและฤดูฝน

ตาราง 2 ชนิดและปริมาณส่วนหราที่พบในน้ำพุร่องตันกานแหงในดูดึงและดูดหูน (frequency species = +++, moderate species = ++, rare species = +,

ตาราง 2 (ต่อ)

| ชนิดสาหร่าย   | ที่สูงสุด           |       |       |                     |       |       | ที่ต่ำสุด           |       |       |                     |       |       |
|---|---------------------|-------|-------|---------------------|-------|-------|---------------------|-------|-------|---------------------|-------|-------|
|   | ช่วงอุณหภูมิ ( °C ) |       |       | ช่วงอุณหภูมิ ( °C ) |       |       | ช่วงอุณหภูมิ ( °C ) |       |       | ช่วงอุณหภูมิ ( °C ) |       |       |
|   | 30-40               | 40-50 | 50-60 | 60-70               | 70-80 | 80-90 | 30-40               | 40-50 | 50-60 | 60-70               | 70-80 | 80-90 |
| <i>Achnanthes</i> sp.                               | +                   | +     | -     | -                   | -     | -     | +                   | +     | -     | -                   | -     | -     |
| <i>Anomoeoneis sphaerophora</i> (Ehrenberg)Pfizer   | +                   | ++    | +     | -                   | -     | -     | +                   | ++    | +     | -                   | -     | -     |
| <i>Diatomella balfouriana</i> Grev.                 | ++                  | ++    | ++    | -                   | -     | -     | ++                  | ++    | ++    | -                   | -     | -     |
| <i>Diploneis elliptica</i> (Kützing) Cleve          | ++                  | ++    | ++    | -                   | -     | -     | ++                  | ++    | +     | -                   | -     | -     |
| <i>Gomphonema gracile</i> Ehrenberg                 | +                   | +     | -     | -                   | -     | -     | +                   | +     | -     | -                   | -     | -     |
| <i>Hantzschia</i> sp.                               | +                   | -     | -     | -                   | -     | -     | +                   | +     | -     | -                   | -     | -     |
| <i>Navicula</i> sp.                                 | +                   | +     | -     | -                   | -     | -     | +                   | +     | -     | -                   | -     | -     |
| <i>Nitzschia thermalis</i> Kützing                  | +                   | +     | +     | -                   | -     | -     | +                   | +     | +     | -                   | -     | -     |
| <i>Rhopalodictia gibberula</i> (Ehrenberg) O.Müller | ++                  | ++    | +     | -                   | -     | -     | ++                  | ++    | +     | -                   | -     | -     |
| <i>Surirella biseriata</i> Brébisson                | +                   | +     | -     | -                   | -     | -     | ++                  | +     | -     | -                   | -     | -     |
| <b>Chlorophyta</b>                                  |                     |       |       |                     |       |       |                     |       |       |                     |       |       |
| <i>Chlorella vulgaris</i> Beyerinck                 | +                   | -     | -     | -                   | -     | -     | -                   | -     | -     | -                   | -     | -     |
| <i>Cladophora glomerata</i> Kützing                 | ++                  | -     | -     | -                   | -     | -     | ++                  | -     | -     | -                   | -     | -     |
| <i>Oedogonium areolatum</i> Lagerheim               | ++                  | -     | -     | -                   | -     | -     | ++                  | +     | -     | -                   | -     | -     |
| <i>Spirogyra</i> sp.                                | ++                  | +     | -     | -                   | -     | -     | ++                  | +     | -     | -                   | -     | -     |
| <b>Euglenophyta</b>                                 |                     |       |       |                     |       |       |                     |       |       |                     |       |       |
| <i>Trachelomonas</i> sp.                            | +                   | -     | -     | -                   | -     | -     | -                   | -     | -     | -                   | -     | -     |

ตาราง 3 ชนิดและปริมาณสาหร่ายที่พบในน้ำพุร้อน ไปสืบทอดในช่วงเดือน และฤดูหนาว ( frequency species = +++, moderate species = ++, rare species = +, non detectable = - )

| ชนิดสาหร่าย                                       | ที่สูงสุด           |       |       |                     |       |       | ที่ต่ำสุด           |       |       |                     |       |       |
|---|---------------------|-------|-------|---------------------|-------|-------|---------------------|-------|-------|---------------------|-------|-------|
|   | ช่วงอุณหภูมิ ( °C ) |       |       | ช่วงอุณหภูมิ ( °C ) |       |       | ช่วงอุณหภูมิ ( °C ) |       |       | ช่วงอุณหภูมิ ( °C ) |       |       |
|   | 30-40               | 40-50 | 50-60 | 60-70               | 70-80 | 80-90 | 30-40               | 40-50 | 50-60 | 60-70               | 70-80 | 80-90 |
| <b>Cyanophyta</b>                                 |                     |       |       |                     |       |       |                     |       |       |                     |       |       |
| <i>Aphanothec bullosa</i> (Meneghinii) Rabenhorst | +                   | ++    | +     | -                   | -     | -     | +                   | ++    | ++    | -                   | -     | -     |
| <i>Calothrix thermalis</i> (Schmidle) Hansg.      | +                   | ++    | +     | -                   | -     | -     | +                   | ++    | +     | -                   | -     | -     |
| <i>Chroococcidiopsis thermalis</i> Geitler        | ++                  | ++    | ++    | -                   | -     | -     | ++                  | ++    | ++    | -                   | -     | -     |

๓๖๙ (๔๘)

| ພະນັກສາຫ່າຍ  | ມາດສິ້ນ | ຫ່າງຊາມຫຸນິ ( °C ) |       |       |       |       |       | ຫ່າງຊາມຫຸນິ ( °C ) |
|--|---------|--------------------|-------|-------|-------|-------|-------|--------------------|
|  |         | 30-40              | 40-50 | 50-60 | 60-70 | 70-80 | 30-40 |                    |
| <i>Chroococcus globosus</i> (Elenkin) Hindák             | +       | +                  | +     | -     | -     | -     | +     | +                  |
| <i>C. minutus</i> (Kützing) Nägeli                       | +       | ++                 | -     | -     | -     | -     | -     | -                  |
| <i>C. thermalis</i> (Meneghini) Kováčik                  | +       | ++                 | +     | -     | -     | -     | ++    | -                  |
| <i>Cyanobacterium minervae</i> (Copeland) Komarek        | +       | ++                 | +     | -     | -     | -     | ++    | +                  |
| <i>Cyanosarcina gelatinosa</i> (Emoto et Yoneda) Kováčik | ++      | ++                 | -     | -     | -     | -     | ++    | +                  |
| <i>C. spectabilis</i> (Geitler) Kováčik                  | +       | ++                 | +     | -     | -     | -     | +     | -                  |
| <i>C. thermalis</i> (Hindák) Kováčik                     | +       | ++                 | +     | -     | -     | -     | ++    | -                  |
| <i>Gloeocapsa gelatinosa</i> Kützing                     | +       | +                  | -     | -     | -     | -     | +     | -                  |
| <i>Lyngbya majuscula</i> Harvey ex Gomont                | ++      | ++                 | -     | -     | -     | -     | ++    | -                  |
| <i>L. parelegans</i> Lemmermann                          | ++      | ++                 | +     | -     | -     | -     | ++    | -                  |
| <i>Lyngbya</i> sp.                                       | ++      | ++                 | +     | -     | -     | -     | ++    | -                  |
| <i>Mastigocladus laminosus</i> Cohn                      | +       | +                  | +     | -     | -     | -     | +     | -                  |
| <i>Merismopedia</i> sp.                                  | -       | -                  | -     | -     | -     | -     | -     | -                  |
| <i>Onconymema compactum</i> Geitler                      | +       | +                  | +     | -     | -     | -     | +     | -                  |
| <i>Oscillatoria splendida</i> Grey. Ex Gomont            | +       | +                  | +     | -     | -     | -     | +     | -                  |
| <i>O. terebriformis</i> Ag.                              | +       | ++                 | +     | -     | -     | -     | ++    | -                  |
| <i>Phormidium boryanum</i> (Bory ex Gom.) Anagn. Et Kom  | ++      | ++                 | +     | -     | -     | -     | ++    | -                  |
| <i>P. laminosum</i> Gomont                               | ++      | ++                 | +     | -     | -     | -     | ++    | -                  |
| <i>Pseudanabaena catenata</i> Lauterb                    | +       | +                  | +     | -     | -     | -     | +     | -                  |
| <i>Ps. galactea</i> sensu Anagnostidis                   | ++      | ++                 | -     | -     | -     | -     | ++    | -                  |
| <i>Scytonema coactile</i> Mont.                          | ++      | ++                 | -     | -     | -     | -     | ++    | -                  |
| <i>Symploca thermalis</i> (Kützing) Gomont               | ++      | ++                 | -     | -     | -     | -     | ++    | -                  |
| <i>Synechococcus</i> <i>bigranulatus</i> Skuja           | +       | ++                 | +     | -     | -     | -     | +     | -                  |
| <i>Sy. lividus</i> Copeland                              | ++      | ++                 | ++    | -     | -     | -     | ++    | +                  |
| <i>Synechococcus</i> sp.                                 | ++      | ++                 | ++    | ++    | ++    | ++    | ++    | ++                 |
| <i>Synechocystis minuscula</i> Voronichin                | ++      | ++                 | -     | -     | -     | -     | ++    | -                  |
| <b>Bacillariophyta</b>                                   |         |                    |       |       |       |       |       |                    |
| <i>Achnanthes exigua</i> Grunow                          | ++      | ++                 | -     | -     | -     | -     | ++    | -                  |
| <i>A. lanceolata</i> (Brébisson) Grunow                  | +       | +                  | -     | -     | -     | -     | +     | -                  |
| <i>Amphora</i> sp.                                       | +       | +                  | -     | -     | -     | -     | +     | -                  |
| <i>Anomooneis sphaerophora</i> (Ehrenberg) Pfitzer       | +       | +                  | -     | -     | -     | -     | +     | -                  |
| <i>Caloneis</i> sp.                                      | ++      | +                  | -     | -     | -     | -     | +     | -                  |

ตาราง 3 (ต่อ)

| ชนิดสาหร่าย                                      | ถูกสังเกต |       |       |       |       | ช่วงอุณหภูมิ ( °C ) |       |       |       |       | บัญชี |
|--|-----------|-------|-------|-------|-------|---------------------|-------|-------|-------|-------|-------|
|  | 30-40     | 40-50 | 50-60 | 60-70 | 70-80 | 30-40               | 40-50 | 50-60 | 60-70 | 70-80 |       |
| <i>Diatomella balfouriana</i> Grev.              | ++        | ++    | ++    | -     | -     | ++                  | ++    | ++    | -     | -     | -     |
| <i>Diploneis elliptica</i> (Kützing) Cleve       | ++        | ++    | ++    | -     | -     | ++                  | ++    | ++    | -     | -     | -     |
| <i>Diploneis</i> sp.                             | +         | +     | +     | -     | -     | +                   | +     | +     | -     | -     | -     |
| <i>Gomphonema augur</i> Ehrenberg                | +         | -     | -     | -     | -     | +                   | -     | -     | -     | -     | -     |
| <i>G. gracile</i> Ehrenberg                      | ++        | +     | -     | -     | -     | ++                  | +     | +     | -     | -     | -     |
| <i>Hantzschia</i> sp.                            | -         | -     | -     | -     | -     | +                   | +     | +     | -     | -     | -     |
| <i>Navicula</i> sp.                              | +         | +     | -     | -     | -     | +                   | +     | +     | -     | -     | -     |
| <i>Nitzschia ignorata</i> Krasske                | +         | +     | -     | -     | -     | +                   | +     | +     | -     | -     | -     |
| <i>N. thermalis</i> Kützing                      | +         | +     | -     | -     | -     | +                   | +     | +     | -     | -     | -     |
| <i>Pinnularia</i> sp. 1                          | +         | -     | -     | -     | -     | +                   | +     | +     | -     | -     | -     |
| <i>Rhopalodia gibberula</i> (Ehrenberg) O.Müller | ++        | ++    | ++    | -     | -     | ++                  | ++    | ++    | -     | -     | -     |
| <i>Surirella biseriata</i> Brébisson             | +         | +     | -     | -     | -     | +                   | +     | +     | -     | -     | -     |
| <b>Chlorophyta</b>                               |           |       |       |       |       |                     |       |       |       |       |       |
| <i>Cladophora glomerata</i> Kützing              | ++        | -     | -     | -     | -     | ++                  | -     | -     | -     | -     | -     |
| <i>Oedogonium areolatum</i> Lagerheim            | ++        | +     | -     | -     | -     | ++                  | +     | -     | -     | -     | -     |
| <i>Spirogyra</i> sp.                             | ++        | +     | -     | -     | -     | ++                  | -     | -     | -     | -     | -     |
| <i>Euglenophyta</i>                              |           |       |       |       |       |                     |       |       |       |       |       |
| <i>Trachelomonas</i> sp.                         | +         | +     | -     | -     | -     | -                   | -     | -     | -     | -     | -     |

ตาราง 4 ชนิด และปริมาณสาหร่ายที่พบในน้ำร้อนพะยอมในครุเดลล์ และบ่อน ( frequency species = +++, moderate species = ++, rare species = +, non detectable = - )

| ชนิดสาหร่าย  | ถูกสังเกต |       |       |       |       | ช่วงอุณหภูมิ ( °C ) |       |       |       |       | บัญชี |
|--|-----------|-------|-------|-------|-------|---------------------|-------|-------|-------|-------|-------|
|  | 30-40     | 40-50 | 50-60 | 60-70 | 70-80 | 30-40               | 40-50 | 50-60 | 60-70 | 70-80 |       |
| <b>Cyanophyta</b>                                  |           |       |       |       |       |                     |       |       |       |       |       |
| <i>Aphanothecia bullosa</i> (Meneghini) Rabenhorst | +         | ++    | +     | -     | -     | +                   | ++    | ++    | -     | -     | -     |
| <i>Calothrix thermalis</i> (Schmidle) Hansg.       | ++        | ++    | +     | -     | -     | ++                  | ++    | +     | -     | -     | -     |
| <i>Chroococcidiopsis thermalis</i> Geitler         | ++        | ++    | -     | -     | -     | ++                  | ++    | -     | -     | -     | -     |
| <i>Chroococcus globosus</i> (Elenkin) Hindák       | +         | +     | +     | -     | -     | +                   | +     | +     | -     | -     | -     |

ตาราง 4 (ต่อ)

| ชื่อสกุล   | ชื่อสามัญ | ที่อยู่อาศัย (°C) |       |       |       |       |       | ฤดูฝน |
|--|-----------|-------------------|-------|-------|-------|-------|-------|-------|
|  |           | 30-40             | 40-50 | 50-60 | 60-70 | 70-80 | 30-40 |       |
| <i>C. minor</i> (Kützing) Nägeli                         |           | ++                | ++    | -     | -     | -     | ++    | -     |
| <i>C. minutus</i> (Kützing) Nägeli                       |           | ++                | ++    | +     | -     | -     | ++    | -     |
| <i>C. thermalis</i> (Meneghini) Kováčik                  |           | ++                | ++    | -     | -     | -     | ++    | -     |
| <i>Cyanobacterium minerveae</i> (Copeland) Komarek       |           | ++                | ++    | +     | -     | -     | ++    | -     |
| <i>Cyanosarcina gelatinosa</i> (Emoto et Yoneda) Kováčik |           | ++                | ++    | -     | -     | -     | ++    | -     |
| <i>C. spectabilis</i> (Geitler) Kováčik                  |           | +                 | +     | -     | -     | -     | +     | -     |
| <i>C. thermalis</i> (Hindák) Kováčik                     |           | ++                | ++    | +     | -     | -     | ++    | -     |
| <i>Gloeocapsa gelatinosa</i> Kützing                     |           | +                 | +     | -     | -     | -     | +     | -     |
| <i>Lynbya majuscula</i> Harvey ex Gomont                 |           | ++                | ++    | -     | -     | -     | ++    | -     |
| <i>L. parelegans</i> Lemmermann                          |           | -                 | -     | -     | -     | -     | +     | -     |
| <i>Lynbya</i> sp.  |           | ++                | ++    | +     | +     | -     | ++    | -     |
| <i>Mastigocladus laminosus</i> Cohn                      |           | -                 | +     | +     | -     | -     | +     | -     |
| <i>Merismopedia</i> sp.                                  |           | -                 | -     | -     | -     | -     | -     | -     |
| <i>Oscillatoria chlorina</i> Kützing ex Gomont           |           | -                 | -     | -     | -     | -     | -     | -     |
| <i>O. limosa</i> Ag. Ex Gonon                            |           | +                 | +     | -     | -     | -     | +     | -     |
| <i>O. sancta</i> (Kützing) Gomont                        |           | -                 | -     | -     | -     | -     | -     | -     |
| <i>O. terebriformis</i> Ag.                              |           | -                 | ++    | +     | -     | -     | ++    | -     |
| <i>Phormidium boryanum</i> (Bory ex Gom.)-Anagn. Et Kom  |           | +                 | +++   | +++   | +     | -     | +++   | -     |
| <i>Pseudanabaena catenata</i> Lauterborn                 |           | +                 | +     | +     | -     | -     | +     | -     |
| <i>Ps. gallica</i> sensu Anagnostidis                    |           | ++                | ++    | ++    | ++    | ++    | ++    | -     |
| <i>Rivularia dura</i> Roth                               |           | -                 | -     | -     | -     | -     | -     | -     |
| <i>Scytonema coactile</i> Mont.                          |           | +++               | ++    | +     | -     | -     | +++   | -     |
| <i>S. mirabile</i> (Dillw.) Born.                        |           | ++                | ++    | +     | -     | -     | ++    | -     |
| <i>Symploca thermalis</i> (Kützing) Gomont               |           | +                 | +     | -     | -     | -     | +     | -     |
| <i>Synechococcus bigranulatus</i> Skuja                  |           | +                 | ++    | ++    | +     | -     | ++    | +     |
| <i>Sy. lividus</i> Copeland                              |           | +                 | ++    | ++    | ++    | +     | ++    | +     |
| <i>Synechococcus</i> sp.                                 |           | -                 | ++    | ++    | +++   | ++    | +++   | +++   |
| <i>Synechocystis minuscula</i> Voronichin                |           | +                 | +     | -     | -     | -     | +     | -     |
| <b>Bacillariophyta</b>                                   |           |                   |       |       |       |       |       |       |
| <i>Achnanthes exigua</i> Grunow                          |           | ++                | ++    | -     | -     | -     | -     | -     |
| <i>A. lanceolata</i> (Brébisson) Grunow                  |           | ++                | +     | -     | -     | -     | +     | -     |
| <i>Anomoecies sphaerophora</i> (Ehrenberg) Pfizer        |           | ++                | ++    | +     | -     | -     | ++    | -     |

ตาราง 4 (ต่อ)

| ชนิดสาหร่าย                                       | อุณหภูมิ ( °C ) |       |       |       |       |   | อุณหภูมิ ( °C ) |       |       |       |   |       |
|---|-----------------|-------|-------|-------|-------|---|-----------------|-------|-------|-------|---|-------|
|   | 30-40           | 40-50 | 50-60 | 60-70 | 70-80 | - | 30-40           | 40-50 | 50-60 | 60-70 | - | 70-80 |
| <i>Cymbella tumida</i> (Brébisson) Van Heurck     | ++              | -     | -     | -     | -     | - | +               | -     | -     | -     | - | -     |
| <i>Diatomella balfouriana</i> Grey.               | ++              | ++    | ++    | -     | -     | - | ++              | ++    | ++    | ++    | - | -     |
| <i>Diploneis elliptica</i> (Kützing) Cleve        | ++              | ++    | ++    | -     | -     | - | ++              | ++    | ++    | ++    | - | -     |
| <i>Epithemia zebra</i> ( Ehrenberg) Kützing       | +               | -     | -     | -     | -     | - | +               | -     | -     | -     | - | -     |
| <i>Fragilaria</i> sp.                             | ++              | -     | -     | -     | -     | - | ++              | -     | -     | -     | - | -     |
| <i>Gomphonema augur</i> Ehrenberg                 | +               | -     | -     | -     | -     | - | +               | -     | -     | -     | - | -     |
| <i>G. gracile</i> Ehrenberg                       | ++              | ++    | -     | -     | -     | - | ++              | -     | -     | -     | - | -     |
| <i>Navicula</i> sp.                               | +               | +     | +     | -     | -     | - | +               | -     | -     | -     | - | -     |
| <i>Nitzschia ignorata</i> Krässke                 | +               | +     | -     | -     | -     | - | +               | -     | -     | -     | - | -     |
| <i>N. thermalis</i> Kützing                       | +               | +     | -     | -     | -     | - | +               | -     | -     | -     | - | -     |
| <i>Pinnularia divergens</i> W. Smith              | +               | +     | -     | -     | -     | - | +               | -     | -     | -     | - | -     |
| <i>Rhopalodia gibberula</i> (Ehrenberg) O. Müller | ++              | ++    | ++    | -     | -     | - | ++              | +     | +     | +     | - | -     |
| <i>Rhopalodia</i> sp.                             | +               | +     | -     | -     | -     | - | +               | -     | -     | -     | - | -     |
| <i>Siauroneis</i> sp.                             | -               | -     | -     | -     | -     | - | +               | -     | -     | -     | - | -     |
| <i>Synedra ulna</i> (Nitzsch) Ehrenberg           | -               | -     | -     | -     | -     | - | +               | -     | -     | -     | - | -     |
| <b>Chlorophyta</b>                                |                 |       |       |       |       |   |                 |       |       |       |   |       |
| <i>Cladophora glomerata</i> Kützing               | ++              | -     | -     | -     | -     | - | ++              | -     | -     | -     | - | -     |
| <i>Cosmarium</i> sp. 1                            | +               | -     | -     | -     | -     | - | +               | -     | -     | -     | - | -     |
| <i>Oedogonium areolatum</i> Lagerheim             | ++              | +     | -     | -     | -     | - | ++              | +     | -     | -     | - | -     |
| <i>Pleurotaenium</i> sp.                          | -               | -     | -     | -     | -     | - | +               | -     | -     | -     | - | -     |
| <i>Spirogyra</i> sp.                              | ++              | +     | -     | -     | -     | - | +               | -     | -     | -     | - | -     |
| <i>Euglenophyta</i>                               |                 |       |       |       |       |   |                 |       |       |       |   |       |
| <i>Trachelomonas</i> sp.                          | +               | -     | -     | -     | -     | - | -               | -     | -     | -     | - | -     |

ตาราง 5 ชนิดและปริมาณสาหร่ายที่พบในแม่น้ำรัตนโกสินทร์ ( frequency species = +++, moderate species = ++, rare species = +, non detectable = - )

| ชนิดสาหร่าย                                  | อุณหภูมิ ( °C ) |       |       |       |       |   |
|--|-----------------|-------|-------|-------|-------|---|
|  | 30-40           | 40-50 | 50-60 | 60-70 | 70-80 | - |
| <b>Cyanophyta</b>                            |                 |       |       |       |       |   |
| <i>Calothrix thermalis</i> (Schmidle) Hansg. | ++              | ++    | +     | -     | -     | - |

ตาราง 5 (ต่อ)

| ชื่อเดิมหรือ<br>ชื่อวิทยาศาสตร์                          | อุณหภูมิ ( °C ) |       |       |       |       |  |
|--|-----------------|-------|-------|-------|-------|--|
|  | 30-40           | 40-50 | 50-60 | 60-70 | 70-80 |  |
| <i>Chroococcidiopsis thermalis</i> Geitler               | ++              | ++    | ++    | -     | -     |  |
| <i>Chroococcus globosus</i> (Elenkin) Hindák             | +               | +     | +     | -     | -     |  |
| <i>C. minor</i> (Kützing) Nägeli                         | +               | +     | -     | -     | -     |  |
| <i>C. minutus</i> (Kützing) Nägeli                       | ++              | ++    | -     | -     | -     |  |
| <i>C. thermalis</i> (Meneghini) Kováčik                  | ++              | ++    | +     | -     | -     |  |
| <i>Cyanobacterium minervae</i> (Copeland) Komarek        | +               | ++    | +     | -     | -     |  |
| <i>Cyanosarcina gelatinosa</i> (Emoto et Yoneda) Kováčik | ++              | ++    | -     | -     | -     |  |
| <i>C. spectabilis</i> (Geitler) Kováčik                  | +               | +     | +     | -     | -     |  |
| <i>C. thermalis</i> (Hindák) Kováčik                     | +               | ++    | ++    | -     | -     |  |
| <i>L. parelegans</i> Lemmermann                          | ++              | ++    | ++    | -     | -     |  |
| <i>Lyngbya</i> sp.                                       | ++              | ++    | ++    | -     | -     |  |
| <i>Mastigocladus laminosus</i> Cohn                      | +               | ++    | ++    | -     | -     |  |
| <i>Oscillatoria splendida</i> Grev. Ex Gomont            | -               | +     | +     | -     | -     |  |
| <i>O. terebriformis</i> Ag.                              | +               | ++    | ++    | -     | -     |  |
| <i>Phormidium boryanum</i> (Bory ex Gom.) Anagn. Et Kom  | +               | ++    | ++    | -     | -     |  |
| <i>P. laminosum</i> Gomont                               | +               | +     | +     | -     | -     |  |
| <i>Pseudanabaena catenata</i> Lauterb                    | +               | +     | +     | -     | -     |  |
| <i>Ps. galactea</i> sensu Anagnostidis                   | ++              | ++    | ++    | -     | -     |  |
| <i>Scytonema coactile</i> Mont.                          | ++              | ++    | +     | -     | -     |  |
| <i>Symploca thermalis</i> (Kützing) Gomont               | +               | +     | +     | -     | -     |  |
| <i>Synechococcus bigranulatus</i> Skuja                  | +               | ++    | ++    | +     | ++    |  |
| <i>Sy. lividus</i> Copeland                              | ++              | ++    | ++    | ++    | ++    |  |
| <i>Synechococcus</i> sp.                                 | -               | +     | +     | -     | -     |  |
| <i>Synechocystis minuscula</i> Voronichin                | +               | +     | +     | -     | -     |  |
| <b>Bacillariophyta</b>                                   |                 |       |       |       |       |  |
| <i>Achnanthes exigua</i> Grunow                          | ++              | ++    | -     | -     | -     |  |
| <i>Anomooneis sphaerophora</i> (Ehrenberg) Pfitzer       | ++              | ++    | +     | -     | -     |  |
| <i>Cymbella tumida</i> (Brébisson) Van Heurck            | +               | -     | -     | -     | -     |  |
| <i>Diatomella baillouriana</i> Grev.                     | ++              | ++    | ++    | +     | -     |  |
| <i>Diploneis elliptica</i> (Kitzing) Cleve               | ++              | ++    | +     | -     | -     |  |
| <i>Diploneis</i> sp.                                     | +               | +     | +     | -     | -     |  |
| <i>Eunotia</i> sp.                                       | +               | +     | +     | -     | -     |  |
| <i>Fragilaria</i> sp.                                    | +               | -     | -     | -     | -     |  |

ตาราง 5 (ต่อ)

| ชั้นคลассทางวิทยาศาสตร์                          |    | ช่วงอุณหภูมิ ( °C ) |       |       |       |
|--|----|---------------------|-------|-------|-------|
|  |    | 30-40               | 40-50 | 50-60 | 60-70 |
| <i>Gomphonema gracile</i> Ehrenberg              | +  | +                   | -     | -     | -     |
| <i>Navicula</i> sp.                              | +  | +                   | -     | -     | -     |
| <i>Nitzschia ignorata</i> Kraske                 | +  | +                   | -     | -     | -     |
| <i>N. scalpelliformis</i> (Grunow) Grunow        | +  | -                   | -     | -     | -     |
| <i>Pinnularia divergens</i> W. Smith             | ++ | +                   | -     | -     | -     |
| <i>Pi. viridis</i> (Nitzsch.) Ehrenberg          | +  | -                   | -     | -     | -     |
| <i>Pinnularia</i> sp. 1                          | +  | +                   | -     | -     | -     |
| <i>Pinnularia</i> sp. 2                          | +  | +                   | -     | -     | -     |
| <i>Rhopalodia gibberula</i> (Ehrenberg) O.Müller | ++ | ++                  | -     | -     | -     |
| <i>Surirella biseriata</i> Brébisson             | +  | +                   | -     | -     | -     |
| <i>Synedra ulna</i> (Nitzsch) Ehrenberg          | +  | -                   | -     | -     | -     |
| <b>Chlorophyta</b>                               |    |                     |       |       |       |
| <i>Cosmarium</i> sp. 1                           | +  | -                   | -     | -     | -     |
| <b>Euglenophyta</b>                              |    |                     |       |       |       |
| <i>Trachelomonas</i> sp.                         | +  | -                   | -     | -     | -     |

ตาราง 6 ชนิดและปริมาณสาหร่ายที่พบในปูน้ำร้อนคอมพิลีกในฤดูตื้น เดือนพฤษภาคม ( frequency species = +++, moderate species = ++, rare species = +, non detectable = - )

| ชั้นคลassทางวิทยาศาสตร์                                  |    | ช่วงอุณหภูมิ ( °C ) |       |       |       | ฤดูฝน |       |       |  |
|--|----|---------------------|-------|-------|-------|-------|-------|-------|--|
|  |    | 30-40               | 40-50 | 50-60 | 60-70 | 70-80 | 70-70 | 70-80 |  |
| <b>Cyanophyta</b>  |    |                     |       |       |       |       |       |       |  |
| <i>Bacularia thermalis</i> Frémy                         | +  | +                   | -     | -     | -     | -     | -     | -     |  |
| <i>Calothrix thermalis</i> (Schmidle) Hansg.             | ++ | ++                  | -     | -     | +     | ++    | -     | -     |  |
| <i>Chroococcidiopsis thermalis</i> Geitler               | ++ | ++                  | +     | -     | -     | ++    | +     | -     |  |
| <i>Chroococcus minutus</i> (Kützing) Nägeli              | ++ | +                   | -     | -     | -     | ++    | -     | -     |  |
| <i>C. thermalis</i> (Meneghini) Kováčik                  | +  | ++                  | -     | -     | -     | ++    | -     | -     |  |
| <i>Cyanobacterium minervae</i> (Copeland) Komarek        | +  | ++                  | ++    | +     | +     | ++    | +     | -     |  |
| <i>Cyanosarcina gelatinosa</i> (Emoto et Yoneda) Kováčik | ++ | ++                  | -     | -     | -     | ++    | -     | -     |  |
| <i>C. thermalis</i> (Hindák) Kováčik                     | +  | ++                  | +     | -     | -     | ++    | -     | -     |  |

ຕາງວັດ ៦ (ຫຼອ)

ตาราง 7 ชนิดและปริมาณสาหร่ายที่พบในน้ำรีชลักษณ์ซึ่งอยู่ในเขตแม่น้ำแม่เจ้า และแม่น้ำ ( frequency species = +++, moderate species = ++, rare species = +, non detectable = - )

| ชนิดสาหร่าย   | ที่สูงสุด |       |       |       |       |       | ที่ต่ำสุด |       |       |       |    |   |
|---|-----------|-------|-------|-------|-------|-------|-----------|-------|-------|-------|----|---|
|   | 30-40     | 40-50 | 50-60 | 60-70 | 70-80 | 30-40 | 40-50     | 50-60 | 60-70 | 70-80 |    |   |
| <b>Cyanophyta</b>   |           |       |       |       |       |       |           |       |       |       |    |   |
| <i>Aphanothece bullosa</i> (Meneghini) Rabenhorst         | ++        | ++    | +     | -     | -     | ++    | ++        | +     | -     | -     | -  | - |
| <i>Calothrix thermalis</i> (Schmidle) Hansg.              | +         | ++    | +     | -     | -     | +     | ++        | +     | -     | -     | -  | - |
| <i>Chroococcidiopsis thermalis</i> Geitler                | +         | ++    | +     | -     | -     | +     | ++        | +     | -     | -     | -  | - |
| <i>Chroococcus globosus</i> (Elenkin) Hindák              | ++        | ++    | +     | -     | -     | ++    | ++        | +     | -     | -     | -  | - |
| <i>C. minor</i> (Kützing) Nägeli                          | +         | +     | -     | -     | -     | +     | +         | -     | -     | -     | -  | - |
| <i>C. minutus</i> (Kützing) Nägeli                        | ++        | ++    | -     | -     | -     | ++    | ++        | -     | -     | -     | -  | - |
| <i>C. thermalis</i> (Meneghini) Kováčik                   | +         | +     | -     | -     | -     | +     | +         | -     | -     | -     | -  | - |
| <i>Cyanobacterium minervae</i> (Copeland) Komarek         | +         | ++    | +     | -     | -     | +     | ++        | ++    | -     | -     | -  | - |
| <i>Cyanosarcina gelatinosa</i> (Emoto et Yoneda) Kováčik  | ++        | ++    | -     | -     | -     | ++    | ++        | -     | -     | -     | -  | - |
| <i>C. thermalis</i> (Hindák) Kováčik                      | +         | ++    | +     | -     | -     | ++    | ++        | +     | -     | -     | -  | - |
| <i>Gloeocapsa gelatinosa</i> Kützing                      | +         | +     | -     | -     | -     | ++    | +         | -     | -     | -     | -  | - |
| <i>Homeothrix</i> sp.                                     | -         | -     | -     | -     | -     | +     | +         | -     | -     | -     | -  | - |
| <i>Lyngbya majuscula</i> Harvey ex Gomont                 | ++        | ++    | -     | -     | -     | ++    | ++        | -     | -     | -     | -  | - |
| <i>L. parelegans</i> Lemmermann                           | ++        | ++    | ++    | -     | -     | ++    | ++        | ++    | -     | -     | -  | - |
| <i>Lyngbya</i> sp.  | ++        | ++    | ++    | +     | -     | ++    | ++        | ++    | +     | -     | -  | - |
| <i>Mastigocladius laminosus</i> Cohn                      | +         | +     | +     | +     | -     | +     | ++        | ++    | +     | -     | -  | - |
| <i>Oscillatoria chlorina</i> Kützing ex Gomont            | +         | ++    | +     | -     | -     | -     | ++        | +     | -     | -     | -  | - |
| <i>O. limosa</i> Ag. Ex Gomont                            | -         | -     | -     | -     | -     | +     | +         | -     | -     | -     | -  | - |
| <i>O. splendida</i> Grev. Ex Gomont                       | +         | +     | +     | -     | -     | +     | +         | +     | -     | -     | -  | - |
| <i>O. terebriformis</i> Ag.                               | +         | ++    | ++    | -     | -     | +     | ++        | ++    | -     | -     | -  | - |
| <i>Phormidium boryanum</i> (Bory ex Gom.) Anagn. Et Korn. | +         | ++    | +++   | -     | -     | +     | ++        | ++    | -     | -     | -  | - |
| <i>P. laminosum</i> Gomont                                | +         | +     | +     | -     | -     | +     | +         | +     | -     | -     | -  | - |
| <i>Pseudanabaena catenata</i> Lauterb.                    | +         | +     | +     | -     | -     | +     | +         | +     | -     | -     | -  | - |
| <i>Ps. galeata</i> sensu Anagnostidis                     | ++        | ++    | +     | -     | -     | +     | ++        | ++    | -     | -     | -  | - |
| <i>Scytonema coactile</i> Mont.                           | +         | +     | -     | -     | -     | -     | +         | +     | -     | -     | -  | - |
| <i>Symploca thermalis</i> (Kützing) Gomont                | +         | +     | -     | -     | -     | -     | +         | +     | -     | -     | -  | - |
| <i>Synechococcus granulatus</i> Skuja                     | -         | ++    | ++    | -     | -     | -     | ++        | ++    | -     | -     | -  | - |
| <i>Sy. lividus</i> Copeland                               | +         | ++    | ++    | -     | -     | +     | ++        | ++    | -     | -     | -  | - |
| <i>Synechococcus</i> sp.                                  | -         | ++    | ++    | +++   | ++    | +     | ++        | ++    | ++    | ++    | ++ | - |
| <i>Synechocystis minuscula</i> Voronichin                 | +         | +     | +     | -     | -     | -     | +         | +     | +     | +     | +  | - |

ตาราง 7 (ต่อ)

| ชนิดสาหร่าย  | อุณหภูมิ ( °C ) |       |       |       |       |       | อุณหภูมิ ( °C ) |       |       |       |          |  |
|--|-----------------|-------|-------|-------|-------|-------|-----------------|-------|-------|-------|----------|--|
|  | 30-40           | 40-50 | 50-60 | 60-70 | 70-80 | 30-40 | 40-50           | 50-60 | 60-70 | 70-80 | อุณหภูมิ |  |
| <b>Bacillariophyta</b>                             |                 |       |       |       |       |       |                 |       |       |       |          |  |
| <i>Achnanthes lanceolata</i> (Brébisson) Grunow    | ++              | ++    | -     | -     | -     | ++    | ++              | -     | -     | -     | -        |  |
| <i>Anomooneis sphaerophora</i> (Ehrenberg) Pfitzer | ++              | ++    | +     | -     | -     | ++    | ++              | +     | -     | -     | -        |  |
| <i>Cymbella tumida</i> (Brébisson) Van Heurck      | +               | -     | -     | -     | -     | +     | -               | -     | -     | -     | -        |  |
| <i>Diatomella balfouriana</i> Grev.                | ++              | ++    | ++    | -     | -     | ++    | ++              | ++    | -     | -     | -        |  |
| <i>Diploneis elliptica</i> (Kützing) Cleve         | ++              | ++    | +     | -     | -     | ++    | ++              | +     | -     | -     | -        |  |
| <i>Epithemia zebra</i> ( Ehrenberg) Kützing        | -               | -     | -     | -     | -     | +     | -               | -     | -     | -     | -        |  |
| <i>Fragilaria</i> sp.                              | +               | -     | -     | -     | -     | -     | +               | -     | -     | -     | -        |  |
| <i>Gromphonema gracile</i> Ehrenberg               | ++              | ++    | -     | -     | -     | ++    | ++              | -     | -     | -     | -        |  |
| <i>Hantzschia</i> sp.                              | +               | -     | -     | -     | -     | +     | -               | -     | -     | -     | -        |  |
| <i>Navicula</i> sp.                                | +               | +     | -     | -     | -     | +     | +               | -     | -     | -     | -        |  |
| <i>Nitzschia ignorata</i> Krässke                  | +               | +     | -     | -     | -     | +     | +               | -     | -     | -     | -        |  |
| <i>Rhopalodia gibberula</i> (Ehrenberg) O.Müller   | ++              | ++    | ++    | -     | -     | ++    | ++              | ++    | -     | -     | -        |  |
| <i>Rhopalodia</i> sp.                              | +               | +     | -     | -     | -     | +     | +               | -     | -     | -     | -        |  |
| <i>Surirella biseriata</i> Brébisson               | +               | -     | -     | -     | -     | +     | -               | -     | -     | -     | -        |  |
| <b>Chlorophyta</b>                                 |                 |       |       |       |       |       |                 |       |       |       |          |  |
| <i>Cladophora glomerata</i> Kützing                | ++              | -     | -     | -     | -     | ++    | -               | -     | -     | -     | -        |  |
| <i>Cosmarium</i> sp. 2                             | +               | -     | -     | -     | -     | +     | -               | -     | -     | -     | -        |  |
| <i>Cosmarium</i> sp. 3                             | +               | -     | -     | -     | -     | +     | -               | -     | -     | -     | -        |  |
| <i>Oedogonium areolatum</i> Lagerheim              | ++              | -     | -     | -     | -     | ++    | -               | -     | -     | -     | -        |  |
| <i>Spirogyra</i> sp.                               | ++              | -     | -     | -     | -     | ++    | -               | -     | -     | -     | -        |  |

ตาราง 8 ชนิดและปริมาณสาหร่ายที่พบในป่าเขียวอ่อนที่บ้านใหม่ดูดง และดูดฟัน ( frequency species = +++, rare species = ++, moderate species = +, non detectable = - )

| ชนิดสาหร่าย                                       | อุณหภูมิ ( °C ) |       |       |       |       |       | อุณหภูมิ ( °C ) |       |       |       |          |  |
|---|-----------------|-------|-------|-------|-------|-------|-----------------|-------|-------|-------|----------|--|
|   | 30-40           | 40-50 | 50-60 | 60-70 | 70-80 | 30-40 | 40-50           | 50-60 | 60-70 | 70-80 | อุณหภูมิ |  |
| <b>Cyanophyta</b>                                 |                 |       |       |       |       |       |                 |       |       |       |          |  |
| <i>Aphanothece bullosa</i> (Meneghini) Rabenhorst | ++              | ++    | +     | -     | -     | ++    | ++              | +     | +     | -     | -        |  |

ตาราง 8 (ต่อ)

| ชื่อเดิมของราบ<br>ย                                      | ที่อยู่เดิม<br>ที่ร่างกายหิน ( °C ) |       |       |       |       |       | ที่อยู่ใหม่<br>ที่ร่างกายหิน ( °C ) |       |       |       |    |    |
|--|-------------------------------------|-------|-------|-------|-------|-------|-------------------------------------|-------|-------|-------|----|----|
|  | 30-40                               | 40-50 | 50-60 | 60-70 | 70-80 | 30-40 | 40-50                               | 50-60 | 60-70 | 70-80 |    |    |
| <i>Bacularia thermalis</i> Frémy                         | -                                   | -     | -     | -     | -     | +     | +                                   | -     | -     | -     | -  | -  |
| <i>Calothrix thermalis</i> (Schmidle) Hansg.             | ++                                  | ++    | +     | -     | -     | ++    | ++                                  | +     | -     | -     | -  | -  |
| <i>Chroococcidiopsis thermalis</i> Geitler               | ++                                  | ++    | +     | -     | -     | ++    | ++                                  | +     | -     | -     | -  | -  |
| <i>Chroococcus minor</i> (Kützing) Nägeli                | +                                   | +     | -     | -     | -     | +     | ++                                  | -     | -     | -     | -  | -  |
| <i>C. minutus</i> (Kützing) Nägeli                       | ++                                  | ++    | -     | -     | -     | ++    | ++                                  | -     | -     | -     | -  | -  |
| <i>C. thermalis</i> (Meneghini) Kováčik                  | ++                                  | ++    | -     | -     | -     | ++    | ++                                  | -     | -     | -     | -  | -  |
| <i>Cyanobacterium mineralvae</i> (Copeland) Komarek      | +                                   | ++    | ++    | -     | -     | ++    | ++                                  | -     | -     | -     | -  | -  |
| <i>Cyanosarcina gelatinosa</i> (Emoto et Yoneda) Kováčik | ++                                  | -     | -     | -     | -     | ++    | ++                                  | -     | -     | -     | -  | -  |
| <i>C. thermalis</i> (Hindák) Kováčik                     | +                                   | ++    | +     | -     | -     | +     | ++                                  | -     | -     | -     | -  | -  |
| <i>Homoeothrix</i> sp.                                   | -                                   | -     | -     | -     | -     | +     | +                                   | -     | -     | -     | -  | -  |
| <i>Lyngbya majuscula</i> Harvey ex Gomont                | -                                   | ++    | -     | -     | -     | -     | ++                                  | -     | -     | -     | -  | -  |
| <i>L. perelegans</i> Lemmermann                          | +                                   | ++    | +     | -     | -     | +     | ++                                  | +     | -     | -     | -  | -  |
| <i>Lyngbya</i> sp.                                       | ++                                  | ++    | ++    | +     | -     | ++    | ++                                  | +     | +     | +     | -  | -  |
| <i>Mastigochadus laminatus</i> Cohn                      | -                                   | +     | +     | -     | -     | -     | +                                   | +     | +     | -     | -  | -  |
| <i>Oscillatoria chlorina</i> Kützing ex Gomont           | +                                   | ++    | +     | -     | -     | -     | ++                                  | +     | +     | -     | -  | -  |
| <i>O. terebriformis</i> Ag.                              | +                                   | ++    | ++    | -     | -     | +     | ++                                  | +     | +     | -     | -  | -  |
| <i>Phormidium boryanum</i> (Bory ex Gom.)-Anagn. Et Kom  | +                                   | ++    | ++    | -     | -     | +     | ++                                  | ++    | ++    | -     | -  | -  |
| <i>Pseudanabaena catenata</i> Lauterb.                   | +                                   | +     | +     | -     | -     | ++    | +                                   | +     | +     | -     | -  | -  |
| <i>Ps. galeata</i> sensu Anagnostidis                    | ++                                  | ++    | ++    | -     | -     | ++    | ++                                  | +     | +     | -     | -  | -  |
| <i>Scytonema coactile</i> Mont.                          | +                                   | +     | -     | -     | -     | +     | +                                   | -     | -     | -     | -  | -  |
| <i>Symploca thermalis</i> (Kützing) Gomont               | +                                   | +     | -     | -     | -     | +     | +                                   | -     | -     | -     | -  | -  |
| <i>Synechococcus bigranulatus</i> Skuja                  | +                                   | ++    | +     | -     | -     | ++    | ++                                  | +     | +     | -     | -  | -  |
| <i>Sy. lividus</i> Copeland                              | +                                   | ++    | ++    | +     | -     | ++    | ++                                  | +     | +     | -     | -  | -  |
| <i>Synechococcus</i> sp.                                 | +                                   | ++    | ++    | ++    | ++    | ++    | ++                                  | ++    | ++    | ++    | ++ | ++ |
| <i>Synechocystis minuscula</i> Voronichin                | +                                   | ++    | +     | -     | -     | +     | ++                                  | +     | +     | -     | -  | -  |
| <b>Bacillariophyta</b>                                   |                                     |       |       |       |       |       |                                     |       |       |       |    |    |
| <i>Achnanthus lanceolata</i> (Brébisson) Grunow          | ++                                  | ++    | -     | -     | -     | -     | +                                   | ++    | -     | -     | -  | -  |
| <i>Anomoemeis sphaerophora</i> (Ehrenberg) Pfizer        | +                                   | +     | +     | -     | -     | -     | +                                   | +     | +     | -     | -  | -  |
| <i>Diatomella baifouriana</i> Grev.                      | ++                                  | ++    | ++    | -     | -     | -     | ++                                  | ++    | ++    | -     | -  | -  |
| <i>Diploneis elliptica</i> (Kützing) Cleve               | +                                   | ++    | +     | -     | -     | -     | ++                                  | ++    | ++    | -     | -  | -  |
| <i>Fragilaria</i> sp.                                    | +                                   | -     | -     | -     | -     | -     | +                                   | +     | +     | -     | -  | -  |
| <i>Navicula</i> sp.                                      | +                                   | +     | -     | -     | -     | -     | +                                   | +     | +     | -     | -  | -  |
| <i>Nitzschia ignorata</i> Kráske                         | +                                   | +     | -     | -     | -     | -     | +                                   | +     | +     | -     | -  | -  |

| ชนิดสาหร่าย                                      | ฤดูแล้ง             |       |       |       |       |  | ฤดูฝน               |       |       |       |       |   |
|--|---------------------|-------|-------|-------|-------|--|---------------------|-------|-------|-------|-------|---|
|  | ช่วงอุณหภูมิ ( °C ) |       |       |       |       |  | ช่วงอุณหภูมิ ( °C ) |       |       |       |       |   |
|  | 30-40               | 40-50 | 50-60 | 60-70 | 70-80 |  | 30-40               | 40-50 | 50-60 | 60-70 | 70-80 |   |
| <i>Rhopalodia gibberula</i> (Ehrenberg) O.Müller | ++                  | ++    | ++    | -     | -     |  | ++                  | ++    | ++    | ++    | -     | - |
| <i>Surirella biseriata</i> Brébisson             | +                   | -     | -     | -     | -     |  | +                   | -     | -     | -     | -     | - |
| <b>Chlorophyta</b>                               |                     |       |       |       |       |  |                     |       |       |       |       |   |
| <i>Oedogonium areolatum</i> Lagerheim            | +                   | -     | -     | -     | -     |  | +                   | -     | -     | -     | -     | - |
| <i>Spirogyra</i> sp.                             | +                   | -     | -     | -     | -     |  | ++                  | -     | -     | -     | -     | - |

ตาราง 9 ชนิดสาหร่ายแมตราระบบที่พบในปีนั้น ร้อยละถ้วน ในฤดูแล้ง และฤดูฝน ( frequency species = +++, moderate species = ++, rare species = +, non detectable = - )

| ชนิดสาหร่าย  | ฤดูแล้ง             |       |       |       |       |  | ฤดูฝน               |       |       |       |       |   |
|--|---------------------|-------|-------|-------|-------|--|---------------------|-------|-------|-------|-------|---|
|  | ช่วงอุณหภูมิ ( °C ) |       |       |       |       |  | ช่วงอุณหภูมิ ( °C ) |       |       |       |       |   |
|  | 30-40               | 40-50 | 50-60 | 60-70 | 70-80 |  | 30-40               | 40-50 | 50-60 | 60-70 | 70-80 |   |
| <b>Cyanophyta</b>  |                     |       |       |       |       |  |                     |       |       |       |       |   |
| <i>Calothrix thermalis</i> (Schmidle) Hansg.             | ++                  | ++    | -     | -     | -     |  | ++                  | ++    | ++    | ++    | -     | - |
| <i>Chroococcidiopsis thermalis</i> Geitler               | ++                  | ++    | ++    | -     | -     |  | ++                  | ++    | ++    | ++    | -     | - |
| <i>Chroococcus globosus</i> (Elenkin) Hindák             | +                   | +     | +     | +     | -     |  | +                   | +     | +     | +     | -     | - |
| <i>C. minutus</i> (Kützing) Nägeli                       | ++                  | +     | -     | -     | -     |  | ++                  | ++    | ++    | ++    | -     | - |
| <i>C. thermalis</i> (Meneghini) Kováčik                  | ++                  | ++    | -     | -     | -     |  | ++                  | ++    | ++    | ++    | -     | - |
| <i>Cyanobacterium minervae</i> (Copeland) Komarek        | +                   | ++    | +     | -     | -     |  | ++                  | ++    | ++    | ++    | -     | - |
| <i>Cyanosarcina gelatinosa</i> (Emoto et Yoneda) Kováčik | ++                  | +     | -     | -     | -     |  | ++                  | +     | -     | -     | -     | - |
| <i>C. spectabilis</i> (Geitler) Kováčik                  | +                   | +     | -     | -     | -     |  | +                   | +     | -     | -     | -     | - |
| <i>C. thermalis</i> (Hindák) Kováčik                     | +                   | ++    | +     | -     | -     |  | +                   | +     | -     | -     | -     | - |
| <i>Homoeothrix</i> sp.                                   | -                   | -     | -     | -     | -     |  | +                   | -     | -     | -     | -     | - |
| <i>Lynbya</i> sp.  | ++                  | ++    | ++    | ++    | +     |  | ++                  | ++    | ++    | ++    | +     | + |
| <i>Oscillatoria chlorina</i> Kützing ex Gomont           | -                   | +     | +     | +     | -     |  | -                   | -     | +     | +     | -     | - |
| <i>O. terebriformis</i> Ag.                              | +                   | ++    | ++    | ++    | -     |  | -                   | -     | ++    | ++    | -     | - |
| <i>O. willei</i> Gardner em. Drouet                      | -                   | +     | +     | +     | -     |  | -                   | -     | +     | +     | -     | - |
| <i>Phormidium boryanum</i> (Bory ex Gom.)-Anagn. Et Kom  | +                   | ++    | +++   | +++   | -     |  | +                   | +     | +++   | +++   | -     | - |
| <i>Pseudanabaena galeata</i> sensu Anagnostidis          | ++                  | ++    | ++    | -     | -     |  | ++                  | ++    | ++    | ++    | -     | - |
| <i>Synechococcus bigranulatus</i> Skuja                  | +                   | ++    | ++    | +     | -     |  | ++                  | ++    | ++    | ++    | -     | - |
| <i>Sy. lividus</i> Copeland                              | +                   | ++    | ++    | +     | +     |  | ++                  | ++    | ++    | ++    | +     | + |

ตาราง 9 (ต่อ)

| ชนิดสาหร่าย  | ที่วัดอุณหภูมิ ( °C ) |       |       |       |       |       | ที่วัดอุณหภูมิ ( °C ) |       |       |       |     |     |
|--|-----------------------|-------|-------|-------|-------|-------|-----------------------|-------|-------|-------|-----|-----|
|  | 30-40                 | 40-50 | 50-60 | 60-70 | 70-80 | 30-40 | 40-50                 | 50-60 | 60-70 | 70-80 |     |     |
| <i>Synechococcus</i> sp.                           | -                     | ++    | +++   | +++   | +++   | -     | ++                    | +++   | +++   | +++   | +++ | +++ |
| <i>Synechocystis minuscula</i> Voronichin          | +                     | ++    | +     | -     | -     | +     | ++                    | +     | +     | -     | -   | -   |
| <b>Bacillariophyta</b>                             |                       |       |       |       |       |       |                       |       |       |       |     |     |
| <i>Achnanthes lanceolata</i> (Brébisson) Grunow    | +                     | +     | -     | -     | -     | +     | +                     | -     | -     | -     | -   | -   |
| <i>Achnanthes</i> sp.                              | +                     | +     | -     | -     | -     | +     | -                     | -     | -     | -     | -   | -   |
| <i>Anomooneis sphaerophora</i> (Ehrenberg) Pfitzer | +                     | +     | +     | -     | -     | +     | +                     | +     | +     | -     | -   | -   |
| <i>Diatomella baillouriana</i> Grev.               | ++                    | ++    | +     | -     | -     | ++    | ++                    | +     | +     | -     | -   | -   |
| <i>Diploneis elliptica</i> (Kützing) Cleve         | ++                    | ++    | +     | -     | -     | ++    | ++                    | +     | +     | -     | -   | -   |
| <i>Fragilaria</i> sp.                              | -                     | -     | -     | -     | -     | +     | -                     | -     | -     | -     | -   | -   |
| <i>Gomphonema gracile</i> Ehrenberg                | +                     | +     | -     | -     | -     | +     | +                     | -     | -     | -     | -   | -   |
| <i>Navicula</i> sp.                                | +                     | +     | -     | -     | -     | +     | +                     | -     | -     | -     | -   | -   |
| <i>Nitzschia ignorata</i> Kässke                   | +                     | +     | +     | -     | -     | +     | +                     | -     | -     | -     | -   | -   |
| <i>Pinnularia</i> sp. 2                            | +                     | +     | -     | -     | -     | +     | +                     | -     | -     | -     | -   | -   |
| <i>Rhopalodia gibberula</i> (Ehrenberg) O.Müller   | ++                    | ++    | +     | -     | -     | ++    | ++                    | +     | +     | -     | -   | -   |
| <i>Surirella biseriata</i> Brébisson               | +                     | +     | -     | -     | -     | +     | +                     | -     | -     | -     | -   | -   |
| <b>Chlorophyta</b>                                 |                       |       |       |       |       |       |                       |       |       |       |     |     |
| <i>Cladophora glomerata</i> Kützing                | ++                    | -     | -     | -     | -     | ++    | -                     | -     | -     | -     | -   | -   |
| <i>Closterium ehrenbergii</i> Meneghini            | +                     | -     | -     | -     | -     | +     | -                     | -     | -     | -     | -   | -   |
| <i>Cosmarium</i> sp. 1                             | -                     | -     | -     | -     | -     | +     | -                     | -     | -     | -     | -   | -   |
| <i>Oedogonium areolatum</i> Lagerheim              | ++                    | +     | -     | -     | -     | ++    | +                     | -     | -     | -     | -   | -   |
| <i>Spirogyra</i> sp.                               | ++                    | -     | -     | -     | -     | ++    | -                     | -     | -     | -     | -   | -   |

ตาราง 10 ชนิดและปริมาณสาหร่ายที่พบในน้ำกร่อยอุ่นท่วงมหาเสื่อมในแหล่งน้ำ ( frequency species = ++ , moderate species = + , rare species = +, non detectable = - )

| ชนิดสาหร่าย  | ที่วัดอุณหภูมิ ( °C ) |       |       |       |
|--|-----------------------|-------|-------|-------|
|  | 30-40                 | 40-50 | 50-60 | 60-70 |
| <b>Cyanophyta</b>                                  |                       |       |       |       |
| <i>Aphaniothece bullosa</i> (Meneghini) Rabenhorst | ++                    | ++    | +     | -     |
| <i>Calothrix thermalis</i> (Schmidle) Hansg.       | ++                    | ++    | +     | -     |
| <i>Calothrix</i> sp.                               | +                     | ++    | -     | -     |

## ตาราง 10 (ต่อ)

| ชื่อเดิมภาษาไทย  | ช่วงอุณหภูมิ ( °C) |       |       |       |
|--|--------------------|-------|-------|-------|
|  | 30-40              | 40-50 | 50-60 | 60-70 |
| <i>Chroococcidiopsis thermalis</i> Geitler               | +                  | ++    | +     | -     |
| <i>Chroococcus globosus</i> (Elenkin) Hindák             | +                  | +     | -     | -     |
| <i>C. minor</i> (Kützing) Nageli                         | ++                 | +     | -     | -     |
| <i>C. thermalis</i> (Meneghini) Kováčik                  | ++                 | +     | -     | -     |
| <i>Cyanobacterium minervae</i> (Copeland) Komarek        | ++                 | +     | -     | -     |
| <i>Cyanosarcina gelatinosa</i> (Emoto et Yoneda) Kováčik | ++                 | +     | -     | -     |
| <i>C. thermalis</i> (Hindák) Kováčik                     | ++                 | +     | -     | -     |
| <i>Homoeothrix</i> sp.                                   | +                  | -     | -     | -     |
| <i>Lyngbya parelegans</i> Lemmermann                     | ++                 | +     | -     | -     |
| <i>Lyngbya</i> sp.                                       | ++                 | +     | -     | -     |
| <i>Oscillatoria limosa</i> Ag. Ex Gomont                 | +                  | +     | -     | -     |
| <i>O. splendida</i> Grev. Ex Gomont                      | -                  | +     | -     | -     |
| <i>Phormidium boryanum</i> (Bory ex Gom.)-Anagn. Et Korn | +                  | ++    | -     | -     |
| <i>P. laminosum</i> Gomont                               | +                  | +     | -     | -     |
| <i>Pseudanabaena caeruleata</i> Laundr                   | ++                 | +     | -     | -     |
| <i>P.s. galeata</i> sensu Anagnostidis                   | +                  | ++    | -     | -     |
| <i>Synechococcus bigranulatus</i> Skuja                  | +                  | ++    | -     | -     |
| <i>Sy. lividus</i> Copeland                              | +                  | ++    | ++    | ++    |
| <i>Synechococcus</i> sp.                                 | -                  | ++    | ++    | ++    |
| <i>Synechocystis minuscula</i> Voronichin                | +                  | +     | -     | -     |
| <b>Bacillariophyta</b>                                   |                    |       |       |       |
| <i>Achnanthes exigua</i> Grunow                          | ++                 | +     | -     | -     |
| <i>Diatomella baifouriana</i> Grev.                      | ++                 | ++    | ++    | -     |
| <i>Diploneis elliptica</i> (Kützing) Cleve               | ++                 | ++    | ++    | -     |
| <i>Gomphonem gracile</i> Ehrenberg                       | ++                 | +     | +     | -     |
| <i>Hantzschia</i> sp.                                    | +                  | +     | +     | -     |
| <i>Navicula</i> sp.                                      | +                  | +     | +     | -     |
| <i>Nitzschia thermalis</i> Kützing                       | +                  | +     | +     | -     |
| <i>Pinnularia</i> sp. 1                                  | +                  | +     | -     | -     |
| <i>Rhopalodia gibberula</i> (Ehrenberg) O.Müller         | +                  | +     | +     | -     |

## ลักษณะทางสัณฐานวิทยาของสาหร่ายที่พบในแหล่งน้ำพุร้อนที่ทำการศึกษา

### Division Cyanophyta (สาหร่ายสีเขียวแกมน้ำเงิน)

#### 1. *Aphanothece bullosa* (Meneghini) Rabenhorst (ภาพ 14 ก 1, 14 ข 1)

เซลล์มีลักษณะเป็นโคลโนนี มีเมือกหุ้ม โคลโนนมีรูปร่างไม่แน่นอน กลุ่มเซลล์ มีสีเขียวอ่อนถึงสีเขียวเข้ม เซลล์มีลักษณะเป็นรูปไข่หรือทรงกระบอกสั้น ๆ ปลายโค้งมน เซลล์มีขนาด  $5-8 \times 3-5 \mu\text{m}$ .

แหล่งที่อยู่อาศัย อยู่บริเวณขอบของแหล่งน้ำพุร้อน พบริเวณของ subaerophytic อยู่ตามพื้นดิน ก้อนหิน หònไม้ และใบไม้ เป็นต้น พบริเวณที่อุณหภูมิ  $35-52^\circ\text{C}$

#### 2. *Bacularia thermalis* Frémy

เซลล์มีลักษณะเป็นแท่งสั้น ๆ รูปไข่ ขนาดประมาณ  $5-10 \times 2-3 \mu\text{m}$ . อยู่รวมกันเป็นโคลโนนี โดยมีเมือกหุ้มอยู่รอบๆ

แหล่งที่อยู่อาศัย พบริเวณขอบของ池水ร้อน อุณหภูมิประมาณ  $40-45^\circ\text{C}$

#### 3. *Calothrix thermalis* (Schmidle) Hansg. (ภาพ 18 ก 2, 18 ข 2)

เซลล์มีลักษณะเป็นเส้นสายยาว มีเยทเทอโรซิสต์อยู่บริเวณฐาน เซลล์บริเวณฐานมีความกว้างกว่าบริเวณปลายเซลล์ เซลล์บริเวณฐานมีขนาด  $6-7 \times 4-5 \mu\text{m}$ . เซลล์บริเวณปลายมีขนาด  $1.5-2.0 \times 2-3 \mu\text{m}$ . เซลล์อาจมีความยาวถึง  $2 \text{ mm}$ . เซลล์ไม่แตกแขนง รูปร่างมีสีเขียวถึงน้ำตาลเขียว แหล่งที่อยู่อาศัย นักพบทามท่อนไม้กิ่งไม้ตามพื้นดินที่น้ำท่วมถึง น้ำกระเซ็นถึง อุณหภูมิประมาณ  $35-50^\circ\text{C}$

#### 4. *Calothrix* sp. (ภาพ 18 ก 1, 18 ข 1)

เซลล์มีลักษณะเป็นเส้นสายยาว มีเยทเทอโรซิสต์อยู่บริเวณฐาน เซลล์มีขนาดใหญ่กว่าปลายเซลล์มาก มีขนาด  $9-10 \times 5-6 \mu\text{m}$ . เมือกหุ้มหนาอาจมีหลายเส้นสายอยู่ภายใน sheath เดียว กัน เส้นสายมีสีน้ำตาลเขียวหรือสีเขียวแกมน้ำเงิน

แหล่งที่อยู่อาศัย เกาะตามท่อนไม้ กิ่งไม้ อุณหภูมิ  $35-45^\circ\text{C}$

**5. *Chroococcidiopsis thermalis* Geitler**

(ภาพ 14 ก 2, 14 ข 2)

เซลล์มีรูปร่างกลม อยู่กันเป็น colony มีเมือกใสบาง ๆ หุ้มเซลล์มีสีเขียวอ่อนหรือเขียวแกม น้ำเงิน โคลoni มีขนาด  $10-20 \mu\text{m}$  baeocyte\* มีขนาดเส้นผ่านศูนย์กลางประมาณ  $1.5-2.0 \mu\text{m}$  ภายใน 1 โคลoni อาจจะมี baeocyte 8 หรือ 16 หรือ 32 เซลล์

แหล่งที่อยู่อาศัย เกาะอยู่กับหิน อยู่ตามพื้นดิน ในแหล่งน้ำร้อนซึ่งมีคุณสมบัติเป็นค่า (Anagnostidis and Komárek, 1999) ซึ่งส่วนใหญ่พบในประเทศไทยตอนอุณหภูมิ  $35-50^\circ\text{C}$

**6. *Chroococcus globosus* (Elenkin) Hindák**

(ภาพ 14 ก 5, 14 ข 5)

โคลoni มีอยู่ภายในเมือกใส ภายในโคลoni มีเซลล์อยู่ตั้งแต่ 4 เซลล์ถึงหลาย ๆ เซลล์ เซลล์มีลักษณะกลมหรือรี ขนาดเซลล์ประมาณ  $6-8 \times 5-6 \mu\text{m}$ .

แหล่งที่อยู่อาศัย อยู่ตามพื้นดิน ก้อนหิน หรือที่ซึ่งแห้งอุณหภูมิประมาณ  $35-50^\circ\text{C}$

**7. *Chroococcus minor* (Kützing) Nügeli**

(ภาพ 14 ก 4, 14 ข 4)

เซลล์มีรูปร่างกลมถึงรี อยู่ในลักษณะโคลoni มีเมือกหุ้ม โคลoni มีรูปร่างไม่แน่นอน ภายใน โคลoni อาจมีจำนวนเซลล์มากหรือน้อยก็ได้เซลล์มีขนาด  $2-3 \mu\text{m}$ . มีสีเขียวแกมน้ำเงิน

แหล่งที่อยู่อาศัย อยู่บนหิน ดิน หรือหònไม้ที่อยู่บริเวณรอบ ๆ ของสารน้ำร้อน อุณหภูมิประมาณ  $35-45^\circ\text{C}$

**8. *Chroococcus minutus* (Kützing) Nügeli**

(ภาพ 14 ก 3, 14 ข 3)

เซลล์มีลักษณะกลมหรือรี มีลักษณะเป็นโคลoni มีจำนวนเซลล์อยู่ประมาณ  $2-8$  เซลล์อยู่ภายในโคลoni มีเมือกหุ้ม เซลล์มีขนาด  $5-10 \mu\text{m}$ . รูปร่างของโคลoni จะมีหลายแบบ (morphotype) เซลล์จะมีสีเขียวอ่อนถึงเขียวแกมน้ำเงิน

แหล่งที่อยู่อาศัย อยู่ตามพื้นดินรวมกับสาหร่ายชนิดอื่นๆ อุณหภูมิประมาณ  $35-45^\circ\text{C}$

**9. *Chroococcus thermalis* (Meneghini) Kováčik**

(ภาพ 14 ก 6, 14 ข 6)

เซลล์อยู่รวมกันเป็นโคลoni มีจำนวนประมาณ  $2-8$  เซลล์ โคลoni มีเมือกหุ้มเห็นชัดเจน เซลล์มีรูปร่างกลม หรือโค้งรี เซลล์มีขนาด  $8-15 \mu\text{m}$ . ซึ่งไม่รวม sheath

แหล่งที่อยู่อาศัย อยู่ในแอ่งน้ำ ตามบริเวณผิวดินที่ชุ่มน้ำ อุณหภูมิประมาณ  $35-42^\circ\text{C}$

**10. *Cyanobacterium minervae* (Copeland) Komárek**

(ภาพ 14 ก 7, 14 ข 7)

เซลล์มีรูปร่างแท่งสั้น ๆ ปลายโค้งมน มักอยู่เดี่ยว ๆ หรือ คู่ บางครั้งเซลล์จะแบ่งแบบไม่สมมาตร เซลล์มีขนาด  $4-10 \times 3-5 \mu\text{m}$  เซลล์มีสีเขียวเข้มจนถึงสีน้ำตาลปนเขียว

\* baeocyte หมายถึงเซลล์ขนาดเล็กที่อยู่ในเซลล์แม่ กิจจากการแบ่งเซลล์แบบไม่อัศัยเพศ เมื่อผ่านเซลล์เด็ก จะเจริญเป็นเซลล์สาหร่ายเซลล์ใหม่

แหล่งที่อยู่อาศัย อยู่ในแหล่งน้ำที่มีอุณหภูมิสูงเท่านั้น โดยทั่วไปพบในน้ำพุร้อนที่เป็นด่างที่ อุณหภูมิประมาณ  $30-60^{\circ}\text{C}$  ซึ่งพบในน้ำพุร้อนทั่วโลก (Anagnostidis and Komárek, 1999)

**11. *Cyanosarcina gelatinosa* (Emoto et Yoneda) Kovácik** (ภาพ 15 ก 1, 15 ข 1)

เซลล์มีรูปร่างค่อนข้างกลม อยู่เกาะกลุ่มกันภายใต้โคลนี ภายในโคลนีมีจำนวนเซลล์ตั้งแต่ 4-8 เซลล์

แหล่งที่อยู่อาศัย พบรได้ในบริเวณตามห้องน้ำและบริเวณขอบฝั่ง โคลนีมักพบร่วมกับสาหร่ายชนิดอื่น ๆ ด้วย พบรได้ที่อุณหภูมิประมาณ  $35-45^{\circ}\text{C}$

**12. *Cyanosarcina spectabilis* (Geitler) Kovácik** (ภาพ 15 ก 2, 15 ข 2)

เซลล์มีรูปร่างค่อนข้างกลม อยู่เกาะกลุ่มแน่นภายใต้โคลนี เซลล์มีขนาดเส้นผ่าศูนย์กลาง  $6-8 \mu\text{m}$  โคลนีมีสีเขียวแกมน้ำเงินถึงน้ำตาลแกมน้ำเงิน

แหล่งที่อยู่อาศัย เกาะอยู่กับหิน อยู่ตามพื้นห้องน้ำ ตามผิวดินที่น้ำกระเซ็นถึง อุณหภูมิประมาณ  $34-51^{\circ}\text{C}$

**13. *Cyanosarcina thermalis* (Hindák) Kovácik** (ภาพ 15 ก 3, 15 ข 3)

เซลล์อยู่ร่วมกันเป็นโคลนี มีขนาดเล็ก โดยทั่วไปประกอบไปด้วยเซลล์ 4 เซลล์ เกาะกลุ่มกันอยู่ (tetrad) เส้นผ่าศูนย์กลางของเซลล์ ประมาณ  $12-15 \mu\text{m}$  มีเมือกบาง ๆ หุ้มโคลนีอยู่ เซลล์มีรูปร่างลักษณะกลมรี มีขนาดเส้นผ่าศูนย์กลาง  $4-6 \mu\text{m}$

แหล่งที่อยู่อาศัย มักพบได้ในแหล่งน้ำพุร้อนทั่วไป ตามบริเวณพื้นห้องน้ำ ตะกอนดิน ที่อุณหภูมิประมาณ  $37-50^{\circ}\text{C}$

**14. *Gloeocapsa gelatinosa* Kützing** (ภาพ 15 ก 4, 15 ข 4)

เซลล์มีขนาดเล็ก มีรูปร่างกลม มีเมือกหุ้มหนา เซลล์มีสีเขียวแกมน้ำเงิน มักอยู่ร่วมกันเป็นกลุ่ม เซลล์มีขนาดประมาณ  $5-7 \mu\text{m}$

แหล่งที่อยู่อาศัย เซลล์มักอยู่ตามผิวดิน ขอบของแหล่งน้ำที่มีความชื้น น้ำกระเซ็นถึงหรืออยู่ใต้น้ำ ตามห้องน้ำ มักพบตามแหล่งน้ำพุร้อน ที่อุณหภูมิไม่เกิน  $50^{\circ}\text{C}$

**15. *Homoeothrix* sp.**

เซลล์มีลักษณะเป็นเส้นสาย ไม่แตกแขนง ไม่สร้างเยทเทอโรซิสต์ เซลล์บริเวณฐานมีความกว้างมากกว่า เซลล์ปกติ ขนาด  $6-8 \mu\text{m}$  ขอบเซลล์ไม่โถ้งร้าว มี sheath ขนาดเซลล์มีความกว้างมากกว่าความยาวประมาณ 2 เท่า โดยเซลล์มีความยาวประมาณ  $3-4 \mu\text{m}$  เส้นสายยาวทั้งหมดประมาณ  $30-50 \mu\text{m}$

แหล่งที่อยู่อาศัย เกาะอยู่บนก้อนหิน กรวด บางครั้งพบตามขอบบ่อ อุณหภูมิไม่สูงนักโดยอยู่ในช่วง  $30-40^{\circ}\text{C}$

**16. *Lyngbya majuscula* Harvey ex Gomont**

(ภาพ 16 ก 1, 16 ข 1)

เซลล์มีลักษณะเป็นเส้นสายขนาดใหญ่ มีสีน้ำตาลปนเขียว อยู่รวมกันเป็นจำนวนมาก เซลล์จะยาวตรงไม่เกิดการแตกแขนง เซลล์มีความกว้าง  $25-35 \mu\text{m}$  และยาวเพียง  $3-4 \mu\text{m}$  มีผนังเซลล์หนาและขยายเมื่อเวลาสัมผัส ผนังเซลล์ไม่เกิดการคัดเว้าเข้ามา ปลายเซลล์หรือปลายเส้นสายจะโค้งมน

แหล่งที่อยู่อาศัย เกาะตามก้อนหิน อยู่ที่น้ำใส หรือเกาะขอบธารน้ำร้อน แห่งน้ำร้อน ที่อุณหภูมิประมาณ  $35-45^\circ\text{C}$

**17. *Lyngbya perelegans* Lemmermann**

(ภาพ 16 ก 2, 16 ข 2)

เซลล์มีลักษณะเป็นเส้นสาย ยาวตรง เซลล์มีขนาดกว้าง  $2-2.5 \mu\text{m}$  มี sheath หุ้มใสไม่มีสี ผนังเซลล์ไม่เกิดการโค้งเว้า บริเวณปลายเซลล์เป็นรูปรี ยาว  $5-6 \mu\text{m}$

แหล่งที่อยู่อาศัย อยู่รวมกับสาหร่ายเส้นสาย หรือสาหร่ายตัวอื่น ๆ บริเวณก้อนหิน ท้องน้ำ เจริญได้ดีที่อุณหภูมิประมาณ  $30-45^\circ\text{C}$

**18. *Lyngbya* sp.**

(ภาพ 16 ก 3, 16 ข 3)

เซลล์มีขนาดเล็กมาก เส้นสายมีความยาวมาก ความกว้างและยาวของเซลล์มีขนาดใกล้เคียงกัน โดยมีขนาดประมาณ  $1.5-2.0 \mu\text{m}$  มี sheath หุ้มบาง ๆ เท่านี้ได้ชัดเจนเมื่อส่องด้วยกล้องจุลทรรศน์ เซลล์บริเวณปลายจะโค้งมน เซลล์มีสีเขียวจนถึงสีเขียวแกมน้ำเงิน

แหล่งที่อยู่อาศัย เกาะตามพื้นดิน ก้อนหิน พบร้าในช่วงอุณหภูมิกว้าง  $35-60^\circ\text{C}$

**19. *Merismopedia* sp.**

เซลล์มีขนาดประมาณ  $2-2.5 \mu\text{m}$  เซลล์เรียงกันเป็นระเบียบ บาง รวมกันเป็นโคลโนน มีจำนวนเซลล์ ตั้งแต่ 4 เซลล์ขึ้นไป จนถึง 100 เซลล์

แหล่งที่อยู่อาศัย ล่องลอยตามกระแสน้ำ อุณหภูมิที่พบอยู่ในช่วง  $30-35^\circ\text{C}$

**20. *Mastigocladus laminosus* Cohn**

(ภาพ 18 ก 3, 18 ข 3)

เซลล์มีลักษณะเป็นเส้นสาย เส้นสายเกิดการแตกแขนงรูปตัว V หรือเกิดการแตกแขนงอย่างแท้จริง มีเซลล์เขตเทอโรซิสต์ภายในเส้นสาย มีสีเขียวถึงเขียวแกมน้ำเงิน เซลล์มีขนาด  $4-8 \mu\text{m}$  เซลล์มีรูปร่างโค้งรี เซลล์มีการคัดเว้า เอทเทอโรซิสต์มีลักษณะกลม ขนาดกว้างกว่าเซลล์ปกติเล็กน้อย

แหล่งที่อยู่อาศัย เกาะตามพื้นดิน เกาะหินบริเวณน้ำใส ไม่แรงมาก หรือเกาะขอบฝั่ง อุณหภูมิประมาณ  $40-50^\circ\text{C}$

**21. *Onkonema compactum* Geitler**

(ภาพ 15 ก 5, 15 ข 5)

เซลล์มีลักษณะกลมหรือรูปร่างไม่แน่นอน อยู่รวมกันแน่นเป็นโคลนี เซลล์มีขนาด 2-3  $\mu\text{m}$  เซลล์มีเมือกบางใสหุ้ม

แหล่งที่อยู่อาศัย อยู่บริเวณตะกอนดิน ตามขอบฟ้า อาจจะพบปะปนอยู่กับสาหร่ายชนิดอื่น ๆ อุณหภูมิที่พบอยู่ในช่วง 35-45 °C

**22. *Oscillatoria chlorina* Kützing ex Gomont**

(ภาพ 16 ก 4, 16 ข 4)

เซลล์มีลักษณะเป็นเส้นสายขาว thallus ขาว เซลล์มีสีเขียว บางครั้งพบว่ามีสีเขียวเหลือง เซลล์ตรงหรือโค้งบ้างเล็กน้อย (อาจเป็นบริเวณปลายเซลล์) ผนังเซลล์ไม่เกิดการคอดเว้า เซลล์กว้าง 4-6  $\mu\text{m}$  ยาว 4-8  $\mu\text{m}$  เซลล์ไม่มี calyptra บริเวณปลายเซลล์

แหล่งที่อยู่อาศัย พบริเวณชาน้ำไว้ให้ กระแทกน้ำไม่ให้แรงมาก มักพบรวมอยู่กับสาหร่ายเส้นสายชนิดอื่น ๆ อุณหภูมิที่พบอยู่ในช่วง 40-50 °C

**23. *Oscillatoria limosa* Ag. Ex Gomont**

(ภาพ 16 ก 5, 16 ข 5)

เซลล์มีลักษณะเป็นเส้นสาย thallus มีสีเขียวคล้ำ เซลล์มีลักษณะยาวตรง สีเขียวเข้มหรือสีเขียวคล้ำ ผนังเซลล์ไม่เกิดการคอดเว้า เซลล์มีขนาดกว้าง 10-20  $\mu\text{m}$  และยาวประมาณ 2-5  $\mu\text{m}$  เซลล์ด้านปลายจะโค้งมน

แหล่งที่อยู่อาศัย อาศัยอยู่บริเวณน้ำนิ่ง ในแอ่งน้ำขัง หรือกระแทกน้ำให้ช้ำๆ อุณหภูมิที่พบประมาณ 30-45 °C

**24. *Oscillatoria sancta* (Kützing) Gomont**

(ภาพ 16 ก 6, 16 ข 6)

เซลล์มีลักษณะเป็นเส้นสาย thallus มีสีเขียวคล้ำ เซลล์มีลักษณะยาวตรง สีเขียวเข้มหรือสีเขียวคล้ำ ผนังเซลล์ไม่เกิดการคอดเว้า มีเมือกหุ้มบาง ๆ เซลล์มีขนาดกว้าง 10-20  $\mu\text{m}$  และยาวประมาณ 3-5  $\mu\text{m}$  เซลล์ เซลล์มีสีเขียวถึงเขียวคล้ำ

แหล่งที่อยู่อาศัย อยู่ตามแอ่งน้ำนิ่ง ๆ ลอยอยู่บนผิวน้ำ หรือเกาะขอบฟ้า อุณหภูมิที่พบอยู่ในช่วง 35-45 °C

**25. *Oscillatoria splendida* Grev. Ex Gomont**

(ภาพ 17 ก 1, 17 ข 1)

เซลล์มีลักษณะเป็นเส้นสาย เซลล์ยาวตรง ขนาดเล็ก โดยมีความกว้าง 2  $\mu\text{m}$  ยาว 3-5  $\mu\text{m}$  ผนังเซลล์ไม่เกิดการคอดเว้า ในบางครั้ง เซลล์ตรงปลายจะเกิดการโค้งงอ เซลล์บริเวณปลายมีลักษณะโค้งกลม ไม่มี calyptra บริเวณปลายเซลล์

แหล่งที่อยู่อาศัย เกาะติดกับท้องน้ำ อาศัยร่วมกับสาหร่ายเส้นสายชนิดอื่น ๆ อุณหภูมิที่พบอยู่ในช่วง 35-50 °C

**26. *Oscillatoria terebriformis* Ag.**

(ภาพ 16 ก 7, 16 ข 7)

เชลล์มีลักษณะเป็นเส้นสาย thallus มีสีเขียวคล้ำ เชลล์บริเวณปลายเกิดการโถ้งงอ ผนังเชลล์ไม่เกิดการคอดเวลา เชลล์มีขนาดกว้างประมาณ  $4-6 \mu\text{m}$  ยาว  $3-6 \mu\text{m}$  เชลล์ปลายเชลล์จะกลมไม่มี calyptra บริเวณปลายเชลล์

แหล่งที่อยู่อาศัย อาศัยอยู่ร่วมกับ สาหร่ายเส้นสายชนิดอื่น ๆ อยู่บริเวณท้องน้ำ กระแสน้ำไหลช้า อุณหภูมิประมาณ  $45-55^{\circ}\text{C}$

**27. *Oscillatoria willei* Gardner em. Drouet**

(ภาพ 17 ก 2, 17 ข 2)

เชลล์มีลักษณะเป็นเส้นสาย thallus มีสีเขียวถึงเขียวแกมน้ำเงิน เชลล์จะโถ้งงอ มีขนาดเล็ก ความกว้างประมาณ  $3-4 \mu\text{m}$  ยาว  $4-5 \mu\text{m}$  ผนังเชลล์ไม่เกิดการคอดเวลา

แหล่งที่อยู่อาศัย อยู่บนผัตตินที่ซึ่นและ น้ำแข็ง ในแอ่งน้ำนิ่ง หรือบางครั้งพบตามแหล่งน้ำที่กระแสน้ำไหลช้า อุณหภูมิที่พบอยู่ในช่วง  $40-50^{\circ}\text{C}$

**28. *Phormidium boryanum* (Bory ex Gom.) - Anagn. Et Kom.** (ภาพ 17 ก 3, 17 ข 3)

เชลล์มีลักษณะเป็นเส้นสาย thallus มีสีเขียวเข้มถึงเขียวคล้ำ เชลล์มีการโถ้งงอ หรือเป็นเกลียว โดยอาจจะเป็นทั้งเส้นสายหรือเชลล์บริเวณปลายเส้นสาย ปลายเชลล์จะแหลม อยู่ร่วมกันแน่นเป็น thallus เชลล์มีความกว้าง  $7-10 \mu\text{m}$  ยาวประมาณ  $3-5 \mu\text{m}$  ผนังเชลล์มีการคอดเวลาเล็กน้อย

แหล่งที่อยู่อาศัย thallus สามารถเจริญได้ในแหล่งน้ำพื้นที่มีกระแสน้ำเร็วหรือนิ่งได้ โดยจะเกาะกับพื้นดิน หิน โดยไม่ไหลไปตามกระแสน้ำได้ พบรนาที่อุณหภูมิ  $50-60^{\circ}\text{C}$

**29. *Phormidium laminosum* Gomont**

เชลล์มีลักษณะเป็นเส้นสาย thallus มีสีเขียวถึงเขียวแกมน้ำเงิน เส้นสายมีลักษณะเหยียดตรง มี sheath หุ้มบาง ๆ เชลล์ไม่เกิดการคอดเวลา เชลล์มีขนาดกว้าง  $1-1.5 \mu\text{m}$  ยาว  $3-4 \mu\text{m}$  ปลายเชลล์จะโถ้งนนหรือบางครั้งเชลล์จะแหลม ไม่มี calyptra บริเวณปลายเชลล์

แหล่งที่อยู่อาศัย อยู่บนพื้นดินเกาะกับหิน ดิน พบรนาที่น้ำร้อน หรือเกาะขอบบ่อ อุณหภูมิที่พบอยู่ในช่วง  $40-50^{\circ}\text{C}$

**30. *Pseudanabaena catenata* Lauterborn**

(ภาพ 17 ก 5, 17 ข 5)

เชลล์มีลักษณะเป็นเส้นสาย ไม่แตกแขนง ผนังเชลล์เกิดการคอดเวลา เชลล์มีรูปร่างโถ้งมน บริเวณปลายเชลล์ จะมี terminal aerotopes เชลล์มีความกว้าง  $3-5 \mu\text{m}$  ยาว  $4-5 \mu\text{m}$  เชลล์มีสีเขียวอ่อนถึงเขียวแกมน้ำเงิน

แหล่งที่อยู่อาศัย พบรนาที่น้ำร้อน บริเวณขอบบ่อ มักอยู่ร่วมกับสาหร่ายชนิดอื่น ๆ อุณหภูมิที่พบอยู่ในช่วง  $35-50^{\circ}\text{C}$

**31. *Pseudanabaena galeata* sensu Anagnostidis**

(ภาพ 17 ก 4, 17 ข 4)

เซลล์มีลักษณะเป็นเส้นสาย ไม่แตกแขนง ผนังเซลล์เกิดการคอดเว้า เซลล์มีรูปร่างทรงกระบอกโถ้งมน บริเวณปลายเซลล์มี terminal aerotopes เซลล์มีความกว้าง 2-3  $\mu\text{m}$  ยาว 3-4  $\mu\text{m}$  แหล่งที่อยู่อาศัย พบน้ำพื้นท้องน้ำ บริเวณขอบบ่อ น้ำกระเซ็นถึง อุณหภูมิที่พบอยู่ในช่วง 35-50°C

**32. *Rivularia dura* Roth**

เซลล์มีลักษณะเป็นเส้นสาย ปลายเซลล์มีเยಥเทอโรซิสต์ มี sheath บาง ๆ หุ้ม thallus แข็ง และหนา เส้นสายจะอยู่รวมกันอย่างหนาแน่น เซลล์มีความกว้าง 4-8  $\mu\text{m}$  เซลล์บริเวณฐานมีขนาดใหญ่กว่าเซลล์ปกติเล็กน้อย เซลล์มีสีเขียวแกมน้ำเงินหรือเขียวเข้ม แหล่งที่อยู่อาศัย พบน้ำพื้นดิน หิน เกาะชีเมนต์ อุณหภูมิที่พบอยู่ในช่วง 35-42 °C

**33. *Scytonema coactile* Mont.**

(ภาพ 18 ก 4, 18 ข 4)

เซลล์มีลักษณะเป็นเส้นสาย มี sheath หุ้มหนา ภายใน มีเซลล์เยಥเทอโรซิสต์ มีการแตกแขนงแบบไม่แท้จริง (false branching) อยู่รวมกันเป็น thallus มีสีเขียวหรือเขียวแกมน้ำเงิน มีขนาดประมาณ 12-20  $\mu\text{m}$  เซลล์อาจยาวถึง 4  $\mu\text{m}$  หรือมากกว่านั้น แหล่งที่อยู่อาศัย พบน้ำพื้นดิน หิน ที่น้ำท่วมถึง และพบน้ำไวหลัง ขอบบ่อ อุณหภูมิประมาณ 35-45 °C

**34. *Scytonema mirabile* (Dillw.) Born.**

(ภาพ 18 ก 5, 18 ข 5)

เซลล์มีลักษณะเป็นเส้นสาย มี sheath หุ้มหนา ภายในมีเซลล์เยಥเทอโรซิสต์ มีการแตกแขนงแบบไม่แท้จริง (false branching) อยู่รวมกันเป็น thallus มีสีเขียวหรือเขียวแกมน้ำเงิน มีขนาดประมาณ 6-12  $\mu\text{m}$  ความยาวทั้งเส้นสายอาจยาวถึง 1-1.2 cm.

แหล่งที่อยู่อาศัย พบน้ำพื้นดิน, หิน แผ่กระจายเป็นบริเวณกว้าง อุณหภูมิประมาณ 35-45 °C

**35. *Symploca thermalis* (Kützing) Gomont**

(ภาพ 17 ก 6, 17 ข 6)

เซลล์มีลักษณะเป็นเส้นสาย อยู่รวมกันหนาแน่น ผนังเซลล์อาจมีการคอดเว้า เซลล์มีสีเขียวอ่อนถึงเขียว เซลล์มีความกว้าง 1-2  $\mu\text{m}$  ยาว 2-5  $\mu\text{m}$  ปลายเซลล์กลม แหล่งที่อยู่อาศัย พบน้ำร้อนขอบบ่อ มักอยู่รวมกับสาหร่ายชนิดอื่น ๆ

**36. *Synechococcus bigranulatus* Skuja**

(ภาพ 15 ก 6, 15 ข 6)

เซลล์มีรูปร่างเป็นแท่งสั้น ๆ ปลายมน เซลล์มีสีเขียวอ่อนจนถึงเขียวแกมน้ำเงิน เซลล์มีขนาดเล็ก ประมาณ  $3-9 \times 1.5-3 \mu\text{m}$

แหล่งที่อยู่อาศัย มักจะอยู่รวมกันเป็นบริเวณกว้าง (mat) บนดิน, หิน พบน้ำที่อุณหภูมิประมาณ 50-70 °C

**37. *Synechococcus lividus* Copeland**

(ภาพ 15 ก 7, 15 ข 7)

เซลล์มีรูปร่างเป็นแท่งสั้น ๆ ปลายมน ตรงหรืออาจโค้ง เซลล์มีสีเขียวจนถึงเขียวแกมน้ำเงิน มีขนาด  $5-15 \times 1-3 \mu\text{m}$

แหล่งที่อยู่อาศัย ตามพื้นดิน เกาะอยู่ตามก้อนหิน ในแอ่งน้ำ บ่อน้ำร้อน พบรากที่อุณหภูมิประมาณ  $50^{\circ}\text{C}$

**38. *Synechococcus* sp.**

(ภาพ 15 ก 8, 15 ข 8)

เซลล์มีรูปร่างเป็นแท่งสั้น ๆ ปลายมน คล้ายกับทรงกระบอกสั้น ๆ อาจอยู่เดี่ยว ๆ แต่โดยปกติพบอยู่เป็นคู่ ๆ (กำลังแบ่งเซลล์ แต่ยังไม่แยกออกจากกัน) เซลล์มีสีเขียวคล้ำจนถึงสีน้ำตาล เซลล์มีขนาด  $5-7 \times 8-10 \mu\text{m}$

แหล่งที่อยู่อาศัย เจริญเป็นบริเวณกว้างตามพื้นท้องน้ำ บ่อน้ำร้อนที่อุณหภูมิสูง (เจริญได้ที่อุณหภูมิ  $60-75^{\circ}\text{C}$ )

**39. *Synechocystis minuscula* Voronichin**

เซลล์มีรูปร่างกลมมน มีเมือกหุ้มอยู่บาง ๆ มักอยู่เดี่ยว ๆ หรือเป็นคู่ (แบ่งเซลล์แต่ยังไม่แยกออกจากกัน) เซลล์มีขนาด  $2-3 \mu\text{m}$

แหล่งที่อยู่อาศัย อาศัยอยู่ตามพื้นท้องน้ำ มักพบในแหล่งน้ำพุร้อนที่เป็นค้าง เจริญได้ดีที่อุณหภูมิ  $40-50^{\circ}\text{C}$

**Division Bacillariophyta (ไครอะตอน)****1. *Achnanthes exigua* Grunow**

(ภาพ 19 ก 1, 19 ข 1, 21(1))

เซลล์เป็นรูปสี่เหลี่ยมผืนผ้า เมื่อมองจากด้านข้าง (girdle view) และเป็นรูปไข่เมื่อมองจากด้านฝา (valve view) ปลายเซลล์ทั้งสองมีส่วนที่ขึ้นออกมากและรูปร่างกลม เห็นลวดลายบนฝาเป็นเด็นพาดกลางชัดเจน เซลล์มีความกว้าง  $5-10 \mu\text{m}$  ยาว  $8-20 \mu\text{m}$

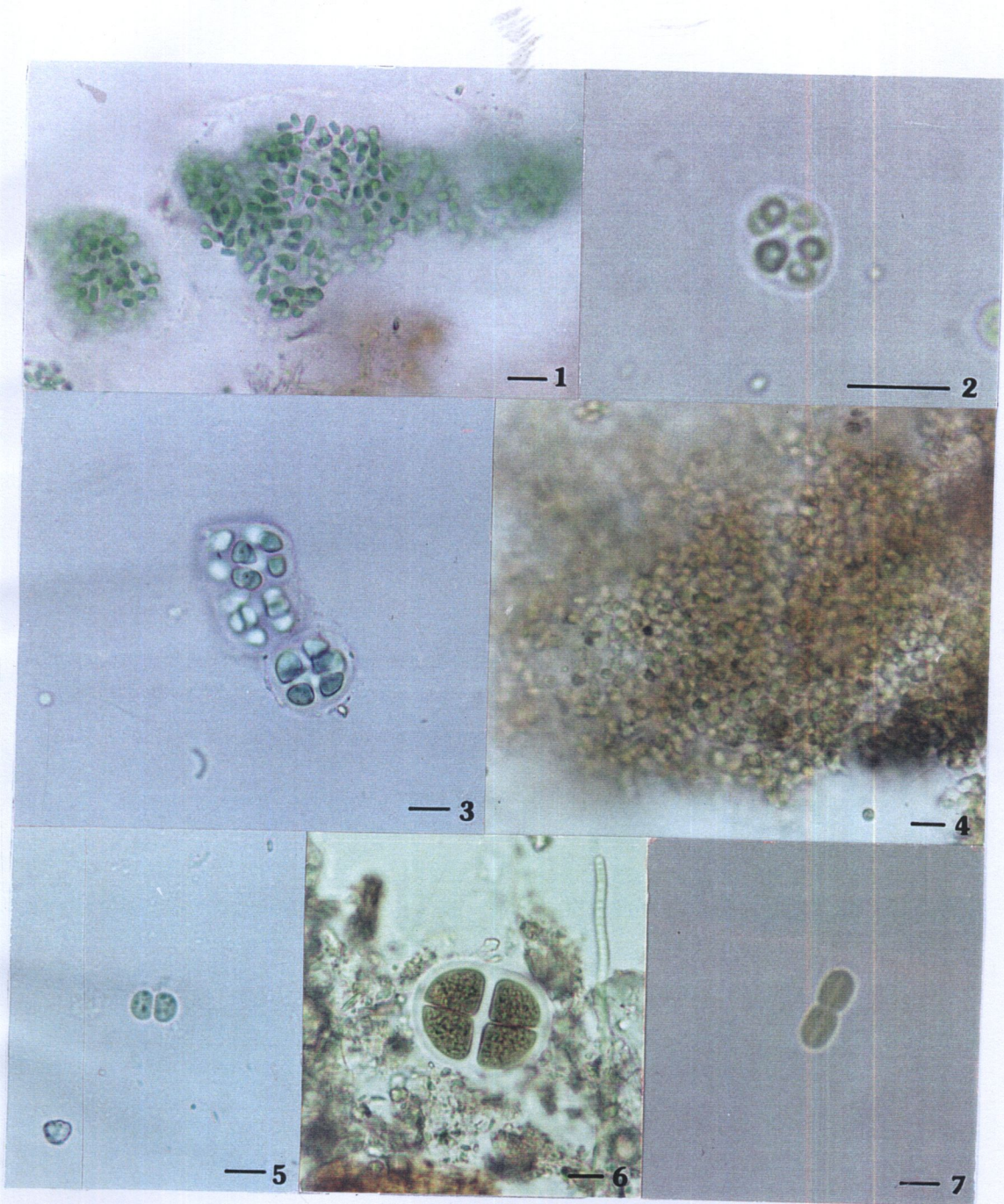
แหล่งที่อยู่อาศัย พบร้าไดตามพื้นท้องน้ำ และบนก้อนหิน อุณหภูมิที่พบรอยู่ในช่วง  $20-50^{\circ}\text{C}$

**2. *Achnanthes lanceolata* (Brébisson) Grunow**

(ภาพ 19 ก 2, 19 ข 2)

เมื่อมองจากด้านฝา เซลล์เป็นรูปไข่ปลายทั้งสองด้านมนกลางเซลล์ป่องเล็กน้อย บริเวณกลางฝาด้านใดด้านหนึ่งเป็นส่วนที่ใส (horseshoe – shaped mark) ความถี่ของ striae ต่อ  $10 \mu\text{m}$  เท่ากับ 11 striae เซลล์มีความยาว  $8-40 \mu\text{m}$  กว้าง  $4-10 \mu\text{m}$

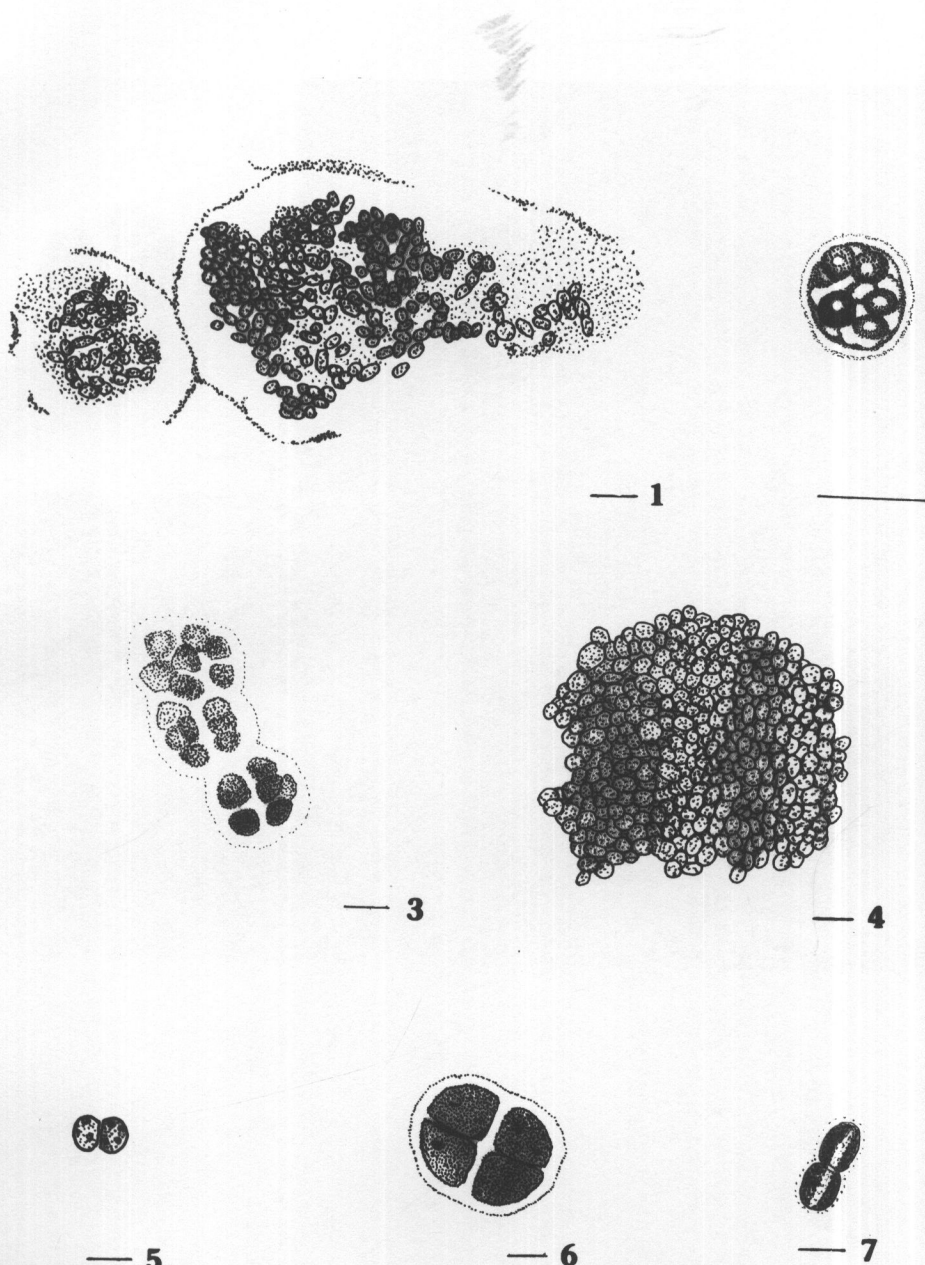
แหล่งที่อยู่อาศัย พบร้าไดตามพื้นท้องน้ำ เกาะหิน อุณหภูมิที่พบรอยู่ในช่วง  $20-48^{\circ}\text{C}$



scale bar = 10  $\mu\text{m}$

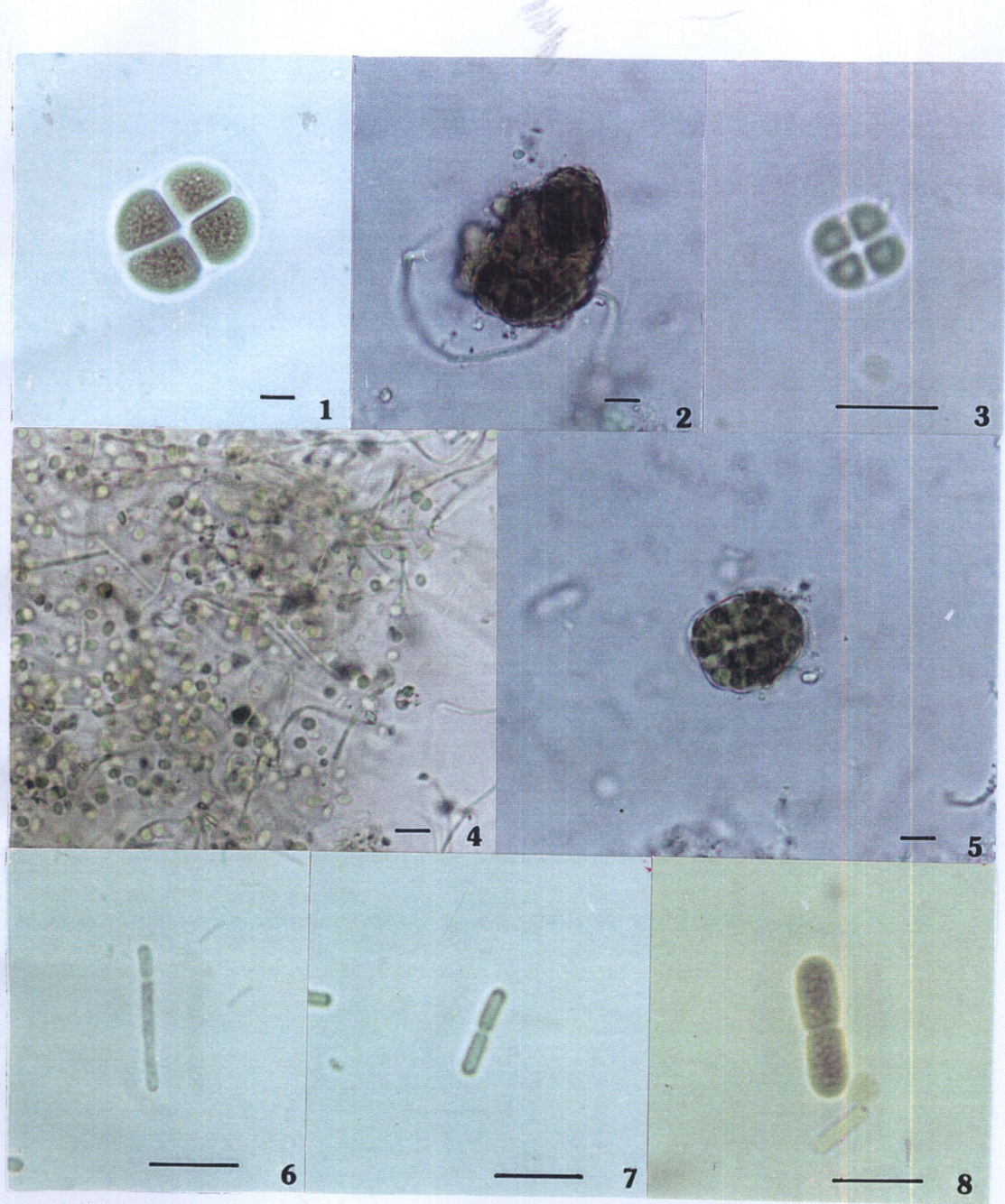
ภาพ 14 ๑ สาหร่ายสีเขียวแกมน้ำเงินที่พบในน้ำพุร้อนบางแหล่งในเขตภาคเหนือตอนบนทั้ง ๙ แห่ง

(1-7) Cyanophyta : Chroococcales, (1) *Aphanothecce bullosa* (Meneghini) Rabenhorst, (2) *Chroococcidiopsis thermalis* Geitler, (5) *Chroococcus globosus* (Elenkin) Hindák, (4) *Chroococcus minor* (Kützing) Nägeli, (3) *Chroococcus minutus* (Kützing) Nägeli, (6) *Chroococcus thermalis* (Meneghini) Kováčik, (7) *Cyanobacterium minervae* (Copeland) Komarek

scale bar = 10  $\mu\text{m}$ 

ภาพ 14 ช ภาพวัตถุทางร่ายสีเขียวแกมน้ำเงินที่พบในน้ำพื้นบ้างแหล่ง ในเขตภาคเหนือตอนบน  
ทั้ง 9 แหล่ง

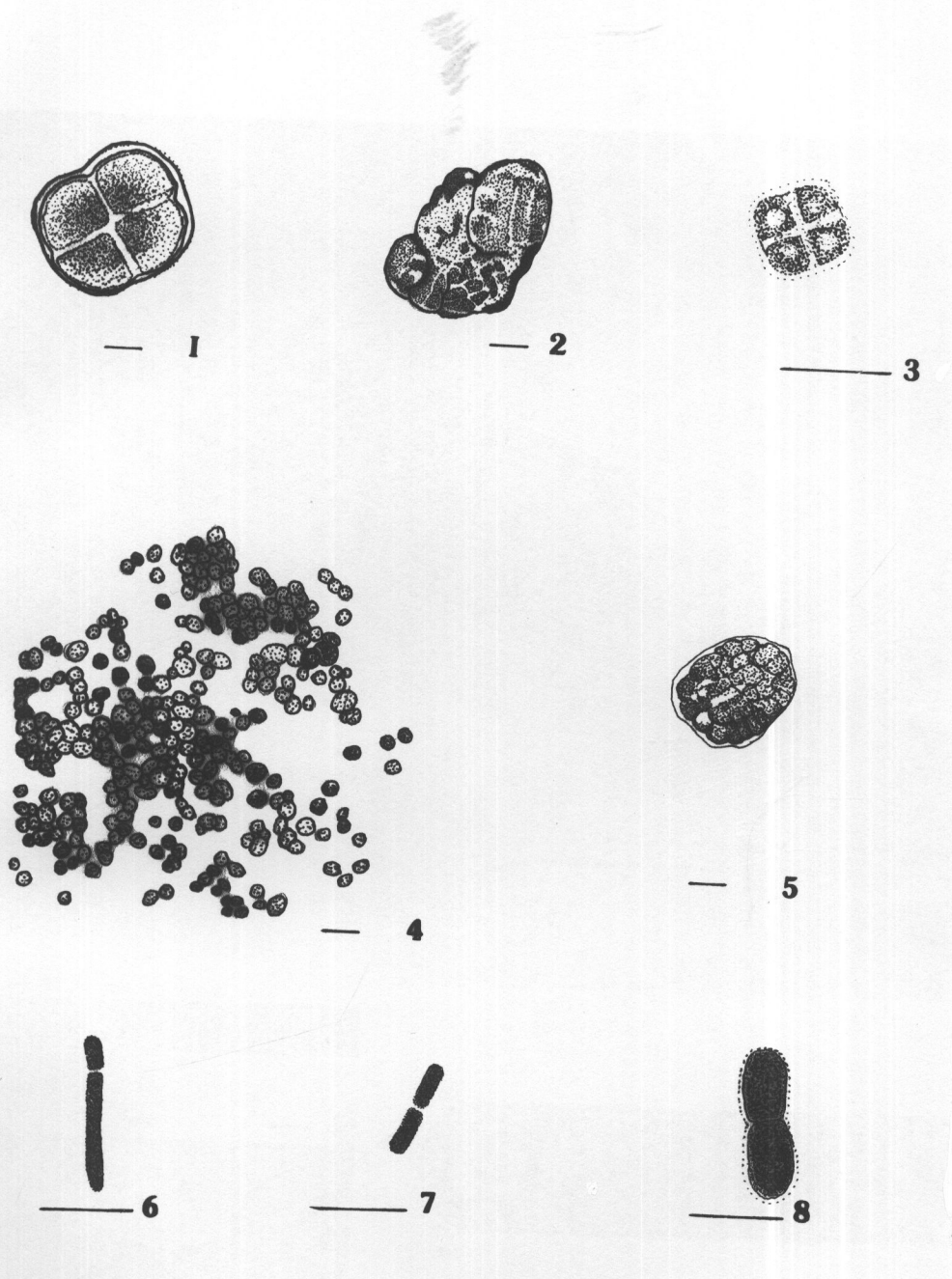
(1-7) Cyanophyta : Chroococcales; (1) *Aphanothece bullosa* (Meneghini) Rabenhorst, (2) *Chroococcidiopsis thermalis* Geitler, (5) *Chroococcus globosus* (Elenkin) Hindák, (4) *Chroococcus minor* (Kützing) Nägeli, (3) *Chroococcus minutus* (Kützing) Nägeli, (6) *Chroococcus thermalis* (Meneghini) Kováčik, (7) *Cyanobacterium minervae* (Copeland) Komarek



scale bar = 10  $\mu\text{m}$

ภาพ 15 ก สาหร่ายสีเขียวแกมน้ำเงินที่พบในน้ำพุร้อนบางแหล่ง ในเขตภาคเหนือตอนบนทั้ง 9 แหล่ง

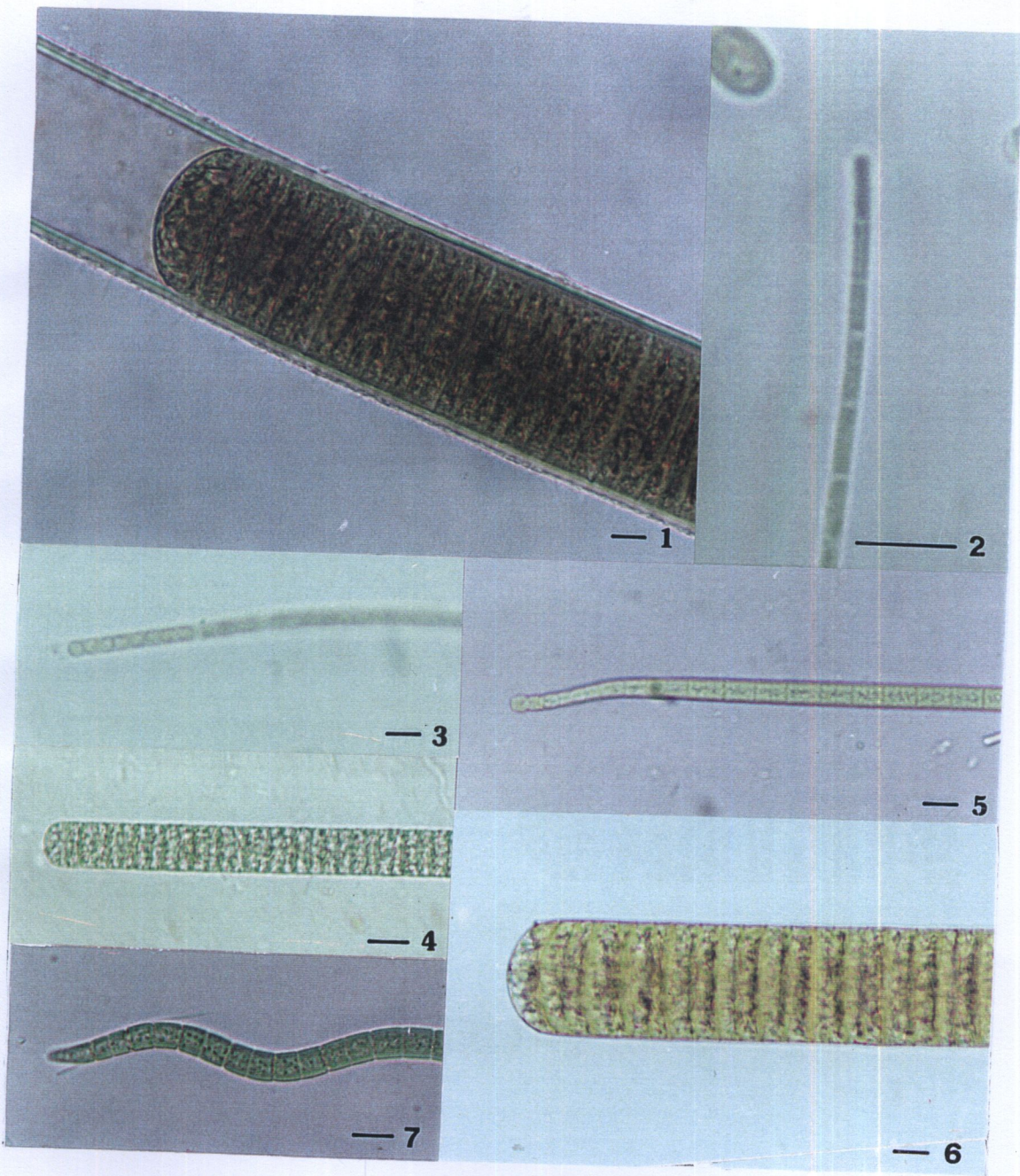
(1-8) Cyanophyta : Chroococcales , (1) *Cyanosarcina gelatinosa* (Emoto et Yoneda) Kováčik, (2) *Cyanosarcina spectabilis* (Geitler) Kováčik, (3) *Cyanosarcina thermalis* (Hindák) Kováčik, (4) *Gloeocapsa gelatinosa* Kützing, (5) *Onkonema compactum* Geitler, (6) *Synechococcus bigranulatus* Skuja, (7) *Sy. lividus* Copeland, (8) *Synechococcus* sp.



scale bar = 10  $\mu\text{m}$

ภาพ 15 ช ภาพวัวดสาหร่ายสีเขียวแกมน้ำเงินที่พบในน้ำพุร้อนบางแหล่งในเขตภาคเหนือตอนบน  
ทั้ง 9 แหล่ง

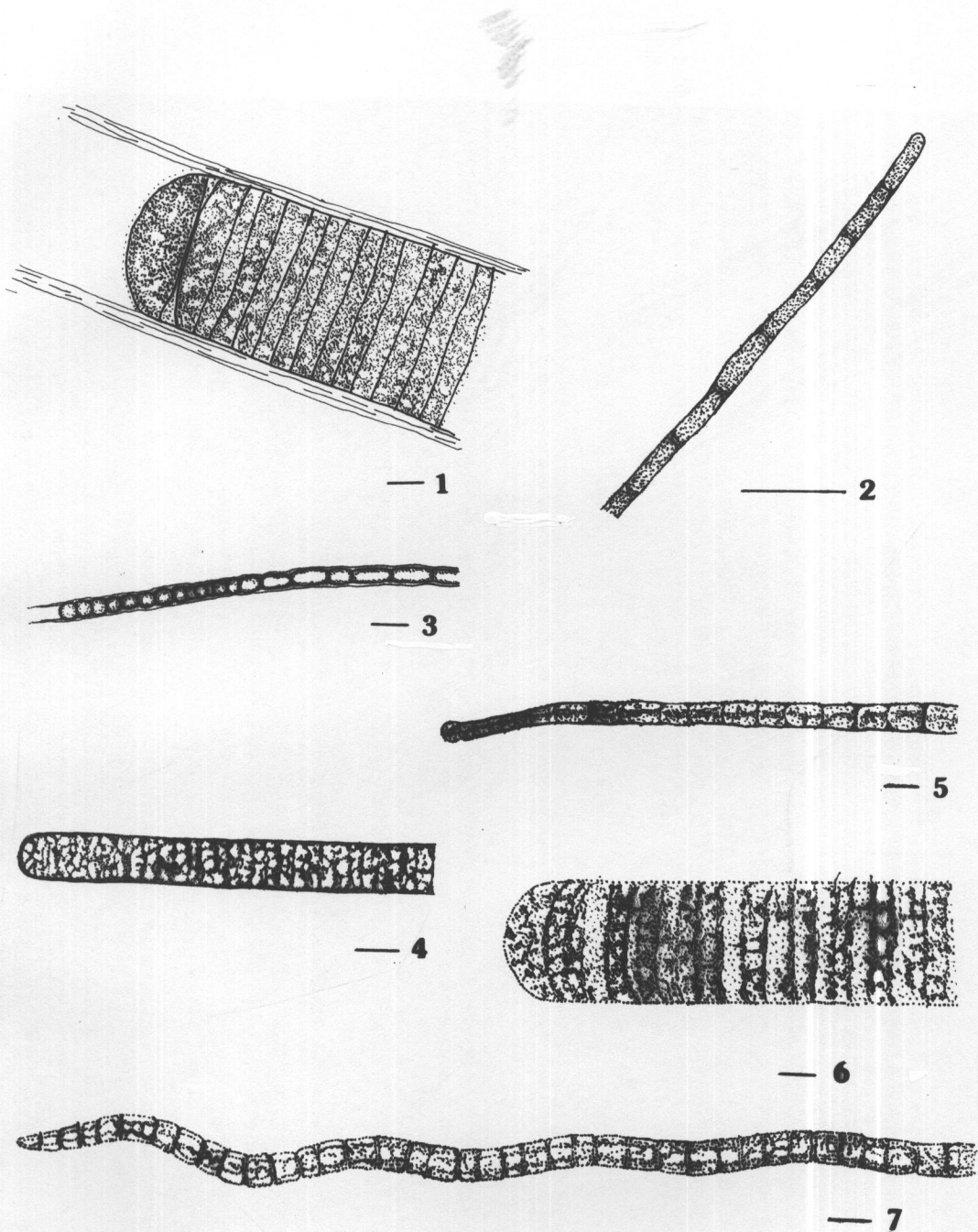
(1-8) Cyanophyta : Chroococcales; (1) *Cyanosarcina gelatinosa* (Emoto et Yoneda) Kováčik, (2) *Cyanosarcina spectabilis* (Geitler) Kováčik, (3) *Cyanosarcina thermalis* (Hindák) Kováčik, (4) *Gloeocapsa gelatinosa* Kützing, (5) *Onkonema compactum* Geitler, (6) *Synechococcus bigranulatus* Skuja, (7) *Sy. lividus* Copeland, (8) *Synechococcus* sp.



scale bar = 10  $\mu\text{m}$

ภาพ 16 ก สาหร่ายสีเขียวแกมน้ำเงินที่พบในน้ำพุร้อนบางแหล่งในเขตภาคเหนือตอนบนทั้ง 9 แหล่ง

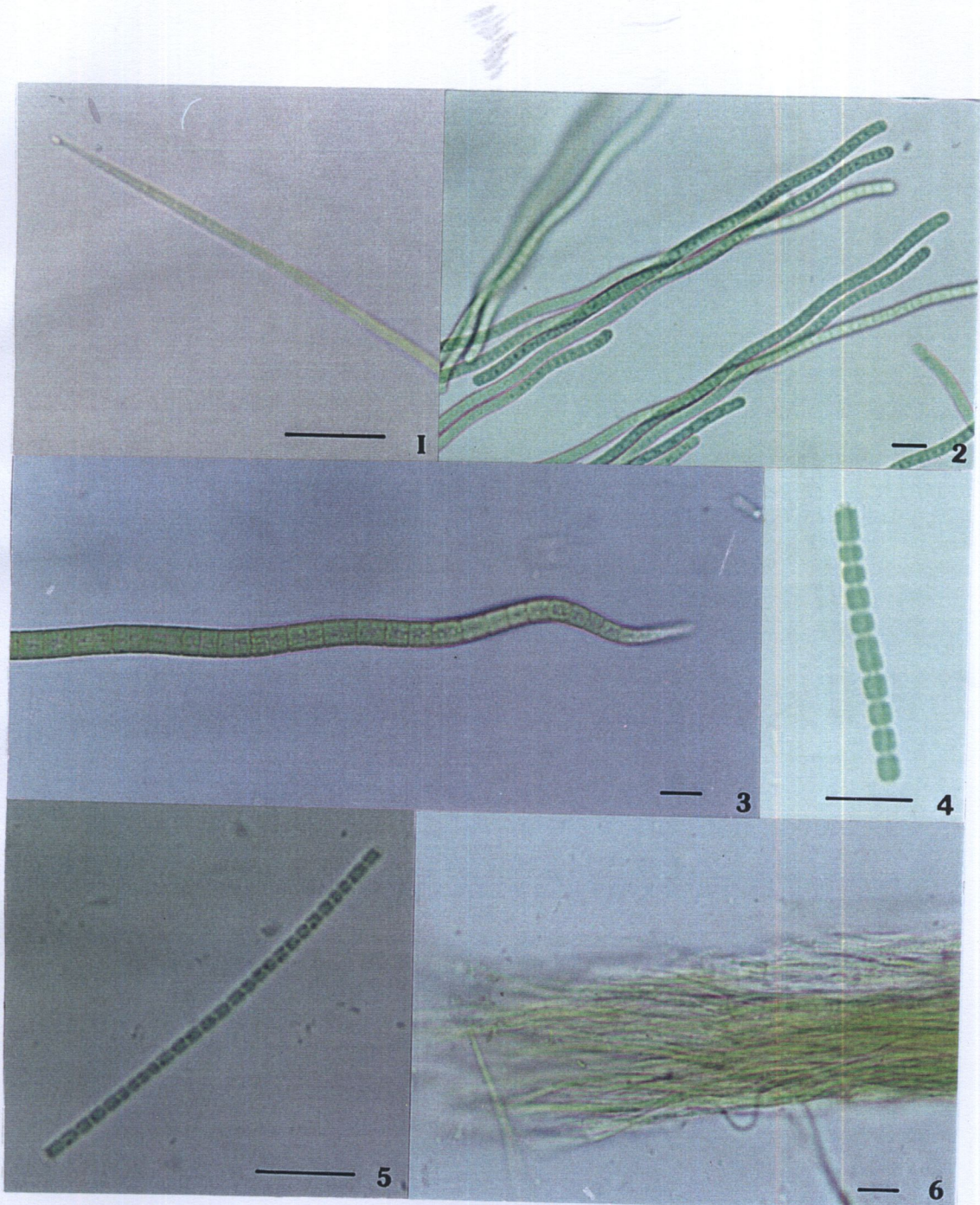
(1-7) Cyanophyta : Oscillatoriales; (1) *Lyngbya majuscula* Harvey ex Gomont, (2) *Lyngbya parelegans* Lemmermann, (3) *Lyngbya* sp., (4) *Oscillatoria chlorina* Kützing ex Gomont, (5) *Oscillatoria limosa* Ag. Ex Gomont, (6) *Oscillatoria sancta* (Kützing) Gomont, (7) *Oscillatoria terebriformis* Ag.



scale bar = 10  $\mu\text{m}$

ภาพ 16 ฯ ภาพวัวดสาหร่ายสีเขียวแกมน้ำเงินที่พับในน้ำพุร้อนบางแหล่ง ในเขตภาคเหนือตอนบน  
ทั้ง 9 แหล่ง

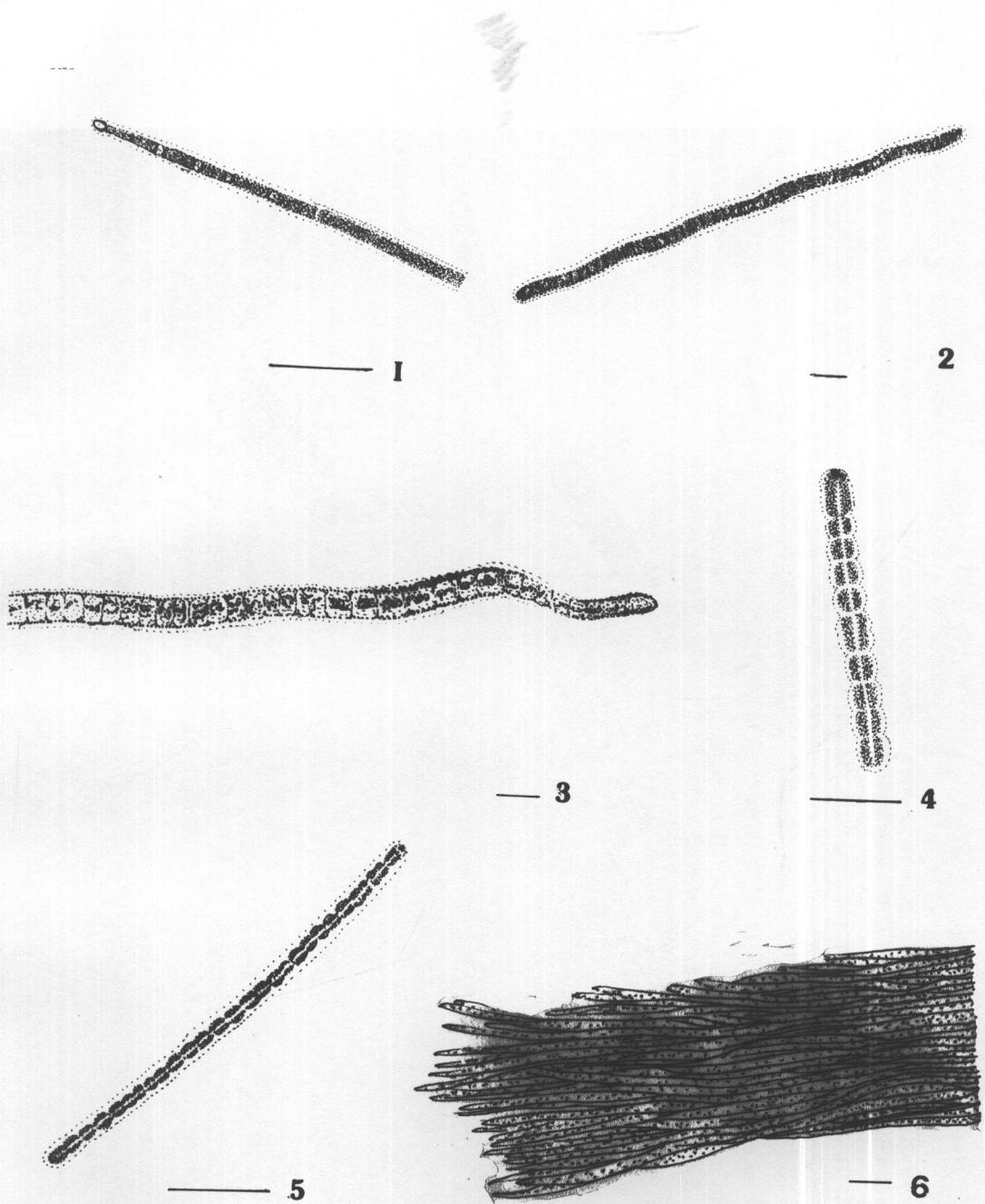
(1-7) Cyanophyta : Oscillatoriales; (1) *Lyngbya majuscula* Harvey ex Gomont, (2) *Lyngbya parelegans* Lemmermann, (3) *Lyngbya* sp., (4) *Oscillatoria chlorina* Kützing ex Gomont, (5) *Oscillatoria limosa* Ag. Ex Gomont, (6) *Oscillatoria sancta* (Kützing) Gomont, (7) *Oscillatoria terebriformis* Ag.



scale bar = 10  $\mu\text{m}$

ภาพ 17 ก สาหร่ายสีเขียวแกมน้ำเงินที่พบในน้ำพุร้อนบางแหล่งในเขตภาคเหนือตอนบนทั้ง 9 แห่ง

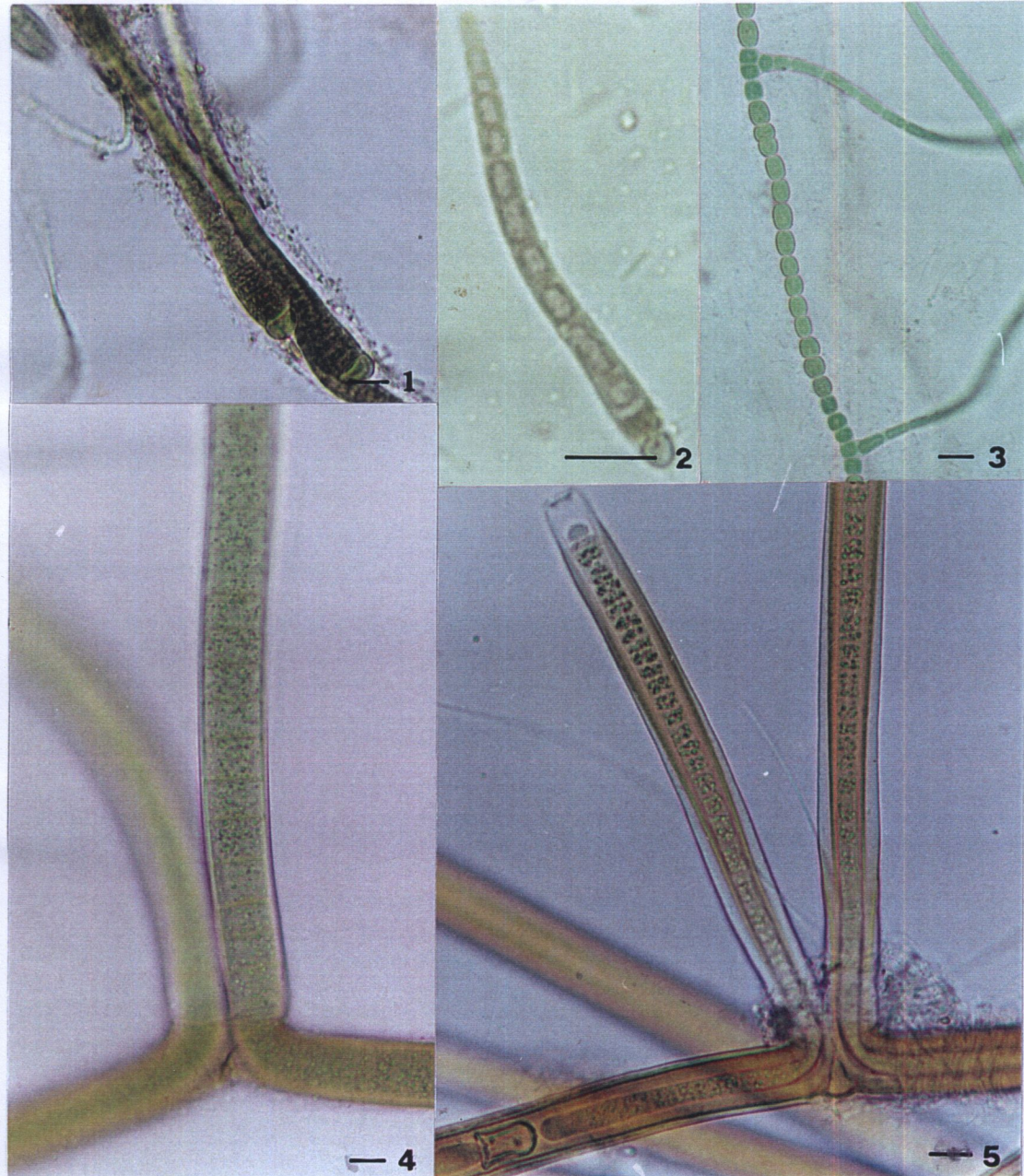
(1-6) Cyanophyta : Oscillatoriales; (1) *Oscillatoria splendida* Grev. Ex Gomont, (2) *Oscillatoria willei* Gardner em. Drouet, (3) *Phormidium boryanum* (Bory ex Gom.) - Anagn. Et Kom., (4) *Pseudanabaena galeata* sensu Anagnostidis, (5) *Pseudanabaena catenata* Lauterborn, (6) *Symploca thermalis* (Kützing) Gomont



scale bar = 10 µm

ภาพ 17 ช ภาพวัวดสาหร่ายสีเขียวแกมน้ำเงินที่พันในน้ำพร้อมบางแหล่งในเขตภาคเหนือตอนบน  
ทั้ง 9 แหล่ง

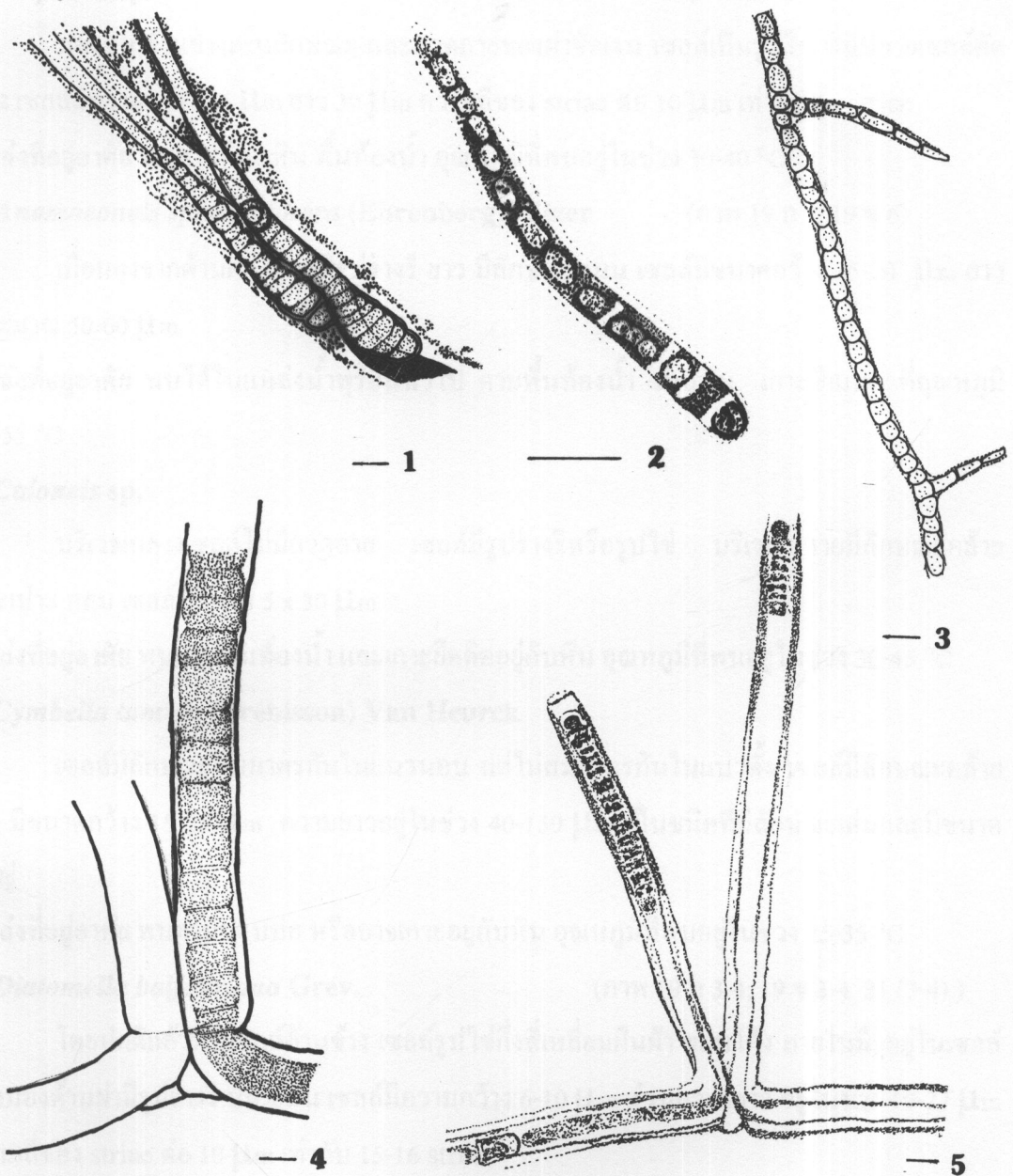
(1-6) Cyanophyta : Oscillatoriales; (1) *Oscillatoria splendida* Grev. Ex Gomont, (2) *Oscillatoria willei* Gardner em. Drouet, (3) *Phormidium boryanum* (Bory ex Gom.) - Anagn. Et Kom., (4) *Pseudanabaena galeata* sensu Anagnostidis, (5) *Pseudanabaena catenata* Lauterborn, (6) *Symploca thermalis* (Kützing) Gomont



scale bar = 10  $\mu\text{m}$

ภาพ 18 ก สาหร่ายสีเขียวแกมน้ำเงินที่พบในน้ำพุร้อนบางแหล่งในเขตภาคเหนือตอนบนทั้ง ๙ แห่ง

(1-2) Cyanophyta : Nostocales; (1) *Calothrix* sp., (2) *Calothrix thermalis* (Schmidle) Hansg., (3) Cyanophyta : Stigonematales; *Mastigocladus laminosus* Cohn, (4-5) Cyanophyta : Nostocales; (4) *Scytonema coactile* Mont., (5) *Scytonema mirabile* (Dillw.) Born.



scale bar = 10  $\mu\text{m}$

ภาพ 18 ข ภาพวัวดสาหร่ายสีเขียวแกมน้ำเงินที่พนในน้ำพุร้อนบางแหล่งในเขตภาคเหนือตอนบน  
ทั้ง 9 แหล่ง

(1-2) Cyanophyta : Nostocales; (1) *Calothrix* sp., (2) *Calothrix thermalis* (Schmidle)  
Hansg., (3) Cyanophyta : Stigonematales; *Mastigocladus laminosus* Cohn, (4-5)  
Cyanophyta : Nostocales; (4) *Scytonema coactile* Mont., (5) *Scytonema mirabile*  
(Dillw.) Born.

**3. *Amphora* sp.**

(ภาพ 21-2)

มองจากด้านข้างเห็นลักษณะ และลวดลายของฝาชั้ดเงิน เซลล์เป็นรูปไข่ ที่มีปลายเซลล์ตัดตรง เซลล์มีความกว้าง 15  $\mu\text{m}$  ยาว 30  $\mu\text{m}$  ความถี่ของ striae ต่อ 10  $\mu\text{m}$  เท่ากับ 15 striae แหล่งที่อยู่อาศัย พนตามก้อนหิน พื้นท้องน้ำ อุณหภูมิที่พบอยู่ในช่วง 30-40 °C

**4. *Anomoeoneis sphaerophora* (Ehrenberg) Pfitzer** (ภาพ 19 ก 6, 19 ข 6)

เมื่อมองจากด้านฝ่า เซลล์มีรูปร่างรี ยาว มีลักษณะแบน เซลล์มีขนาดกว้าง 15-20  $\mu\text{m}$  ยาว ประมาณ 50-60  $\mu\text{m}$

แหล่งที่อยู่อาศัย พนได้ในแหล่งน้ำพุร้อนทั่วไป ตามพื้นท้องน้ำ ขอบหิน เกาะซีเมนต์ ที่อุณหภูมิ 30-55 °C

**5. *Caloneis* sp.**

บริเวณกลางเซลล์ไม่มีลวดลาย เซลล์มีรูปร่างรีหรือรูปไข่ บริเวณปลายมีลักษณะคล้ายกระเบ้า กลม เซลล์มีขนาด 5 x 30  $\mu\text{m}$

แหล่งที่อยู่อาศัย พนตามพื้นท้องน้ำ และเกาะชีดติดอยู่กับหิน อุณหภูมิที่พบอยู่ในช่วง 30-45 °C

**6. *Cymbella tumida* (Brébisson) Van Heurck**

เซลล์มีลักษณะสมมาตรกันในแนวนอน แต่ไม่สมมาตรกันในแนวตั้ง เซลล์มีลักษณะคล้ายเรือ มีขนาดกว้าง 15-25  $\mu\text{m}$  ความยาวอยู่ในช่วง 40-150  $\mu\text{m}$  เป็นชนิดที่มีลักษณะเด่นและมีขนาดใหญ่

แหล่งที่อยู่อาศัย พนตามขอบบ่อ หรืออาจเกาะอยู่กับหิน อุณหภูมิที่พบอยู่ในช่วง 25-35 °C

**7. *Diatomella balfouriana* Grev.** (ภาพ 19 ก 3-4, 19 ข 3-4, 21 (3-4))

โดยปกติแล้วพนเซลล์ด้านข้าง เซลล์รูปไข่กึ่งสี่เหลี่ยมผืนผ้า ขอบโถ้ง ภายในมีรูอยู่ในเซลล์ เมื่อมองด้านฝ่ามีรูปร่างรี ปลายมน เซลล์มีความกว้าง 6-10  $\mu\text{m}$  ส่วนความยาว อยู่ในช่วง 19-27  $\mu\text{m}$  ความถี่ของ striae ต่อ 10  $\mu\text{m}$  เท่ากับ 15-16 striae

แหล่งที่อยู่อาศัย เป็น species เด่นที่พบในน้ำพุร้อนทุกแหล่ง พนตามพื้นท้องน้ำ เกาะบนก้อนหิน เจริญได้ในที่ที่มีน้ำไหลและน้ำนิ่ง อุณหภูมิที่พบอยู่ในช่วง 30-50 °C

**8. *Diploneis elliptica* (Kützing) Cleve** (ภาพ 19 ก 5, 19 ข 5)

เซลล์มีรูปไข่ปลายเซลล์ทั้งสองด้านกลมขอบโถ้ง เซลล์กว้าง 10-15  $\mu\text{m}$  ความยาวอยู่ในช่วง 25-30  $\mu\text{m}$  ความถี่ของ striae ต่อ 10  $\mu\text{m}$  เท่ากับ 10-12 striae

แหล่งที่อยู่อาศัย พนตามพื้นท้องน้ำ เกาะบนหิน เกาะขอบฝั่ง หรือเกาะอยู่กับซีเมนต์ อุณหภูมิที่พบอยู่ในช่วง 30-48 °C

### **9. *Epithemia zebra* ( Ehrenberg) Kützing**

เซลล์มีรูปรี ปลายทิ้งสองมน เซลล์มีขนาดความกว้าง  $10-12 \mu\text{m}$  ความยาวอยู่ในช่วง  $30-50 \mu\text{m}$

แหล่งที่อยู่อาศัย พบริเวณขอบบ่อ เกาะก้อนหิน อุณหภูมิที่พบอยู่ในช่วง  $25-42^\circ\text{C}$

### **10. *Fragilaria* sp. (ภาพ 19 ก 12, 19 ข 12)**

รูปร่างเรียวยาว ปลายทิ้งสองข้างรูปร่างคล้ายกระเบ้า บริเวณกึ่งกลางเซลล์ไม่มีลวดลาย เซลล์มีขนาดความกว้าง  $8-10 \mu\text{m}$  ความยาว  $100 \mu\text{m}$

แหล่งที่อยู่อาศัย ล่องลอยตามกระแสน้ำ เกาะอยู่กับหิน เกาะขอบบ่อ อุณหภูมิอยู่ในช่วง  $25-35^\circ\text{C}$

### **11. *Gomphonema gracile* Ehrenberg (ภาพ 19 ก 8, 19 ข 8)**

เซลล์มีรูปรี ปลายทิ้งสองกลม เซลล์มีลักษณะสมมาตรกันในแนวตั้ง แต่ไม่สมมาตรกันในแนวอน เซลล์มีขนาดความกว้างอยู่ในช่วง  $7-10 \mu\text{m}$  ความยาวอยู่ในช่วง  $25-30 \mu\text{m}$

แหล่งที่อยู่อาศัย เกาะตามก้อนหิน เกาะขอบบ่อ ตามลำธาร อุณหภูมิที่พบอยู่ในช่วง  $25-40^\circ\text{C}$

### **12. *Hantzschia* sp. (ภาพ 19 ก 9, 19 ข 9)**

เซลล์มีรูปร่างเหลี่ยม ปลายทิ้งสองมีลักษณะเป็นกระเบ้ากลม เซลล์มีลักษณะสมมาตรกันในแนวอนแต่ไม่สมมาตรกันในแนวตั้ง เซลล์มีขนาดความกว้างอยู่ในช่วง  $7-10 \mu\text{m}$  ความยาวอยู่ในช่วง  $30-50 \mu\text{m}$

แหล่งที่อยู่อาศัย อยู่ตามพื้นท้องน้ำ เกาะดิน เกาะหิน อุณหภูมิที่พบอยู่ในช่วง  $30-42^\circ\text{C}$

### **13. *Navicula* sp. (ภาพ 19 11, 19 ข 11)**

เซลล์มีรูปรี ปลายทิ้งสองด้านเรียวแหลม บริเวณกลางเซลล์ในแกนยาวสามารถเห็นได้ชัดเจน คลอโรพลาสต์ มีลักษณะเป็นแผ่นบางๆ striae เป็นเส้นเฉียงตามแนวรัศมีบริเวณกลางเซลล์ เซลล์มีความกว้าง  $12-15 \mu\text{m}$  ยาว  $30-35 \mu\text{m}$

แหล่งที่อยู่อาศัย พนอยู่ขอบๆของแหล่งน้ำ บริเวณชาร์อันที่มีน้ำไหล อุณหภูมิอยู่ในช่วง  $30-45^\circ\text{C}$

### **14. *Nitzschia ignorata* Krásske**

เซลล์ลักษณะรี รูปร่างคล้ายเรือ pseudoraphe อยู่บริเวณด้านข้างด้านใดด้านหนึ่งของเซลล์ striae เป็นเส้นเล็กละเอียด มีลักษณะพาดขวางกับตัวเซลล์ เซลล์มีขนาด  $3 \times 30 \mu\text{m}$  ความถี่ของ striae ต่อ  $10 \mu\text{m}$  เท่ากับ 10-11 striae

แหล่งที่อยู่อาศัย พนอยู่บริเวณพื้นดิน ตะกอนดิน เกาะก้อนหิน บริเวณชาร์อัน อุณหภูมิอยู่ในช่วง  $30-40^\circ\text{C}$

**15. *Nitzschia scalpelliformis* (Grunow) Grunow** (ภาพ 19 ก 10, 19 ข 10)

ลักษณะเซลล์ค้ำยรูปตัว J pseudoraphe อยู่บริเวณด้านข้างด้านใดด้านหนึ่งของเซลล์ striae เป็นเส้นเล็กละเอียด มีลักษณะพาดวางกับตัวเซลล์ เซลล์มีความกว้าง 4-6  $\mu\text{m}$  ยาว 45-50  $\mu\text{m}$  ความถี่ของ striae ต่อ 10  $\mu\text{m}$  เท่ากับ 7-9 striae

แหล่งที่อยู่อาศัย พนตามบบริเวณขอบบ่อ หราน้ำไหล เกาะหิน อุณหภูมิ 30-40 °C

**16. *Nitzschia thermalis* Kützing**

เซลล์มีรูปร่างรี ปลายทั้งสองด้านแหลม มี pseudoraphe จะอยู่บริเวณด้านข้างด้านใดด้านหนึ่งของเซลล์ striae เป็นเส้นเล็กละเอียด มีลักษณะพาดวางกับตัวเซลล์ บริเวณกลางเซลล์จะคอดเข้ามาเล็กน้อย เซลล์มีความกว้าง 4-5  $\mu\text{m}$  ยาว 50  $\mu\text{m}$

แหล่งที่อยู่อาศัย เกาะก้อนหิน หราน้ำร้อน อุณหภูมิอยู่ในช่วง 25-40 °C

**17. *Pinnularia divergens* W. Smith** (ภาพ 20 ก 1, 20 ข 1)

เซลล์มีรูปร่างคล้ายเรือ เซลล์บริเวณหัวท้ายจะมีรูปร่างมน striae เป็นเส้นเฉียงตามแนวรัศมีบริเวณกลางเซลล์และท้ายเซลล์ เซลล์มีขนาด  $10 \times 60 \mu\text{m}$  ความถี่ของ striae ระยะทาง 1  $\mu\text{m}$  เท่ากับ 9-10 เส้น

แหล่งที่อยู่อาศัย พนตามก้อนหิน พื้นดิน ขอบบ่อ บริเวณหราน้ำไหล อุณหภูมิที่พบอยู่ในช่วง 25-40 °C

**18. *Pinnularia viridis* (Nitzsch) Ehrenberg** (ภาพ 20 ก 2, 20 ข 2)

เซลล์มีรูปร่างรียาว ปลายทั้งสองด้านกลม striae หนา เป็นเส้นวนบริเวณกลางเซลล์แล้วค่อยๆ เฉียงตามแนวรัศมี เมื่อเข้าใกล้ปลายเซลล์ เซลล์มีความกว้าง 25-27  $\mu\text{m}$  ยาว 160  $\mu\text{m}$  ความถี่ของ striae ต่อ 10  $\mu\text{m}$  เท่ากับ 6-7 striae

แหล่งที่อยู่อาศัย พนตามพื้นดิน บริเวณหราน้ำร้อน อุณหภูมิที่พบอยู่ในช่วง 30-45 °C

**19. *Pinnularia* sp. 1** (ภาพ 20 ก 3, 20 ข 3)

เซลล์มีรูปร่างรียาว ปลายทั้งสองด้านกลม striae หนา เป็นเส้นวนบริเวณกลางเซลล์แล้วค่อยๆ เฉียงตามแนวรัศมี เมื่อเข้าใกล้ปลายเซลล์ เซลล์มีความกว้าง 9-10  $\mu\text{m}$  ยาว 37-40  $\mu\text{m}$  ความถี่ของ striae ต่อ 10  $\mu\text{m}$  เท่ากับ 9-10 striae

แหล่งที่อยู่อาศัย พนตามพื้นดิน บริเวณหราน้ำร้อน อุณหภูมิที่พบอยู่ในช่วง 30-45 °C

**20. *Pinnularia* sp. 2**

(ภาพ 20 ก 4, 20 ข 4)

เซลล์มีรูปร่างรีขาว ปลายทั้งสองด้านกลม striae หนาเป็นเส้นขนาดบริเวณกลางเซลล์แล้วค่อยๆ เสื่อมตามแนวรัศมี เมื่อเข้าใกล้ปลายเซลล์ เซลล์มีความกว้าง 5  $\mu\text{m}$  ยาว 25  $\mu\text{m}$  ความถี่ของ striae ต่อ 10  $\mu\text{m}$  เท่ากับ 9-10 striae

แหล่งที่อยู่อาศัย พบรดานพื้นดิน บริเวณธารน้ำร้อน อุณหภูมิที่พบอยู่ในช่วง 35-50 °C

**21. *Rhopalodia gibberula* (Ehrenberg) O.Müller**

(ภาพ 20 ก 5, 20 ข 5, 21(5))

เมื่อมองเซลล์ทางด้านฝ่า เซลล์มีรูปร่างรี ปลายทั้งสองด้านของเซลล์มีลักษณะมน เซลล์ทางด้านข้าง มีรูปร่างคล้ายวงพระจันทร์ครึ่งเสี้ยวหรือรูปเรือ เซลล์มีความกว้าง 25  $\mu\text{m}$  ยาว 55  $\mu\text{m}$  ความถี่ของ striae ต่อ 10  $\mu\text{m}$  เท่ากับ 10-12 striae

แหล่งที่อยู่อาศัย พบรดานพื้นท้องน้ำ ก้อนหิน ตามขอบบ่อ พบรดานในบริเวณน้ำไหลและน้ำนิ่ง อุณหภูมิประมาณ 30-65 °C

**22. *Rhopalodia* sp.**

(ภาพ 20 ก 6, 20 ข 6)

เมื่อมองเซลล์ทางด้านฝ่า เซลล์มีรูปร่างรี ปลายทั้งสองด้านของเซลล์มีลักษณะมน เซลล์ทางด้านข้าง มีรูปร่างคล้ายวงพระจันทร์ครึ่งเสี้ยวหรือรูปเรือ เซลล์มีความกว้าง 20-22  $\mu\text{m}$  ยาว 30-35  $\mu\text{m}$

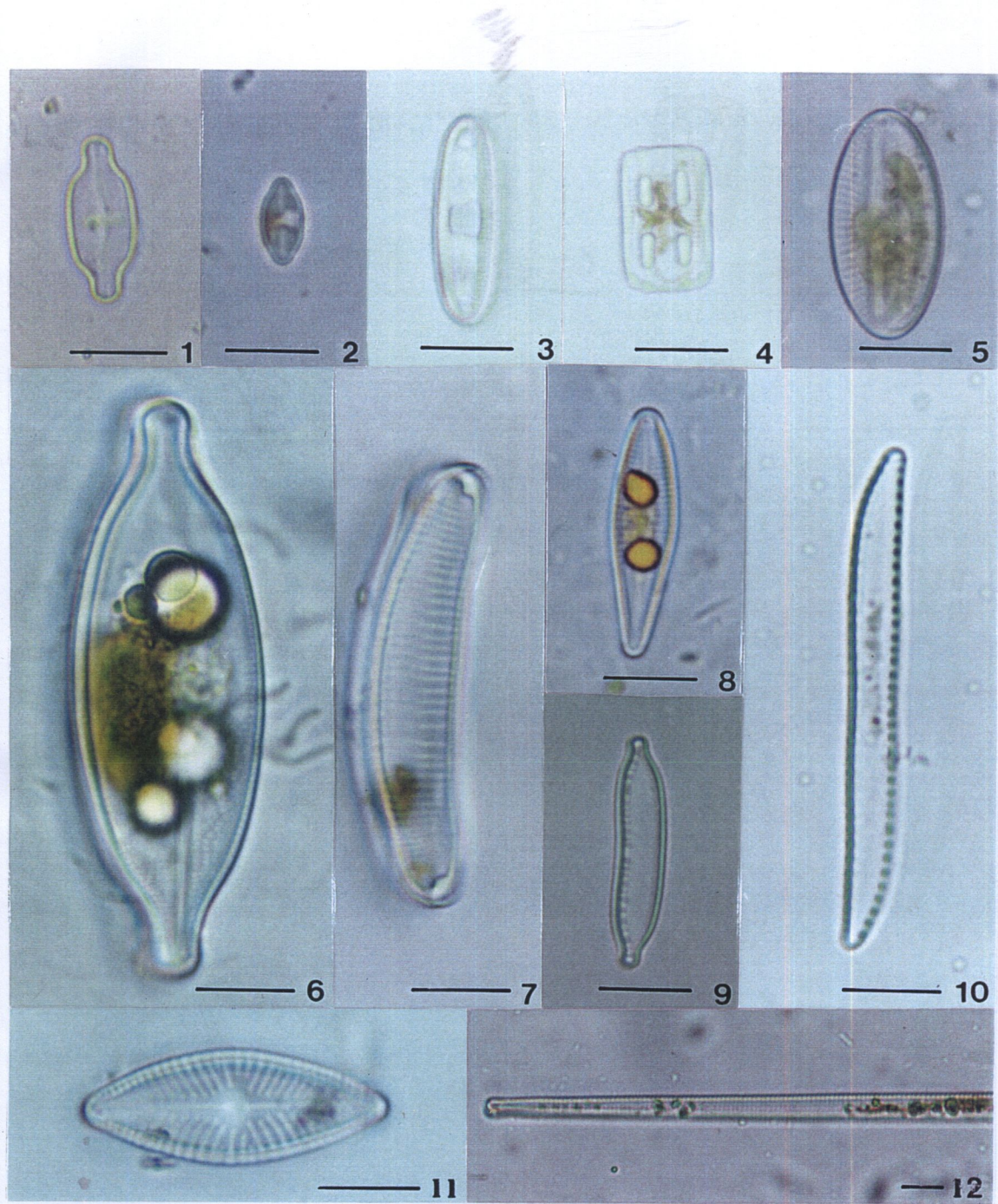
แหล่งที่อยู่อาศัย พบรดานพื้นท้องน้ำ ก้อนหิน ตามขอบบ่อ พบรดานในบริเวณน้ำไหลและน้ำนิ่ง อุณหภูมิประมาณ 30-50 °C

**23. *Surirella biseriata* Brébisson**

(ภาพ 20 ก 7, 20 ข 7, 21(6))

เมื่อมองเซลล์ทางด้านฝ่า เป็นรูปไข่จันถึงรูปรี ขอบเซลล์โถ้งมนเล็กน้อย ขอบเป็นปีกเห็นชัดเจน raphe อยู่ในปีกหรือเรียกว่า wing canal ในระยะ 100  $\mu\text{m}$  มีจำนวนช่อง 10-20 ช่อง แนวกึ่งกลางระหว่างขอบฝ่าทั้งสองด้านเป็นเยื่อ เซลล์มีความกว้าง 60-70  $\mu\text{m}$  ยาว 150-170  $\mu\text{m}$

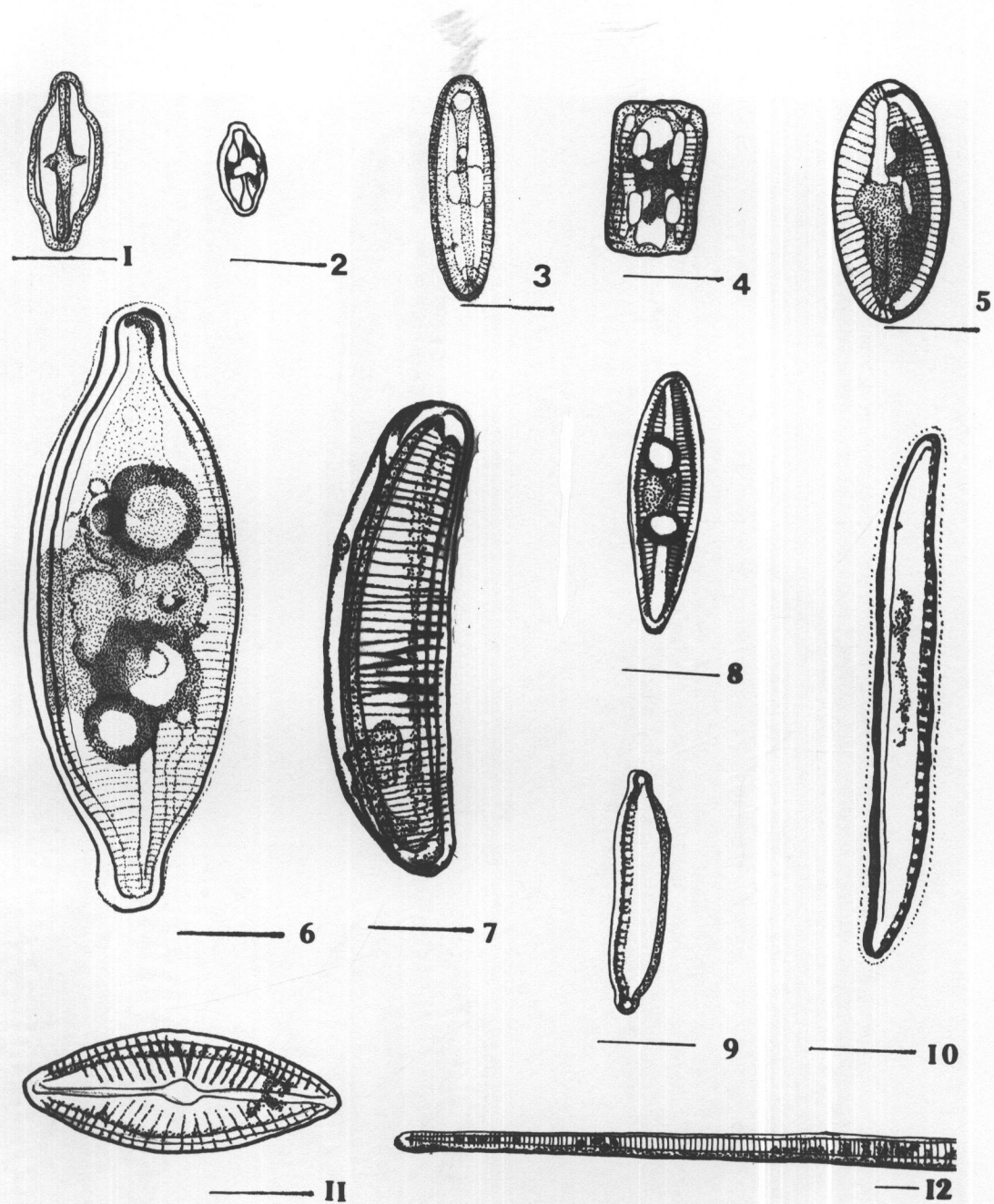
แหล่งที่อยู่อาศัย พบรดานพื้นท้องน้ำ บริเวณธารน้ำไหล อุณหภูมิ 25-40 °C



scale bar = 10  $\mu\text{m}$

ภาพ 19 ก ไกด์ตออมที่เพ็บในน้ำพุรุ่นบางแหล่ง ในเขตภาคเหนือตอนบนทั้ง 9 แห่ง

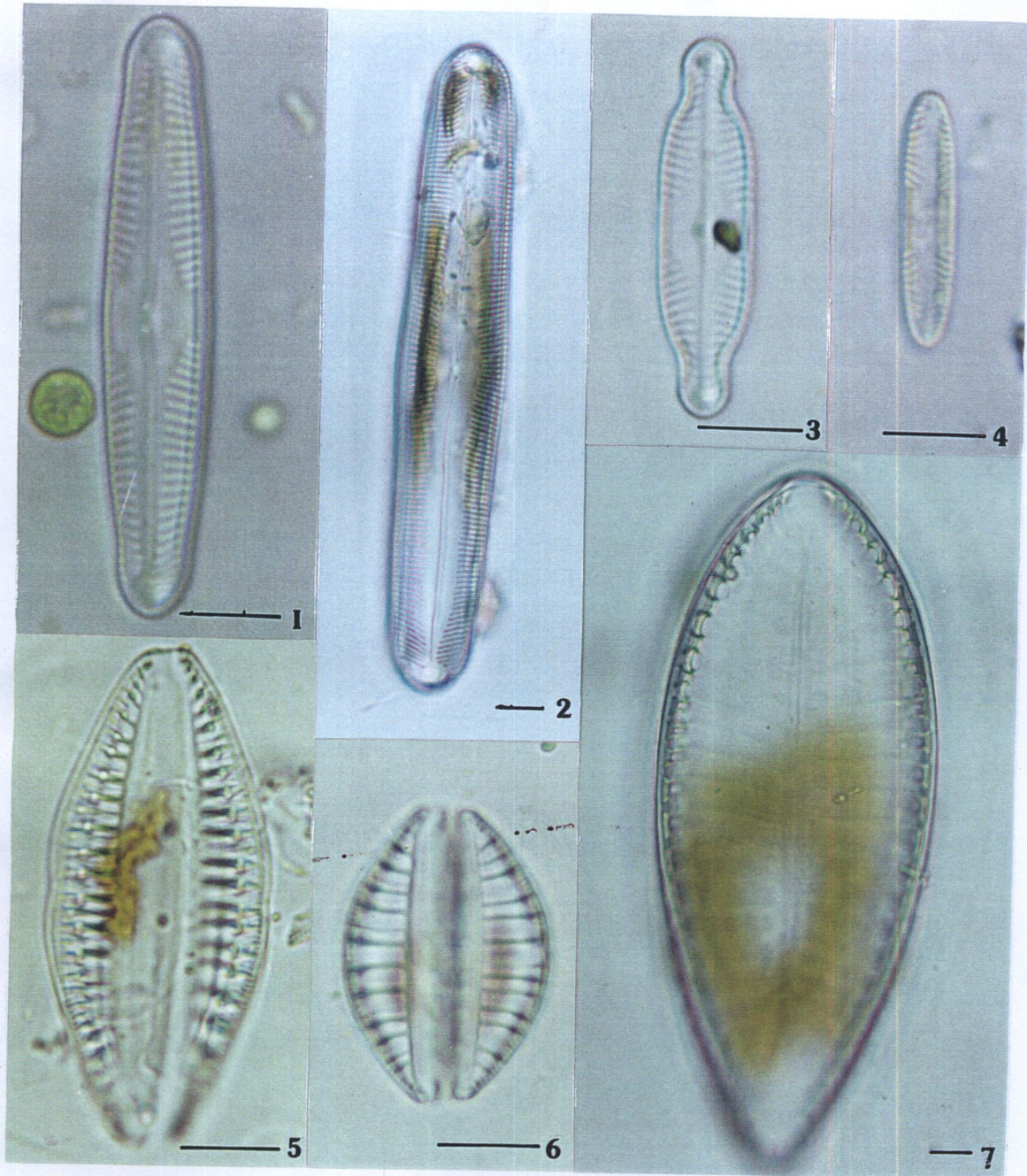
(1-12) Bacillariophyta : Pennales ; (1) *Achnanthes exigua* Grunow, (2) *Achnanthes* sp., (3) *Diatomella balfouriana* Grev. (valve view), (4) *Diatomella balfouriana* Grev. (girdle view), (5) *Diploneis elliptica* (Kützing) Cleve, (6) *Anomoeoneis sphaerophora* (Ehrenberg)Pfizer, (7) *Eunotia* sp., (8) *Gomphonema gracile* Ehrenberg, (9) *Hantzschia* sp., (10) *Nitzschia scalpelliformis* (Grunow) Grunow, (11) *Navicula* sp., (12) *Fragilaria* sp.



scale bar = 10  $\mu\text{m}$

ภาพ 19 ข ภาพวัวดีอะตอมที่พบในน้ำพุร้อนบางแหล่งในเขตภาคเหนือตอนบนทั้ง 9 แหล่ง

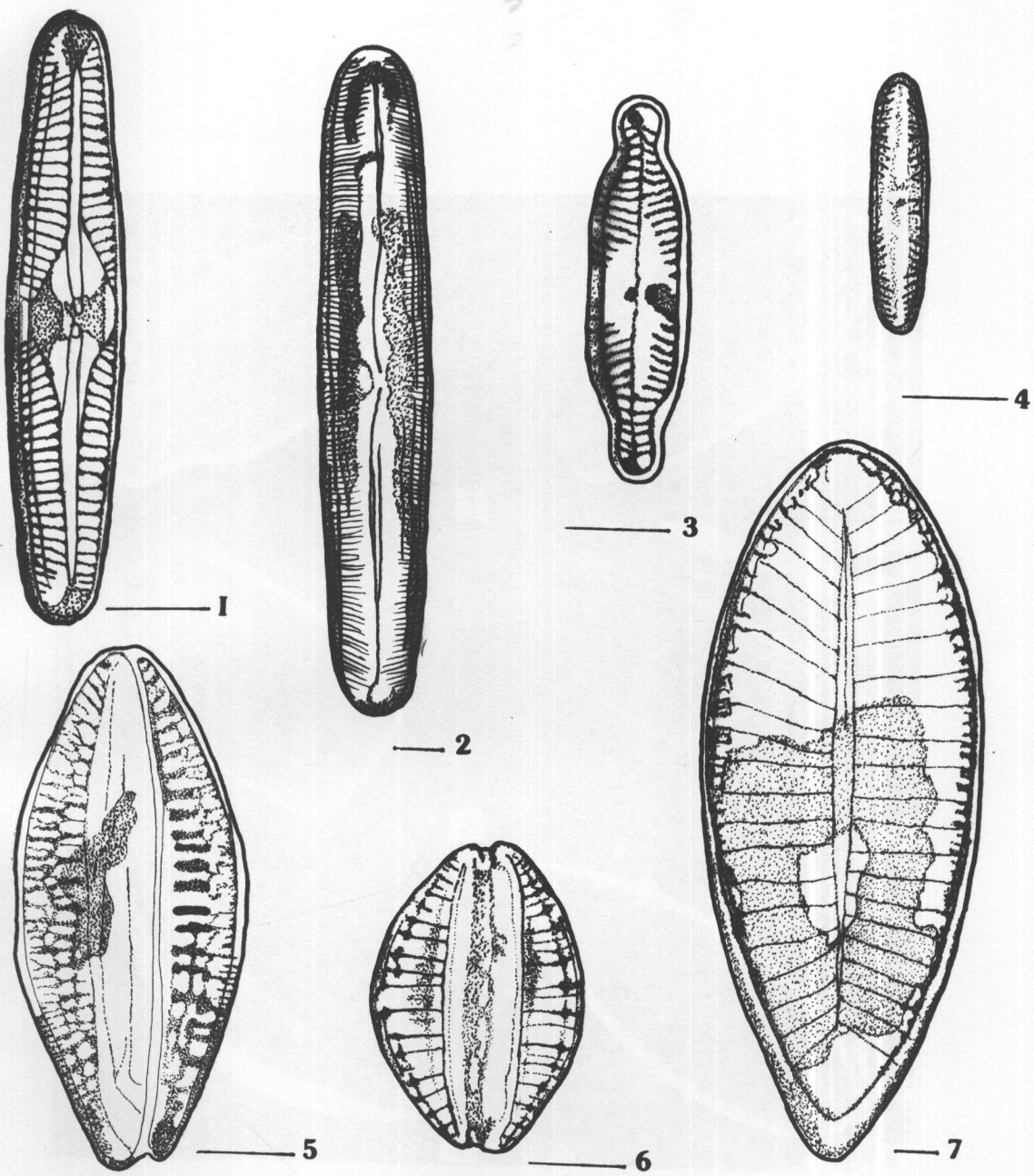
- (1-12) Bacillariophyta : Pennales ; (1) *Achnanthes exigua* Grunow, (2) *Achnanthes* sp., (3) *Diatomella balfouriana* Grev. (valve view), (4) *Diatomella balfouriana* Grev. (girdle view), (5) *Diploneis elliptica* (Kützing) Cleve, (6) *Anomoeoneis sphaerophora* (Ehrenberg)Pfitzer, (7) *Eunotia* sp., (8) *Gomphonema gracile* Ehrenberg, (9) *Hantzschia* sp., (10) *Nitzschia scalpelliformis* (Grunow) Grunow, (11) *Navicula* sp., (12) *Fragilaria* sp.



scale bar = 10  $\mu\text{m}$

ภาพ 20 ก ไครอะตอนที่พับในน้ำพุร้อนบางแหล่งในเขตภาคเหนือตอนบนทั้ง 9 แหล่ง

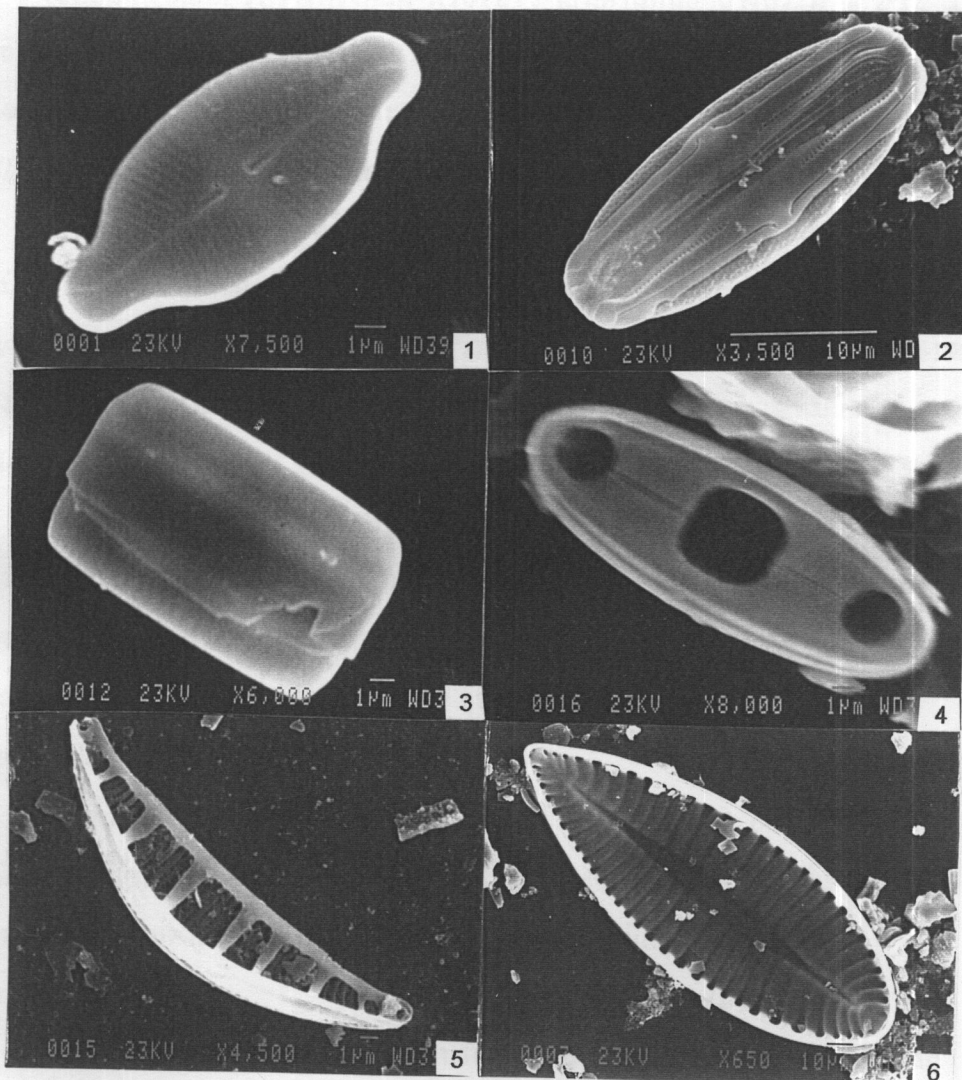
(1-7) Bacillariophyta : Pennales ; (1) *Pinnularia divergens* W. Smith, (2) *Pi. viridis* (Nitzsch)Ehrenberg, (3) *Pinnularia* sp. 1, (4) *Pinnularia* sp., (5) *Rhopalodia gibberrula* (Ehrenberg) O. Müller, (6) *Rhopalodia* sp., (7) *Surirella biseriata* Bré bisson



scale bar = 10  $\mu\text{m}$

ภาพ 20 ข ภาพวัวดีอะตอมที่พบในน้ำพุร้อนบางแหล่งในเขตภาคเหนือตอนบนทั้ง 9 แหล่ง

(1-7) Bacillariophyta : Pennales ; (1) *Pinnularia divergens* W. Smith, (2) *Pi. viridis* (Nitzsch)Ehrenberg, (3) *Pinnularia* sp. 1, (4) *Pinnularia* sp., (5) *Rhopalodia gibberrula* (Ehrenberg) O. Müller, (6) *Rhopalodia* sp., (7) *Surirella biseriata* Bré bisson



ภาพ 21 ภาพถ่าย SEM ไคลอตอมที่พบในน้ำพุร้อนบางแหล่งในเขตภาคเหนือตอนบนทั้ง 9 แหล่ง<sup>(1-6)</sup> Bacillariophyta : Pennales ; (1) *Achnanthes exigua* Grunow, (2) *Amphora* sp., (3) *Diatomella balfouriana* Grev. (girdle view), (4) *Diatomella balfouriana* Grev. (valve view), (5) *Rhopalodia gibberrula* (Ehrenberg) O. Müller, (6) *Surirella biseriata* Brébisson

## Division Chlorophyta (สาหร่ายสีเขียว)

### 1. *Chlorella vulgaris* Beyerinck (ภาพ 22 ก 1, 22 ข 1)

เซลล์มีขนาดเล็ก รูปร่างทรงกลม หรือรูปไข่ เส้นผ่านศูนย์กลางประมาณ  $2-12 \mu\text{m}$  คลอ-โพรพลาสต์มักอยู่ด้านข้าง หรือเป็นรูปถ้วย มีไฟเรนอยค์ แหล่งที่อยู่อาศัย พบรตามพื้นดิน ที่น้ำกระเซ็นถึง อุณหภูมิที่พบรอยู่ในช่วง  $30-35^\circ\text{C}$

### 2. *Cladophora glomerata* Kützing (ภาพ 22 ก 2, 22 ข 2)

เป็นสาหร่ายสีเขียว ขนาดใหญ่ มีลักษณะเป็นเส้นสายที่แตกแขนง แต่การแตกแขนงไม่เป็นพุ่ม มักเป็นแบบแตกทีละแขนง (dichotomous branching) คลอ-โพรพลาสต์มีลักษณะเป็นร่างแท้ พนังเซลล์ค่อนข้างหนา เซลล์มีความยาวมากกว่าความกว้าง ขนาดประมาณ  $40-50 \times 170-190 \mu\text{m}$  แหล่งที่อยู่อาศัย พบรตามพื้นดิน หรือก้อนหินที่มีฐานน้ำไหลผ่านหรือบริเวณที่มีน้ำขังอยู่

### 3. *Closterium ehrenbergii* Meneghini (ภาพ 22 ก 3, 22 ข 3)

เซลล์มีขนาดใหญ่ เซลล์มีลักษณะโค้งปานกลาง ขอบบริเวณกลางเซลล์โค้งเล็กน้อย ปลายขี้ทั้งสองด้านมน ผนังเซลล์เรียบ ไฟเรนอยค์กระจายอยู่ทั่วทั้งเซลล์ เซลล์มีขนาดประมาณ  $60-70 \times 350-400 \mu\text{m}$

แหล่งที่อยู่อาศัย พบรในแม่น้ำเล็ก ๆ ที่มีน้ำขัง อุณหภูมิประมาณ  $30-35^\circ\text{C}$

### 4. *Cosmarium* sp. 1 (ภาพ 22 ก 7, 22 ข 7)

เซลล์มีรูปร่างทรงกลม ผนังเซลล์บรู๊ฟเล็กน้อย เซลล์มีขนาด  $60-65 \times 100 \mu\text{m}$  รอยต่อของทั้งสองเซลล์หรือไซนัสจะคดเข้ามา มีความยาว  $50-55 \mu\text{m}$  แหล่งที่อยู่อาศัย พบรตามแม่น้ำ บริเวณน้ำกระเซ็นถึง อุณหภูมิอยู่ในช่วง  $30-40^\circ\text{C}$

### 5. *Cosmarium* sp. 2 (ภาพ 22 ก 6, 22 ข 6)

เซลล์มีรูปร่างคล้ายสีเหลืองผีเสื้อ บริเวณขอบเซลล์มีหนามยื่นออกมารอบเซลล์ เซลล์มีขนาด  $53-55 \times 60-62 \mu\text{m}$  ไชนัสอยู่ลึกเข้าไปในเซลล์ ยาวประมาณ  $18 \mu\text{m}$  แหล่งที่อยู่อาศัย ล่องลอยตามกระแสน้ำ ตามแม่น้ำขัง อุณหภูมิที่พบรอยู่ในช่วง  $25-40^\circ\text{C}$

### 6. *Cosmarium* sp. 3 (ภาพ 22 ก 4, 22 ข 4)

แต่ละเซลล์มีลักษณะคล้ายครึ่งวงกลมหรือรูปไข่ ผนังเซลล์มีหนามยื่นออกมาระเบิดน้อย ไชนัสไว้ลึก เซลล์มีขนาด  $45 \times 50 \mu\text{m}$

แหล่งที่อยู่อาศัย ล่องลอยตามกระแสน้ำ ตามแม่น้ำขัง อุณหภูมิที่พบรอยู่ในช่วง  $25-40^\circ\text{C}$

**7. *Oedogonium areolatum* Lagerheim**

(ภาพ 22 ก 8, 22 ข 8)

เซลล์มีลักษณะเป็นเส้นสายที่ไม่แทรกแขนง ลักษณะของเซลล์มีลักษณะเป็นรูปทรงกรวยของกายา คลอโรพลาสต์เป็นแบบร่างแห อะพิคอลแคป (apical cap) เกิดบริเวณปลายด้านหนึ่งด้านใดของเซลล์ เมื่อเกิดการแบ่งเซลล์ เซลล์มีขนาด  $20-25 \times 70-80 \mu\text{m}$   
แหล่งที่อยู่อาศัย ตามพื้นดิน พื้นชีเมนต์ ตามแอ่งน้ำขัง อุณหภูมิอยู่ในช่วง  $30-42^\circ\text{C}$

**8. *Pleurotaenium* sp.**

(ภาพ 22 ก 9, 22 ข 9)

เซลล์มีรูปร่างทรงกรวยของกายา ปลายตัด ผนังเซลล์ค่อนข้างเรียบ ไม่ขรุขระมากนัก เซลล์มีขนาด  $30 \times 480-500 \mu\text{m}$

แหล่งที่อยู่อาศัย พบรดานแอ่งน้ำ ล่องลอยตามกระแสน้ำ อุณหภูมิ  $25-35^\circ\text{C}$

**9. *Spirogyra* sp.**

(ภาพ 22 ก 10, 22 ข 10)

เซลล์มีลักษณะเป็นเส้นสายยาว เซลล์มีรูปทรงกรวยของกายา อยู่รวมกันเป็นกลุ่ม เมื่อจับจะรู้สึกลื่น ลักษณะคล้ายเส้นผมสีเขียวสด ภายในเซลล์มีคลอโรพลาสต์ลักษณะคือเป็นเกลียว เซลล์มีขนาดความกว้าง-ยาว ตั้งแต่เท่ากันจนถึงความยาวมากกว่าด้านกว้างหลายเท่า เซลล์มีความกว้าง 30 ยาวตั้งแต่  $30-200 \mu\text{m}$

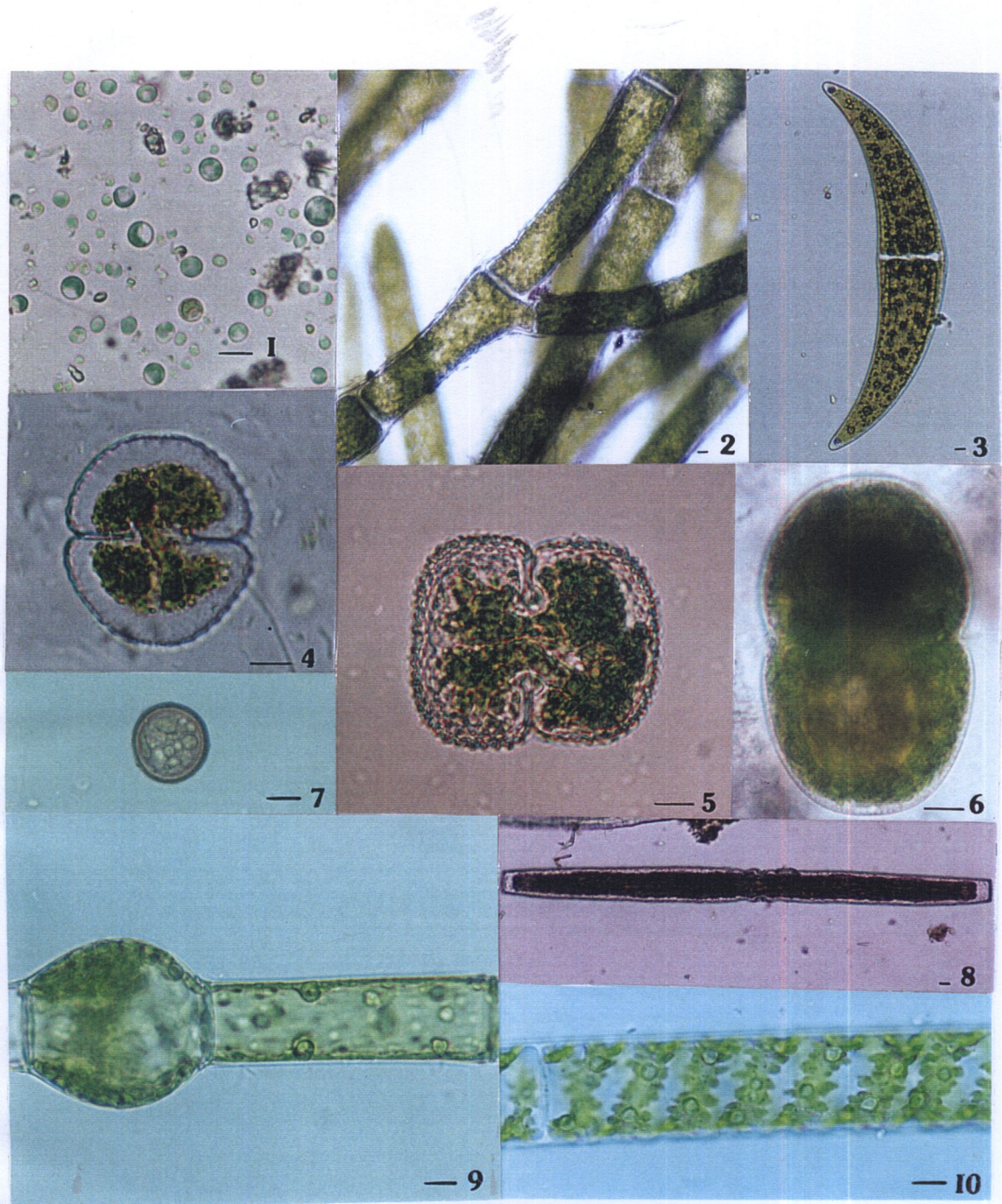
แหล่งที่อยู่อาศัย พบรดานแอ่งน้ำน้ำน้ำ อุณหภูมิอยู่ในช่วง  $30-40^\circ\text{C}$

**Division Euglenophyta****1. *Trachelomonas* sp.**

(ภาพ 22 ก 5, 22 ข 5)

เซลล์มีลักษณะทรงกลม มี flagellum 1 เส้น ยื่นออกมายานอก สามารถเคลื่อนที่ได้ เซลล์มีเส้นผ่านศูนย์กลางประมาณ  $20-25 \mu\text{m}$

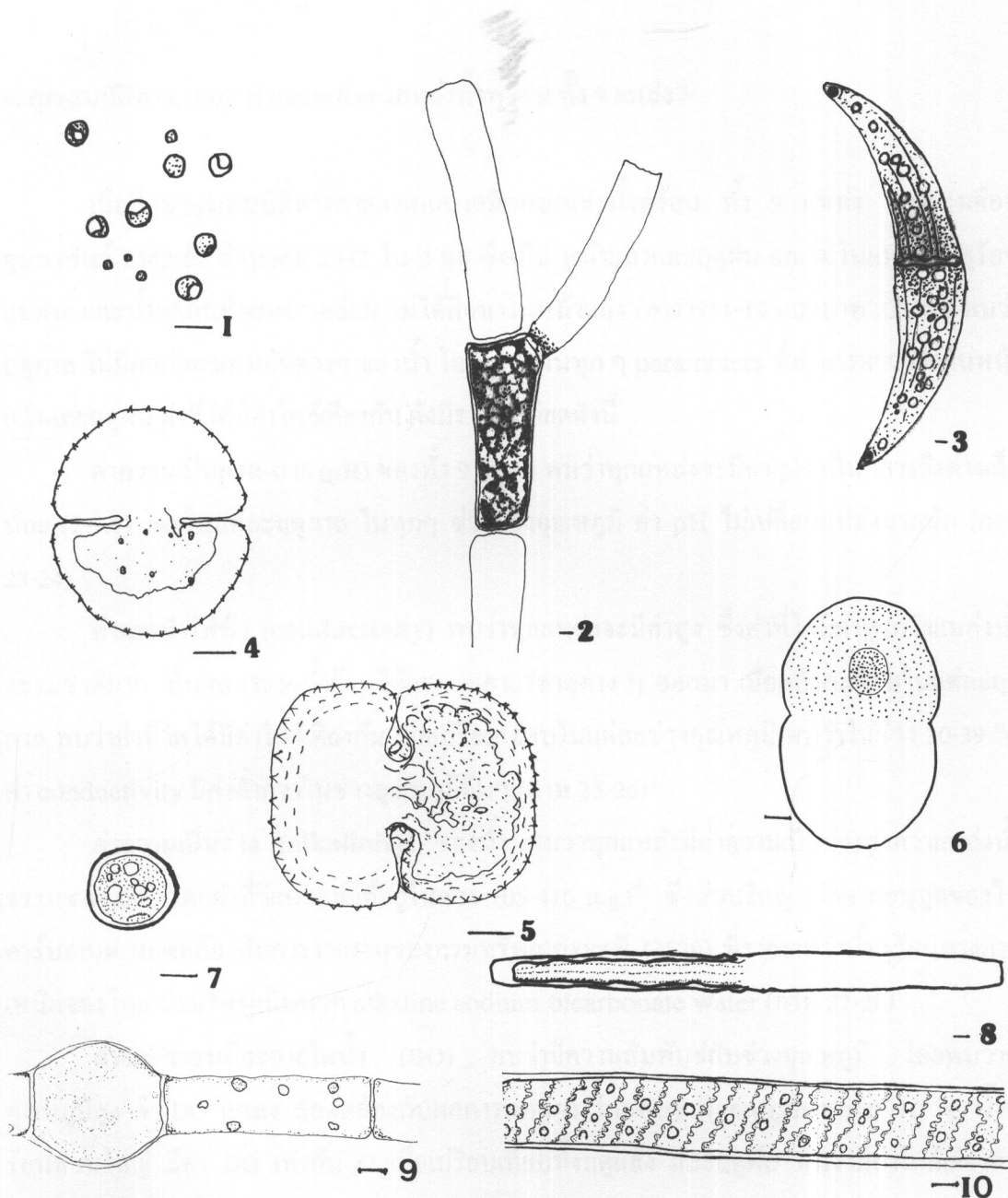
แหล่งที่อยู่อาศัย ตามแอ่งน้ำน้ำน้ำ อุณหภูมิที่พบอยู่ในช่วง  $30-40^\circ\text{C}$



scale bar = 10  $\mu\text{m}$

ภาพ 22 ก สาหร่ายสีเขียว และสาหร่ายพวงยูกลีนอยด์ที่พบในน้ำพุร้อนบางแห่งในเขตภาคเหนือ  
ตอนบนทั้ง 9 แหล่ง

(1-6) Chlorophyta : (1) *Chlorella vulgaris* Beyerinck, (2) *Cladophora glomerata* Kützing, (3) *Closterium ehrenbergii* Meneghini, (4) *Cosmarium* sp.3, (5) *Cosmarium* sp.2, (6) *Cosmarium* sp.1, (7) Euglenophyta : *Trachelomonas* sp. (8-10) Chlorophyta : (8) *Oedogonium areolatum* Lagerheim, (9) *Pleurotaenium* sp., (10) *Spirogyra* sp.



scale bar = 10  $\mu\text{m}$

ภาพ 22 ข ภาพวาดสาหร่ายสีเขียว และสาหร่ายพากยูกลีนอยด์ที่พบในน้ำพุร้อนบางแหล่งในเขตภาคเหนือตอนบนทั้ง 9 แหล่ง

(1-6) Chlorophyta : (1) *Chlorella vulgaris* Beyerinck, (2) *Cladophora glomerata* Kützing, (3) *Closterium ehrenbergii* Meneghini, (4) *Cosmarium* sp.3, (5) *Cosmarium* sp.2, (6) *Cosmarium* sp.1, (7) Euglenophyta : *Trachelomonas* sp. (8-10) Chlorophyta : (8) *Oedogonium areolatum* Lagerheim, (9) *Pleurotaenium* sp., (10) *Spirogyra* sp.

#### 4. คุณสมบัติทางกายภาพ และเคมีของแหล่งน้ำพื้นที่ทั่วไป แหล่งน้ำพื้นที่ทั่วไป

เมื่อศึกษาคุณสมบัติทางกายภาพและเคมีของแหล่งน้ำพื้นที่ทั่วไป แหล่งน้ำพื้นที่ทั่วไป ระหัสเดือน กุมภาพันธ์ 2542 ถึง สิงหาคม 2543 ใน 2 ฤดู ซึ่งเป็น หน้าแล้งและฤดูฝน ยกเว้นในแหล่งน้ำพื้นที่ทั่วไป แม่น้ำ และน้ำพื้นที่ทั่วไปมากเดิม ไม่ได้ศึกษาในหน้าแล้ง (ตาราง 11-19 และภาพ 23-38) พบร่วมกัน คุณภาพ ไม่มีผลต่อคุณสมบัติต่างๆ ของน้ำ โดยพบว่าในทุกๆ parameters ที่ทำการตรวจวัดในหน้าแล้งและฤดูฝน ค่าที่ได้มีค่าใกล้เคียงกัน ดังมีรายละเอียดดังนี้

ค่าความเป็นกรด-ด่าง ( $\text{pH}$ ) ของทั่วไป พบว่าทุกแหล่งจะมีค่า  $\text{pH}$  เป็นกลางถึงค่อนข้างเล็กน้อย (7-9.6) โดยในแต่ละฤดูกาล ในทุกๆ ช่วงของอุณหภูมิ ค่า  $\text{pH}$  ไม่เปลี่ยนแปลงมากนัก (ภาพ 23-24)

ค่าการนำไฟฟ้า (conductivity) พบว่าทุกแหล่งจะมีค่าสูง ซึ่งค่าที่ได้มีค่าสูงกว่าแหล่งน้ำธรรมชาตินาก เป็นผลมาจากการน้ำร้อนได้ละลายเอาแร่ธาตุต่างๆ ออกมานี้ เมื่อเปรียบเทียบในแต่ละฤดูกาล พบว่าค่าที่วัดได้มีค่าใกล้เคียงกัน เมื่อเปรียบเทียบในแต่ละช่วงอุณหภูมิ พบว่าในช่วง 30-39 °C ค่า conductivity มีค่าต่ำกว่าในช่วงอุณหภูมิอื่นๆ (ภาพ 25-26)

ค่าความเป็นด่าง (alkalinity) ของน้ำ พบว่าทุกแหล่งมีค่าความเป็นด่างสูงกว่าแหล่งน้ำธรรมชาตินาก โดยค่าที่วิเคราะห์ได้อยู่ในช่วง  $105-410 \text{ mg.l}^{-1}$  ซึ่งส่วนใหญ่ เกิดจากอนุ孃ของในคาร์บอเนต สองคล้องกับการรายงานของกรมทรัพยากรัฐวิถี (2529) ที่รายงานว่าน้ำพื้นที่ทั่วไปในประเทศไทย ส่วนใหญ่เป็นพวก alkaline sodium bicarbonate water (ภาพ 27-28)

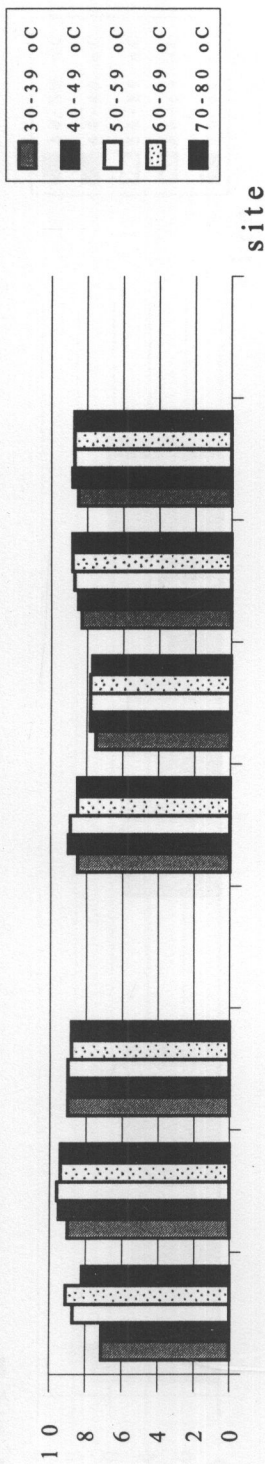
ค่าออกซิเจนที่ละลายในน้ำ (DO) พบว่ามีความสัมพันธ์กับช่วงอุณหภูมิ โดยพบว่าที่อุณหภูมิสูง ค่า DO ลดลง สอดคล้องกับผลการทดลอง โดยพบว่าที่อุณหภูมินากกว่า 50 °C น้ำพื้นที่ทั่วไป ส่วนใหญ่ มีค่า DO เท่ากับ O เมื่อเปรียบเทียบทั่วไปแล้ว และฤดูฝน พบว่ามีค่าใกล้เคียงกัน (ภาพ 29-30)

ปริมาณซัลไฟด์ ( $\text{S}^2-$ ) พบว่าค่าซัลไฟด์ในทุกแหล่งน้ำมีค่าใกล้เคียงกัน โดยพบว่ามีความสัมพันธ์กับระดับอุณหภูมิโดยพบว่า ที่อุณหภูมิสูง ปริมาณซัลไฟด์มีค่าสูงตามไปด้วย และลดลงตามระยะทางของธารน้ำพื้นที่ทั่วไป (อุณหภูมน้ำลดลง) เมื่อเปรียบเทียบทั่วไป 2 ฤดู ส่วนใหญ่พบว่า ปริมาณซัลไฟด์ในฤดูแล้งมีค่าสูงกว่าฤดูฝน เนื่องจากปริมาณน้ำฝนเชื่อมปริมาณซัลไฟด์ที่ละลาย น้ำ ทำให้ค่าซัลไฟด์ที่วิเคราะห์ได้ในฤดูฝนมีค่าน้อยกว่าในฤดูแล้ง (ภาพ 31-32)

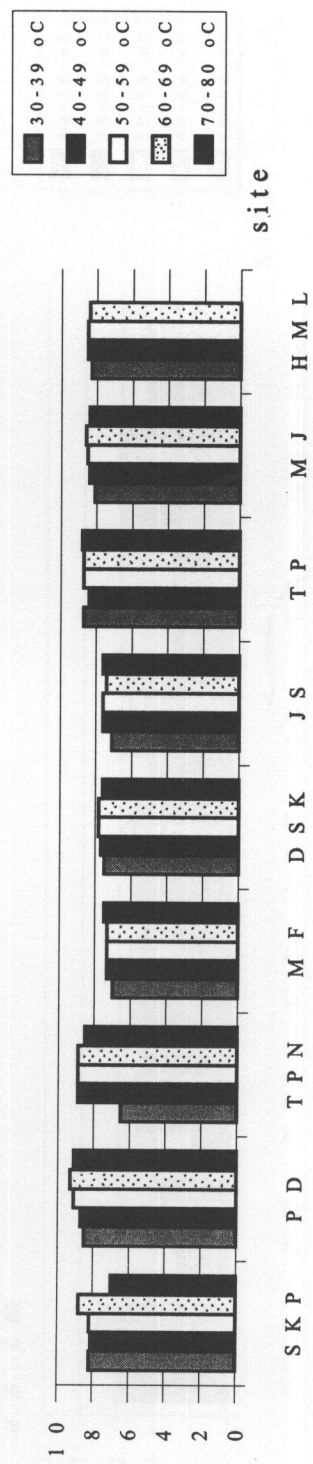
ปริมาณสารอาหาร ได้แก่ soluble reactive phosphorus (SRP) ในเตรทไนโตรเจน และแอมโมเนียม ในโตรเจน พบว่า ค่า SRP อยู่ในช่วง  $0.12-1.7 \text{ mg.l}^{-1}$  ค่าไนเตรทไนโตรเจน อยู่ในช่วง  $0.1-8.4 \text{ mg.l}^{-1}$  ค่าแอมโมเนียม ในโตรเจนอยู่ในช่วง  $0.00-0.178 \text{ mg.l}^{-1}$  โดยเมื่อเปรียบเทียบในฤดูแล้ง

และถูกฝน พบร่วมกับความไม่洁净 ด้วยปริมาณสารอาหารในน้ำพุร้อนมีค่ามากกว่าในแหล่งน้ำธรรมชาติ โดยเฉพาะในช่วงอุณหภูมิสูงๆ ค่าสารอาหารที่วิเคราะห์ได้มีค่าสูง (ภาพ 33-38)

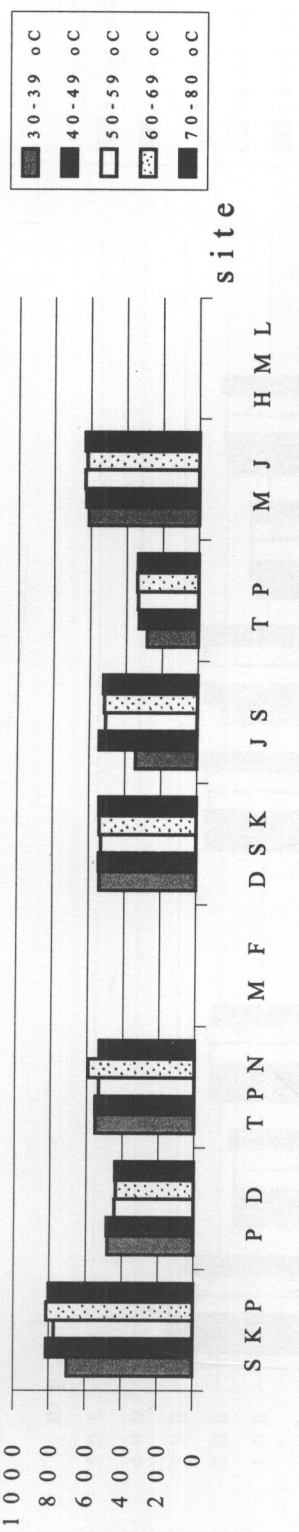
ความชื้นของแหล่งน้ำ พบร่วมกับน้ำพุร้อนเกือบทุกแหล่ง มีความไม่สะอาด ความชื้นค่า ยกเว้นน้ำพุร้อนไป่ดีดในถูกฝน ช่วงอุณหภูมิ  $30-49^{\circ}\text{C}$  และน้ำพุร้อนเทพนน ในถูกฝน ช่วงอุณหภูมิ  $30-39^{\circ}\text{C}$  พบร่วมกับความชื้นสูง เนื่องจากกระแสน้ำไหลแรง และได้รับอิทธิพลจากน้ำภายนอกเข้ามาปน (ภาคผนวก ก ตาราง 13-19)



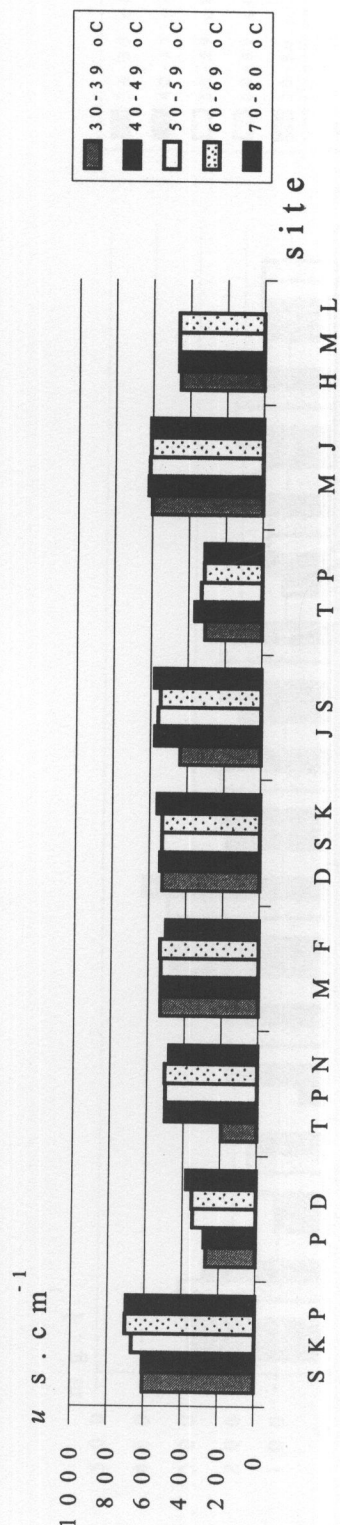
ภาพ 23 ความเป็นกรด-ด่าง (pH) ของน้ำพุร้อนทั้ง 9 แหล่งในช่วงอุณหภูมิ 30 – 80 °C ในฤดูฝน



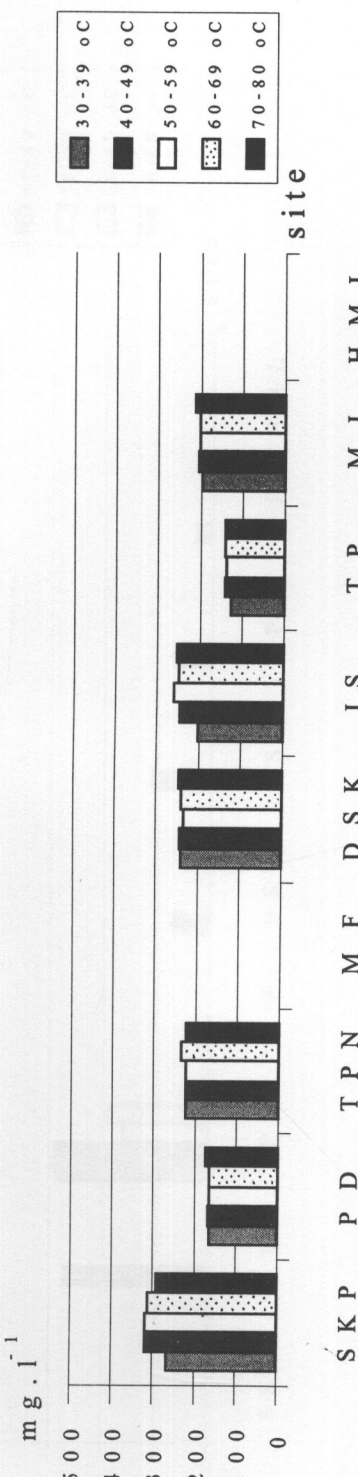
ภาพ 24 ความเป็นกรด-ด่าง (pH) ของน้ำพุร้อนทั้ง 9 แหล่งในช่วงอุณหภูมิ 30 – 80 °C ในฤดูฝน



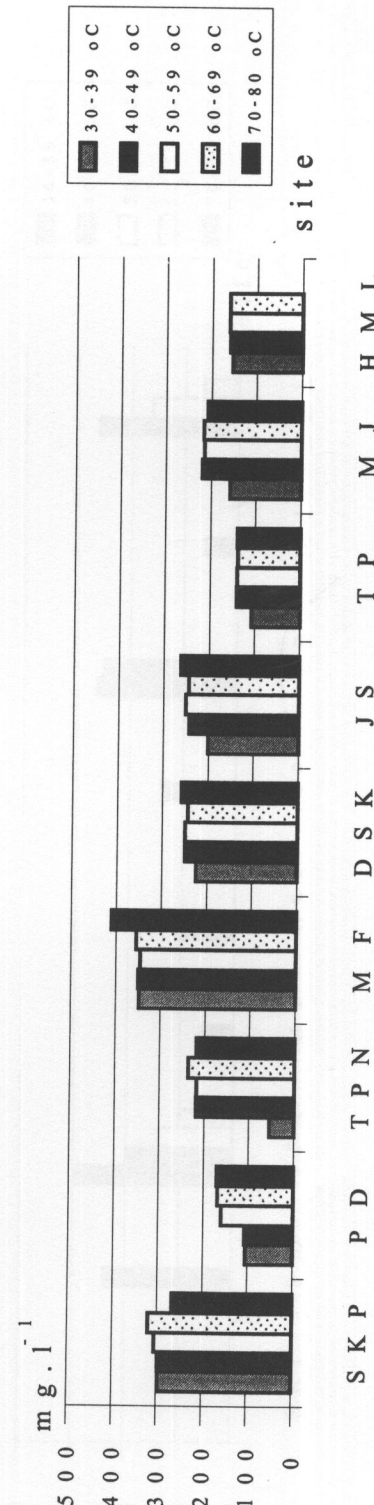
ภาพ 25 ค่าการนำไฟฟ้า ( $\mu s . c m^{-1}$ ) ของน้ำพุร้อนทั้ง 9 แหล่งในช่วงอุณหภูมิ  $30 - 80 ^\circ C$  ในฤดูเดือน



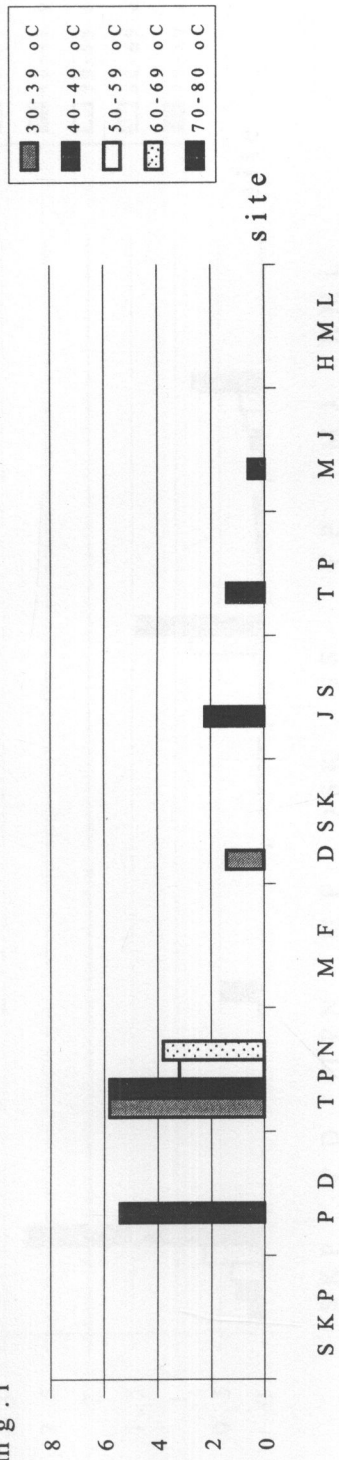
ภาพ 26 ค่าการนำไฟฟ้า ( $\mu s . c m^{-1}$ ) ของน้ำพุร้อนทั้ง 9 แหล่งในช่วงอุณหภูมิ  $30 - 80 ^\circ C$  ในฤดูฝน



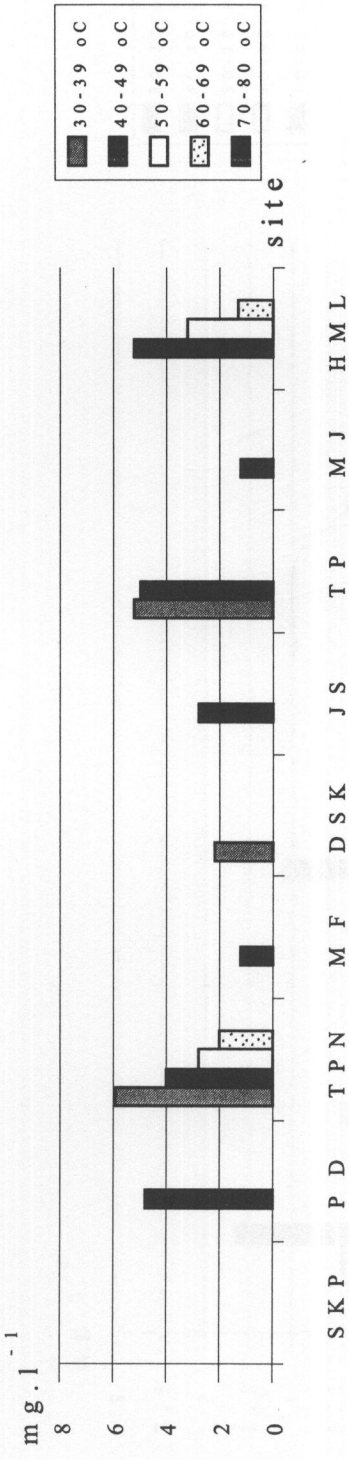
ภาพ 27 ความเข้มค่าง ( $\text{mg}\cdot\text{l}^{-1}$ ) ของน้ำพร้อมทั้ง 9 แหล่งในช่วงอุณหภูมิ  $30 - 80^{\circ}\text{C}$  ในฤดูเดียว



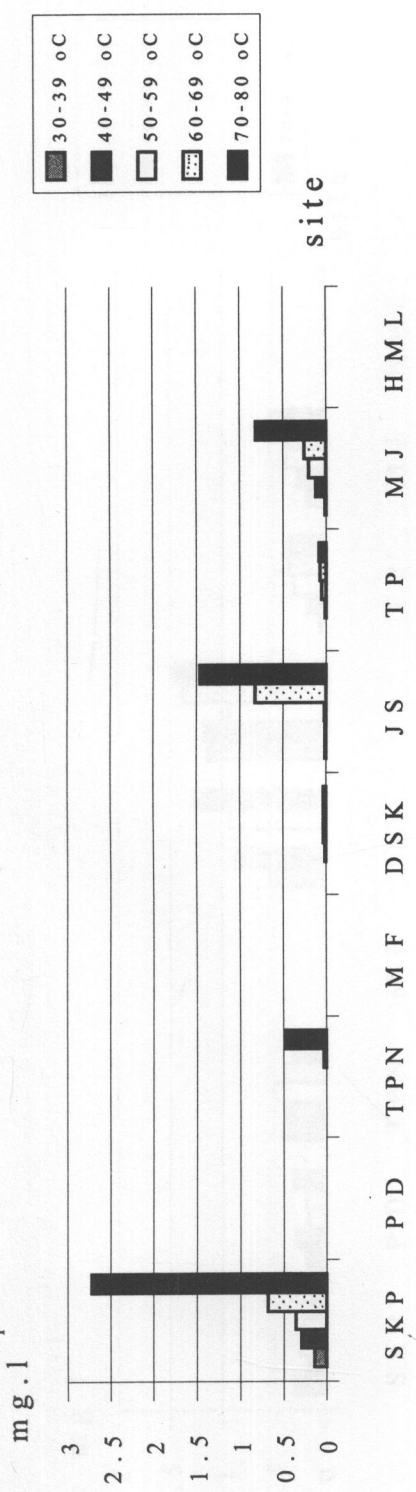
ภาพ 28 ความเข้มค่าง ( $\text{mg}\cdot\text{l}^{-1}$ ) ของน้ำพร้อมทั้ง 9 แหล่งในช่วงอุณหภูมิ  $30 - 80^{\circ}\text{C}$  ในฤดูฝน



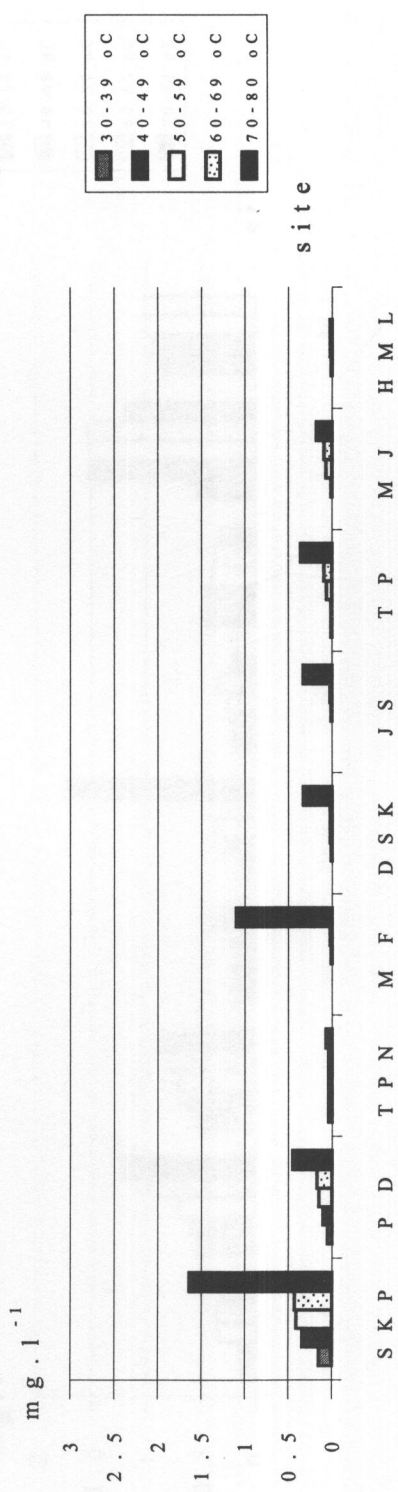
ภาพ 29 ปริมาณของอนึ่งที่ละลายน้ำ ( $\text{mg.l}^{-1}$ ) ของน้ำพื้นดินทั้ง 9 แหล่งในช่วงอุณหภูมิ  $30 - 80^{\circ}\text{C}$  ในฤดูเดือน



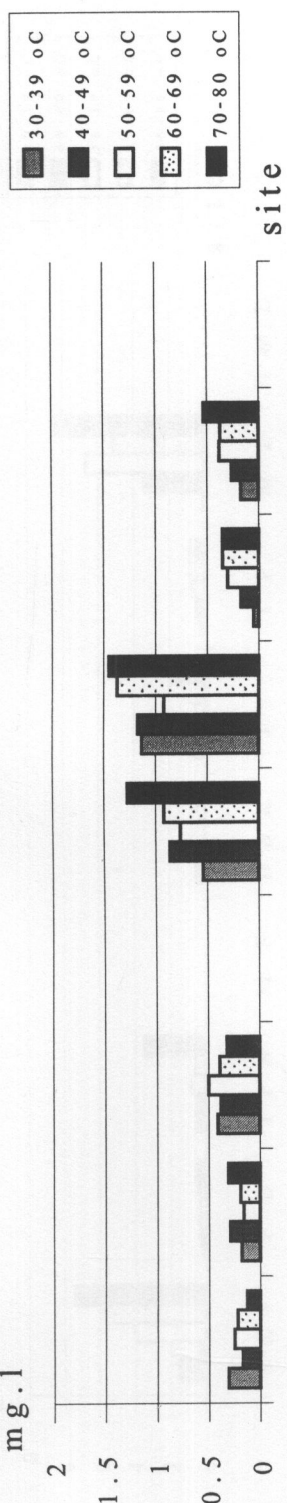
ภาพ 30 ปริมาณของอนึ่งที่ละลายน้ำ ( $\text{mg.l}^{-1}$ ) ของน้ำพื้นดินทั้ง 9 แหล่งในช่วงอุณหภูมิ  $30 - 80^{\circ}\text{C}$  ในฤดูฝน



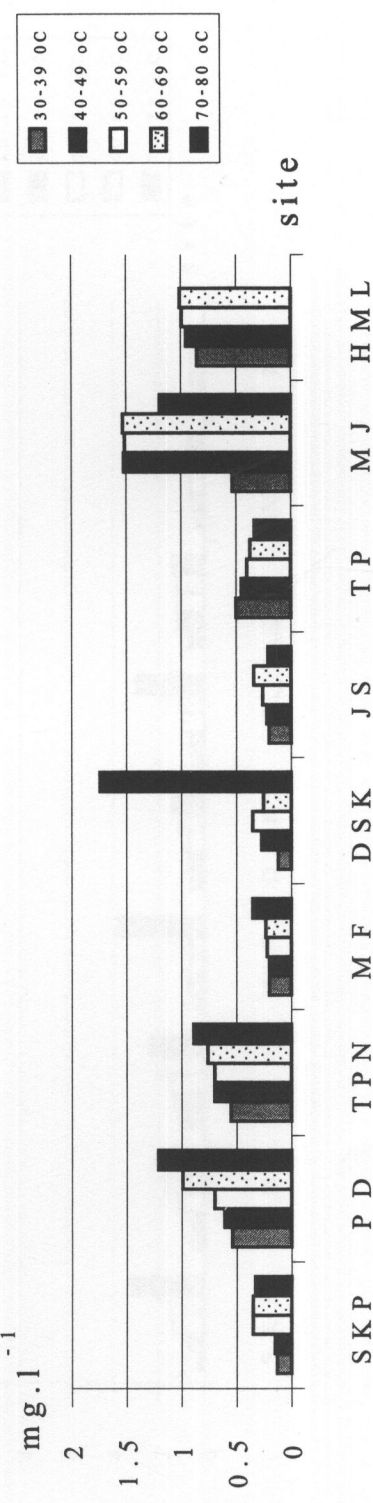
ภาพ 31 ปริมาณ sulfide ( $\text{mg.l}^{-1}$ ) ของน้ำพุร้อนหัง 9 แหล่งในช่วงอุณหภูมิ  $30 - 80^{\circ}\text{C}$  ในฤดูแล้ง



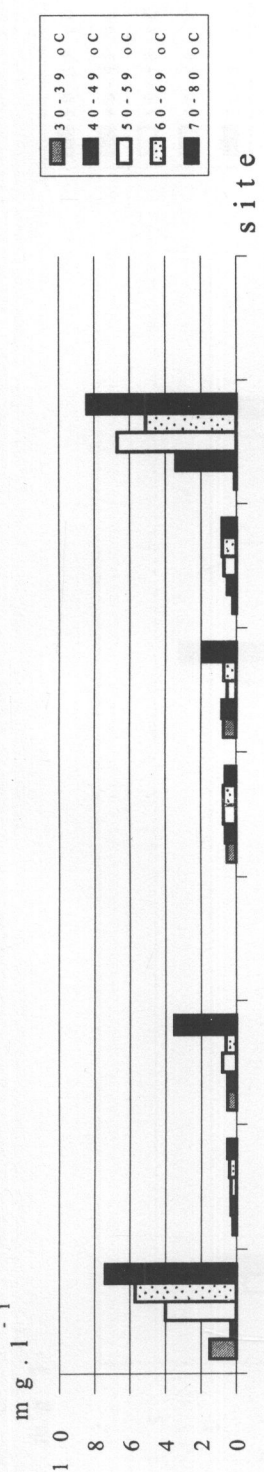
ภาพ 32 ปริมาณ sulfide ( $\text{mg.l}^{-1}$ ) ของน้ำพุร้อนหัง 9 แหล่งในช่วงอุณหภูมิ  $30 - 80^{\circ}\text{C}$  ในฤดูฝน



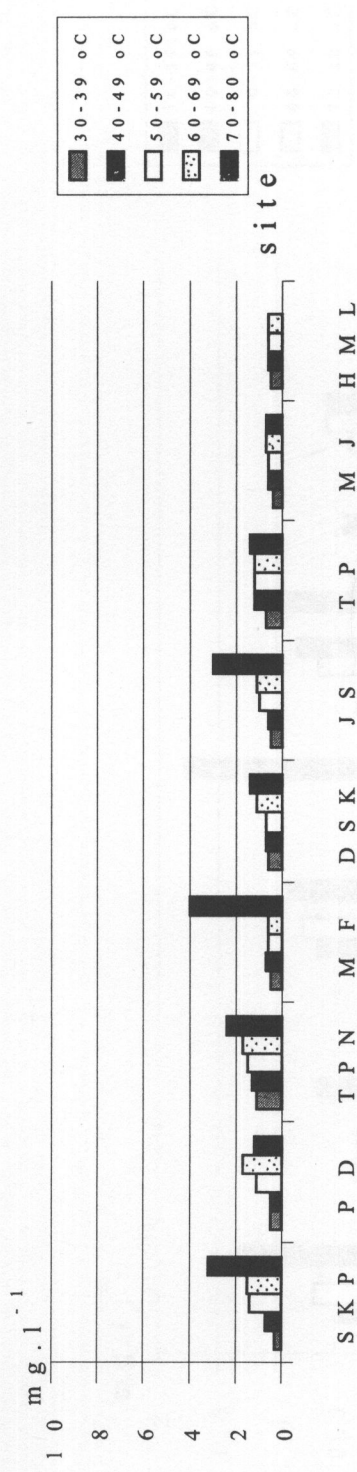
ภาพ 33 ปริมาณ SRP ( $\text{mg.l}^{-1}$ ) ของน้ำพุร้อนทั้ง 9 แหล่ง ในช่วงอุณหภูมิ  $30 - 80^{\circ}\text{C}$  ในฤดูฝน



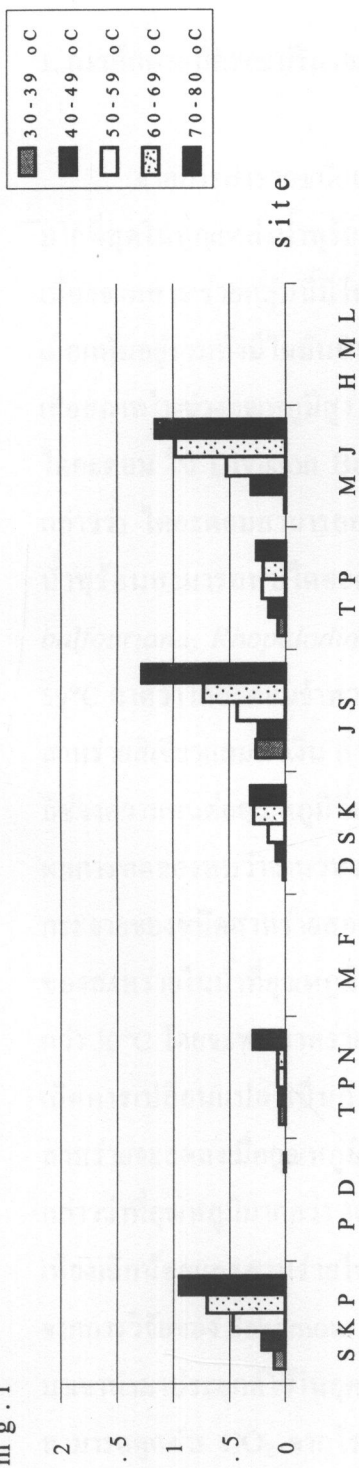
ภาพ 34 ปริมาณ SRP ( $\text{mg.l}^{-1}$ ) ของน้ำพุร้อนทั้ง 9 แหล่ง ในช่วงอุณหภูมิ  $30 - 80^{\circ}\text{C}$  ในฤดูฝน



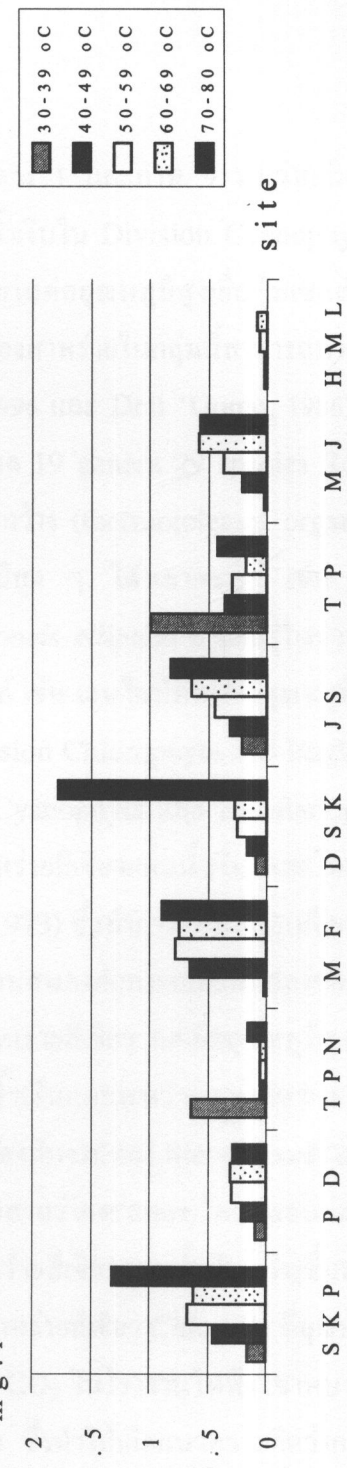
ภาพ 35 ปริมาณ ไนโตรเจน ในตระเวน ( $\text{mg.l}^{-1}$ ) ของน้ำพื้นที่รุนพัง 9 เหล่ง ในช่วงอุณหภูมิ  $30-80^{\circ}\text{C}$  ในฤดูฝน



ภาพ 36 ปริมาณ ไนโตรเจน ในตระเวน ( $\text{mg.l}^{-1}$ ) ของน้ำพื้นที่รุนพัง 9 เหล่ง ในช่วงอุณหภูมิ  $30-80^{\circ}\text{C}$  ในฤดูฝน



ภาพ 37 ปริมาณแอลกอโนมีนียม-ไนโตรเจน ( $\text{mg.l}^{-1}$ ) ของน้ำพื้นที่ร่อง 9 แหล่ง ในช่วงอุณหภูมิ  $30-80^{\circ}\text{C}$  ในฤดูฝน



ภาพ 38 ปริมาณแอลกอโนมีนียม-ไนโตรเจน ( $\text{mg.l}^{-1}$ ) ของน้ำพื้นที่ร่อง 9 แหล่ง ในช่วงอุณหภูมิ  $30-80^{\circ}\text{C}$  ในฤดูฝน

## บทที่ 5

### อภิปรายผลการวิจัย

#### 1. การศึกษาชนิดและปริมาณสาหร่าย

จากการสำรวจชนิดและปริมาณสาหร่ายดังตาราง 1 และภาพ 9 พบร่างกลุ่มสาหร่ายที่พบมากที่สุดในทุกแหล่งน้ำพร้อมคือสาหร่ายสีเขียวแแกมน้ำเงินใน Division Cyanophyta (ตาราง 1) เนื่องจากสาหร่ายกลุ่มนี้มีโครงสร้างของเซลล์ที่ทนทานต่ออุณหภูมิสูง เช่น *Thalassiosira* และยังมีเยื่อหุ้มอยู่รวมทั้งมีไขมันจำนวนมาก และเอนไซม์ของสาหร่ายในกลุ่มนี้สามารถทำงานได้และไม่เสียสภาพในช่วงอุณหภูมิสูง ๆ (Stevenson et al. 1996 และ Dell 'Uomo, 1986) รองลงมาคือไคลอตอม ใน Division Bacillariophyta พบร่างหนด 19 genera 29 species Round (1975) กล่าวว่า ไคลอตอมสามารถอาศัยอยู่ได้ในช่วงอุณหภูมิกว้าง (thermotolerant organisms) ซึ่งในน้ำพร้อมสามารถพบไคลอตอมที่อาศัยอยู่ในอุณหภูมิสูง ๆ ได้หลายชนิด เช่น *Diatomella balfouriana*, *Rhopalodia gibberrula* และ *Diploneis elliptica* อาศัยอยู่ในช่วงอุณหภูมิ 30-59°C คาดว่าไคลอตอมจำพวกนี้อาจมีลักษณะของเซลล์ เช่น เอนไซม์ที่ทนต่ออุณหภูมิสูงเหมือนในสาหร่ายสีเขียวแแกมน้ำเงิน ส่วนสาหร่ายสีเขียวใน Division Chlorophyta และ Euglenophyta จะมีช่วงความทนต่ออุณหภูมิที่สูงน้อยกว่าใน Division Cyanophyta และ Bacillariophyta ซึ่งจากผลการทดลองพบว่าจำนวนชนิดสาหร่ายน้อยกว่า สาหร่ายสีเขียวแแกมน้ำเงิน และไคลอตอม กระหายของชนิดสาหร่ายสอดคล้องกับ Fogg et al. (1973) ซึ่งทำการศึกษาการเปลี่ยนแปลงแทนที่ของสาหร่ายในน้ำที่อุณหภูมิปกติ พบร่างสาหร่ายจะตอบสนองต่อการเปลี่ยนแปลงของอุณหภูมิที่ต่ำกว่า 30°C โดยเฉพาะสาหร่ายในกลุ่มไคลอตอมและสาหร่ายสีเขียว แต่เมื่ออุณหภูมิสูงกว่า 30°C จะเกิดการเปลี่ยนแปลงเป็นกลุ่มสาหร่ายสีเขียวแแกมน้ำเงินและพบว่าความหลากหลายของชนิดสาหร่ายจะลดลงเมื่ออุณหภูมิสูงกว่า 30°C ซึ่งสอดคล้องกับงานของ Stevenson et al. (1996) กล่าวว่าที่อุณหภูมิมากกว่า 30°C ความหลากหลายของสาหร่ายจะลดลง โดยพชนิดสาหร่ายสีเขียวเพียงเล็กน้อยและสาหร่ายในกลุ่มไคลอตอมและสาหร่ายสีเขียวแแกมน้ำเงินเจริญขึ้นมาแทนที่ แต่จากการวิจัยของ Sakamoto et al. (1995) สำรวจพบสาหร่ายสีเขียว *Chlorella* ที่อุณหภูมิ 42°C ต่อน้ำแข็งนำมาประยุกต์ใช้ในอุตสาหกรรมเพื่อลดปริมาณ CO<sub>2</sub> ในโรงงานไฟฟ้า เขายืนว่า *Chlorella* สามารถดูดซับ CO<sub>2</sub> จากโรงงานนี้ซึ่งใช้ความร้อนสูง ซึ่งทำให้เกิดแนวความคิดว่าการศึกษาความหลากหลายของสาหร่ายชนิดใหม่ๆ โดยมีจุดประสงค์เพื่อนำมาประยุกต์ใช้ในงานด้านอุตสาหกรรม

## การแพทย์ การเกษตร ตลอดจนลดปัญหาทางด้านสิ่งแวดล้อมเป็นสิ่งที่นักวิจัยรุ่นใหม่ ๆ ควรจะกระทำ

เมื่อนำข้อมูลจำนวนชนิดของสาหร่ายในแต่ละช่วงอุณหภูมิในทุกๆ ฤดูกาลมาวิเคราะห์ตามวิธีทางสถิติ พบว่าอุณหภูมนี้มีความสัมพันธ์เชิงลบกับจำนวนชนิดของสาหร่าย โดยพบว่าที่อุณหภูมิเพิ่มขึ้นจำนวนชนิดของสาหร่ายจะลดลง เป็นการยืนยันผลการทดลองให้มีความน่าเชื่อถือมากขึ้น

จากการศึกษาชนิดและปริมาณของสาหร่าย นอกจากระดับอุณหภูมิจะเป็นตัวกำหนดการกระจายของชนิดของสาหร่ายแล้วลักษณะของ substrate เช่น ดิน ก้อนหิน กรวด เป็นต้น ก็เป็นตัวกำหนดชนิดของสาหร่ายดังจะเห็นว่าสาหร่ายบางชนิด เช่น *Calothrix* มีความจำเพาะต่อ substrate เช่นท่อนไม้ ก้อนหิน ซึ่งสาหร่ายแต่ละชนิดมีความจำเพาะต่อ substrate แตกต่างกันไป นอกจากนั้นปริมาณออกซิเจนที่ละลายน้ำ ชัลไฟฟ์ ปริมาณสารอาหาร ได้แก่ SRP, NO<sub>3</sub><sup>-</sup> และ NH<sub>3</sub> ก็ส่งผลถึงจำนวนชนิดของสาหร่ายโดยพบว่าหากปริมาณออกซิเจนที่ละลายน้ำลดลง จำนวนชนิดของสาหร่ายก็ลดลงตามไปด้วย ส่วนในเรื่องปริมาณของชัลไฟฟ์นั้น จากการวิจัยในเรื่องนี้พบว่ามีความสัมพันธ์เชิงลบกับจำนวนชนิดของสาหร่าย กล่าวคือถ้าปริมาณชัลไฟฟ์มาก จำนวนชนิดของสาหร่ายจะลดลง และในทางกลับกัน ถ้าปริมาณชัลไฟฟ์ลดลง จำนวนชนิดของสาหร่ายจะเพิ่มขึ้น ซึ่งสอดคล้องกับงานวิจัยของ Dell'Uomo (1986) ซึ่งทำการศึกษาได้จากแหล่งสาหร่ายจากน้ำพุร้อน Triponzo เมืองเปรูเจีย ในตอนกลางของประเทศอิตาลี น้ำพุร้อนแห่งนี้มีไโตรเจนชัลไฟฟ์ และชัลเฟอร์ในรูปคลอโรฟิลล์มาก พบว่าได้จากแหล่งน้ำต่อปริมาณชัลไฟฟ์ที่ละลายน้ำ ซึ่งจากการศึกษาพบว่าชัลไฟฟ์ที่ละลายน้ำในปริมาณมากเป็นปัจจัยสำคัญของสาหร่ายบางชนิด ทำให้บริเวณที่ปริมาณชัลไฟฟ์ที่ละลายน้ำมาก ความหลากหลายของสาหร่ายจะน้อยตามไปด้วย นอกจากนี้ Castenholz (1976) ศึกษาผลกระทบของชัลไฟฟ์ที่มีต่อสาหร่ายสีเขียวแก่น้ำเงินในน้ำพุร้อน ประเทศนิวเซาธ์เวลส์ และไอโอร์แลนด์ พบว่าความเข้มข้นของชัลไฟฟ์ที่ละลายน้ำจะเป็นตัวกำหนดชนิดของสาหร่าย โดยศึกษาในสาหร่ายสีเขียวแก่น้ำเงิน *Mastigocladus laminosus* ในประเทศนิวเซาธ์เวลส์แลนด์ species นี้จะไวต่อปริมาณชัลไฟฟ์เกิน 0.15 mg/l ส่วนการศึกษาในประเทศไอโอร์แลนด์จะไวต่อปริมาณชัลไฟฟ์เกิน 0.25 mg/l และพบว่าไม่สามารถสาหร่ายชนิดนี้ในน้ำที่มีชัลไฟฟ์สูงมากๆ แสดงว่าชัลไฟฟ์มีผลต่อชนิดของสาหร่ายในน้ำพุร้อนค่อนข้างสูง

ส่วนการศึกษาปริมาณสารอาหารที่มีความสำคัญต่อการเจริญเติบโตของสาหร่าย ซึ่งได้แก่ SRP, NO<sub>3</sub><sup>-</sup> และ NH<sub>3</sub> พบว่าเมื่อมีค่าเพิ่มขึ้น มีผลให้จำนวนชนิดของสาหร่ายลดลง ซึ่งโดยสภาพแหน่งน้ำทั่วไปแล้ว ชนิด และปริมาณของสาหร่ายจะแปรผันตามปริมาณสารอาหารดังกล่าว ไม่ว่าจะเป็นในแหล่งน้ำจืด หรือแหล่งน้ำсолต์ แต่ในระบบนิเวศแบบน้ำพุร้อนนี้มีความพิเศษกว่าแหล่งน้ำที่ก่อตัวมาแล้ว โดยพบว่าอุณหภูมิเป็นปัจจัยสำคัญที่เป็นตัวกำหนดการแพร่กระจายของสาหร่าย

จนทำให้ปริมาณสารอาหารไม่ค่อยมีผลต่อจำนวนชนิด และการเจริญของสาหร่ายมากเท่าไอนั้น โดยพบว่าปริมาณสารอาหารที่มากหรือน้อยไม่ค่อยมีผลต่อจำนวนชนิดของสาหร่าย เช่นเดียวกับ การศึกษาของ Dell'Uomo ในปี 1986 ที่ทำการศึกษาโดยอะตอม และสาหร่ายในน้ำพุร้อน Triponzo ในประเทศอิตาลี พบว่า ในน้ำพุร้อนแห่งนี้มีปริมาณ  $\text{NO}_3^-$  และ  $\text{PO}_4^{3-}$  น้อยมากหรือ แทบไม่มีเลย แต่ก็ยังสามารถพบสาหร่ายได้หลายชนิด โดยเฉพาะพวงไครอะตอน และสาหร่ายสี เขียวแกมน้ำเงิน และจากการศึกษาของ Jha ในปี 1992 โดยศึกษาคุณภาพน้ำ และสาหร่ายในน้ำพุร้อน Suraj Kund และ Chandrama Kund ในประเทศอินเดีย ตั้งแต่เดือนมิถุนายน ปี 1986 ถึง เดือนเมษายน ปี 1987 พบว่าถึงแม่น้ำพุร้อนจะมีปริมาณ  $\text{NO}_3^-$  และ  $\text{PO}_4^{3-}$  น้อยมาก แต่ก็ยังพบ สาหร่ายได้หลายชนิดโดยเฉพาะสาหร่ายสีเขียวแกมน้ำเงิน ซึ่งก็แสดงให้เห็นว่า ในระบบนิเวศแบบ น้ำพุร้อนนี้ ถึงแม้จะมีปริมาณสารอาหารมากก็ไม่จำเป็นที่ชนิดของสาหร่ายจะมากตามไปด้วย เนื่องจากปัจจัยทางด้านอุณหภูมิมีผลต่อการเจริญของสาหร่าย จนสามารถควบคุมปัจจัยจำกัดอื่นๆ ได้

ปัจจัยอื่นๆ เช่น กระแสน้ำ กระแสน้ำ รวมทั้งปริมาณแสงก็มีผลต่อการกระจายของสาหร่าย ซึ่ง Brock (1978); Stevenson *et al.* (1996) และ Sperling (1975) กล่าวว่ากระแสน้ำและกระแสน้ำ มีผลต่อการเปลี่ยนแปลงระดับอุณหภูมิของน้ำ หากกระแสน้ำแรงและมีความเร็วสูงระดับ อุณหภูมิจะเปลี่ยนแปลงได้ง่าย ซึ่งอัตราการเย็นตัวของน้ำขึ้นอยู่กับอุณหภูมิของน้ำเริ่มต้น อุณหภูมิ อากาศ ความกว้างของลำธารและปริมาณของน้ำ ซึ่งจุดที่ทำให้อุณหภูมิลดลงเกิดตรงบริเวณจุดที่น้ำ สันผสกนน้ำตก ซึ่งถ้าหากมีกระแสน้ำเข้ามาช่วยพัดก็สามารถทำให้น้ำเย็นตัวลงได้ง่าย ซึ่ง Brock (1978) สรุปว่าความเร็วของลมมีความสำคัญต่ออัตราการเย็นตัวของน้ำได้ดีกว่าการเปลี่ยนแปลง ของอุณหภูมิของอากาศ ซึ่งสอดคล้องกับงานวิจัยนี้โดยอุณหภูมิอากาศที่เปลี่ยนแปลงในแต่ละฤดู กล่าวไม่ค่อยมีผลต่อความหลากหลายของสาหร่าย เนื่องจากปัจจัยอื่น ๆ จะเป็นตัวกำหนดมากกว่า อุณหภูมิของอากาศ ซึ่งปัจจัยที่กล่าวมานี้จะเป็นตัวกำหนดความหลากหลาย รวมทั้งปริมาณของ สาหร่าย โดยจะส่งผลให้แต่ละจุดเก็บตัวอย่างมีความหลากหลายทางชีวภาพของสาหร่ายแตกต่าง กัน

## 2. ลักษณะของน้ำพุร้อน

จากการศึกษาสภาพแหล่งน้ำพุร้อน ตลอดจนการศึกษาคุณสมบัติทางด้านกายภาพและเคมี ของแหล่งน้ำ พบว่าแหล่งน้ำทั้ง 9 แหล่งที่ทำการศึกษาเป็นแบบ alkaline hot springs ตามการจัด จำแนกของ Fogg *et al.* (1973) โดยแบ่งตามสภาพความเป็นกรดค้าง ซึ่งสอดคล้องกับการรายงาน ของกรมทรัพยากรรฟี(2529) และเกียรติศักดิ์และคณะ 2534 ซึ่งได้รายงานว่า น้ำพุร้อนในภาค

เห็นอีกคือประกอบทางเคมีคล้ายคลึงกันมีค่า pH ต่ำข้างสูง (7-9) ค่า total dissolved solids ต่ำ ค่า salinity ต่ำ องค์ประกอบส่วนใหญ่เป็นโซเดียม  $80-160 \text{ mg.l}^{-1}$  และไนโตรบอนเจต  $200-500 \text{ mg.l}^{-1}$  ซึ่งสามารถจำแนกชนิดของน้ำพุร้อนที่ทำการศึกษาเป็น alkaline sodium-bicarbonate water ซึ่งเกิดจากการละลายหินพาก calcareous sediments เมื่อทำปฏิกิริยาเคมีทำให้น้ำเกิดการเปลี่ยนสภาพเป็น bicarbonate หรืออีกรูปหนึ่งอาจเกิดจากการดูดซึมก้าชการบ่อนไดออกไซด์ของน้ำร้อน ทำให้เปลี่ยนสภาพน้ำเป็น bicarbonate ได้เช่นกัน (Davis and De Wiest, 1966) เมื่อเปรียบเทียบกับค่าการนำกระแสงไฟฟ้า พบว่ามีความสัมพันธ์กันโดย เกียรติศักดิ์และคณะ (2534) ได้รายงานว่าในน้ำพุร้อนในเขตภาคเหนือนี้มีปริมาณของแร่ธาตุบางตัวสูง เช่น โซเดียม โพแทสเซียม แคลเซียม ลิเธียม ฟลูออเรน และซิลิกา ซึ่งสารเหล่านี้หากละลายอยู่ในน้ำมาก ก็จะทำให้มีค่าการนำไฟฟ้านานาตามไปด้วย และเมื่อศึกษาปริมาณชัลไฟลด์ และปริมาณสารอาหาร SRP,  $\text{NO}_3^-$  และ  $\text{NH}_4^+$  ในน้ำพบว่าที่อุณหภูมิสูงๆ ค่าที่วิเคราะห์ได้จะสูงตามไปด้วย เนื่องจากผลกระทบของแร่ธาตุในชั้นหินและการออกซิไดซ์ของ จุลินทรีย์พอกไม่ใช้อากาศ (anaerobe) ทำให้ที่อุณหภูมิสูงปริมาณชัลไฟลด์ และปริมาณสารอาหารจะสูงตามไปด้วย เมื่ออุณหภูมิลดลงตามระดับของน้ำร้อน ปริมาณของชัลไฟลดลง เนื่องจากชัลไฟลด์เมื่ออุกออกาศจะเปลี่ยนไปอยู่ในรูปของชัลเฟตแทน ส่วนค่าการละลายของออกซิเจนในน้ำ (DO) จากผลการสำรวจพบว่ามีความสัมพันธ์ เผิงลงกับอุณหภูมิโดยเมื่ออุณหภูมิสูงขึ้นปริมาณ DO จะลดลง (ตาราง 23) ซึ่งสอดคล้องกับ Brock (1978) ได้รายงานว่าปริมาณ DO จะมีค่าลดลงเมื่ออุณหภูมิเพิ่มสูงขึ้น จากผลการศึกษาน้ำพุร้อน บางแหล่ง เช่นน้ำพุร้อนโปงเดือดพบว่าค่า DO ที่ช่วงอุณหภูมิ  $40-49^\circ\text{C}$  มีค่าสูง (DO เท่ากับ  $4.8-5.4 \text{ mg.l}^{-1}$ ) เนื่องจากสภาพจุดเก็บตัวอย่างเป็นน้ำตก น้ำได้สัมผัสถกับอากาศทำให้ค่า DO สูงขึ้น และในถูกผันค่า DO เพิ่มขึ้นจากถูกแล้งเนื่องจากได้รับอิทธิพลจากน้ำเย็นที่ไหลมาผ่าน

### 3. การจัดจำแนกชนิดของสาหร่ายน้ำพุร้อน

ในการวิจัยครั้งนี้ ได้ทำการจำแนกชนิดของสาหร่ายน้ำพุร้อนโดยเฉพาะสาหร่ายสีเขียวแกมน้ำเงินในแนวทางเดิม (classical approaches) โดยทำการพิจารณาจากลักษณะทางสัณฐานวิทยา วงจรชีวิต การแบ่งเซลล์ ลักษณะที่มีองค์หนึ่นได้ด้วยตาเปล่า (macroscopical aspects) ซึ่งในบางครั้งยังไม่สามารถจำแนกชนิดของสาหร่ายบางชนิดได้ซึ่งก็มีวิธีการศึกษาแนวทางใหม่ (modern approaches) ที่ยังคงทำการศึกษาลักษณะทางสัณฐานวิทยา มีการศึกษาถึงโครงสร้างละเอียด (fine structure) โดยใช้กล้องจุลทรรศน์แบบส่องผ่าน (transmission electron microscope: TEM) ศึกษาลักษณะทางสรีรวิทยาของเซลล์จากการเพาะเลี้ยง รวมทั้งการศึกษาอัญเชิญโนเลกูล

(Molecular biology) โดยใช้ลำดับยีน 16S rRNA รวมทั้งศึกษาสายพันธุกรรม (phylogeny) ศึกษาถึงแผนการการวิวัฒนาต่าง ๆ (Anagnostidis and Komárek, 1985) ซึ่ง Ward *et al.* (1998) ได้ตั้งสมมติฐานโดยใช้เทคนิค culture-independent 16S rRNA เพื่อศึกษาความสัมพันธ์และรูปแบบของกลุ่มสาหร่ายและความหลากหลายของกลุ่มสาหร่ายโดยศึกษาการกระจายของลำดับยีน 16S rRNA ที่ตรวจสอบซึ่งจะเป็นแนวทางที่ดีในการศึกษาความหลากหลายของสาหร่ายในน้ำพร้อมต่อไปในอนาคต

## บทที่ 6

### สรุปผลการวิจัย

จากการศึกษาความหลากหลายทางชีวภาพของสาหร่ายในน้ำพุร้อนบางแหล่งในเขตภาคเหนือตอนบนของประเทศไทย ระหว่างเดือน กุมภาพันธ์ 2542 ถึง เดือนสิงหาคม 2543 ใน 9 แหล่ง คือ น้ำพุร้อนสันกำแพง น้ำพุร้อนโป่งเดือด น้ำพุร้อนเทพนม น้ำพุร้อนแม่ฟ้าง และ โป่งน้ำร้อนดอยสะเก็ต จังหวัดเชียงใหม่ น้ำพุร้อนแจ้ซ้อน จังหวัดลำปาง น้ำพุร้อนท่าปาย จังหวัดแม่ฮ่องสอน โป่งน้ำร้อนแม่จัน และน้ำพุร้อนห้วยหมากเลี้ยม จังหวัดเชียงราย โดยทำการเก็บตัวอย่างทุก 2 ฤดู คือ ฤดูแล้ง และฤดูฝน ยกเว้นน้ำพุร้อนแม่ฟ้าง และน้ำพุร้อนห้วยหมากเลี้ยม เก็บเฉพาะในฤดูฝน แบ่งจุดเก็บตัวอย่างในแต่ละแหล่งออกเป็น 5 ช่วงระดับอุณหภูมิ คือ  $30-39^{\circ}\text{C}$ ,  $40-49^{\circ}\text{C}$ ,  $50-59^{\circ}\text{C}$ ,  $60-69^{\circ}\text{C}$  และ  $70-80^{\circ}\text{C}$  พบสาหร่ายทั้งหมด 48 genera 78 species จัดอยู่ใน 4 Divisions คือ Cyanophyta, Bacillariophyta, Chlorophyta และ Euglenophyta ซึ่งชนิดสาหร่ายที่พบส่วนใหญ่เป็นสาหร่ายสีเขียวแกมน้ำเงินใน Division Cyanophyta สาหร่ายที่เป็น dominant species ของทุกแหล่งน้ำ คือ สาหร่ายสีเขียวแกมน้ำเงิน *Phormidium boryanum* (Bory ex Gom.)-Anagn. Et Kom. และ *Synechococcus* spp. ซึ่งพบมากในอุณหภูมิช่วง  $55-57^{\circ}\text{C}$  และ  $65-72^{\circ}\text{C}$  ตามลำดับ นอกจากนี้ยังพบได้อะตอมใน Division Bacillariophyta ที่พบมากคือ *Diatomella balfouriana* Grev. และ *Rhopalodia gibberrula* (Ehrenberg) O.Müller ซึ่งพบมากที่อุณหภูมิ  $30-59^{\circ}\text{C}$  ส่วนสาหร่ายใน Division Chlorophyta และ Euglenophyta พบเพียง 10 species เท่านั้น ในช่วงอุณหภูมิ  $30-39^{\circ}\text{C}$  มีจำนวนชนิดสาหร่ายมากที่สุดคือ 47 genera 75 species รองลงมาคือช่วง  $40-49^{\circ}\text{C}$  พบสาหร่าย 38 genera 65 species ช่วงอุณหภูมิ  $50-59^{\circ}\text{C}$  พบสาหร่าย 18 genera 28 species ช่วงอุณหภูมิ  $60-69^{\circ}\text{C}$  พบสาหร่าย 3 genera 5 species และช่วงอุณหภูมิ  $70-80^{\circ}\text{C}$  พบสาหร่าย 1 genus 3 species สาหร่ายในน้ำพุร้อนเทพนมมีความหลากหลายมากที่สุด

แหล่งน้ำพุร้อนที่ทำการศึกษาทุกแหล่งเป็นแบบ alkaline-bicarbonate spring เมื่อวิเคราะห์ข้อมูลจำนวนชนิดสาหร่ายที่พบตามช่วงระดับอุณหภูมิ และฤดูกาล พบว่ามีความสัมพันธ์กัน โดยพบว่าอุณหภูมิเป็นตัวกำหนดการกระจายชนิดสาหร่าย นอกจากนี้ปัจจัยทางกายภาพ และเคมีทางประการคือปริมาณออกซิเจนที่ละลายน้ำ และปริมาณซัลไฟด์ โดยความหลากหลายของสาหร่ายที่พบมีความสัมพันธ์เชิงบวกกับปริมาณออกซิเจนที่ละลายน้ำ และมีความสัมพันธ์เชิงลบกับอุณหภูมิ และปริมาณซัลไฟด์ที่พบในน้ำ

## บรรณานุกรม

- กาญจนา ชาญส่งวorch สุทธิรักษ์ นิยมฤทธิ์ และศรีเพ็ญ เวชการัณย์. 2532. การวินิจฉัยชนิดของแบคทีเรียสีน้ำเงินแแกมน้ำเงิน ประเภทที่เจริญ ณ อุณหภูมิสูงในน้ำพื้อร้อนทางภาคเหนือของประเทศไทย. การประชุมวิชาการวิทยาศาสตร์และเทคโนโลยีแห่งประเทศไทย ครั้งที่ 13. มหาวิทยาลัยเชียงใหม่. เชียงใหม่. โปสเตอร์ B133.
- กาญจนา ชาญส่งวorch และ สุทธิรักษ์ นิยมฤทธิ์. 2535. แบคทีเรียสีเขียวแแกมน้ำเงินที่เจริญ ณ อุณหภูมิสูง. วารสารวิทยาศาสตร์. 2. 71 – 75.
- กรมทรัพยากรธรรมชาติ. 2529. การสำรวจแหล่งพลังงานความร้อนใต้พิภพทางภาคเหนือของประเทศไทย. รายงานฉบับสมบูรณ์.
- กรมทรัพยากรธรรมชาติ. 2530. แหล่งพลังงานความร้อนใต้พิภพทางภาคเหนือของประเทศไทย. รายงาน การสำรวจฉบับที่ 1. 40-42.
- เกียรติศักดิ์ พลสองครรัตน์ พลยุทธ ศุขสมิท เจนศิริ จันทร์ศิริ และคณะ. 2534. การศึกษาน้ำแร่ในภาคเหนือของประเทศไทย : ประโยชน์และการนำไปใช้. รายงานการวิจัยฉบับที่ 93 สถาบันชีวิทยาและสถาบันวิจัยและพัฒนา.
- ประวิทย์ พิทักษ์วานี. 2533. นิเวศวิทยาของสาหร่ายบริเวณน้ำพื้อร้อนบ้านโป่งช่อง อ. สันกำแพง จ. เชียงใหม่. วิทยานิพนธ์วิทยาศาสตร์บัณฑิต. มหาวิทยาลัยเชียงใหม่.
- ยุวดี พิรพรพิศาล. 2542. สาหร่ายตอนที่ 1 : ความรู้ทั่วไปเกี่ยวกับสาหร่ายสีเขียวแแกมน้ำเงินและสาหร่ายสีเขียว . ภาควิชาชีววิทยา คณะวิทยาศาสตร์ มหาวิทยาลัยเชียงใหม่.
- วิรัชนีย์ ภูมิคิวท์. 2534. การศึกษานิคและชีวิทยาของสาหร่ายในน้ำพื้อร้อน อ. เข้าชัยสน จ. พัทลุง. ปัญหาพิเศษวิทยาศาสตร์บัณฑิต. มหาวิทยาลัยสงขลานครินทร์.
- สารบุรี ไชยมงคล. 2523. ฤดูกิจกรรมในน้ำพื้อร้อนโป่งช่อง ตำบลลอดอนหลวง อำเภอสันกำแพง จังหวัดเชียงใหม่. การค้นคว้าอิสระเชิงวิทยานิพนธ์ วิทยาศาสตร์บัณฑิต (การสอนชีววิทยา). มหาวิทยาลัยเชียงใหม่.
- สุจิตรา กุล และพินิจ กุลสิงห์. 2522. น้ำพื้อร้อนและการศึกษาพันธุ์ร้อนในประเทศไทย. งานวิจัย. Anagnostidis K., Economou-Amilli A., Makris K. 1988. The morphotypes of *Phormidium boryanum* (Bory ex Gom.) Anagn. et Kom. and *Phormidium janthiphorum* (Fior.-Mazz. ex Gom.) Elenk. Arch. Hydrobiol. Suppl., 80(1-4), 71-91.
- Anagnostidis K., Komárek J. 1985. Modern approach to the classification system of cyanobacteria 1. Introduction. Arch. Hydrobiol. Suppl., 38/39, 291-302.
- Anagnostidis K., Komárek J. 1988. Modern approach to the classification system of cyanobacteria 3. Oscillatoriales. Arch. Hydrobiol. Suppl., 50/53, 327-472.

- Anagnostidis K., Komárek J. 1990. Modern approach to the classification system of cyanobacteria 5. Stigonematales. *Arch. Hydrobiol. Suppl.*, 59, 1-73
- Anna C. L. Azevedo M. T. P. 1995. Oscillatoriaceae (Cyanophyceae) from São Paulo State, Brazil. *Nova Hedwigia*, 60, 19-58.
- APHA, AWWA, WPCF. 1992. Standard Methods for the Examination of Water and Wastewater, Washington DC, American Public Health Association.
- Brock T. D. 1966. Principle of Microbial Ecology. Prentice-Hall, Inc., Englewood Cliffs. New Jersey.
- Brock T.D. 1978. Thermophilic Microorganisms and Life at High Temperatures. Springer-Verlag. New York.
- Brock T.D. 1994. Up the Temperature Gradient : Life at High Temperatures. Yellowstone Association for Natural Science, History & Education, Inc. Available : <http://www.bact.wisc.edu/bact303/b10>.
- Campbell L.L., Pace B. 1968. Physiology of growth at high temperatures. *J. appl. Bact.*, 31, 24 – 35.
- Castenholz R.W. 1973. Ecology of blue - green algae in hot springs. In Carr, N.G., Whitton, B.A. (eds.), The biology of blue - green algae. Blackwell Scientific Publications. New York.
- Castenholz R.W. 1976. The Effect of Sulfide on the Bluegreen Algae of Hot Springs, I. New Zealand and Iceland. *Phycol.*, 12, 54 – 68.
- Compère P., Delmotte A. 1986. Diatoms in Two Hot Springs in Zambia (Central Africa ). 9th Diatom symposium, 29 - 39.
- Croasdale H. Flint E. A.1986. Flora of New Zealand: Volume I. V. R. Ward, Government Printer , Wellington.
- Croasdale H. Flint E. A.1988. Flora of New Zealand: Volume II. Caxton Press, Cristchurch.
- Davis S.N., De Wiest R. J. M. 1966. Hydrogeology. John Wiley & Sons, Inc. New York.
- Dell' Uomo A. 1986. Diatoms and Other Algae from the Thermal-Sulphur Springs of Triponzo (Central Italy). *Arch Hydrobiol. Suppl.*, 73(1), 79 – 91.
- Desikachary T.U. 1959. Cyanophyta, Indian Council of Agricultural Research. New Delhi.
- Fish S.A., Codd G.A. 1994. Bioactive compound production by thermophilic and thermotolerant cyanobacteria (blue-green algae). *World Journal of Microbiology & Biotechnnology*, 10, 338-341.
- Foged N. 1974. Freshwater Diatoms in Iceland. A.R. Gantner Verlag Kommanditgesellschaft, Vadus, Leutershausev.
- Fogg G.E., Stewart W.D.P., Fay P., Walsby A.E. 1973. The Blue-Green Algae. Academic Press-London and New York, New York.
- Hayashi N., Peerapornpisal Y., Nishihara H., Ishii M., Igarashi Y., Komada T. 1994. Isolation and Cultivation of Thermophilic Cyanobacteria from Hot Springs of Northern Thailand. *Journal of Fermentation and Bioengineering*, 78(2), 179 - 181.
- Hindák F. 1983. Morphological variability and taxonomy of some coccoid green algae (Cyanophyta). *Schweiz. Z. Hydrol.*, 45(1), 311-320.

- Hoffmann L. 1988. Criteria for the classification of blue-green algae (cyanobacteria) at the genus and at the species level. Arch. Hydrobiol. Suppl., 80(1-4), 131-139.
- Hefley G. 2000. Algae to the Rescue of Power Plants, In Cosmiverse Online. Available : <http://www.cosmiverse.com/science/080302.html> [2001, Feb. 27].
- Huber-Pestalozzi G. 1938. Das Phytoplankton des Süßwassers: Blaualgen, Bakterien, Pilze 1. Teil, E. Schweizerbart, sche Verlags Buch Handlung, Stuttgart.
- Huber-Pestalozzi G. 1942. Das Phytoplankton des Süßwassers: Diatomeen, 2. Teil, E. Schweizerbart, sche Verlags Buch Handlung, Stuttgart.
- Huber-Pestalozzi G. 1955. Das Phytoplankton des Süßwassers: Euglenophyceen, 4. Teil. E. Schweizerbart, sche Verlags Buch Handlung, Stuttgart.
- Huber-Pestalozzi G. 1983. Das Phytoplankton des Süßwassers: Chlorophyceae (Grunglgen) Ordnung Chlorococcales, 7. Teil. 1. Hälfte, E. Schweizerbart, sche Verlags Buch Handlung, Stuttgart.
- Jha M. 1992. Hydrobiology Studies Suraj Kund and Chandrama Kund, Hot Springs of Rajgir, Bihar, India. Int.-Rev.-Gesamt.-Hydrobiol, 77(3), 435-443.
- Komárek J., Anagnostidis K. 1989. Modern approach to the classification system of cyanobacteria 4. Nostocales. Arch. Hydrobiol. Suppl., 56, 247-345.
- Komarek J., Anagnostidis K. 1999. Cyanoprokaryota : Chroococcales, 1 . Teil, Gustav Fischer Verlag Jena, Stuttgart.
- Kováčik L. 1988. Cell division in simple coccal cyanophytes. Arch. Hydrobiol. Suppl., 80(1-4), 149-190.
- Krammer K., Lange-Bertalot H. 1986. *Bacillariophyceae. Teil 1. Naviculaceae*. Süßwasserflora van Mitteleuropa, Bd. 2, berg. Von A. Pascher. Gustav Fisher Verlag, Stuttgart.
- Krammer K., Lange-Bertalot H. 1988. *Bacillariophyceae. Teil 2. Bacillariaceae, Epithemiaceae, Suriellaceae*. Süßwasserflora van Mitteleuropa, Bd. 2, berg. Von A. Pascher. Gustav Fisher Verlag, Stuttgart.
- Krammer K., Lange-Bertalot H. 1991 a. *Bacillariophyceae. Teil 3. Centrales, Fragilariaeae, Eunotiaceae*. Süßwasserflora van Mitteleuropa, Bd. 2, berg. Von A. Pascher. Gustav Fisher Verlag, Stuttgart.
- Krammer K., Lange-Bertalot H. 1991 b. *Bacillariophyceae. Teil 4. Achnanthaceae. Kritische Ergänzungen zu Navicula*. Süßwasserflora van Mitteleuropa, Bd. 2, berg. Von A. Pascher. Gustav Fisher Verlag, Stuttgart.
- Leghari S.M., Thebo S.N. 1983 . Cyanophyceae of Hot Spring at Laki Shah Sadar , Sind Pakistan. Sind Univ. Res. Jour. (Sci. Ser.), 15, 147 – 150.
- Lynchn J. M., Poole N. J. 1979. Extreme Environment: Microbial Ecology: a Conceptual Approach, Halsted Press, New York.
- Miyake J., Miyake M., Asada Y. 1999. Biotechnological Hydrogen Production : Research for Efficient Light Energy Conversion. Journal of Biotechnology, 70, 89-101.
- Odum E.A. 1971. Fundamental of Ecology. 3<sup>rd</sup>. ed. W.B. Saundress Company, Philadelphia.
- Pentecost A. 1995. British Thermophilic Cyanobacteria. Arch. Hydrobiol. Suppl., 132, 404 – 419.

- Prescott G.W. 1970. How to Know the Freshwater Algae, Iowa, Wm.C. Brown Company Publishers, Dubuque.
- Ramingwong T., Ratanasthien B., Wattananikorn K., Tantisukrit C., Pitragool S., Thanasuthipitak T. 1979. Geothermal Energy Resources of Amphoe Fang and San Kampaeng, Chiang Mai. Report of Department of Geological Sciences and Department of Physics, Faculty of Science, Chiang Mai University.
- Ramingwong T., Ratanasthien B., Wattananikorn K., Tantisukrit C., Lerdthusnee S., Thanasuthipitak T., Pitragool S. 1980. Geothermal Resources of Northern Thailand: San Kampaeng, Fang and Mae Chan Geothermal systems. A Final Report of Chiang Mai. Report Department of Geological Sciences and Department of Physics, Faculty of Science, Chiang Mai University.
- Ramingwong T., Ratanasthien B., Tantisukrit C., Thanasuthipitak T. Lerdthusnee S., Wathananikon K. 1985. 1980-1981 Geochemical Data of Five Highest Potential Geothermal Systems in Northern Thailand: Fang, San Kamphaeng, Mae Chan, Pa Pae and Mae Chaem. Report of Department of Geological Sciences and Department of Physics, Faculty of Science, Chiang Mai University.
- Roberts D. 1998. Eukaryotes in Extreme Environments. Department of Zoology, The Natural History Museum, London. Available : <http://www.nhm.ac.uk/zoology/extreme>.
- Round F. E. 1975. The Biology of the Algae. Edward Arnold (Publishers) Ltd.
- Sakamoto Y., Sakai N., Kishimoto N., et.al. 1995. *Chlorella* Strains from Hot Springs tolerant to High Temperature and High CO<sub>2</sub> (1) Isolation and Growth Characteristics. Energy Conversion and Management .36(6-9) :693-696.
- Sperling J.A. 1975. Algal Ecology of Southern Icelandic Hot Springs in Winter. Ecology, 56(1), 183 – 190.
- Stevenson R.S., Max L.B., Rex L.L. 1996. Algal Ecology: Freshwater Benthic Ecosystems. Academic Press, San Diego California.
- Ward D. M., Ferris M. J., Nold S. C. et al. 1998. A Natural View of Microbial Biodiversity within Hot Spring Cyanobacterial Mat Communities. Microbiology and Molecular Biology Reviews, Vol.62, No. 4, p. 1353-1370.
- Whitford L.A., Schumacher G.J. 1969. A manual of the freshwater algae in North Carolina. The North Carolina Agriculture Expreiment Station, North Carolina.

## **ภาคผนวก ๗**

ตาราง 11 คุณภาพน้ำทางด้านเคมีทางประการของน้ำพื้นอ่อนตันกำแพง (SKP) ในช่วงอุณหภูมิ 30 – 80 °C ในฤดูเดือนและฤดูฝน  
(เก็บตัวอย่างตามเดือน : 14 ม.ค. 2543 ถึงเดือน : 21 พ.ค. 2543)

| ช่วงอุณหภูมิ<br>(°C) | pH     | Conductivity<br>(μs.cm <sup>-1</sup> ) | Alkalinity<br>(mg.l <sup>-1</sup> ) | DO<br>(mg.l <sup>-1</sup> ) | Sulfide<br>(mg.l <sup>-1</sup> ) | SRP<br>(mg.l <sup>-1</sup> ) | NO <sub>3</sub> <sup>-</sup><br>(mg.l <sup>-1</sup> ) | NH <sub>4</sub> <sup>+</sup><br>(mg.l <sup>-1</sup> ) | Turbidity<br>(TPN) |
|----------------------|--------|--|-------------------------------------|-----------------------------|----------------------------------|------------------------------|---|---|--------------------|
| แม่น้ำ               | แม่น้ำ | แม่น้ำ                                 | แม่น้ำ                              | แม่น้ำ                      | แม่น้ำ                           | แม่น้ำ                       | แม่น้ำ  | แม่น้ำ  | แม่น้ำ             |
| 30 – 39              | 7.1    | 8.2                                    | 698                                 | 605                         | 267                              | 297                          | -   | 0.14  | 0.15               |
| 40 – 49              | 7.1    | 8.1                                    | 815                                 | 607                         | 320                              | 298                          | 0   | 0.29  | 0.34               |
| 50 – 59              | 8.7    | 8.2                                    | 773                                 | 667                         | 318                              | 306                          | 0   | 0.36  | 0.41               |
| 60 – 69              | 9.1    | 8.8                                    | 815                                 | 704                         | 313                              | 320                          | 0   | 0.68  | 0.43               |
| 70 – 80              | 8.2    | 7.0                                    | 801                                 | 698                         | 291                              | 267                          | 0   | 0   | 2.72               |
|                      |        |  |                                     |                             |                                  |                              | 0.13  | 0.33  | 1.64               |
|                      |        |  |                                     |                             |                                  |                              | 7.4   | 3.2   | 0.95               |
|                      |        |  |                                     |                             |                                  |                              |   | 1.32  | 1.2                |
|                      |        |  |                                     |                             |                                  |                              |   |   | 0.5                |

ตาราง 12 คุณภาพน้ำทางด้านเคมีทางประการของน้ำพื้นอ่อนตันปะเพลิด (PD) ในช่วงอุณหภูมิ 30 – 80 °C ในฤดูเดือนและฤดูฝน  
(เก็บตัวอย่างตามเดือน : 10 มี.ค. 2542 ถึงเดือน : 3 มี.ย. 2543)

| ช่วงอุณหภูมิ<br>(°C) | pH     | Conductivity<br>(μs.cm <sup>-1</sup> ) | Alkalinity<br>(mg.l <sup>-1</sup> ) | DO<br>(mg.l <sup>-1</sup> ) | Sulfide<br>(mg.l <sup>-1</sup> ) | SRP<br>(mg.l <sup>-1</sup> ) | NO <sub>3</sub> <sup>-</sup><br>(mg.l <sup>-1</sup> ) | NH <sub>4</sub> <sup>+</sup><br>(mg.l <sup>-1</sup> ) | Turbidity<br>(TPN) |
|----------------------|--------|--|-------------------------------------|-----------------------------|----------------------------------|------------------------------|---|---|--------------------|
| แม่น้ำ               | แม่น้ำ | แม่น้ำ                                 | แม่น้ำ                              | แม่น้ำ                      | แม่น้ำ                           | แม่น้ำ                       | แม่น้ำ  | แม่น้ำ  | แม่น้ำ             |
| 30 – 39              | 9.0    | 8.5                                    | 480                                 | 270                         | 165                              | 105                          | -   | -   | 0.05               |
| 40 – 49              | 9.5    | 8.7                                    | 485                                 | 280                         | 168                              | 107                          | 5.4   | 4.8   | -                  |
| 50 – 59              | 9.6    | 9.1                                    | 442                                 | 345                         | 163                              | 160                          | 0   | 0   | 0.15               |
| 60 – 69              | 9.4    | 9.3                                    | 436                                 | 350                         | 164                              | 169                          | 0   | -   | 0.17               |
| 70 – 80              | 9.4    | 9.1                                    | 439                                 | 380                         | 172                              | 171                          | 0   | 0   | 0.45               |
|                      |        |  |                                     |                             |                                  |                              | 0.31  | 1.21  | 0.51               |
|                      |        |  |                                     |                             |                                  |                              |   | 0.01  | 0.28               |
|                      |        |  |                                     |                             |                                  |                              |   |   | 0.4                |
|                      |        |  |                                     |                             |                                  |                              |   |   | 0.5                |

ตาราง 13 คุณภาพน้ำทางด้านเคมีทางประการของน้ำพื้นที่อนแทพน (TPN) ในช่วงอุณหภูมิ 30 – 80 °C ในฤดูแล้งและฤดูฝน  
(เก็บตัวอย่างเดลี่ : 2 เม.ย. 2542 ถึง 20 เม.ย. 2543)

| ช่วงอุณหภูมิ (°C) | pH     | Conductivity ( $\mu\text{s.cm}^{-1}$ ) | Alkalinity ( $\text{mg.l}^{-1}$ ) | DO ( $\text{mg.l}^{-1}$ ) | Sulfide ( $\text{mg.l}^{-1}$ ) | SRP ( $\text{mg.l}^{-1}$ ) | $\text{NO}_3^-$ ( $\text{mg.l}^{-1}$ ) | $\text{NH}_4^+$ ( $\text{mg.l}^{-1}$ ) | Turbidity (TPN) |
|-------------------|--------|--|-----------------------------------|---------------------------|--------------------------------|----------------------------|--|--|-----------------|
|                   | แม่สัง | แม่น                                   | แม่สัง                            | แม่น                      | แม่สัง                         | แม่น                       | แม่สัง                                 | แม่น                                   | แม่สัง แม่น     |
| 30 – 39           | 9.0    | 6.5                                    | 550                               | 194                       | 222                            | 55                         | 5.8                                    | 0.04                                   | 0.41 0.55       |
| 40 – 49           | 9.0    | 8.9                                    | 552                               | 500                       | 222                            | 219                        | 5.8                                    | 0.04                                   | 0.38 0.70       |
| 50 – 59           | 9.0    | 8.9                                    | 533                               | 500                       | 222                            | 218                        | 3.2                                    | 0                                      | 0.04 0.50       |
| 60 – 69           | 8.8    | 8.9                                    | 592                               | 503                       | 235                            | 236                        | 3.8                                    | 2.0                                    | 0.03 0.04       |
| 70 – 80           | 8.8    | 8.5                                    | 532                               | 480                       | 222                            | 219                        | 0                                      | 0                                      | 0.47 0.32       |

ตาราง 14 คุณภาพน้ำทางด้านเคมีทางประการของน้ำพื้นที่อนแทพน (MF) ในช่วงอุณหภูมิ 30 – 80 °C ในฤดูแล้งและฤดูฝน (เก็บตัวอย่างวันที่ 27 พ.ค. 2542)

| ช่วงอุณหภูมิ (°C) | pH     | Conductivity ( $\mu\text{s.cm}^{-1}$ ) | Alkalinity ( $\text{mg.l}^{-1}$ ) | DO ( $\text{mg.l}^{-1}$ ) | Sulfide ( $\text{mg.l}^{-1}$ ) | SRP ( $\text{mg.l}^{-1}$ ) | $\text{NO}_3^-$ ( $\text{mg.l}^{-1}$ ) | $\text{NH}_4^+$ ( $\text{mg.l}^{-1}$ ) | Turbidity   |
|-------------------|--------|--|-----------------------------------|---------------------------|--------------------------------|----------------------------|--|--|-------------|
|                   | แม่สัง | แม่น                                   | แม่สัง                            | แม่น                      | แม่สัง                         | แม่น                       | แม่สัง                                 | แม่น                                   | แม่สัง แม่น |
| 30 – 39           | -      | 7.0                                    | -                                 | 530                       | -                              | 348                        | -                                      | -                                      | 0.20 - 0.5  |
| 40 – 49           | -      | 7.3                                    | -                                 | 530                       | -                              | 350                        | -                                      | 0                                      | 0.20 - 0.7  |
| 50 – 59           | -      | 7.3                                    | -                                 | 530                       | -                              | 346                        | -                                      | 0.01                                   | - 0.22      |
| 60 – 69           | -      | 7.3                                    | -                                 | 535                       | -                              | 355                        | -                                      | 0                                      | - 0.02      |
| 70 – 80           | -      | 7.5                                    | -                                 | 505                       | -                              | 410                        | -                                      | 0                                      | - 1.10      |

ตาราง 15 ฤทธิภาพเพื่อทางค้านกายภาพและเครื่องมานะประการของปูน้ำร้อนดอนดีซี (DSK) ในช่วงอุณหภูมิ  $30 - 80^{\circ}\text{C}$  ในกรดแล็กและกรดฟูน

(ເກີນຕ້ວຍຄ່າງຄູແລ້ງ : 19 ກ.ມ. 2542 ຖັນ : 19 ປີ ມ. 2542)

| ช่วงอุณหภูมิ (°C) | pH  | Conductivity ( $\mu\text{s.cm}^{-1}$ ) | Alkalinity ( $\text{mg.l}^{-1}$ ) | DO ( $\text{mg.l}^{-1}$ ) | Sulfide ( $\text{mg.l}^{-1}$ ) | SRP ( $\text{mg.l}^{-1}$ ) | $\text{NO}_3^-$ ( $\text{mg.l}^{-1}$ ) | $\text{NH}_4^+$ ( $\text{mg.l}^{-1}$ ) | Turbidity |      |
|-------------------|-----|--|-----------------------------------|---------------------------|--------------------------------|----------------------------|--|--|-----------|------|
|                   |     |  |                                   |                           |                                |                            |  |  | แม่น      | ผ่าน |
| 30 – 39           | 8.5 | 7.5                                    | 540                               | 527                       | 240                            | 225                        | 1.4                                    | 2.2                                    | 0         | 0    |
| 40 – 49           | 9.0 | 7.7                                    | 543                               | 540                       | 244                            | 250                        | 0                                      | 0                                      | 0.01      | 0.01 |
| 50 – 59           | 8.9 | 7.8                                    | 530                               | 530                       | 233                            | 250                        | 0                                      | 0                                      | 0.03      | 0.02 |
| 60 – 69           | 8.5 | 7.8                                    | 540                               | 530                       | 240                            | 244                        | 0                                      | 0                                      | 0.03      | 0.02 |
| 70 – 80           | 8.5 | 7.6                                    | 541                               | 557                       | 246                            | 258                        | 0                                      | 0                                      | 0.03      | 0.33 |

ตาราง 16 คุณภาพเนื้อทางค้านภัยอาหารและเครื่องปรุงสำเร็จชั้น (JS) ในช่วงอุณหภูมิ 30–80 °C ในครัวเดิมและบุฟเฟ่ต์

| ջաղաքահամ (°C) | pH        |            | Conductivity ( $\mu\text{s.cm}^{-1}$ ) |            | Alkalinity ( $\text{mg.l}^{-1}$ ) |            | DO ( $\text{mg.l}^{-1}$ ) |            | Sulfide ( $\text{mg.l}^{-1}$ ) |            | SRP ( $\text{mg.l}^{-1}$ ) |            | $\text{NO}_3^-$ ( $\text{mg.l}^{-1}$ ) |            | $\text{NH}_4^+$ ( $\text{mg.l}^{-1}$ ) |            | Turbidity |            |
|----------------|-----------|------------|--|------------|-----------------------------------|------------|---------------------------|------------|--------------------------------|------------|----------------------------|------------|--|------------|--|------------|-----------|------------|
|                | Առաջնական | Կողմանական | Առաջնական                              | Կողմանական | Առաջնական                         | Կողմանական | Առաջնական                 | Կողմանական | Առաջնական                      | Կողմանական | Առաջնական                  | Կողմանական | Առաջնական                              | Կողմանական | Առաջնական                              | Կողմանական | Առաջնական | Կողմանական |
| 30 – 39        | 7.5       | 7.1        | 340                                    | 438        | 201                               | 201        | -                         | -          | 0.01                           | 0          | 1.13                       | 0.20       | 0.7                                    | 0.5        | 0.26                                   | 0.21       | 10.0      | 5.0        |
| 40 – 49        | 7.8       | 7.6        | 543                                    | 576        | 245                               | 243        | 2.2                       | 2.8        | 0.01                           | 0          | 1.17                       | 0.22       | 0.8                                    | 0.6        | 0.24                                   | 0.32       | 2.0       | 2.1        |
| 50 – 59        | 7.8       | 7.6        | 510                                    | 557        | 260                               | 251        | 0                         | 0          | 0.02                           | 0.01       | 0.92                       | 0.26       | 0.5                                    | 1.0        | 0.43                                   | 0.44       | 1.0       | 5.7        |
| 60 – 69        | 7.8       | 7.4        | 517                                    | 545        | 250                               | 245        | 0                         | 0          | 0.82                           | 0.02       | 1.37                       | 0.34       | 0.7                                    | 1.1        | 0.73                                   | 0.64       | 0.5       | 0.4        |
| 70 – 80        | 7.7       | 7.6        | 523                                    | 580        | 255                               | 262        | 0                         | 0          | 1.46                           | 0.33       | 1.45                       | 0.21       | 1.9                                    | 3.0        | 1.28                                   | 0.82       | 0.5       | 1.7        |

ตาราง 17 คุณภาพน้ำทางด้านเคมีทางปรมาณการของน้ำรีบน้ำป่า (TP) ในช่วงอุณหภูมิ  $30 - 80^{\circ}\text{C}$  ในฤดูแล้งและฤดูฝน  
(เก็บตัวอย่างทั่วไป : 7 ม.ค. 2543 ถึง พ.ค. 13 ส.ค. 2542)

| ช่วงอุณหภูมิ ( $^{\circ}\text{C}$ ) | pH  | Conductivity ( $\mu\text{s.cm}^{-1}$ ) | Alkalinity ( $\text{mg.l}^{-1}$ ) | DO ( $\text{mg.l}^{-1}$ ) |      | Sulfide ( $\text{mg.l}^{-1}$ ) |      | $\text{NO}_3^-$ ( $\text{mg.l}^{-1}$ ) |      | $\text{NH}_4^+$ ( $\text{mg.l}^{-1}$ ) |      | Turbidity |
|-------------------------------------|-----|--|-----------------------------------|---------------------------|------|--------------------------------|------|--|------|--|------|-----------|
|                                     |     |  |                                   | แม่น                      | แต่ง | แม่น                           | แต่ง | แม่น                                   | แต่ง | แม่น                                   | แต่ง |           |
| 30 – 39                             | 8.3 | 8.7                                    | 285                               | 309                       | 125  | 108                            | -    | 5.2                                    | 0    | 0.01                                   | 0.05 | 0.50      |
| 40 – 49                             | 8.5 | 8.4                                    | 330                               | 365                       | 140  | 141                            | 1.4  | 5.0                                    | 0.01 | 0.01                                   | 0.17 | 0.45      |
| 50 – 59                             | 8.7 | 8.7                                    | 335                               | 330                       | 138  | 140                            | 0    | 0                                      | 0.05 | 0.06                                   | 0.30 | 0.40      |
| 60 – 69                             | 8.8 | 8.7                                    | 340                               | 315                       | 140  | 139                            | 0    | 0                                      | 0.07 | 0.09                                   | 0.35 | 0.37      |
| 70 – 80                             | 8.8 | 8.8                                    | 337                               | 314                       | 139  | 140                            | 0    | 0                                      | 0.08 | 0.36                                   | 0.33 | 0.8       |

ตาราง 18 คุณภาพน้ำทางด้านเคมีทางปรมาณการของน้ำรีบน้ำป่า (MJ) ในช่วงอุณหภูมิ  $30 - 80^{\circ}\text{C}$  ในฤดูแล้งและฤดูฝน  
(เก็บตัวอย่างทั่วไป : 21 ธ.ค. 2542 ถึง พ.ค. 31 พ.ค. 2543)

| ช่วงอุณหภูมิ ( $^{\circ}\text{C}$ ) | pH  | Conductivity ( $\mu\text{s.cm}^{-1}$ ) | Alkalinity ( $\text{mg.l}^{-1}$ ) | DO ( $\text{mg.l}^{-1}$ ) |      | Sulfide ( $\text{mg.l}^{-1}$ ) |      | $\text{NO}_3^-$ ( $\text{mg.l}^{-1}$ ) |      | $\text{NH}_4^+$ ( $\text{mg.l}^{-1}$ ) |      | Turbidity |
|-------------------------------------|-----|--|-----------------------------------|---------------------------|------|--------------------------------|------|--|------|--|------|-----------|
|                                     |     |  |                                   | แม่น                      | แต่ง | แม่น                           | แต่ง | แม่น                                   | แต่ง | แม่น                                   | แต่ง |           |
| 30 – 39                             | 8.5 | 8.1                                    | 610                               | 600                       | 195  | 158                            | -    | 0.01                                   | 0    | 0.17                                   | 0.53 | 0.1       |
| 40 – 49                             | 8.8 | 8.4                                    | 625                               | 620                       | 205  | 220                            | 0.6  | 1.2                                    | 0.12 | 0.01                                   | 0.26 | 1.52      |
| 50 – 59                             | 8.7 | 8.5                                    | 630                               | 615                       | 202  | 215                            | 0    | 0                                      | 0.20 | 0.07                                   | 0.38 | 1.51      |
| 60 – 69                             | 8.7 | 8.6                                    | 620                               | 610                       | 201  | 217                            | 0    | 0                                      | 0.25 | 0.09                                   | 0.37 | 1.53      |
| 70 – 80                             | 8.7 | 8.4                                    | 630                               | 610                       | 212  | 208                            | 0    | 0                                      | 0.81 | 0.18                                   | 0.53 | 1.19      |

ตาราง 19 คุณภาพน้ำทางด้านเคมีบำบัดและการของเสียร้อนหัวหมากเติม (HML) ในช่วงอุณหภูมิ 30 – 70 °C ในถังผึ้ง (เก็บตัวอย่างวันที่ 31 พ.ค. 2543)

| ช่วงอุณหภูมิ (°C) | pH | Conductivity<br>( $\mu\text{s.cm}^{-1}$ ) | Alkalinity<br>( $\text{mg.l}^{-1}$ ) | DO<br>( $\text{mg.l}^{-1}$ ) | Sulfide<br>( $\text{mg.l}^{-1}$ ) |      | SRP<br>( $\text{mg.l}^{-1}$ ) | $\text{NO}_3^-$<br>( $\text{mg.l}^{-1}$ ) | $\text{NH}_4^+$<br>( $\text{mg.l}^{-1}$ ) | Turbidity |   |      |   |      |   |      |   |     |
|-------------------|----|---|--------------------------------------|------------------------------|-----------------------------------|------|-------------------------------|---|---|-----------|---|------|---|------|---|------|---|-----|
|                   |    |   |                                      |                              | แม่น                              | แต่ง |                               |   |   |           |   |      |   |      |   |      |   |     |
| 30 – 39           | -  | 8.3                                       | -                                    | 450                          | -                                 | 154  | -                             | 0   | -   | 0.85      | - | 0.5  | - | 0.02 | - | 2.5  |   |     |
| 40 – 49           | -  | 8.5                                       | -                                    | 460                          | -                                 | 160  | -                             | 5.2                                       | -   | 0.01      | - | 0.95 | - | 0.6  | - | 0.02 | - | 1.0 |
| 50 – 59           | -  | 8.5                                       | -                                    | 460                          | -                                 | 161  | -                             | 3.2                                       | -   | 0.02      | - | 0.99 | - | 0.6  | - | 0.06 | - | 0.6 |
| 60 – 70           | -  | 8.4                                       | -                                    | 460                          | -                                 | 161  | -                             | 1.3                                       | -   | 0.02      | - | 1.01 | - | 0.6  | - | 0.08 | - | 0.5 |

ตาราง 20 การวิเคราะห์ข้อมูลชนิดสาหร่ายตามระดับช่วงอุณหภูมิ เปรียบเทียบกับฤดูกาล โดยใช้ Non parametric Statistic โดยใช้การเปรียบเทียบแบบ Kruskal Wallis Test

### Kruskal-Wallis Test

**Test Statistics<sup>a,b</sup>**

|             | DRYSKP | WETSKP | DRYPD  | WETPD  | DRYTPN | WETTPN | WETMP  |
|-------------|--------|--------|--------|--------|--------|--------|--------|
| Chi-Square  | 10.354 | 10.469 | 12.739 | 14.192 | 14.642 | 13.670 | 10.971 |
| df          | 4      | 4      | 4      | 4      | 4      | 4      | 4      |
| Asymp. Sig. | .035   | .033   | .013   | .007   | .006   | .008   | .027   |

**Test Statistics<sup>a,b</sup>**

|             | WETHML | DRYDSK | WETDSK | DRYJS  | WETJS  | DRYTP  | WETTP  |
|-------------|--------|--------|--------|--------|--------|--------|--------|
| Chi-Square  | 9.161  | 7.209  | 9.803  | 11.898 | 11.176 | 11.710 | 12.128 |
| df          | 3      | 4      | 4      | 4      | 4      | 4      | 4      |
| Asymp. Sig. | .027   | .125   | .044   | .018   | .025   | .020   | .016   |

**Test Statistics<sup>a,b</sup>**

|             | DRYMJ | WETMJ |
|-------------|-------|-------|
| Chi-Square  | 9.840 | 7.071 |
| df          | 4     | 4     |
| Asymp. Sig. | .043  | .132  |

a. Kruskal Wallis Test

b. Grouping Variable: Water Temperatures

### Median Test

ตาราง 21 การวิเคราะห์ข้อมูลชนิดสาหร่ายตามระดับช่วงอุณหภูมิ เปรียบเทียบกับฤดูกาล โดยใช้ Non parametric Statistic โดยใช้การเปรียบเทียบแบบ Mann-Witney Test

### Mann-Whitney Test

#### Test Statistics<sup>b</sup>

|                                | SKP30             | SKP40             | SKP50             | SKP60             | SKP70              | PD30              | PD40              |
|--------------------------------|-------------------|-------------------|-------------------|-------------------|--------------------|-------------------|-------------------|
| Mann-Whitney U                 | 20.500            | 14.000            | 14.500            | 3.500             | 2.000              | 6.500             | 4.500             |
| Wilcoxon W                     | 48.500            | 42.000            | 35.500            | 9.500             | 5.000              | 21.500            | 25.500            |
| Z                              | -.072             | -1.003            | -.565             | -.471             | .000               | -1.261            | -1.921            |
| Asymp. Sig. (2-tailed)         | .943              | .316              | .572              | .637              | 1.000              | .207              | .055              |
| Exact Sig. [2*(1-tailed Sig.)] | .945 <sup>a</sup> | .366 <sup>a</sup> | .589 <sup>a</sup> | .700 <sup>a</sup> | 1.000 <sup>a</sup> | .222 <sup>a</sup> | .052 <sup>a</sup> |

|                                | PD50              | PD60              | PD70              | TPN30             | TPN40             | TPN50             | TPN60              |
|--------------------------------|-------------------|-------------------|-------------------|-------------------|-------------------|-------------------|--------------------|
| Mann-Whitney U                 | 4.500             | 2.000             | 3.000             | 13.500            | 3.500             | 10.500            | 4.500              |
| Wilcoxon W                     | 19.500            | 8.000             | 9.000             | 28.500            | 24.500            | 25.500            | 10.500             |
| Z                              | -1.697            | -.609             | -.745             | -.276             | -2.124            | -.427             | .000               |
| Asymp. Sig. (2-tailed)         | .090              | .543              | .456              | .783              | .034              | .669              | 1.000              |
| Exact Sig. [2*(1-tailed Sig.)] | .095 <sup>a</sup> | .800 <sup>a</sup> | .700 <sup>a</sup> | .792 <sup>a</sup> | .030 <sup>a</sup> | .690 <sup>a</sup> | 1.000 <sup>a</sup> |

|                                | TPN70             | DSK30             | DSK40             | DSK50             | DSK60             | DSK70             | JS30              |
|--------------------------------|-------------------|-------------------|-------------------|-------------------|-------------------|-------------------|-------------------|
| Mann-Whitney U                 | 2.000             | 6.000             | 4.500             | 2.000             | .500              | 1.000             | 4.500             |
| Wilcoxon W                     | 5.000             | 16.000            | 14.500            | 8.000             | 3.500             | 4.000             | 14.500            |
| Z                              | -.609             | -.584             | -1.023            | -1.124            | -1.225            | -1.000            | -1.029            |
| Asymp. Sig. (2-tailed)         | .543              | .559              | .306              | .261              | .221              | .317              | .304              |
| Exact Sig. [2*(1-tailed Sig.)] | .800 <sup>a</sup> | .686 <sup>a</sup> | .343 <sup>a</sup> | .400 <sup>a</sup> | .333 <sup>a</sup> | .667 <sup>a</sup> | .343 <sup>a</sup> |

|                                | JS40              | JS50              | JS60              | JS70               | TP30              | TP40              | TP50              |
|--------------------------------|-------------------|-------------------|-------------------|--------------------|-------------------|-------------------|-------------------|
| Mann-Whitney U                 | 9.500             | 5.000             | 3.500             | 2.000              | 3.500             | 9.000             | 6.500             |
| Wilcoxon W                     | 19.500            | 15.000            | 9.500             | 5.000              | 13.500            | 19.000            | 16.500            |
| Z                              | -.125             | -.877             | -.471             | .000               | -1.340            | -.247             | -.436             |
| Asymp. Sig. (2-tailed)         | .900              | .381              | .637              | 1.000              | .180              | .805              | .663              |
| Exact Sig. [2*(1-tailed Sig.)] | .905 <sup>a</sup> | .486 <sup>a</sup> | .700 <sup>a</sup> | 1.000 <sup>a</sup> | .200 <sup>a</sup> | .905 <sup>a</sup> | .686 <sup>a</sup> |

|                                | TP60              | TP70               | MJ30              | MJ40              | MJ50              | MJ60              | MJ70              |
|--------------------------------|-------------------|--------------------|-------------------|-------------------|-------------------|-------------------|-------------------|
| Mann-Whitney U                 | 2.000             | 3.000              | 5.500             | 6.000             | 4.000             | 1.000             | 1.500             |
| Wilcoxon W                     | 8.000             | 9.000              | 15.500            | 16.000            | 10.000            | 4.000             | 4.500             |
| Z                              | -1.291            | .000               | -1.126            | -.988             | -.720             | -1.000            | -.408             |
| Asymp. Sig. (2-tailed)         | .197              | 1.000              | .260              | .323              | .471              | .317              | .683              |
| Exact Sig. [2*(1-tailed Sig.)] | .400 <sup>a</sup> | 1.000 <sup>a</sup> | .286 <sup>a</sup> | .413 <sup>a</sup> | .629 <sup>a</sup> | .667 <sup>a</sup> | .667 <sup>a</sup> |

a. Not corrected for ties.

b. Grouping Variable: Season of sampling

ตาราง 22 การวิเคราะห์ข้อมูลชนิดสาหร่ายตามระดับช่วงอุณหภูมิ เปรียบเทียบกับฤดูกาล โดยหา  
ความสัมพันธ์ Correlations

## Correlations

### Correlations

|                    |                     | Water Temperatures | DRYSKP  | WETSKP  |
|--------------------|---------------------|--------------------|---------|---------|
| Water Temperatures | Pearson Correlation | 1.000              | -.553** | -.587** |
|                    | Sig. (2-tailed)     | .                  | .006    | .002    |
|                    | N                   | 26                 | 23      | 25      |
| DRYSKP             | Pearson Correlation | -.553**            | 1.000   | .617**  |
|                    | Sig. (2-tailed)     | .006               | .       | .002    |
|                    | N                   | 23                 | 23      | 23      |
| WETSKP             | Pearson Correlation | -.587**            | .617**  | 1.000   |
|                    | Sig. (2-tailed)     | .002               | .002    | .       |
|                    | N                   | 25                 | 23      | 25      |

\*\*. Correlation is significant at the 0.01 level (2-tailed).

|                    |                     | Water Temperatures | DRYPD   | WETPD   |
|--------------------|---------------------|--------------------|---------|---------|
| Water Temperatures | Pearson Correlation | 1.000              | -.725** | -.619** |
|                    | Sig. (2-tailed)     | .                  | .000    | .002    |
|                    | N                   | 26                 | 20      | 22      |
| DRYPD              | Pearson Correlation | -.725**            | 1.000   | .468*   |
|                    | Sig. (2-tailed)     | .000               | .       | .037    |
|                    | N                   | 20                 | 20      | 20      |
| WETPD              | Pearson Correlation | -.619**            | .468*   | 1.000   |
|                    | Sig. (2-tailed)     | .002               | .037    | .       |
|                    | N                   | 22                 | 20      | 22      |

\*\*. Correlation is significant at the 0.01 level (2-tailed).

\*. Correlation is significant at the 0.05 level (2-tailed).

|                    |                     | Water Temperatures | DRYTPN  | WETTPN  |
|--------------------|---------------------|--------------------|---------|---------|
| Water Temperatures | Pearson Correlation | 1.000              | -.668** | -.661** |
|                    | Sig. (2-tailed)     | .                  | .001    | .001    |
|                    | N                   | 26                 | 20      | 23      |
| DRYTPN             | Pearson Correlation | -.668**            | 1.000   | .445*   |
|                    | Sig. (2-tailed)     | .001               | .       | .050    |
|                    | N                   | 20                 | 20      | 20      |
| WETTPN             | Pearson Correlation | -.661**            | .445*   | 1.000   |
|                    | Sig. (2-tailed)     | .001               | .050    | .       |
|                    | N                   | 23                 | 20      | 23      |

\*\*. Correlation is significant at the 0.01 level (2-tailed).

\*. Correlation is significant at the 0.05 level (2-tailed).

**Correlations**

|                    |                     | Water Temperatu<br>res | DRYDSK | WETDSK  |
|--------------------|---------------------|------------------------|--------|---------|
| Water Temperatures | Pearson Correlation | 1.000                  | -.542* | -.787** |
|                    | Sig. (2-tailed)     | .                      | .037   | .001    |
|                    | N                   | 26                     | 15     | 15      |

|        |                     | Water Temperatu<br>res | DRYDSK | WETDSK |
|--------|---------------------|------------------------|--------|--------|
| DRYDSK | Pearson Correlation | -.542*                 | 1.000  | .635*  |
|        | Sig. (2-tailed)     | .037                   | .      | .011   |
|        | N                   | 15                     | 15     | 15     |

|        |                     | Water Temperatu<br>res | DRYDSK | WETDSK |
|--------|---------------------|------------------------|--------|--------|
| WETDSK | Pearson Correlation | -.787**                | .635*  | 1.000  |
|        | Sig. (2-tailed)     | .001                   | .011   | .      |
|        | N                   | 15                     | 15     | 15     |

\*. Correlation is significant at the 0.05 level (2-tailed).

\*\*. Correlation is significant at the 0.01 level (2-tailed).

|                    |                     | Water Temperatu<br>res | DRYJS   | WETJS   |
|--------------------|---------------------|------------------------|---------|---------|
| Water Temperatures | Pearson Correlation | 1.000                  | -.722** | -.838** |
|                    | Sig. (2-tailed)     | .                      | .001    | .000    |
|                    | N                   | 26                     | 18      | 17      |

|       |                     | Water Temperatu<br>res | DRYJS | WETJS  |
|-------|---------------------|------------------------|-------|--------|
| DRYJS | Pearson Correlation | -.722**                | 1.000 | .765** |
|       | Sig. (2-tailed)     | .001                   | .     | .000   |
|       | N                   | 18                     | 18    | 17     |

|       |                     | Water Temperatu<br>res | DRYJS  | WETJS |
|-------|---------------------|------------------------|--------|-------|
| WETJS | Pearson Correlation | -.838**                | .765** | 1.000 |
|       | Sig. (2-tailed)     | .000                   | .000   | .     |
|       | N                   | 17                     | 17     | 17    |

\*\*. Correlation is significant at the 0.01 level (2-tailed).

|                    |                     | Water Temperatu<br>res | DRYTP   | WETTP   |
|--------------------|---------------------|------------------------|---------|---------|
| Water Temperatures | Pearson Correlation | 1.000                  | -.658** | -.850** |
|                    | Sig. (2-tailed)     | .                      | .003    | .000    |
|                    | N                   | 26                     | 18      | 18      |

|       |                     | Water Temperatu<br>res | DRYTP | WETTP |
|-------|---------------------|------------------------|-------|-------|
| DRYTP | Pearson Correlation | -.658**                | 1.000 | .602* |
|       | Sig. (2-tailed)     | .003                   | .     | .011  |
|       | N                   | 18                     | 18    | 17    |

|       |                     | Water Temperatu<br>res | DRYTP | WETTP |
|-------|---------------------|------------------------|-------|-------|
| WETTP | Pearson Correlation | -.850**                | .602* | 1.000 |
|       | Sig. (2-tailed)     | .000                   | .011  | .     |
|       | N                   | 18                     | 17    | 18    |

\*\*. Correlation is significant at the 0.01 level (2-tailed).

\*. Correlation is significant at the 0.05 level (2-tailed).

|                    |                     | Water Temperatu<br>res | DRYMJ   | WETMJ   |
|--------------------|---------------------|------------------------|---------|---------|
| Water Temperatures | Pearson Correlation | 1.000                  | -.701** | -.709** |
|                    | Sig. (2-tailed)     | .                      | .001    | .003    |
|                    | N                   | 26                     | 18      | 15      |

|       |                     | Water Temperatu<br>res | DRYMJ | WETMJ |
|-------|---------------------|------------------------|-------|-------|
| DRYMJ | Pearson Correlation | -.701**                | 1.000 | .500  |
|       | Sig. (2-tailed)     | .001                   | .     | .058  |
|       | N                   | 18                     | 18    | 15    |

|       |                     | Water Temperatu<br>res | DRYMJ | WETMJ |
|-------|---------------------|------------------------|-------|-------|
| WETMJ | Pearson Correlation | -.709**                | .500  | 1.000 |
|       | Sig. (2-tailed)     | .003                   | .058  | .     |
|       | N                   | 15                     | 15    | 15    |

\*\*. Correlation is significant at the 0.01 level (2-tailed).

## ตาราง 23 การวิเคราะห์รุ่มตันต้านทานกรดด้วยเคมีเพื่อการป้องกันพัฒนาการเสื่อม

## Correlations Correlations Analysis

Correlations

|                       |                     | Correlations          |                   |          |              |            |          |          |          |                 |                 |           |
|-----------------------|---------------------|-----------------------|-------------------|----------|--------------|------------|----------|----------|----------|-----------------|-----------------|-----------|
|                       |                     | number of algae types | water temperature | water pH | conductivity | alkalinity | DO       | SULFIDE  | SRP      | NO <sub>3</sub> | NH <sub>3</sub> | turbidity |
| number of algae types | Pearson Correlation | 1.000                 | -0.634**          | -0.083   | .010         | -0.065     | -0.460** | -0.302** | -0.229** | -0.305**        | -0.319**        | 115*      |
|                       | Sig. (2-tailed)     |                       | .000              | .297     | .295         | .868       | .266     | .000     | .000     | .000            | .000            | .049      |
|                       | N                   |                       |                   |          |              |            | .246     | .275     | .295     | .295            | .295            | 295       |
| water temperature     | Pearson Correlation | -0.634**              | 1.000             | 0.227**  | 0.122*       | 0.162**    | -0.584** | 0.475*   | 0.242*   | 0.418*          | 0.435**         | 281**     |
|                       | Sig. (2-tailed)     |                       | .000              | .000     | .036         | .005       | .000     | .000     | .000     | .000            | .000            | .000      |
|                       | N                   |                       |                   |          |              |            |          |          |          |                 |                 |           |
| water pH              | Pearson Correlation | -0.083                | 0.227**           | 1.000    | -0.114*      | -0.338**   | .076     | -0.058   | .067     | .091            | -0.358**        | 180**     |
|                       | Sig. (2-tailed)     |                       | .155              | .000     | .050         | .000       | .234     | .335     | .255     | .121            | .000            | .002      |
|                       | N                   |                       |                   |          |              |            | .295     | .246     | .275     | .295            | .295            | 295       |
| conductivity          | Pearson Correlation | 0.110                 | 0.122*            | -0.114*  | 1.000        | 0.777**    | -0.351** | -0.345** | -0.115*  | 0.368*          | 0.178**         | 488**     |
|                       | Sig. (2-tailed)     |                       | .868              | .036     | .050         | .000       | .000     | .000     | .048     | .000            | .002            | .000      |
|                       | N                   |                       |                   |          |              |            |          |          |          |                 |                 |           |
| alkalinity            | Pearson Correlation | -0.065                | 0.162**           | -0.338** | 0.777**      | 1.000      | -0.438** | -0.288** | -0.149*  | 0.196*          | 0.287**         | 448**     |
|                       | Sig. (2-tailed)     |                       | .295              | .295     | .295         | .295       | .246     | .275     | .295     | .295            | .295            | .295      |
|                       | N                   |                       |                   |          |              |            |          |          |          |                 |                 |           |
| DO                    | Pearson Correlation | 0.460**               | -0.584**          | 0.076    | -0.351**     | -0.438**   | 1.000    | -0.313** | 0.011    | -0.270*         | -0.284**        | 459**     |
|                       | Sig. (2-tailed)     |                       | .000              | .000     | .234         | .000       | .000     | .000     | .860     | .000            | .000            | .000      |
|                       | N                   |                       |                   |          |              |            |          |          |          |                 |                 |           |
| SULFIDE               | Pearson Correlation | -0.302**              | 0.475**           | -0.058   | 0.345**      | 0.288**    | -0.313** | 1.000    | -0.023   | 0.582*          | 0.572**         | 095       |
|                       | Sig. (2-tailed)     |                       | .000              | .000     | .335         | .000       | .000     | .000     | .703     | .000            | .000            | .116      |
|                       | N                   |                       |                   |          |              |            |          |          |          |                 |                 |           |
| SRP                   | Pearson Correlation | -0.229*               | 0.242*            | 0.067    | -0.115*      | -0.149*    | 0.011    | -0.023   | 1.000    | -0.089          | 0.131*          | 006       |
|                       | Sig. (2-tailed)     |                       | .000              | .000     | .255         | .048       | .010     | .860     | .703     | .127            | .025            | .295      |
|                       | N                   |                       |                   |          |              |            |          |          |          |                 |                 |           |
| NO <sub>3</sub>       | Pearson Correlation | -0.305**              | 0.118**           | 0.091    | 0.368**      | 0.196**    | -0.270** | 0.592**  | 0.099    | 1.010           | 0.484**         | 116*      |
|                       | Sig. (2-tailed)     |                       | .000              | .000     | .121         | .000       | .001     | .000     | .000     | .127            | .000            | .047      |
|                       | N                   |                       |                   |          |              |            |          |          |          |                 |                 |           |
| NH <sub>3</sub>       | Pearson Correlation | -0.319**              | 0.435**           | -0.358** | 0.178**      | -0.287**   | -0.284*  | -0.572** | 0.131*   | 0.484*          | 1.000           | 012       |
|                       | Sig. (2-tailed)     |                       | .000              | .000     | .002         | .000       | .000     | .000     | .023     | .000            | .000            | .832      |
|                       | N                   |                       |                   |          |              |            |          |          |          |                 |                 |           |
| turbidity             | Pearson Correlation | 0.115*                | -0.281**          | -0.180** | -0.488**     | -0.448**   | 0.459**  | -0.095   | 0.006    | -0.116*         | 0.012           | 295       |
|                       | Sig. (2-tailed)     |                       | .049              | .000     | .002         | .000       | .000     | .000     | .116     | .047            | .832            | 295       |
|                       | N                   |                       |                   |          |              |            |          |          | .246     | .275            | .295            | 295       |

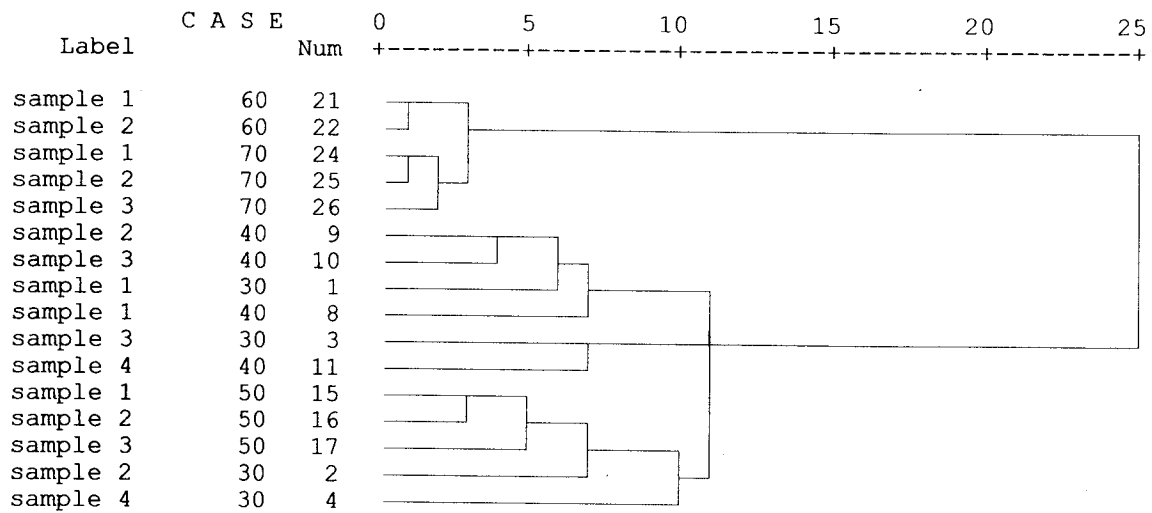
\*\* Correlation is significant at the 0.01 level (2-tailed).

\* Correlation is significant at the 0.05 level (2-tailed).

\* \* \* \* \* H I E R A R C H I C A L C L U S T E R A N A L Y S I S \* \* \*

Dendrogram using Average Linkage (Between Groups)

Rescaled Distance Cluster Combine



ภาพ 39 การวิเคราะห์ข้อมูลชนิดสาหร่ายตามระดับช่วงอุณหภูมิ เปรียบเทียบกับถูกากล โดยใช้วิธี  
การเปรียบเทียบแบบ Cluster analysis

## **ภาคผนวก ช**

## 1. การวิเคราะห์ปริมาณสารอาหาร

### 1.1 การวิเคราะห์ปริมาณแอมโมเนียในโตรเจน

1. กรองน้ำตัวอย่างด้วยกรรดาย GF/C แล้วตวงน้ำตัวอย่างปริมาตร 25 ml ใส่ cuvette 1 อัน และตวงน้ำ deionized ปริมาตร 25 ml ใส่ใน cuvette อีก 1 อัน
2. เปิดเครื่อง Spectrophotometer DR/2000 หลังจากเครื่องมือผ่านขั้นตอน SELF-TEST แล้วเครื่องมีจะแสดง Method ให้กด 380 READ/ENTER เครื่องมีจะแสดงความยาวคลื่น 425 nm ให้หมุนปุ่มปรับความยาวคลื่นให้ได้ 425 nm จากนั้นกด READ/ENTER เครื่องมีจะแสดง mg/l NH<sub>3</sub>Ness
3. ใส่ Mineral Stabilizer ลงไปใน cuvette 3 หยด เขย่าเบา ๆ เพื่อให้สารเคมีผสมกันหลังจากนั้นใส่ Polyvinyl Alcohol Dispersing Agent 3 หยด เขย่าเบา ๆ เพื่อให้สารเคมีผสมกันแล้วตวง Nessler Reagent 1 ml ลงใน cuvette ทั้งสองอันเขย่าให้ผสมกัน กด SHIFT TIMER เมื่อครบ 1นาที เครื่องมีจะส่งเสียงเตือน
4. เปิดฝาเครื่องมือใส่ cuvette ที่เป็นน้ำ deionized ลงไปในช่องวัสดุแสดง ปิดฝาเครื่องมือให้สนิทแล้วกด ZERO เครื่องมีจะแสดง WAIT และ 0.00 mg/l NH<sub>3</sub>Ness. ให้เปลี่ยน cuvette น้ำตัวอย่างเข้าไป กด READ/ENTER เครื่องมีจะแสดง WAIT และบอกปริมาณแอมโมเนียนในโตรเจน ซึ่งเครื่องมือน้ำสามารถวัดปริมาณแอมโมเนียน ในโตรเจนได้ในช่วง 0.00-2.50 mg/l NH<sub>3</sub>N

### 1.2 การวิเคราะห์ปริมาณไนโตรเจนในโตรเจน

1. กรองน้ำตัวอย่างด้วยกรรดาย GF/C แล้วตวงน้ำตัวอย่างปริมาตร 25 ml ใส่ cuvette 2 อัน อันแรกใส่ NitraVer 5 Nitrate Powder Pillow อีกอันหนึ่งเอ้าไว้เปรียบเทียบไม่ต้องเดินสารใด ๆ
2. เปิดเครื่อง Spectrophotometer DR/2000 หลังจากเครื่องมือผ่านขั้นตอน SELF-TEST แล้วเครื่องมีจะแสดง Method ให้กด 355 READ/ENTER เครื่องมีจะแสดงความยาวคลื่น 500 nm ให้หมุนปุ่มปรับความยาวคลื่นให้ได้ 500 nm จากนั้นกด READ/ENTER เครื่องมีจะแสดง mg/l N NO<sub>3</sub><sup>-</sup>H
3. ใส่ NitraVer 5 Nitrate Power Pillow ลงใน cuvette น้ำตัวอย่างที่เตรียมไว้ กด SHIFT TIMER แล้วเขย่า cuvette เมื่อครบ 1 นาที เครื่องมีจะส่งเสียงเตือนให้หยุดเขย่า กด SHIFT TIMER อีกครั้งและตั้ง cuvette ทิ้งไว้เมื่อครบ 5 นาที เครื่องมีจะส่งเสียงเตือนอีกครั้ง และจะแสดง mg/l N NO<sub>3</sub><sup>-</sup>H

4. เปิดฝาเครื่องมือใส่ cuvette ที่ไม่ได้เติมสารเคมีใด ๆ ลงในช่องวัสดุแสง ปิดฝาเครื่องมือให้สนิท แล้วกด ZERO เครื่องมือแสดง WAIT และ 0.00 mg/l N NO<sub>3</sub><sup>-</sup> H ให้เปลี่ยน cuvette ที่ใส่ NitraVer 5 Nitrate power Pillow เข้าไปกด READ/ENTER เครื่องมือแสดง WAIT และบอกปริมาณ ในตราช ได้ในช่วง 0.00-3.00 NitraVer 5 Nitrate power Pillow

### 1.3 การวิเคราะห์ปริมาณ Soluble reactive phosphorus (SRP)

1. ก่อนทำการวิเคราะห์ปริมาณ SRP ทุกรั้ง ควรล้างเครื่องแก้วที่จะใช้ด้วย HCL 10 % กรองน้ำด้วยกระดาษกรอง GF/C แล้วตวงน้ำด้วยย่างปริมาตร 25 ml ใส่ cuvette 2 อัน อันแรก สำหรับใส่ PhosVer 3 Phosphate Reagent Powder Pillow อีกอันหนึ่งเอาระเบียบไม่ต้องเติมสารเคมีฯ

2. เปิดเครื่อง Spectrophotometer DR/2000 หลังจากเครื่องมือผ่านขั้นตอน SELF-TEST แล้ว เครื่องมือจะแสดง Method ให้กด 490 READ/ENTER เครื่องมือจะแสดงความยาวคลื่น 890 nm ให้หมุนปุ่มปรับความยาวคลื่นให้ได้ 890 nm จากนั้นกด READ/ENTER เครื่องมือจะแสดง mg/l N PO<sub>4</sub><sup>3-</sup> PV หรือ mg/l P PV

3. ใส่ PhosVer 3 Phosphate Reagent Powder Pillow ลงใน cuvette นำด้วยย่างที่เตรียมไว้ กด SHIFT TIMER แล้วเบย่า cuvette เมื่อครบ 1 นาที เครื่องมือจะส่งเสียงเตือน

4. เปิดฝาเครื่องมือใส่ cuvette ที่ไม่ได้เติมสารเคมีใด ๆ ลงในช่องวัสดุแสง ปิดฝาเครื่องมือให้สนิท กด ZERO เครื่องมือจะแสดง WAIT และ 0.00 mg/l N PO<sub>4</sub><sup>3-</sup> PV หรือ mg/l P PV ให้เปลี่ยน cuvette ที่ใส่ PhosVer 3 Phosphate Reagent Powder Pillow เข้าไป แล้วกด READ/ENTER เครื่องมือจะแสดง WAIT และบอกปริมาณ SRP ได้ในช่วง 0.00-2.50 mg/l N PO<sub>4</sub><sup>3-</sup>

### การวิเคราะห์ปริมาณซัลไฟด์

1. กรองน้ำด้วยกระดาษ GF/C แล้วตวงน้ำด้วยย่างปริมาตร 25 ml ใส่ cuvette 1 อัน และตวงน้ำ deionized ปริมาตร 25 ml ใส่ใน cuvette อีก 1 อัน

2. เปิดเครื่อง Spectrophotometer DR/2000 หลังจากเครื่องมือผ่านขั้นตอน SELF-TEST แล้วเครื่องมือจะแสดง Method ให้กด 690 READ/ENTER เครื่องมือจะแสดงความยาวคลื่น 665 nm ให้หมุนปุ่มปรับความยาวคลื่นให้ได้ 425 nm จากนั้นกด READ/ENTER เครื่องมือจะแสดง mg/l NNH<sub>3</sub>Ness

3. ใส่ sulfide 1 reagent 1 ml. ลงไว้ใน cuvette เบย่าเบา ๆ เพื่อให้สารเคมีผสมกันหลังจากนั้นใส่ sulfide 1 reagent 1 ml. เบย่าเบา ๆ เพื่อให้สารเคมีผสมกัน กด SHIFT TIMER เมื่อครบ 5 นาที เครื่องมือจะส่งเสียงเตือน

4. เปิดฝาเครื่องมือใส่ cuvette ที่เป็นน้ำ deionized ลงไปในช่องวัสดุแสดง ปิดฝาเครื่องมือให้สนิทแล้วกด ZERO เครื่องมือจะแสดง WAIT และ  $0.000 \text{ mg/l S}^{2-}$  ให้เปลี่ยน cuvette น้ำตัวอย่างเข้าไป กด READ/ENTER เครื่องมือแสดง WAIT และบอกปริมาณซัลไฟฟ์ ซึ่งเครื่องมือน้ำสามารถดูดปริมาณซัลไฟฟ์ ได้ในช่วง  $0.000-0.600 \text{ mg/l S}^{2-}$

## 2. การวิเคราะห์คุณภาพน้ำ(APHA,1992)

### 2.1 วิธีการวิเคราะห์ปริมาณออกซิเจนที่ละลายน้ำโดยวิธี Azide modification

1. ล้างขวด DO ด้วยน้ำตัวอย่าง(rinse) 2-3 ครั้ง
2. เก็บน้ำตัวอย่างด้วยขวด DO ที่ระดับความลึก 30 cm. โดยไม่ให้มีพองอากาศ และปิดฝาขวดให้สนิทขณะอยู่ใต้น้ำ
3. เติมสารละลาย  $\text{MnSO}_4$  1 ml (ห้ามเขย่าขวด) และสารละลาย alkali- iodide azide reagent 1 ml ปิดฝา
4. เขย่าขวดแล้วตั้งทิ้งไว้จนได้ตากอน 2 ใน 3 ของสารละลายทั้งหมด เขย่าอีกครั้งและตั้งทิ้งไว้ให้เกิดตากอน 2 ใน 3 ของสารละลายใหม่
5. เติม conc. $\text{H}_2\text{SO}_4$  1 ml ปิดฝาเขย่าให้เข้ากัน
6. นำสารละลายจากข้อ 5 มา 100 ml. ໄดเตรทด้วย  $\text{Na}_2\text{S}_2\text{O}_3$  0.021 M จนได้สีเหลืองซีดแล้วเติมน้ำเป็น 3 หยด เขย่าให้เข้ากัน ໄดเตรทด้วย  $0.02 \text{ N H}_2\text{SO}_4$  จนสีน้ำเงินจางหายไปจนปริมาตรที่ใช้และนำไปคำนวนในสูตร

$$\text{DO (mg/l)} = \frac{\text{จำนวน ml ของสารละลายน้ำ} \times 0.021 \text{ M Na}_2\text{S}_2\text{O}_3}{2}$$

### 2.2 วิธีการวิเคราะห์ความเป็นด่างของน้ำโดยวิธี Phenolphthalein methyl orange indicator

1. ตวงน้ำ 100 ml. ใส่ใน erlenmeyer flask ขนาด 250 ml. และนำกลั่นปริมาณเท่ากันใน erlenmeyer flask อีกหนึ่งในสำหรับทำเป็น blank
2. เติม Phenophthalein indicator 3 หยด ลงใน flask แล้วเขย่าให้เข้ากัน
3. ถ้าตัวอย่างเป็นสีชมพูอ่อน ให้ໄดเตรทด้วย  $0.02 \text{ N H}_2\text{SO}_4$  จนสังเกตเห็นสีการเปลี่ยนแปลงจางหายไปและบันทึกปริมาตรที่ใช้
4. เติม methyl orange indicator 3 หยด ลงใน flask

5. ถ้าตัวอย่างเป็นสีเหลืองให้ไตเตอร์ที่  $0.02 \text{ N H}_2\text{SO}_4$  จนสังเกตเห็นสีการเปลี่ยนแปลงจาก blank และค่อยๆ ไตเตอร์ที่ละหบด ได้ end point เป็นสีเหลืองแดง จดปริมาตรที่ใช้แล้วนำไปคำนวณในสูตร

(methyl orange จะให้สีเหลืองในสารละลายน้ำที่เป็นด่าง สีส้มในสารละลายน้ำที่เป็นกรด และสีแดงในสารละลายน้ำที่เป็นกรด)

$$\text{Total alkalinity (mg/l asCaCO}_3) = \frac{\text{จำนวนกรดที่ใช้เป็น ml}}{10} \times 10$$

## ประวัติผู้เบียน

**ชื่อ-สกุล** นางสาวอุคมลักษณ์ สมพงษ์

**วัน เดือน ปีเกิด** 7 พฤศจิกายน 2519

**ภูมิลำเนา** จังหวัดลำพูน

**ประวัติการศึกษา**

สำเร็จการศึกษาชั้นมัธยมศึกษาปีที่ 6 โรงเรียนส่วนบุญ โภุปัณณก์ลำพูน  
 จังหวัดลำพูน เมื่อปีการศึกษา 2536

สำเร็จการศึกษาปริญญาตรี (วท.บ) จุลทรรศวิทยา คณะวิทยาศาสตร์  
 มหาวิทยาลัยเชียงใหม่ จังหวัดเชียงใหม่ เมื่อปีการศึกษา 2540

**ที่อยู่ปัจจุบัน** 88/2 หมู่ 2 ตำบลบ้านธิ อำเภอป้านธิ จังหวัดลำพูน 51180  
 โทร (053)-501421